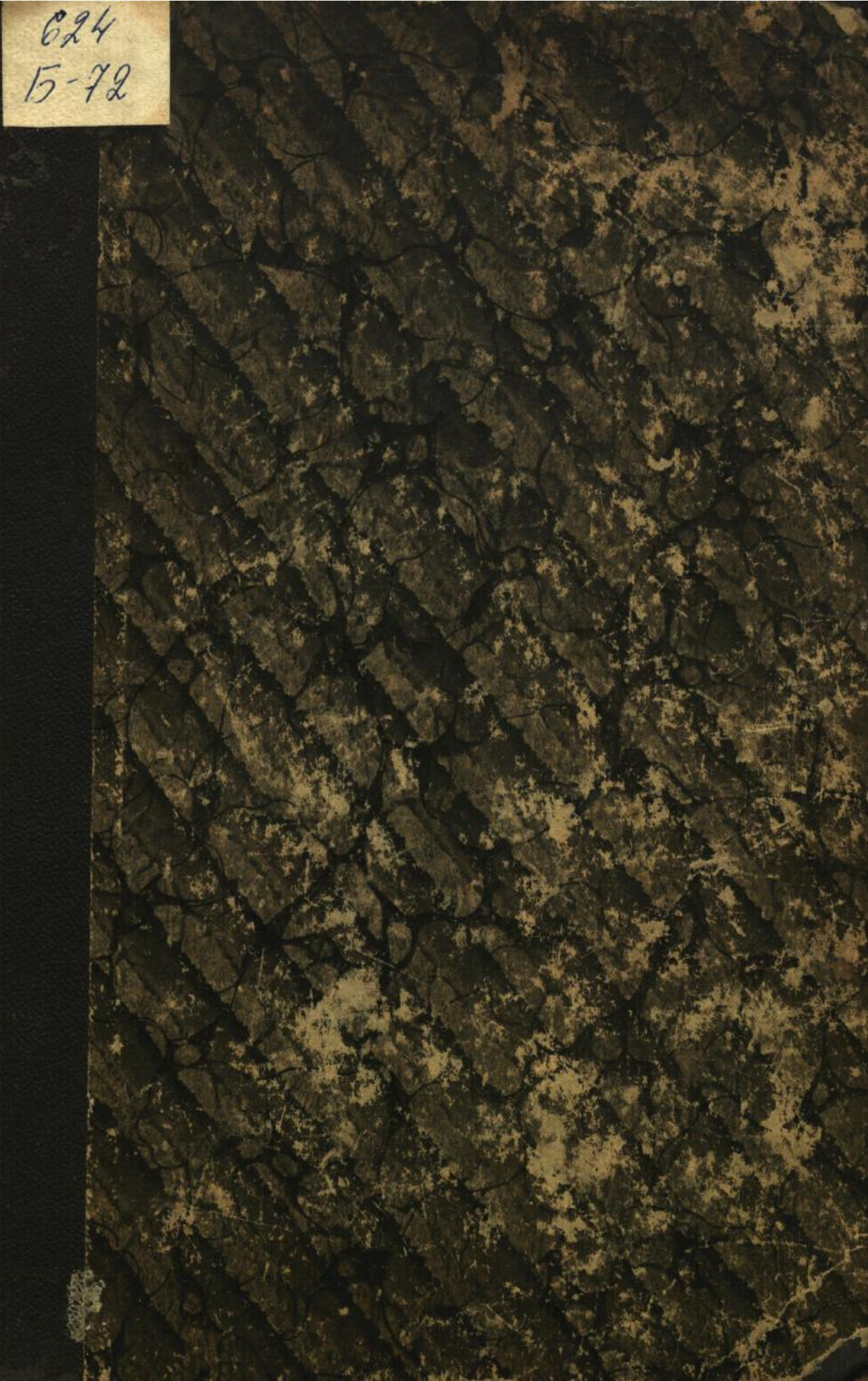


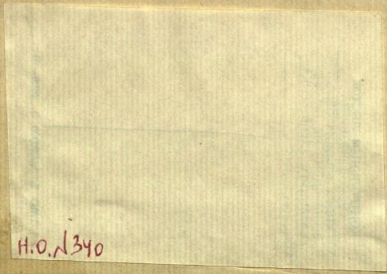
024

15-72





0240-9
40



H.O. 1340

Томскій Технологическій Институтъ Императора Николая II.

624
Б-72

28763

Проф. И. И. Бобарыковъ.

СОПРОТИВЛЕНІЕ МАТЕРІАЛОВЪ.

Часть I.

127038
124134

1911—1912 г.

БИБЛИОТЕКА ВООН.
Индустриально-строительнаго Института

№	35
Сост. ж. авт.	И. И. Бобарыковъ
Стоимость	0 руб.
Получ. 193	г.

1860

ТОМСКЪ.

Типо-лит. Сибирск. Г.—на Печать. Дала, ул. Дворянск. ул. и Чкал. деп. 1911.

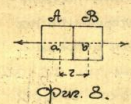
$l_2 - l = l_2'$ есть оставшаяся (пластическая) деформация бруска на длину его $ab = l$. Нагрузив брусок снова силой $P_2 > P_1$, найдем, что по прекращении приложения силы P_2 расстояние ab получает длину $l_2 > l$ и наблюдается новое остаточное удлинение $l_2' = l_2 - l$, при чем конечно $l_2' > l_2'$ и т. д. Явление будет продолжаться в указанном направлении до тех пор пока нагрузка достигнет внешней нагрузки P_m , которая прерывает внутреннее сцепление частиц между собою и происходит разрушение бруска, выходящееся в сфериче-
 разрыва его по одному из боковых срезов.

Из сказанного не трудно видеть, что полное абсолютное удлинение бруска при нагрузке выше силы P_1 состоит из двух частей: одной — удлинения l' и другой — остающейся l_2' , т. е. при нагрузке, напр., силой P_2 имеем: $l_2 = l_2' + l_2$. Как показывают наблюдения, упругая деформация и при наличии остаточной, продолжается сохранять по отношению к действительной нагрузке ту же простую зависимость (1). Значение силы P_1 , до которой оставшаяся деформация не увеличивается, обозначают обыкновенно предельной упругости. Известно также ее же название предельной пропорциональности; это не совсем верно, ибо прекращение пропорциональности наблюдается несколько раньше при действии силы $P_1 < P_1$, но разница между этими величинами весьма не велика и практически можно считать оба предельных совпадающими.

Из выражения (1) видно, что величина l абсолютной деформации прямо пропорциональна длине l бруска, к которой эта деформация относится. Если разделить l на l , то получим так называемую относительную деформацию, а именно $i = l : l$ или относительное удлинение. Очевидно i представляет собою отношение единицы длины бруска и во многих случаях при составлении формул зависимости гораздо удобнее вместо величины l вводить величину i . При i может быть тогда написано так: $i = aP : \sigma$.

Можно получить выражение (1) и таким путем: представим себе (фиг. 3) два бокового сечения элемента троса (в форме кубиков) A и B соприкасавшихся между собой по одной из боковых срезов. Пусть данные под влиянием внут-

них сил получится стремление к перемещению центр тяжести элементов по линии $ab = c$. Находясь через dc приращение расстояния c , можем сказать, что вышняя сила q , действующая между A и B будет функцией от $\frac{dc}{c}$ и, очевидно, что q будет тем больше, чем больше площадь соприкосновения, наведенная последующим через dc , по-

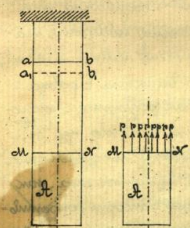


Фиг. 3.

лучи:
 $q = k \sigma \left(\frac{dc}{c} \right)^2$ или
 $q = k \sigma \left[\left(\frac{dc}{c} \right)^2 = k \sigma \left[f(c) + \frac{dc}{c} f'(c) + \frac{1}{2} \left(\frac{dc}{c} \right)^2 f''(c) + \frac{1}{6} \left(\frac{dc}{c} \right)^3 f'''(c) \dots \right]$
 Очевидно, что первый член, стоящий в скобках выражения равен 0, ибо при $dc = 0$ не возникает и внутренних сил. Это можно поглотить в величину k и вынести ее за скобки. Тогда имеем

$$q = f(c) \frac{dc}{c} k \sigma = \int \frac{dc}{c} k \sigma$$

Очевидно, что для всего бруска получим $\Sigma q = l$, $\Sigma c = l$ по длине и $\Sigma k \sigma = \sigma$ по поперечному сечению, а потому $\Sigma q = P = \int \frac{dc}{c} \sigma$, где \int коэффициент пропорциональности с тем же значением как коэффициент $\frac{1}{c}$ в ур-ии (1). Перейдем теперь к нахождению величин внутренних сил и напряжений. На основании метода сечений проведем поперечно (фиг. 4) сечение $M-M$ и вынесем его часть в сторону. Чтобы поддержать равновесие этой отрезанной части необходимо вообразить себе в сечении прикосновения некоторую силу p, p, \dots, p на-



правленные очевидно параллельно оси бруска и следовательно силой P . Действительно, необходимое и достаточное условие равновесия части A , которую по-прежнему считаем как твердое тело, сводится к одному: сумма моментов всех действующих сил на произвольную трапецию должна равняться нулю. В данной ситуации имеем: $P \cdot \Sigma p$. Это касается закона распределения сил p , но не трудно видеть, что это распределение зависит только от сечения $M-M$. В самом деле, на-

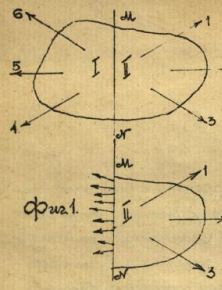
*) Так как очевидно, что относительная деформация i , от которой зависит величина q .

Введение.

Всякое твердое тело, подверженное действию внешней силы, испытывает некоторое видоизменение внешней формы как говорят, деформируется. Величина этой деформации зависит от величины силы и, при определенных условиях, может повести к разрушению тела. Так как каждое сооружение, будь то здание, мост, машина и т.п., всегда находится под действием тех или других внешних сил, то весьма существенным является вопрос, не могут ли эти силы оказать опасные для разрабатываемого сооружения. Вопрос этот сводится к определению степени сопротивляемости материала, из которого изготовлен предмет (или его части), силам, действующим в нем деформирующе.

Условия равновесия сил, приложенных к какому-либо твердому телу, дает теоретическая механика, но при этом необходимо заметить, что последняя наука рассматривает тело, как неподвижную систему материальных точек. Под такое определение действительно существующия тела не подпадают, ибо абсолютно твердых материалов в природе нет. Всякое конкретное тело обладает особенными свойствами упругости, которое заключается в том, что небольшие формоизменения, деформации, вызываемые внешней силой или системой сил, по прекращении действия их, исчезают и тело вновь восстанавливает свою форму. С другой стороны механика, рассматривая тело как абсолютно твердое, допускает, напр., перемещение точки приложения силы по направлению касательной. Также перемещение в действительности невозможно, ибо величина деформации находится в зависимости от момента приложения силы. Представим себе (фиг. 1) произвольное твердое тело, подверженное действию сил 1, 2, 3, ..., 6, находящихся в равновесии с сопротивлением материалов гаше I. Проф. И. И. Власовичев.

539.3/6



новости. Аргументная система сил вы-
 зовет соответствующую деформацию
 полость которую только дайте уже не
 изменит своей формы. При этих усло-
 виях его можно уже рассматривать как
 систему материальных точек неиз-
 менно связанных друг с другом. Раз-
 рываем только мысленно плоскостью
 ММ и представляем, что часть II выне-
 сена в равновесии, необходимо взаимно-
 действующие створенной части I с при-
 соуженными к ней силами 4-5 заме-

нить какими либо другими силами и наконец домысли-
 тельно быть приложены в месте разрыва ММ. Пусть это бу-
 дет некоторая система сил P_1 . Относая подобная разрыве-
 тельности части I (сторона вая I), приходим к заключению, что в месте
 разрыва ММ на части I должна быть приложена система
 сил. Но система внутренних сил 1-3 уравновешивает систему P_1 ,
 или систему 4-5, а полная равновесие системы P_1 . Тогда
 да следует, что система P_1 равновесие системы P_2 , но ей
 прямо противоположна. Сказанное относится к произвольному
 месту разрыва. Другими словами, под действием внутренних сил
 1-5, внутри тела в каждом элементе его, возникают внутрен-
 ние и внутренними силами и соответствующими деформаци-
 ями, очевидно, существует неравновесие свое. Установившись
 этой зависимости зависимости отсюда математической функции
 - теория упругости. Но эта наука как и механическая меха-
 ника, изучает вопрос совершенно абстрактно, представляя тело
 в природе как не является тело совершенно твердым, так можно
 считать востроить тело идеально упругим. Представляет упругий
 материал - каучук не может выдать возстановить свою форму,
 если величина внутренних сил выдвигает очень великия внутренняя
 сила; подобно этому и тело упругое только силой, глина под
 действием весьма малых внутренних давлений показывает некото-
 рое свойство упругости. Явления образам, для изучения зависи-
 мости между упомянутыми тремя факторами, примени-

тельно к существующим в природе материалам, необходимо все
 время считаясь с их физическими качествами. Теория сопро-
 тивления материалов и ставит своей задачей решение вопроса
 о сопротивляемости внутренним силам твердых существующих
 тела (или правильно - твердых створенных материалов) при
 различных условиях. Для этого, пользуясь результатами опыта-
 дования теории упругости, наша наука применила во внима-
 ние существующее качество материала и вводит соответствующие
 поправки. Из этого уже не трудно заключить, что для получения
 необходимых результатов потребуются сведения чисто экспери-
 ментального характера. Они получаются при помощи опыта
 и наблюдений, отчасти из практики над постройками различных
 сооружений, а главным образом, необходимые данные собираются в
 механических лабораториях. Здесь при помощи специальных ма-
 шин производится исследование всякого рода створенных
 материалов. Благодаря этим опытам возможна проверка тео-
 ретических предположений и наоборот, результаты опытов по-
 зволяют строить новую гипотезу, создавать новую предположе-
 ния. Благодаря наблюдениям Нюокса (Юк) пришел к заключению,
 что производимая внутренней силой деформация прямо пропорци-
 ональна величине силы. Эту зависимость он выразил в знаме-
 нитой поговорке: «ut tensio sic vis». Это положение под-
 тверждается опытами над разными родами материалов и до насто-
 ящего времени является в основу при изучении упругих явлений.

Лабораторные исследования над некоторыми матери-
 алами показали отклонения от указанного закона Нюокса; как уви-
 дим ниже, существовали попытки еще в XVIII столетии при-
 дать новое математическое выражение для зависимости между
 внутренними силами и деформациями, но попытки эти по-
 нятки не привели к какому либо положительному результату и
 если основание полагать, что дальнейшие исследования в некото-
 рых случаях от закона Нюокса объясняются переходом всего недо-
 водно створить этих тел, тогда пограничным при опытах.
 Знание теории сопротивления материалов для каждого типиче-
 ского, не зависимо от его специалности, немаловажно для потому, что
 эта наука одна дает возможность решить для существующих за-
 дачи:

1) По данным внутренним силам и при соблюдении указанных условий
 найти прочие размеры сооружения или его частей и

2. По существующим разрывам данного сооружения или его части определить величину внешних сил, которая могут быть приняты без опасности для прочности.

Переходя к изучению предмета теории сопротивления материалов, не лишнее сказать несколько общих определений.

Прежде всего необходимо указать, что понимается здесь под внешними силами. Очень много подразделяют внешние силы на механические и химические. Под первыми разумеют силы, которые вызывают в веществе стремление к перемещению, под вторыми понимают силы, изменяющие химический состав тела.

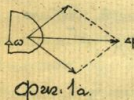
Собственно говоря, подобие определений механических сил истинно но не точно. В самом деле, при химических реакциях, которые имеют в результате, естественно, изменение химического состава тела, взаимодействие наблюдается всегда перемещение частицы. Особенно ясно наблюдается оно при химических процессах, сопровождающихся выделением газов. Следовательно стремление к перемещению в веществе возможно и без, так сказать, механического воздействия со стороны. Поэтому различие между механической силой и химической правильно определить так: первая вызывает стремление к перемещению частицы, но при этом явлении не сопровождается изменением химического состава, подвергнутое воздействию силы тело остается по своему строению во все время продолжения опыта одинаковым. Например, перемещение частицы, под влиянием химических сил, обязательно сопровождается изменением химического состава, а в большинстве случаев и физическое и механические свойства. Можно привести ряд примеров, когда химическая реакция вызывает действие механической силы и наоборот. Так, если представить себе процесс взаимодействия, попростому, сыпавшей кислоты на углекислый кальций в герметически закрытом сосуде, то, как известно, реакция эта сопровождается выделением углекислоты, будет продолжаться до тех пор пока установится некоторое определенное давление газа. Если этот открытый сосуд, подвергнутый давлению углекислоты, деформируется, то давление это по отношению к сосуду, является внешней механической силой.

Мне приходится наблюдать деформации свободно лежащего тела (хотя оно обременено некоторым количеством со стороны механического воздействия). Изследования показывают, что близкие к действительным химическим реакциям вообще, особенно в сосуде.

дара недрожности приготовления, в кирпиче, оказывается тогда извести, которая при обратном обращении в землю пачкается. Последняя, под действием паров воды атмосферы, превращается в гидрат силикат кальция - тело, обладающее большими объемами неорганического кальция. Вытравляясь, новое тело $Ca(H_2O)_2$ подвержено настолько большому расширяющему действию на массу кирпича, что последний разрушается. Поэтому собственно говоря механическая энергия может вызвать проявление чисто химической силы. Так, например, подогревание гасицы смеси известкового порошка с серой до известной температуры оказывается равносильным к началу сильной химической реакции, даже по прекращению сообщения телами. Подобным образом, оставаясь в стороне вопрос о природе силы, в предположении курса мы будем под внешними силами понимать те силы, которые, не учитывая химического состава тела, вызывают в нем перемещение частиц, деформацию.

Важно было указать, что при появлении деформаций в данном теле, под действием внешних сил, внутри его рождаются так называемые, внутренние силы. Не трудно видеть, что тело может сопротивляться такому воздействию лишь до тех пор, пока эти внутренние силы не преобладают монументально свою массу частицами.

Общий метод для решения вопроса о величине и направлении внутренних сил заключается в способе сечений. Разрезаем тело произвольной плоскостью и отбрасываем одну его часть, разрезаем другую, как находящуюся в равновесии. Распределение внутренних сил, приложенных к массе части стержня, вообще говоря, неравномерное, но выходя за какой-либо толстый стержень, весьма малую площадь $\Delta\sigma$ можно допустить, что на этом небольшом протяжении внутренние силы равномерно и распределены по площади равномерно (рис. 1а). Равнодействующая их будет Δp . Если же на квадратную единицу приходится сила $\frac{\Delta p}{\Delta\sigma}$ и это значение, конечно, тем точнее, тем меньше площадь $\Delta\sigma$. Следовательно нагрузка или, как принято выражаться, напряжение внутренних сил на данном участке можно считать элементом равно $K = \lim \left(\frac{\Delta p}{\Delta\sigma} \right)$ и



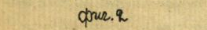
В предположении равновесия ее можно проявление соответствующим деформациям.

если даны только отнесено к системе координат Ox, Oy и Oz , то напряжение есть функция $\bar{X}, \bar{Y}, \bar{Z}$ т.е. $K = f(x, y, z)$.

Равновесивующая Δp может быть разложена на нормальную Δn и касательную Δt составляющие, из которых первая перпендикулярна к элементу $\Delta \sigma$, вторая лежит в его плоскости. Соответственно этому возможны два рода напряжений: нормальное... $K_n = \lim \left(\frac{\Delta n}{\Delta \sigma} \right)$ и касательное... $K_t = \lim \left(\frac{\Delta t}{\Delta \sigma} \right)$.

В общем случае, когда рассматриваемое тело подвержено действию некоторой системы внутренних сил, решим вопрос о величине и распределении внутренних напряжений гораздо легче, найдя предварительно соотношение касательных и нормальных. Другими словами, общий случай сводим к частному, когда задана только одна плоскость. Таких частных случаев имеется пять:

1. Прямоугольный брусок (фиг. 2) растягивается двумя равными, но прямо противоположными силами P и P' , приложенными в центр тяжести конечных стержней.



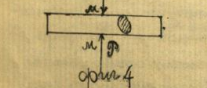
фиг. 2

2. При изменении направления сил на прямо противоположные (фиг. 3) получается явление сжатия.



фиг. 3

3. Расположение сил (фиг. 4) вызывает явление касательных сил в плоскости mn и имеет своим последствием так называемое скручивание.



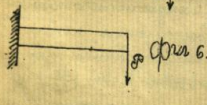
фиг. 4

4. Под действием двух пар P_1 , приложенных в противоположных стержнях, брусок претерпевает деформацию скручивания (фиг. 5) и наконец

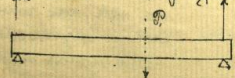


фиг. 5

5. В случае расположения сил, указанных на фиг. 6, наблюдается так называемое изгиб.



фиг. 6



Упомянутая простая форма сопротивления бруска могут комбинироваться между собой в так называемое сопротивление (общий случай).

Растяжение.

Представим себе прямоугольный брусок (фиг. 7), укрепленный вершинами A и B висающий вертикально; в самом бруске пока не сосредоточена сила P , совпадающая по направлению с осью бруска. Отметим на бруске некоторую длину $ab = l$. Под действием силы P брусок может вытягиваться и стержень a перейдет в a_1 и b — в b_1 . Новая длина $a_1 b_1 = l_1$ очевидно будет больше ab , т.е. $l_1 > l$. Приращение длины l , а именно $\Delta = l_1 - l$ называется абсолютным. Если по прекращении действия силы, брусок сократится так, что стержень a и b вернутся в первоначальное положение, то удлинение исчезнет и следовательно оно (Δ) будет упругим и обратимым процессом, как говорят, в пределах упругости.

С постепенным возрастанием силы P увеличивается соответственно и величина Δ , причем, как показывают наблюдения, имеем зависимость:

$$\Delta = a \frac{P}{E} \quad (1)$$

где a — площадь поперечного сечения бруска и E — коэффициент пропорциональности, зависящий лишь от физических свойств материала. Эта прямая пропорциональность носит название закона Гука, но имени английского ученого, который впервые обратил внимание на такую зависимость между силой наблюдений над деформациями пружин.

Для каждого бруска в зависимости от его поперечного сечения и материала можно найти опытом по значению E силы P , при которой указанное u — и (1) нарушится и величина Δ возрастает быстрее неслучайно. Представим себе, что нагрузка достигла значения $P_2 > P_1$ и соответственное удлинение Δ_2 . По прекращении действия силы P_2 , брусок сократится, но при этом расстояние l_2 между точками a и b оказывается уже несколько больше l . Скорость

Ближе к показателю, что при растяжении призматического бруска стеною, совпадающей с осью его, каждое сечение перемещается равномерно само к себе. Если напр. изобразить на боковой поверхности бруска линию ab , то после деформации она переместится в $a'b'$ таким образом, что ab и $a'b'$ следовательно деформация в каждой частице от a до b постоянна, а это возможно лишь при условии, что внутренняя сила точно такая постоянная на этом протяжении. Величина напряжений K в данном случае определяется как отношение от деления $\frac{F}{S}$ на площадь поперечного сечения S т. е.

$$K = \frac{F}{S} \quad (2)$$

Так как сечение ab взято произвольно по длине бруска, то очевидно напряжение K будет при данной силе F постоянно в любом поперечном сечении ^{*)} трубки бруска. Обращаясь к выражению (1) введем в него вместо F и S соответственное значение через K . Тогда получим

$$l = \alpha k \text{ или } k = \frac{l}{\alpha} = E l \quad (3)$$

В последнем виде аналитическая зависимость между напряжением и деформацией примененная всего та же. Если поделить в (3) l на l , найдем: $k \cdot E$. Следовательно коэффициент E есть нечто иное как напряжение при условии, что $l = 1$, т. е. при условии, что каждой единице длины бруска получено приращение равное этой единице или, другими словами, наблюдаемая длина l увеличилась вдвое. Практически получить такое увеличение длины даже в непосредственной близости ^{*)} невозможно, так как все материалы разрушаются гораздо раньше получить таких деформаций. Установить составленным очень нежной трубки, как напр. коллук и др. Дольше всего выдерживает величина E равна в среднем 20000 кнд. на мм^2 . Между тем как разрушение такого же образца происходит уже при напряжении в 40 кнд. на мм^2 , чему соответствует всего $l = 0,001$. Следовательно величина E является величиной отрицательной т. е. не менее ста, как увидим ниже, и дает весьма важную роль в теории сопротивлений материалов и умение найти ее для различного рода деформируемых материалов очень существенно. Это сопротивление E называется обыкновенно модулем упругости 1^{го} рода и как ^{*)} т. е. перпендикулярно к оси бруска

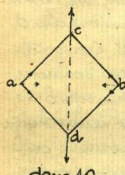
^{*)} когда это выразится (1), а l и (3) относятся лишь к длине проволоки.

мы будем выражаться в высших единицах на квадрат единицы, т. е. всего в килограммах на квадрат сантиметра или в английских и американских системах в фунтах на кв. дюйм; в метрических русских - в тоннах на кв. дециметр. Ввиду значительности E необходимо учитывать ее для различных материалов; это производится обычно лабораторным путем и методы нахождения будут описаны ниже.

Поперечное сжатие.

Если производить растяжение призматического бруска, будем одновременно измерять поперечные размеры, тогда установим, что с увеличением удлинения брусок сжимается поперечно точнее и это сжатие наблюдается по всей неизменной длине l . Пусть брусок имеет квадратное сечение со стороны a , т. е. площадь его $\omega = a^2$. Если при сжатии силой F , длина бруска увеличивается до l_1 и он получил абсолютное удлинение $\Delta l = l_1 - l$. В то же время сторона квадрата a сократится до $a_1 < a$ и новая площадь поперечного сечения будет $\omega_1 = a_1^2$ т. е. $\omega_1 < \omega$. Отношение радиусов $a - a_1$ к a , т. е. дробь $r = \frac{a - a_1}{a}$ носит название относительного или поперечного сжатия.

Сущность явления поперечного сжатия при продольном удлинении заключается в том, что частицы имеют стремление перемещаться от периферии к центру. А если это можно схематически представить себе так: пусть частицы (рис. 10) c и d под действием внутренних сил отталкиваются друг от друга; под влиянием их взаимодвижения в частицах a и b развиваются равнодействующие, которые вызывают сближение их между собой.



Разрабатывая вопрос с точки зрения теории упругости материалов, можно показать, что отношение между относительными поперечным сжатием и относительным удлинением i есть величина постоянная равная 0,25, т. е.

$$r : i = 0,25 = m.$$

Практически, ввиду различных механиз-

тесных свойств материалов величина m — коэффициент Пуассона — увеличивается, правда в небольших пределах, в зависимости от материала. Если при растяжении бруска увеличивается его длина и пропорционально, то является ли вопрос — остается ли объем бруска постоянным? Опытным путем доказано, что объем при растяжении возрастает. При этих условиях можно показать, что коэффициент Пуассона может иметь наибольшим своим значением 0,5. В самом деле, приращение объема бруска под действием груза P будет:

$$\Delta V = a_1 l_1 - a_2 l_2, \quad \text{но } a_1 = a(1-\mu) \text{ и } l_1 = l(1+i), \text{ а потому}$$

$\Delta V = a^2(1-\mu)^2 l(1+i) = a^2 l \{ (1-2\mu + \mu^2 + i - 2\mu i + i\mu^2) \}$.
 Как как величины i и μ вообще не велики, то можно отбросить вторые их степени или произведения их между собой, тогда получим:

$$\Delta V = a^2 l (i - 2\mu).$$

а так как на основании опыта приращение объема неопозитивно, то имеем окончательно:

$$m = -\mu \leq \frac{1}{2}$$

Действительно, многочисленные наблюдения показывают, что коэффициент Пуассона увеличивается для различных металлов в пределах от 0,25 до 0,5. Несомненно значения относятся к металлам абсолютно неэластичными, то есть так как, как значения 0,25 может быть присуще металлам абсолютно упругим.

С увеличением объема, конечно, уменьшается удельный вес металла, но это уменьшение весьма мало. Действительно для металла коэфф Пуассона имеет среднее значение $m = 0,3$, полагая $E = 20000 \text{ кг/см}^2$ и полагая, что при нагрузке в 20 кг/см^2 брусек с длиной l и площадью A получит увеличение объема $V_1 - V_2 = \Delta V = 0,0004 V$. Следовательно плотность δ материала уменьшится в отношении пренебрежимо малого объема, т.е. $\delta = 1,0004 \delta$, где δ — вес куб. см материала до растяжения. При малости поперечного сечения, ввиду сохранения поперечных сечений, истинная величина напряжения K должна быть полагалась действием действующего груза и на первоначальное сечение ω , а на $\omega_1 = \omega(1-i)^2 = \omega(1-m)^2$. Но так как величина m не велика, то обыкновенно под действи-

тельным значением для напряжения понимают $K = \frac{P}{\omega}$. Ошибка при этом происходящая ничтожна, так как величина груза P .

Действительное напряжение $K_1 = \frac{P}{\omega(1-i)^2} = \frac{P}{\omega(1-m)^2}$ несколько больше нежели $K = \frac{P}{\omega}$, а именно $K_1 = K(1 + (1-m)^2)$. Например приведенного выше случая жесткого бруска при $K = 20 \text{ кг/см}^2$ и $m = 0,3$ имеем: $K_1 = 20,012 \text{ кг/см}^2$, т.е. ошибка равна всего 0,06%.

Отступление от закона Гука.

Обращаясь от теоретического материала, обладающего абсолютной однородностью к материалу действительному существующему, мы замечаем, что прежде всего на то обстоятельство, что весьма многие материалы при изгибании их в лабораториях на растяжение не следуют закону Гука и зависимость между упругими деформациями и напряжениями не может быть выражена простым пропорциональностью. Особенно резко это отклонение от закона Гука выражается в каучуке, резине, некоторых сплавах. На указанное явление обращено внимание очень давно и еще в 1792 г. Виллингдо даи зависимость в форме:

$$i = \alpha k^m$$

Здесь i и k имеют прежние значения, α коэффициент пропорциональности, m — показатель разный для разных материалов и даже для различных сортов одного и того же материала. Позднее были предложены другие формы этой менее строгих зависимости; можно сказать, что вообще искомая зависимость может быть представлена в виде:

$$i = \alpha k + \beta k^2 + \gamma k^3 + \delta k^4 + \dots$$

Путем экспериментов можно определить коэффициенты $\alpha, \beta, \gamma, \delta$ и т.д. и наоборот в каждом частном случае вид функции $i = f(k)$.

Из различных предложенных формул Виллингдо имеет некоторое значение благодаря работам Вагера и Schille. Но во всяком случае она не важна в виду и думается пренебречь всего потому, что определение показателя m , требующее кропотливой работы, мало имеет практического значения. Отмечая от единицы, для резина, напр., на наибольшую величину показателя m от 1,0, определенным для одного сорта резина совершено

не подведи для другого. Опыт показывает даже, что для брусьев отлитых из одного ковша, показатели m ступень и рядом одинаковы. Это касается вопроса чисто теоретическим, то здесь, конечно, определение более точной зависимости между i и k может быть интересным. В настоящее время все выводы теории упругости строятся исключительно на законе Гука и выводы полученные таким образом применяются к реальному типу материалов, которые в действительности этому закону не следуют. Из материалов, в которых простая пропорциональность наблюдается почти точно, отлитыми оказались, сталь, красная медь, латуны; как видно материалы с наиболее однородной структурой

Движение за пределом упругости.

По достижении предела упругости, деформация d материала растет быстрее неким направлением, при этом полное удлинение состоит из упругого или исчезающего d_1 и остаточного или пластического d_2 . Между относительными удлинениями $\frac{d}{l} = \frac{d_1 + d_2}{l} = i$ и напряжением k негладкая зависимость, так как она сохраняется лишь между $\frac{d}{l}$ и k . Определенной функцией между i и k не существует, она изменяется даже при переходе от одного бруска к другому. В каждом частном случае, конечно путем ряда наблюдений, возможно составить уравнение, напр. в виде: $k = a_1 i + b_1 + c_1 i^2$.

Более проще построить полную зависимость графически. Действительно, будем откладывать на оси абсцисс (рис. 11) действительные силы P_1, P_2, P_3, \dots а на оси ординат соответствующие им полные абсолютные удлинения: кривая ABC очевидно даст нам изобразительное уравнение $P = y(i)$; если вынести d и l будем откладывать так же как и $i = \frac{d}{l}$, то получим графическую кривую $K = f(i)$.

Обратившись к наблюдению ват-

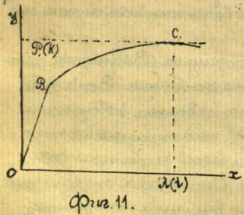
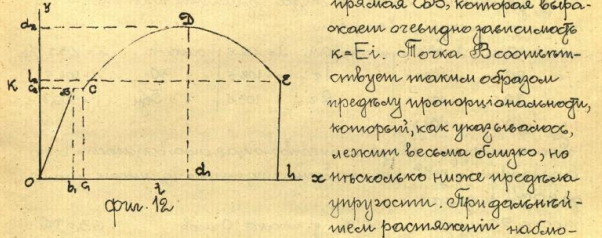


рис. 11.

ными металлами, можно отметить, что характер (общий) кривой зависит от степени однородности и пластичности материала. Так, напр, железо сварочное и литое, стальная сталь, красная медь, латуны, никелевая бронза и т. п. имеют следующие особенности. До точки B (рис. 12) получается



прямая OB , которая выражает очевидно зависимость $k = E \cdot i$. Точка B соответствует таким образом пределу пропорциональности, который, как указывалось, неспит весьма близко, но несколько ниже предела упругости. При дальнейшем растяжении наблю-

дается, что увеличение номиналом растит значительно быстрее, между тем как нагрузка, а следовательно и напряжение (ордината OC) не увеличивается, иногда даже несколько уменьшается. Движение производит такое впечатление, как будто материал сопротивляется весьма слабо, как говорят, течет. В тем же направлении сущности явления складывается впечатление определенно трудно. Несомненно лишь, что здесь имеет место сильное перемещение границ. Этот период, часто называемый первым критическим периодом, продолжается некоторое время иногда 30-50 минут, после чего устанавливается вновь равновесие и материал по-прежнему способен сопротивляться возрастающим внешним усилиям. Стресса здесь все же деформации растут быстрее напряжений, но тем не менее последняя растут. Надо заметить, что образование пластических деформаций вообще гораздо предостерегает некими усилиями. Отдельные наблюдения над проволоками из различных металлов показывают, что увеличение длины под действием какой либо нагрузки превосходящей эластичность предела упругости продолжается иногда дни, недели и даже месяцы.

Напр, из опыта Вольфа можно привести такой пример: для стальной проволоки брусков $d = 16 \text{ мм}$, $l = 100 \text{ мм}$.

Время отжига	напряжение	удлинение
1 ^{ый} бойсок	— 2 1/2 мин. 39,25 кг/см ²	32%
2 ^{ой} "	12,15 мин. 37,20 " "	34%

Словите при испытании резиней нагрузки, напр. при напряжении $k = 1,50$ кг/см² полную деформацию $\Delta = 96\%$. Под действием того же груза удлинение постепенно возрастало с течением времени

после 10 мин.	$\Delta = 93,5\%$	после 50 мин.	$\Delta = 102,5$	после 4 ч.	$\Delta = 103,5\%$
" 20 "	" 100,5 "	" 1 г.	" 102,5 "	" 10 "	" 104,5 "
" 30 "	" 104 "	" 2 г.	" 103,0 "	" 5 дн.	" 109,0 "
" 40 "	" 101,5 "				

После нагрузки, когда расширяющаяся сила воздействует всего 0,004 кг/см² было найдено, что после удлинение упало до 66% и даже.

после 20 мин.	66%	после 10 часов.	63,0%
" 2 часов.	64 "	" 7 дней.	59,0 "

Из последней таблицы видно, что упругая деформация исчезает не сразу, а постепенно. Это явление носит название упругого послепействия и указывает на зависимость между упругими деформациями и временем.

Можно сказать на основании наблюдений, что приращение упругих удлинений с течением времени весьма мизерно и практического значения не имеет. Этого нельзя заметить только относительно к остаточным деформациям. Поэтому при лабораторных исследованиях при постепенном увеличении нагрузки в предельной упругости или необходимости выдерживать одну и ту же нагрузку для получения отчета деформации. Работает за этим предельное равновесие между внешним расширяющим грузом и внутренними силами натяжения гораздо медленнее. Возрастание нагрузки, следовательно и напряжения, идет до некоторого максимума (точка D) после чего наблюдается новый критический период (второй): нагрузка продолжает увеличиваться в то время как деформация растет чрезвычайно быстро. Наблюдая поверхность образца, замечаем, что около одного из поперечных сечений образуется кольцевая впадина или перекос, который постепенно ширится и соответственно уменьшается поперечное

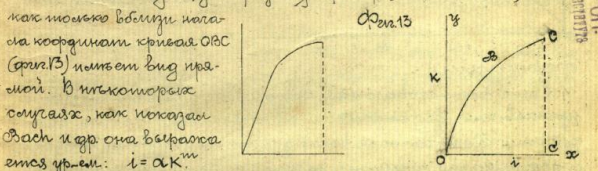
сечение пока, конечно, не происходит разрыв. Сильное падение напряжения объясняется, конечно, указанным уменьшением поперечного сечения; разрывающий груз и соответственное напряжение k_0 при разрыве (ордината E₁) конечно, меньше чем при наибольшем (ордината D₁). В практике этим не пользуются за предельное напряжение k_0 считают, именно, наибольшее, т. е. D₁. Оно дает указание на наибольшую сопротивляемость материалов перед разрушением и носит название временного сопротивления. Установить величину напряжения непосредственно при разрыве, т. е. ординату E₁, очень трудно, благодаря недостаточной чувствительности машин или вториче - аппарата регистрирующего нагрузку.

Поперечное сечение которое характеризуется перекосом или шейкой всегда совмещается с первыми сечениями, которое определяется коэффициент Пуассона. В последнем случае сокращение поперечных размеров наблюдается не во всем длине равномерно, тогда как в первом оно наблюдается в одной точке. Величина этого сжатия, в зависимости от пластичности материала, достигает больших значений, как вы видите из следующих примеров, взятых из отчетов Зейделя:

Материал	отношение при разрыве	поперечное сечение	удлинение при разрыве
Литое железо (в среднем)	41,5	69,2%	33,2%
Литая сталь	63,6	36,1%	18,6%

Здесь приведены данные относительно поперечных сечений при отношении $\frac{a_0}{a}$ в%. Иногда вместо этой цифры дается отношение $\frac{a_0 - a}{a_0}$ также в%.

Обращаясь к материалам менее однородным, замечаем, как напр. в гугунге, что здесь трудно указать точку B, соответствующую предельной пропорциональности, так



как только vicinity начала координат кривая ABC (или B) имеет вид прямой. В некоторых случаях, как показано в ах и др она вырывается из урн: $i = ak^m$

В некоторых, довольно редких случаях наблюдается одновременно два-три шейки. Разрушение происходит, конечно, в одной из них.

ЭМПИРИКА ВЪРОЖДЕ

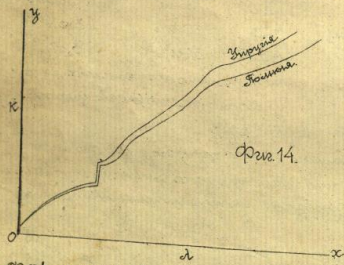
Движение металла не наблюдается вовсе, разрушение происходит по оси или из стальной без образования шейки. Деформация как упругая так и пластическая очень мала.

В таком же роде как для чугуна получаются кривые для различных сортов стали.

В одном из опытов Ноддингера для стальных образцов длиной $l = 15,25 \text{ м}$, $\omega = 645 \text{ мм}^2$ было найдено:

Высота h	Напряг. удлинение на 1 кв. сантиметр в %			Напряг. удлинение на 1 кв. сантиметр в %		
	упругое	эластическое	полное	упругое	эластическое	полное
0,74	0,075		0,075	5,92	0,056	0,715
1,11	0,1127	0,00133	0,114	6,66	0,070	0,823
1,45	0,11046	0,00464	0,115	7,40	0,083	0,946
2,21	0,23008	0,00801	0,239	8,14	0,099	1,068
2,96	0,41140	0,01460	0,426	8,86	0,134	1,206
3,70	0,416	0,022	0,438	9,63	0,175	1,392
4,44	0,590	0,031	0,551	10,40	0,201	1,543
5,17	0,568	0,043	0,611			

Таким образом при нагрузке близкой к разрушению удлинение полное составило ~ 0,16%. Далее видно, что не только полная, но и упругая деформация отклоняется от закона пропорциональности (диаграмма).



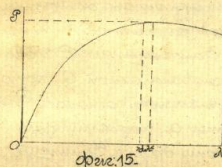
Работа внутренних сил (работа де-

формации)

Сила растягивающая брусок, производит его сопротивление деформации и, следовательно, производит работу. Если так же рассуждать на напряжение бруска и деформацию машины, согласно этим обстоятельствам неубавит, лишь, что работа внутренних сил

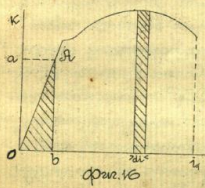
ком расходуется на производство внутренних сопротивлений в материалах неупругого бруска. Указанное допущение основывается в 1^ю на том, что работа пластической машины достояны быть разогнаны с таким запасом, при котором формирование их совершенно незначительно; в 2^ю, температура при растяжении бруска поднимается равным образом с уменьшением температуры материала, но принимая во внимание очень незначительную теплоемкость металлов, возможно пренебречь и этой погрешкой.

Если полное удлинение бруска равно l , то работу работы внутренних сил равна $W = \int_0^l P dx$. Интеграл этот может быть вычислен, если известна зависимость P от l или функция P и l от времени. Обращаясь к диаграмме удлинения, можно утверждать, что площадь (Фиг. 15) ее равна $\int_0^l P dx$, т. е. выражает собою как раз работу внутренних сил, а стало быть, равно работе сил внешней. Относительно к координатам K и i найдем, что площадь этой диаграммы



будет: $W = \int_0^l P dx$, заменив здесь K через P : ω и i — через l : l , найдем $W = \frac{\omega}{2l} \int_0^l P dx$, т. е. площадь такой диаграммы выражает собою работу внутренних сил, отнесенную к 1 куб. единице объема. Такое выражение называют единичной работой деформации.

Известно, что полная работа внутренних сил это работа, внутренних сил равна объему бруска, умноженному на величину единичной работы — деформации. Не трудно найти значение T для напряжения в среднем пропорциональности.



Действительно, для какого либо напряжения $K = \sigma \omega$ (Фиг. 16) полная работа выходящая площадью $\Delta \omega = \frac{\sigma \omega^2}{2}$, т. е.

$$T = \frac{K^2}{2E} = \frac{\sigma^2}{2E} \dots (4)$$

Методы определения модуля упругости и др. дан. ниже.

Первым наиболее удачным способом проверки закона Ньютона и определения величины E надо считать метод Wertheim. Этот закон производится оптикой над жемчужными проволоками, т. е. проволоками с очень небольшими поперечными сечениями.

Используемый брусок закрепляется в кронштейне (рис. 17) укрепленном в стенке; к нижней точке D проволоки подвешивается посредством цепи ящик B , который ставится на подставку C . Доля того, чтобы растягивали груз действовал постепенно, а не ударом, скакля C снабжалась винтами a , ввинчивая и вывинчивая которые можно переместить груз вверх и вниз весьма ловко. Чтобы при спускании ящика B не происходило закручивания проволоки, ящик B имеет ребро b , которое перемещалось в паре, сходящихся в стенку. Перед началом опыта Wertheim делал две отметки m и n , при чем длина (разрешенная) m не превышала 1 метра. Затем ящик B постепенно нагружался; скакля a , которая вытаскивалась с весом ящика разматывалась и отвинчивая винты a , подвешивали ящик K к нижней проволоке. Изменение проволоки, вызванное силой P , наблюдалось помощью двух микрометров, позволяющих деление шкалы с точностью до $0,01 \text{ мм}$. Разность перемещений точек m и n представляла точное абсолютное удлинение l . Впоследствии в течение времени, доску C поднимали и вновь опускали и в ящик вводился новый груз P . Опуская скакля, подвешивали брусок постепенно скакля a , доску C вновь опускали, что нагружали $P, 2P, 3P, \dots$ вызывая соответственные удлинения l_1, l_2, l_3, \dots при чем $l_2 = 2l_1, l_3 = 3l_1$ и т. д. Так продолжалось до некоторого груза P_0 , при котором указанная пропорциональность прекращалась.

Для этой экспериментатор Hodgkinson про-

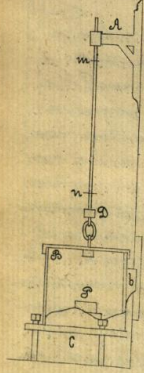
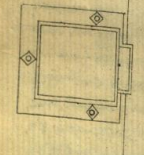


Рис. 17



изогнуть оптикой, подобными отклонениями, но над проволоками до- стигающими длины до 10 метр. Ввиду трудности получить прямой брусок подобной длины, отлитые проволоки состав- ляют из гасей, соединенных между собой муфтами.

Брусок закрепляется в поперечнике A (рис. 18) подвешенной к потолку. Она соединяется двумя штангами B, B , одна составными, с другой по- перечной C , через которую свободно проходит используемый брусок D . К концу подвешивается гайка E , на которую и висит груз. Для отсчета удлинения на брусок D устанавли- вают стержень a . Разрешенная длина составляла от 10 до 15 метров. Верхней поперечной до висит A . Подвешивая брусок растягивали грузом P , вызывая деформацию удлинения l . Сами отсчеты производили помощью стального камня, на длинном камне которого (рис. 19) были нанесены деления. Предполагали, что при нагрузке P камень, вставленный в просвет между висит A и поперечной C , делится до деления a , а при силе $2P$ — до деления b , другая соответственная отметка деления b вертикальные камни и вышина h — один из другого, мы получили величину удлинения l . Если полученную величину на длину бруска, получим относительное удлинение i .

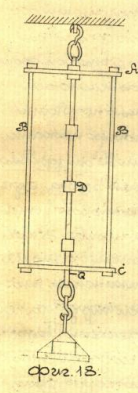


Рис. 18

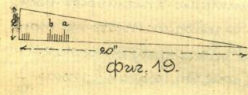
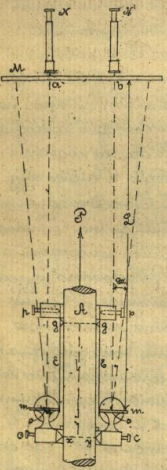


Рис. 19

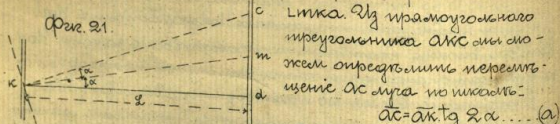
Способы наблюдений, производимых Hodgkinson и Wertheim весьма подтверждают справедливость закона Ньютона для материалов, над которыми эти опыты производились. Впоследствии в течение по примеру проф. Вагштингера, сильным распространением пользуются различные методы держания отсчета. Этот прием позволяет при опытах с проволоками малой длины получить весьма значительную точность результатов. Любопыт Вагштингера для держания отсчета состоит в следующем. На используемой проволоке A (рис. 20) нанесены

горизонтально, посредством винтов С и пружин D, удерживающаяся осью или ободком В. Она имеет на себе два вертикальных валика 0,0 с рамками, на осях которых и насажены зеркала М, М перпендикулярно к оси бруска. На некотором расстоянии $l = xz = yz$, по длине бруска, по средством винтов б, б и пружин д, д (на второй ободке), закрепляется параллельно оси бруска две горизонтальные пружины ЕЕ, свободные концы которых нажаты на рошники. На расстоянии L от зеркала находится горизонтальная рейка с делениями (шкала Мел), за которой установлена две зрительная трубки А и А'. В трубке А и А' будут видны деления шкалы а и б, если вертикальная плоскость, проходящая через оси труб перпендикулярно к плоскости зеркала. Плоскости те же, что брусок, под действием силы F получим некоторое удлинение Δl и сгибание zt перпендикулярно в зт. При этом пружины, как известно



Фиг. 20.

с брусками, повернуты рошники на некоторый угол α , а величина с ними повернется и зеркала М, М на тот же угол α . Так к углу падения луча равен углу отражения, то в трубку видно будет деление С (Фиг. 21), причем $L \tan \alpha =$

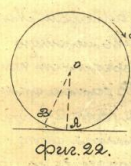


$AC = AB \cdot \tan \alpha \dots (a)$

Угол α поворачивается всегда очень малыми, (что величина радиусируется в предельно пропорционально углу отклонения между направлениями и деформацией), следовательно с не большой погрешностью можно заменить $\tan \alpha$ дугой 2α и тогда условие (a) примет вид: $AC = AB \cdot 2\alpha = 2L \cdot 2\alpha$, α дуга, очевидно, будет равна L.

откуда угол поворота зеркала: $\alpha = \frac{AC}{2L} \dots (b)$

Вот же было сказано, что под действием пружины рошники поворачиваются на угол α . Пусть точка касания пружины с рошниками до отита обода А (Фиг. 22) а по окончанию отита будет В. Очевидно что дуга AB будет равняться перемещению за кривизною конца пружины Е, а следовательно удлинению Δl , которое получает испытываемый брусок между сгибаниями $сузи zt$.



Фиг. 22.

Если диаметр рошника известен d , то: $\Delta l = \frac{d^2 \alpha}{2} = \Delta l \dots (c)$

Подставляя α из ур-я (b) в (c) получим:

$\Delta l = \frac{d}{2} \cdot \frac{AC}{2L} \dots (d)$

откуда относительное удлинение: $i = \frac{\Delta l}{L} = \frac{1}{4} \cdot \frac{d^2 AC}{L^2}$

При нагрузке отсчеты берем средние из показаний обеих зеркал. Какой точности измерений достигается по способу Вайсшндера можно видеть из следующего опыта. Для железного бруска три диаметра его равны 30 мм, $l = 150 \text{ мм}$, $L = 1600 \text{ мм}$, $d = 6,4 \text{ мм}$, $\Delta C = 20 \text{ мм}$

$\Delta l = \frac{6,4^2 \cdot 20}{4 \cdot 1600} = 0,02 \text{ мм}$

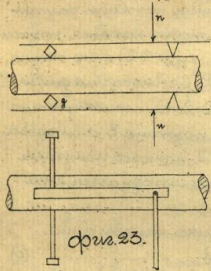
где груза $P = 1000 \text{ кг}$.
 Определим теперь коэффициент упругости. Основное ур-е, определяющее внутреннее напряжение: $P = \sigma \cdot \omega = E \cdot \omega \cdot i$

Последние ур-е и ур-е (d) дают величину коэффициента упругости: $E = \frac{P}{\omega \cdot i} = \frac{4 P L^2}{\omega d^2 \Delta C}$

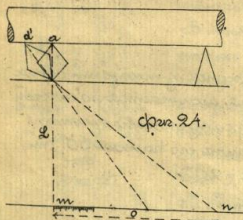
В последние время прибор Вайсшндера изобретен конструктивно профессором Martens.

Вместо рошников на оси зеркальных ободков вместо точек $д, д$ вальцевского сцепления (Фиг. 23). Оси зеркал проходят через точки $д, д$. Пружина нажимает в точках $н, н$ винтами, другими концами ободков прижимки и нажимает их к бруску, оси труб расположены перпендикулярно оси бруска. При такой уста-

новый прибор складывается значительно легче и не нуждается в стойках для укрепления зеркал. Благодаря sleekости



Фиг. 23.



Фиг. 24.

прибор Мартенса удовлетворяется одинаково для брусьев горизонтальных и вертикальных, тогда как для последних прибор Ваншин-дегеля не пригоден вовсе. С теоретической стороны аппарат Мартенса должен давать меньшую погрешность, нежели держаконный прибор Ваншин-дегеля. В самом деле как видно из схемы (Фиг. 24) при удлинении $l = a \sin \alpha$ большая диагональ всегда отклоняется на $l \alpha$. На том же L повернется и держакон, отчего по шкале будет:

$$\delta = m \cdot 2L \alpha \sin \alpha,$$

но с другой стороны $l = D \sin \alpha$, если D — длина большой диагонали. На отклонения $\frac{\delta}{D} = \frac{2L \sin \alpha}{D} \sin \alpha$ пренебрегая $\sin \alpha$ тригонометрическими значениями угла, получаем приближенно:

$$\frac{\delta}{D} = \frac{2L \alpha^2}{D}$$

Погрешка в процентах, благодаря округлению дробей, будет

$$\gamma = \frac{2L \alpha^2}{D} \cdot 100 = \frac{2L \alpha^2}{D} \cdot 100$$

Составляя таблицу для 1-15 миллиметров:

α	1	2	3	4	5	10	15
$\frac{\sin \alpha}{\alpha}$	0.49979	0.49999	0.49999	0.49997	0.49991	0.49710	0.44329
Погрешка	0.046	0.13	0.405	0.73	1.15	4.3	11.54

Для прибора Ваншин-дегеля вытекает $\frac{\delta}{D} = \frac{D \alpha^2}{2L}$, где α — диаметр ролика, или приближенно:

$$\frac{\delta}{D} = \frac{D \alpha^2}{2L} \quad \text{Погрешка в процентах выразится}$$

$$\text{как: } \frac{D \alpha^2}{2L} \cdot 100 \quad \text{и будет:}$$

Значение $\frac{\delta}{D}$	1	2	3	4	5	10	15
$\frac{\sin \alpha}{\alpha}$	0.49979	0.49991	0.49980	0.4967	0.4940	0.4795	0.4530
Погрешка	0.044	0.14	0.40	0.66	1.03	4.27	10.3%

Как видно из этих таблиц погрешность прибора Ваншин-дегеля превышает таковую же аппарата Мартенса, но разница столь мала, что есть основание предпочесть последний. На Фиг. 25 показано расположение прибора Кеннеди, дающего достаточно точный результат, если не требуется очень большая погрешность. При вращении рамбисской призмы около ребра, стрелка ab перемещается по дуге, укрепленной на призме. Если ось вращения стрелки пройдет через точку a , то при повороте призмы на угол α , стрелка повернется на тот же угол и опишет дугу $bd = l \alpha$, если l длина стрелки.

Находя диагональ ромба bd через D , получим перемещение δ точки a , $\delta = D \sin \alpha = D \sin \frac{bd}{l}$.

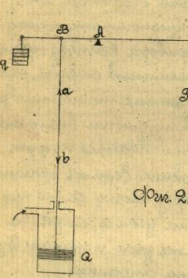
Некоторые приборы для производства опытов на растяжение.

Устройство над брусьями малых поперечных сечений могут быть производимы помощью груза, непосредственно к ним подвешенного, как это можно видеть в опытах Вейтхельма и др. При необходимости же эти приспособления разорвать брусья для измерения поперечных сечений, потребовались бы очень большие грузы, обращение с которыми представляется весьма неудобным. Напр., для разрыва брусьев литой стали, диаметром в сечении 1 кв. см., нужно подвесить к ним до 1875 пуд. груза. Чтобы избежать это, приходится отходить от простых приемов, указанных выше. В настоящее время для разрыва больших кусков помощью малых грузов пользуются рычагами, которые передают действие груза

* Литая сталь с пределом прочности $K = 5000$ кгс на кв. см.

да на брусок, увеличивая посылку в несколько раз, в зависимости от отношения плеч рычагов.

На фиг. 26 изображен такой прибор с одним рычагом: А - точка вращения его, в В прикрепляется растяжимый брусок ав; на другом конце которого действует растягивающая сила В гаситом суконном, изображенном на фиг. 26,

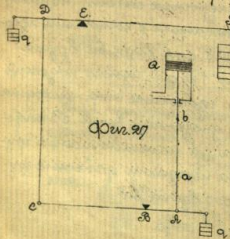


Фиг. 26.

растягивающее усилие развивается давлением жидкости на поршень А, мощным давлением в цилиндре 5. Груз Д служит для приведения до начала отбоя главного рычага в горизонтальное положение. Если на ганку Д положить груз В, то точка С погрузит опрессовку опустится, а поршень с микротруссельным бруском поднимется. Чтобы удерживать всю систему в равновесии, следовательно рычаг ВС в горизонтальном положении, производят давление на поршень, касаясь в цилиндре В воду или глицерин, при чем брусок АВ растягивается. Движение В и удерживая постоянно прибор в равновесии, можно проследить все явления растяжения.

Груз В, подвешенный на конце рычага С, растягивает брусок ав с силой $A = \frac{BC}{AB} \cdot \frac{b}{a} \cdot D$, при чем отношение плеч AC:AB доходит до 500 (машинка Wotdog).

Двойной рычажный прибор.



Фиг. 27.

Этот прибор (фиг. 27) состоит из двух рычагов ABC и DEB, точка вращения их суть В и Е, рычаги соединены между собой талой CD. Растяжимый брусок ав одним концом прикреплен к микротруссельному рычагу в ав, другой же конец бруска соединен с поршнем насоса А. Сбалансированные грузы суть q и q.

Работа производится так же, как и в предыдущем приборе. Груз В, подвешенный на конце F верхнего рычага, передается на микротруссельный брусок и растягивает его с силой

$$A = \frac{BC}{AB} \cdot \frac{EF}{DE} \cdot D$$

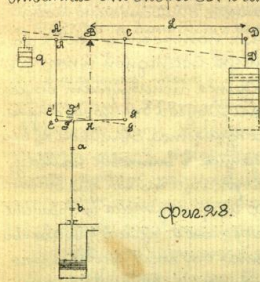
Взвешив, напр., отношение плеч верхнего рычага = 20, а нижнего = 5, получим $A = 100D$

Между прочим, по подобной схеме устроен прибор Шмассе для разрыва цементных образцов.

Иногда устраивают такие приборы с 3-4 рычагами. Французской можно считать разрывная машина, устроенная Д. Адамсом; наибольшая разрывная сила прибора 100 тонн. В ней имеются 4 рычага с отношениями плеч: 10, 10, 12, 12,5. Т.е. обр. груз, приложенный на конце подвижного рычага передается на растяжимый брусок, увеличиваясь в 10.10.12.12,5 = 1500 раз.

Дифференциальный рычаг.

При обобщенном устройстве рычагов производится для получения значительного увеличения силы или ставят несколько рычагов или применяют один длинный рычаг. Но еще конструкция особого рода, при которой сравнительно короткие рычаги дают весьма значительное увеличение силы. Схема расположения указана на фиг. 28 ABCD - главный рычаг прибора, наклоненный около точки В, на конце D висит ганка с грузами В точках А и С, находящимися на разных расстояниях от опоры В, к главному рычагу подвешен второй короткий неравноплечий EG, равной части ABC рычага ABCD. Растяжимый брусок ав одним концом соединен с ганкой F, а другой конец его закреплен на микротруссельном приборе.



Фиг. 28.

Груз В, подвешенный на конце главного рычага, передает оба рычага как показано на фиг. 28. Т.е. к плечу EF:EN,

то верхний конец растянутого бруска получает при этом перемещение $F\delta$, т.е. брусок растягивается. Отношение между силой Q , растягивающей брусок и грузом P , получается из рассмотренных условия равновесия нашего механизма. Притянув начало возможных перемещений, найдем, что сумма работ сил P и Q для перемещений $F\delta$ и $F'\delta'$ выполняющихся при весьма малом наклонении рычагов, должна быть равна 0, т.е.

$$P\delta\delta' - Q\delta F\delta' = 0 \quad \text{или} \quad \frac{Q}{P} = \frac{F\delta'}{F\delta}$$

Но из прямоугольных Δ -ов $E\delta\delta'$ и $F\delta F'$ (эти Δ -ки как с одной стороны, подобны) имеем:

$$\frac{F\delta'}{F\delta} = \frac{E\delta'}{E\delta}$$

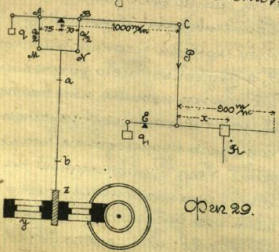
Подставив длину $E\delta'$ и $E\delta$ нижнего рычага через n и m , получим:

$$F\delta' = E\delta' - E\delta = \frac{m+n}{2} - n = \frac{m-n}{2}$$

Таким образом, если длинное плечо главного рычага $E\delta$ наклонен через δ , то найдем:

$$\frac{Q}{P} = \frac{E\delta'}{E\delta} = \frac{\frac{m-n}{2}}{m}$$

Следовательно, увеличив силу, доставляемое описанным прибором, равно $\frac{2m}{m-n}$ и темная разность $(m-n)$ весьма малой, можно получить очень значительное отношение между Q и P при небольшой длине рычага ABC . Как пример прибора, основанного на принципе дифференциала на рычагах, можно привести машину Мооса и Fedelhoff. Этот прибор схематически изображен на рис. 28 и состоит из рычага AC , катящегося около точки A . В точке B и C несимметрично расположенных относительно точки касания, подвешена на стержнях поперечина MD , к середине которой и прикрепляется исследуемый брусок AD . Другой же конец бруска соединяется винтом x , вращающимся в винтовое колесо y , служащее главной для винта x и приводимого во вращение gearом z . Колесо удерживается от поступательного движения вдоль своей оси



и поэтому при вращении вращается винт x . В точке C посредством троса CD к рычагу ABC подвешен другой рычаг EDF , катящийся около точки E . Груз P может передвигаться по этому рычагу при чем увеличивается или уменьшается плечо x .

Пусть брусок растягивается силой в Q кгс. и J , т.е. он подвешен к середине рычага EDF , то в точках F и D будут приложены силы $= \frac{Q}{2}$ и момент, вращающий рычаг EDF в сторону обратно движению троса стержня, будет равен:

$$\frac{Q}{2} \cdot 75 - \frac{Q}{2} \cdot 70 = \frac{Q}{2} (75 - 70) = \frac{5}{2} Q$$

Приложим в точке F силу P , которая уравновесит бы силу Q , тогда:

$$\frac{5}{2} Q = 100 P, \quad \text{откуда} \quad Q = \frac{2 \cdot 100 P}{5} = 400 P \quad (a)$$

$E\delta$ действительности брусок растягивается не силой P , а грузом R , находящимся на рычаге EDF на расстоянии x от точки D . Сила P и груз R связаны между собой условием равновесия. $100 P = R(x + 100)$, откуда $P = R \frac{x + 100}{100}$;

сравнивая с (a), имеем:

$$P = R \frac{x + 100}{100} = \frac{1}{400} Q, \quad \text{или сила растягивающая брусок} \quad Q = 4R(x + 100) \quad (b)$$

Предположим, что $R = 5$ кгс, тогда (b) дает:

$$Q = 20(x + 100)$$

Груз R может передвигаться по рычагу EDF и т.к. длина рычага $= 1000$ мм, то наибольшее значение для x будет равно 900 мм, а величина с тросом и

$Q_{\text{max}} = 20 \cdot 1000 = 20000$ кгс, т.е. в машине Мооса и Fedelhoff груз в 5 кгс может уравновесить груз в 20000 кгс.²⁾

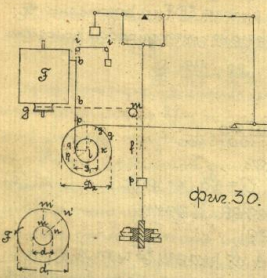
Устройство этой машины состоит между прочим в том, что здесь груз R передвигается по рычагу ED , а потому нагрузка может происходить плавно, потому при этой машине возможно употребить автоматические приборы для измерения деформации упряжений.

Примечание: 1) и перейти к описанию авторграфического прибора

1) Если длина $ED = 1000$ мм или $ED = 100$ мм.
2) Знакомые размеры относятся к квадратной точной машине.

бруса зашпигим, что при небольшой длине испытываемые брусков, упругие удлинения бывают очень неодинаковыми, поэтому приходится брать, при составлении диаграммы масштабы для удлинений по возможности крутиль. С другой стороны перемещение груза, которое откладывается по оси ординат (ибо величина нагрузки пропорциональна этому перемещению), само по себе очень значительно, поэтому, чтобы диаграмма не получилась слишком большой размерами, для ординат приходится брать масштаб меньше.

Так обр., от авторграфического прибора требуется, чтобы он в одно и то же время вычеркивал в увеличенном виде удлинений и в уменьшенном - перемещение груза. В самостоятельном приборе машины Моос это достигается следующим способом. На головке Φ винта CC (рис. 30) укреп-



ляется конец шпигра l , перекинутого через блок n и идущего к барабану Φ , где Φ шпигр накатывается на колесо d меньшего диаметра, нежели барабан Φ . При удлинении бруска головка винта опускается и барабан поворачивается на угол α , при чем длина дуги mn будет равна удлинению испытываемого бруска. В то же время бара-

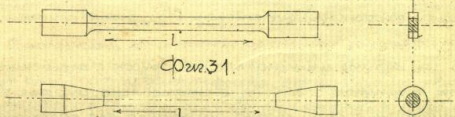
бан Φ повернется на тот же угол α , но дуга соответственной его поверхности m_1n_1 будет больше дуги mn и во столько раз во сколько d_1d_2 ; т.е. $m_1n_1 = d_1 \cdot \alpha$.

Так обр. может быть получен любой масштаб для откладывания удлинений. Чтобы вычертить удлинения перекинутого через блок n , груз d стреляющийся всегда поднимать карандаш вверх. Ко второму концу карандаша прикрепляется нить, намотанная на блок b , на оси которого посажен шпигр l . Эта последняя намотанная нить, получая от груза d , приспособился теперь, что груз d передвигаясь по направлению стрелки на винтик b

тогда шпигр l повернется на некоторый угол β , при чем описанная дуга будет равна $r\beta$. В то же время винтик b повернется на тот же угол, но пройденная дуга по r_1d_1 по его окружности будет меньше $r\beta$ во столько раз, во сколько $r_1d_1 = D_2 : D_1$. Результатом вращения шпигра при перемещении груза d является подьем карандаша на высоту $h = r_1\beta$. Совместным движением барабана Φ и карандаша b вычерчивается диаграмма удлинений. Подобным образом может быть приспособлен авторграфический аппарат ко всем машинам, испытывающим совершенно малое увеличение нагрузки. На некоторых машинах нагрузка повышается прибавлением грузов. К таким относятся машины Мартенса, Вердера и др.

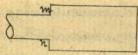
Форма испытываемого бруска.

Ранее было указано, что в месте приложения силы к бруску на его поверхности выделяется сыпучий материал - деформация, не отличающаяся ничем общим с деформацией на этих же частях растяжения. Чтобы указанное явление не оказало влияния на ход испытания, обыкновенно место закрепления бруска делают значительно массивнее. Желая гарантировать себя от разрушения не около места закрепления, необходимо, чтобы переход от последнего к нормальным размерам совершался плавно. Для этого концы трикунических брусков сдваиваются в головках (рис. 31), к которым собственно и прикладываются тросы или нити способом растягивания дуги. Переход от узкой части



части головки, к которой доходят тросы или нити, что достигается в местах брусков (рис. 31) закрученными, а в круглых - образованием конических частей между отверстиями и головками. Различная длина $AB = l$ намотанная тросом на трикунической части с таким расчетом, чтобы ст-

ние δ и δ отстоят от начала перехода в головку на некоторое расстояние. Необходимость наивысших переходов объясняется тем, что при разрывном состоянии где либо между стержнями А и В. Если переход сгладить под углом (фиг. 32), то можно почти с уверенностью сказать, что разрушение произойдет по т.п., т.е. под головкой стержня.



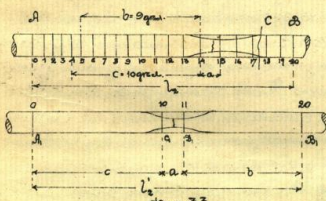
Фиг. 32.

Ввиду весьма важного значения лабораторного измерения металлов пластично, чтобы образцы приобретали определенную форму.

Три соблюдения этого условия значительно облегчается возможность сравнения результатов полученных в разных лабораториях. Действительно, длина измерительной длины стержня и форма поперечного сечения не влияют на сопротивляемость его растягивающим усилиям, равно как и на относительное удлинение, но в действительности это не так. Это обстоятельство, представляющая образованной головки или шейки стержня имеет следствием увеличение сопротивляемости и уменьшение пластичности. Т.п. напр. два круглых стержня формы изображенной на (фиг. 31) с диаметрами в 30 мм и длиной в 300 мм, другой в 30 мм длиной результатов разрывов) окажется в том, что образование шейки будет даждь одно, а потому сопротивление при разрыве окажется несколько больше. Как увидим ниже, при изломе закон подобия, два стержня подвергается одинаковым напряжениям, если растягивающие их силы пропорциональны квадратам соответственных сторон. На этом основании международное общество испытания материалов принимает за норму цилиндрический стержень с диаметром в 20 мм и длиной в 200 мм. Установлено, что для стержня с диаметром в 1 мм длина найдется из соотношения: $l : 200^2 = \frac{1}{4} \pi d^2 : \frac{1}{4} \pi 20^2 = \frac{1}{4} \pi d^2 : \frac{1}{4} \pi 400$, откуда $l = 11,3 \sqrt{d^2} = 11,3 \sqrt{1} = 11,3$

Что касается стержней плоских, т.е. с прямоугольным сечением, то здесь задать равное отношение между длиной и поперечными размерами нельзя, ибо весьма часто

толщина стержня определяется толщиной листа, из которого образцы вытоганы. Если принять за нормальный стержень с поперечными 10x30x300, тогда имеем: $l : d^2 = 300 : 10^2$ и $l = 11,3 \sqrt{100}$, где $d : b = 1 : 3$. Здесь d и b толщина и ширина стержня. Обычно указанных соотношений для плоских стержней не придерживаются, ибо требуют, чтобы ширина превосходила толщину в 3 раза, иначе и разлом, невозможно по истинным условиям. Кроме того при обычной толщине (напр. 15-20 мм) поперечное сечение получается весьма значительными и если разрыва предвидится (особенно для стали) очень сильная машина. Разрыв стержня может происходить иногда и за пределами, отстоящими для испытания длины. Вот эти случаи результаты для материалов пластичных, дающих большой остаточная деформации не пригодны. В таких случаях, когда разрыв (а следовательно и шейки) происходит близко к одной из крайних меток, непосредственное измерение длины между крайними метками, также дает неточный результат. В самом деле, пусть разрыв (фиг. 33) произошел в сечении В, ближе к правой метке В, не трудно видеть, что элемент лежащий у метки А, вынужден был значительно больше нести у метки В. Если бы разрыв попал именно посредине стержня, то конечно, при равномерности, вытекающая элемент был бы равноудаленным от середины (т.е. от места разрыва). Если бы он был ближе к метке А, то элемент у метки В был бы меньше.



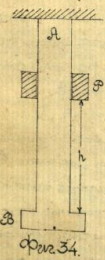
Фиг. 33.

Поэтому при всех прочих условиях полная длина при разрыве в другом случае будет больше нечем в первом. Ввиду того, что вполне гарантировать место разрыва на середине стержня нельзя, применяют следующую прием, позволяющий и при разрыве стержня не измерять длины, полагая истинное увеличение длины, которое имеет место II. Сопот. мат. т. I, стр. 111. Бобариков

бы известно при равномерном положении разрывного стержня. Для этого длину стержня АВ делим на 20 равных частей. Пусть разрывные стержни между стержнями 14-15, интервалом длины а, длина 14-15, в длину 5-14 и середина 4-14. Заметим наихудший эти длины в таком порядке: a, c, b (или b, c, a и $2a, b$ (или c). Таким образом получаем длину $AB = a + b + c = 1/2$, которую имеет бы стержень, если бы разрывные стержни были между 10-11 и 10-11 делениями. Нетрудно видеть, что получаемая т. обр. длина $AB > AB$.

Динамическое действие растягивающей силы.

Наглядно это можно представить себе так: груз ввертывается в конец стержня, обладающего собою пружиной, поднимает от конца стержня (см. рис. 34) на некоторую высоту h. Падая с этой высоты, груз встретит упругую реакцию стержня в и, ударяясь, так скажет, увеличит ее с собою, вызывает растяжение стержня.



Бросить нечем перейти к определению зависимости между внешними и внутренними силами, надо сделать следующую оговорку. Удар при падении груза передается через стержень к опоре, вызывая реакцию, а через последнюю реакцию со стороны стержня, получатся некоторую деформацию ст. обр. левая сила, которую оказывает груз, в момент соприкосновения с перерывной материей стержня, но также материя груза, рамы, фундамента и т. д. Явление получается весьма сложное и для анализа его необходимо упростить следующую прием: (во 1), при грузе сравнительно небольшом и следовательно и весьма упругой материи, которая на деформацию груза и фундамента будут весьма велики сравнительно с растяжением стержня, то напряжение, а следовательно, деформация в них можно довести до нуля, т. е. считать, что деформация ст. обр. нормальная длина безотн. к длине каждого деления 1/20.

столь же велика, что и в том случае, что является пропорциональным в предельных упругости, будем считать зависимость между действующими силами и деформациями. С момента соприкосновения груза с опорой В начинается удлинение стержня, которое возрастает вместе с увеличением конца В, а вместе с тем возрастает напряжение. Если груз P в момент удара стержня на величину h , то работа силы веса будет:

$$T = \frac{1}{2} P(h + \Delta l)$$

Если пренебречь указанными выше потерями, а также сопротивлением воздуха при падении груза, то работа может быть компенсирована только работой внутренних сил T_k , т. е. должно существовать равенство:

$$P(h + \Delta l) = T_k \tag{a}$$

Пусть наибольшее напряжение внутренних сил при удлинении стержня на величину Δl будет k_0 , тогда на основании (a) получим:

$$T_k = W \frac{k_0^2}{2E}, \text{ где } W = \omega l - \text{ есть объем стержня.}$$

Следовательно имеем: $P(h + \Delta l) = \omega l \frac{k_0^2}{2E}$, но из $k_0 = E \frac{\Delta l}{l}$ имеем: $\frac{\omega l k_0^2}{2E} = \frac{\omega E \Delta l^2}{2l}$ (b)

Пользуясь выражениями (a) и (b) получим:

$$P(h + \Delta l) - \omega \frac{E \Delta l^2}{2l} = 0, \text{ откуда } \Delta l^2 - 2h \frac{P}{E \omega} - 2h \frac{P l}{E \omega} = 0$$

Как и нетрудно видеть, множитель $P l$. Его представит собой нечто иное как удлинение Δl_0 , которое тот же груз P вызывает в данной стержне, действуя статически. Поэтому окончательно получаемся:

$$\Delta l = \Delta l_0 + \sqrt{\Delta l_0^2 + 2h \Delta l_0} \tag{5}$$

знак (-) отбрасывается как недействующий член. Состоящая формула указывает, что деформация вызванная ударным действием силы, значительно больше, нежели деформация, получаемая при статическом положении стержня (имеющим наибольшее значение в практике случае, когда $h = 0$, т. е. когда сила прилагается внезапно без падения груза $\Delta l = \Delta l_0$).

Если же напряжение внутренних сил до предельных упругости пропорционально деформациям, то и k_0 при ударе действительная сила будет значительно больше, нежели k_0 при статическом приложении силы.

$$\Delta l_0 \text{ при статическом действии силы } P = E \omega \frac{P l}{E \omega}$$

Скорость движения груза с момента расположения бруска над ним и при достижении удлинителя l_0 , обращается в нуль. По равновесию системы в этом конечном положении быть не может, т.к. внутренние силы достигают величины $\alpha k = \alpha \frac{1}{2} E$, значительно большей, нежели груз P , величина которого:

$$P = \alpha k = \alpha \frac{1}{2} E.$$

Внутренняя сила направлена противоположно направлению P , потому по достижении грузом наименьшего положения, начинается увеличение конца B обратно, т.е. брусок сокращается. Величина этого сокращения бруска до своей первоначальной длины зависит от того, легким ли груз P на платформе (поверхности) свободно или с последней связан. Если представить себе, что груз в момент соприкосновения с платформой при падении вниз может придти в постоиную связь с ней, весьма трудно, т.к. не имеет достаточной для общности вопроса такой связи. Тогда очевидно, что по достижении бруском бруска B положения B (т.е. $l_0 = 0$) не может существовать равновесия между внутренними и внешними силами. В самом деле, напряжение материала будет $k = 0$, следовательно истрежено. Внешней силой является сила тяжести груза, т.к. он в положении B обладает скоростью v . Представим её из упр-ия живых сил, найдем:

$$\frac{mv^2}{2} = W \frac{k_0}{E} - P l_0.$$

Внося сюда значение l_0 из (5), получим $v = \sqrt{2gh}$. Следовательно груз обладает скоростью равной скорости в момент удара, но направленной вверх. Если бы груз не был на платформе свободно, то он должен, отделившись от неё, подняться на высоту h , конец бруска останется неподвижным в B и явление повторяется циклически снова. При этом конец B совершает движение B и обратно.

Анали будет происходить явление в обратном направлении. Груз неизменно связан с платформой. Под влиянием инерции груз начнет сокращать брусок и соединение B будет перемещаться вверх. Не трудно найти величину сокращения. Частичный упр-ие движения груза P . Однако вообще перемещение конца B через x , имеем: (фиг. 36)

$$m \frac{d^2 x}{dt^2} = \sum F,$$



Фиг. 36.

где m - масса груза, $\sum F$ сумма всех внешних и внутренних сил. Для положения B , $\sum F$ будет очевидно равно разности между весом груза P и сопротивлением пружины. Не трудно видеть, что напряжение k материала при удлинении B $B = x$ будет: $k = E \frac{x}{l_0}$ и следовательно $\cos' = \frac{\alpha E x}{l_0}$.

Если при статическом действии груза, им вызывается удлинение l_0 , то имеем: $\alpha k = P = \alpha \frac{1}{2} E$, очевидно $\frac{k}{E} = \frac{x}{l_0}$, а потому $k = \frac{E x}{l_0}$ и $\sum F = P - \alpha k = P - \frac{E x}{l_0}$.

Так как $P = mg$, то упр-ие движения напишется как:

$$\frac{d^2 x}{dt^2} = g \left(1 - \frac{x}{l_0}\right) = \frac{g}{l_0} (l_0 - x).$$

Но так как $\frac{dx}{dt} = v$, то можно написать:

$$\frac{dv}{dt} = \frac{dv}{dx} \frac{dx}{dt} = v \frac{dv}{dx} = \frac{g}{l_0} (l_0 - x) \quad \text{или} \quad v dv = \frac{g}{l_0} (l_0 - x) dx.$$

Интегрируя это выведем получим:

$$\frac{v^2}{2} = \frac{g}{l_0} (l_0 x - \frac{x^2}{2}) + C$$

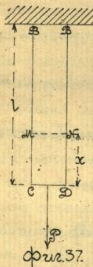
откуда $C = \frac{v_0^2}{2}$, а потому окончательно получим:

$$v^2 - v_0^2 = \frac{g}{l_0} (l_0 x - \frac{x^2}{2})$$

Так как $v_0 = \sqrt{2gh}$, то для положения B и B' , когда конечная скорость равна нулю, найдем: $x = l_0 \pm \sqrt{l_0^2 + 2gh}$. Для входящих точек обратим к выражению (5), что и надо было доказать. Полученная зависимость ясно указывает, что движение конца стержня B будет колебательное и центры колебания определятся как средние между $x_1 = l_0 + \sqrt{l_0^2 + 2gh}$ и $x_2 = l_0 - \sqrt{l_0^2 + 2gh}$, а именно он будет на расстоянии от точки B равном $x = \frac{1}{2} (x_1 + x_2) = l_0$. Конечно, как в случае свободно падающего груза, так и рассмотренного нами связанного колебательного движения, которое теоретически должно продолжаться неограниченно долго, в действительности мало-помалу уменьшает свою амплитуду, что объясняется внутренними потерями между частицами, сопротивлением воздуха и т.д.

Влияние собственного веса бруска на величину внутренних сил. Собственный вес бруска в случае его вертикального подве-

элемента, очевидно, должен выдвигаться в материале тоже некоторое напряжение растяжения. Но величина его и соответствующая деформация становится заметными лишь при увеличенной длине. Возьмем некоторое сечение стержня на расстоянии x (рис. 37) от нижнего сечения CD. Очевидно в нем будут появляться напряжения, вызываемые двумя силами: 1) растягивающей силой P и 2) силой веса G_x , части стержня MDCD, и если это единица объема σ , то сумма этих сил:



Эта сумма должна быть равна сумме внутренних сил сечения MDCD: $\sigma_k = P + \sigma \cdot \sigma \cdot dx$ (6)

Тогда вес стержня не принимается во внимание, внутреннее напряжение будет величиной постоянной для всех сечений, ибо при $\sigma = 0$ имеем:

Из (6) видно, что в рассматриваемом случае k является некоторой функцией перемещения x (расстояние данного сечения от нижнего сечения CD), и очевидно $k_{min} = \frac{P}{\sigma}$, $k_{max} = \frac{P}{\sigma} + l \cdot \sigma$. Так обр. максимальное внутреннее напряжение будет для сечения AB, потому это сечение называется опасным.

Запас прочности, предел стержней.

На основании вышеизложенного можно формулировать вопрос, каков запас прочности необходимо придать стержню, чтобы он прочно сопротивлялся бы действию растягивающей силы P . Механические свойства стержней зависят от материала, следовательно и относительная деформация при достижении предела упругости, k_0 — напряжение при наибольшей растягивающей силе, k_2 — деформация при разрыве и E — модуль упругости. Так как длина стержня, при разрыве, тем больше, тем больше неэластичная деформация, то необходимо обязательно определить лишь если растягивается стержень горизонтально, то собственный вес, в этом случае, не учитывается.

поперечный радиус его, т.е. площадь поперечного сечения. Она находится из:

$$\sigma = \frac{P}{k_2} \text{ или } \sigma = \frac{P}{k_2 \cdot l} \quad (7)$$

Вторая зависимость относится к случаю, когда необходимо принимать во внимание собственный вес. Здесь k_2 , т.е. допустимое (безопасное) напряжение. Свойства металлов, величина k_2 , при статическом действии силы может доходить до k_1 , т.е. лишь пластических (остаточных) деформаций считаются незначительными. Это понятно, т.к. появление пластических деформаций вылетает за собой оставшееся увеличение первоначальной длины стержня, т.е. в стержень, как части механизма или сооружения, допустить некуда. Но принимая во внимание, что в практике постоянно наблюдается динамический способ приложения внешних сил и что в некоторых случаях напряжения могут возрастать (равно как и деформации) до двойной и больше величины, необходимо допустить напряжения значительно меньше, нежели пределы упругости.

Как наибольшее значение безопасного напряжения следует считать, поэтому, по поводу предела упругости т.е.

$$k_2 = \frac{k_1}{2}$$

т.е. напр. для сварочного железа $k_1 = 20 \text{ кг. на см}^2$, а потому $k_2 = 10 \text{ кг. на см}^2$. Если возможны случаи когда стержень будет подвергаться ударам, то напряжения могут достигать двойного значения, т.е. $k_2 = \frac{k_1}{2}$, поэтому следует для k_2 принимать значения меньшей величины k_1 , т.е.

$$k_2 < \frac{k_1}{2}$$

Для некоторых материалов, напр. железа, стали, краевой модуль предела упругости приблизительно равен половине напряжения при разрыве т.е.

$$k_0 = \frac{k_1}{2}$$

Поэтому многие конструкторы величину безопасного напряжения определяют как некоторую долю напряжения при разрыве т.е. полагают, что $k_2 = \frac{k_1}{a}$, где $a > 1$. Согласно сказанному выше $a = 4$. Число a называют коэффициентом безопасности, а величину a — запасом прочности.

Такой практический прием, конечно, менее точный, нежели определение безопасного напряжений в зависимости от

величины k_1 , напряжения при предельной упругости. Но по-лучать значение k_2 гораздо легче, чем k_1 , ибо определение постоянной требует применения специальных приборов, которые не всегда могут оказаться под рукой. А потому во многих случаях удобнее пользоваться запасом прочности в зависимости от значения k_2 .

Служит требуется определить диаметр d стержня длиной в 4 м, к которому приложен груз $P = 2000$ кг. Материал ка-столь. $k_1 = 19$ кг. на $мм^2$, $E = 20000$ кг. на $мм^2$. Если ударное действие силы невозможно, то допустимая температура запас прочности, поправки:

$$\omega = \frac{2000}{20000} = 0.1 \text{ на } \% \text{ при}$$

Принимая во внимание собственный вес l , получим:

$$\omega = \frac{2000}{10 - 4000 \cdot 0.0000077} = 200.6 \text{ на } \% \text{ при}$$

при натуральном запасе:

$$\omega = \frac{2000}{8 - 4000 \cdot 0.0000077} = 250.67 \text{ на } \% \text{ при}$$

Как видно из последних цифр собственного веса оказывает огромное влияние при столь малой длине как 4 м. Другое дело, если величина l будет значительна, напр 400 м. В таком случае нагрузка по сравнению с собственным весом будет $k = \frac{2000}{40000} = 18 = 400000.0,0000077 = 3,08$ кг. на $мм^2$.

Для предыдущего случая получим:

$$\omega = \frac{2000}{8 - 400000.0,0000077} = \frac{2000}{4,92} = 406 \text{ на } \% \text{ при}$$

Это касается деформации, то при напряжении в две больше допустимого (3 кг. на $мм^2$) т.е. при $k = 16$ кг. на $мм^2$ получим:

$$i = \frac{k}{E} = \frac{16}{20000} = 0.0008 \text{ или } 0.08\%$$

то при длине в 4 м. даст абсолютное удлинение $\Delta l = 3,20\%$. Если такая величина (затя и временная) не допускается, то необходимо запас прочности увеличить. Однако, полагая, что наибольшее удлинение не должно превосходить 1% , то относительная деформация:

$$i = \frac{\Delta l}{l} = \frac{1}{4000} = 0,00025.$$

и наибольшее напряжение $k = E \cdot i = 20000 \cdot 0,00025 = 5,0$ кг. на $мм^2$ и соответственно

$$\omega = \frac{2000}{50 - 0,03} = 402 \text{ на } \% \text{ при}$$

величина запаса ν пог. части принимается в зависимости от степени ответственности сооружения, от степени

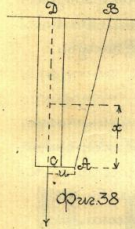
¹⁾ Принимаем $\omega = 1$ при $i = 1\%$, т.е. $\omega = 0,0000077$ на $мм^2$.

устойчивости и т.д. Напр. допустимое напряжение 8-10 кг. на $мм^2$ при определении постоянной эластичной работы, полагаем 4-4,5 кг. на $мм^2$ для вагонной оси, если посетитель изготовлен из мягкой стали.

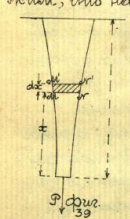
Положим также малое напряжение принимаем при расчете кофактора веса, то в результате дадутся деформации.

Бруски равного сопротивления.

Ур. $k = \frac{P}{S} + \omega \cdot l$ показывает, что внутреннее напряжение k изменяется в прямоугольном бруске от некоторого мин., $k = \frac{P}{S}$ до наибольшей величины по закону прямой линии. А именно: полагая, что величина k при $x = 0$ изобразимся отрезком AB , мы найдем, что возрастание напряжения выразится прямой AB (рис. 38). Если отложить в начале деформации бруска радиусы прогиба, то очевидно, все остальные точки выйдутся симметрично большими, ибо в них напряжения получаются меньше принятого нами безопасного. Естественно является вопрос, нельзя ли создать такую форму, при которой материал экономизироваться больше равномерно, а именно с постоянным напряжением равным безопасному. Брусок такой формы называется бруском равного сопротивления.



Постарайтесь определить, насколько возможно, форму этого бруска. Для этого предположим, что нам уже дан такой брусок (рис. 39). Согласно вышесказанному, площадь поперечного сечения в нем изменяется по длине, т.е. $S = f(x)$. Если сечение M находится на расстоянии x от свободного конца на расстоянии x , мы можем написать:



$$P + S_x = \sigma_x \cdot k \quad (a)$$

где S_x - вес бруска длиной x . Определять S_x невозможно, т.к. неизвестна форма бруска. Для разрешения нашей задачи пре-дифференцируем наше ур. по x

$$k \frac{d\sigma_x}{dx} = \frac{dS_x}{dx} \quad (b)$$

Возьмем другие отрезки $M-M$ на поверхности малым раз-
стоянием dx от первого. Элементарный объем, ограниче-
нный этими отрезками, можно свободно принимать за
прутку с высотой dx и основанием cx ; тогда ур-е (b)
примет вид:

$$k dx = dG = c x dx,$$

где δ - вес куб. ед. материала. Разделить обе части на
 dx , получим:

$$\frac{dG}{dx} = c dx$$

Общий интеграл этого ур-я будет:

$$\int \frac{dG}{dx} = \int c dx + C \text{ или } G = \frac{c}{k} x + C \text{ откуда} \quad (c)$$

но c и C величины постоянны, следовательно $c = \text{const} = C_1$

поэтому ур-е (c) примет вид:

$$G = C_1 x \quad (d)$$

Положив $x=0$, найдем: $C_1 = G_0$, т.е. произвольная посто-
янная C_1 представляет собою наименьшее значение данного
бруса, или наименьшее значение только силы P , откуда:

$$G_0 = \frac{P}{k} \text{ и } (x=0) \quad G_0 = C_1 \cdot 0 \quad (e)$$

Если $x=L$, то $G_{\text{max}} = c x = \frac{P}{k} \cdot \frac{L^2}{L}$

Таким образом, найдем два значения нашего бруса - минимальное
и максимальное. Придавая x разные значения в пределах
от нуля до L , можно получить ряд значений, по которым
и определится форма стержня бруса. Сравнивая брус
равного сопротивления с брусом пружинистым, ра-
циональнейшим для той же силы, заключаем, что если
брус равного сопротивления будет меньше, а следовательно
длина его будет меньше, то материал бруса
лучше использовать. В материале, при построении бруса
равного сопротивления - избыток; поэтому их объек-
тивно не делают такими, да и при обрыве значи-
тельной длины эта экономия весьма заметна.

Для иллюстрации сделаем вычисления: длина
материала бруса $L=200 \text{ м} = 200000 \text{ м}$, безопасная
нагрузка $k=6 \text{ кг/см}^2$. Вес куб. ед. материала δ (одн. куб. м
стали) $= 0,0009 \text{ кг} = 0,00009 \text{ кг}$, груз растягивающий
канат $P=1500 \text{ кг}$.

1) Канат цилиндрической формы:

$$\omega = \frac{P}{k \cdot \delta} = \frac{1500}{6 - 200000 \cdot 0,00009} = \frac{1500}{6 - 18} = 352 \text{ м}^2$$

Вес каната $= \omega L \delta = 352 \cdot 200000 \cdot 0,00009 = 645 \text{ кг}$.

2) Канат формы равного сопротивления:

$$\omega_0 = \frac{P}{k} = \frac{1500}{6} = 250 \text{ м}^2$$

$$\omega_{\text{max}} = \omega_0 e^{\frac{L}{x}} = 250 \cdot 2,718^{28} = 250 \cdot 1,32 = 337,5 \text{ кг м}^2$$

Вес элементарного цилиндра $= \omega_0 dx \delta$

Общий вес каната будет:

$$G = \int \omega_0 dx \delta = \int c x e^{\frac{L}{x}} dx = k x (e^{\frac{L}{x}} - 1) = 525 \text{ кг}$$

Можно вес каната определить еще другим путем. Ур-е
(a) дает:

$$\omega k = P + G.$$

или $337,5 \cdot 6 = 1500 + G$, откуда $G = 337,5 \cdot 6 - 1500 = 525 \text{ кг}$.

Экономия в весе выразится так:

$$\eta = \frac{645 - 525}{525} \cdot 100 = 23\%$$

Если $L=1200 \text{ м}$, то $\eta=100\%$, т.е. материала требуется
вовсе меньше, чем при обыкновенной пружинистой
форме.

Вследствие трудности изготовления каната в ви-
де троса равного сопротивления, обыкновенно канату
придают форму среднего между цилиндрической
простой и теоретически правильной. Диаметр его
увеличивается ступенчатым (рис. 40), при этом переходя
от одной ступени к другой сглажива-
ют. Само собою понятно, что экономия
в весе такого каната будет несколько
меньше. Это касается вопроса о дефор-
мации в брусках формы равного сопро-
тивления, то не трудно видеть, что вели-
чина полного удлинения должна быть
одинаковой, нечет в пружинистых.



рис. 40

В самом деле, пусть пружинистый
брус с поперечным сечением ω подвер-
жен действию растягивающей силы P , удельной вес
бруса δ . Чтобы найти полное удлинение, возьмем на
расстоянии x (рис. 41) от свободного конца два сече-
ния на расстоянии dx друг от друга. Деформацию
на участке dx находим так. Не трудно видеть, что

$$\frac{dL}{L} = \frac{P}{\omega E} + \frac{x \delta}{E}$$

Интегрируя это выражение в пределах от 0 до l, найдем:

$$\lambda = \frac{P}{\cos E} + \frac{l^2 \sigma}{2E} \quad (9)$$

Пусть имеется брусок формы троса равного сопротивления при условии, что постоянное напряжение k равно напряжению в опасном сечении призматического бруска. Т.е. напряжение $k = \text{const}$ повсюду длины бруска, то относительная деформация i - также величина постоянная, т.е.

$$i = \frac{k}{E} = \text{const.}$$

Поэтому полное удлинение бруска будет:

$$\lambda = \frac{l k l}{E} \quad (10)$$

Сравнивая выражения (9) и (10), заметим, что $\lambda_1 > \lambda_2$. В самом деле, $\lambda_1(9)$ при постоянной k (константа $k(9) \times l$) получим: $\lambda_1 = \frac{P}{E} (k + i) + \frac{P l^2}{2E} = \frac{P}{E} (k + \frac{k l}{E}) + \frac{P l^2}{2E}$, а для $\lambda_2(10)$ получим $\lambda_2 = \frac{P}{E} (k + \frac{k l}{E}) = \frac{P}{E} (k + \frac{k l}{E})$.

Величина l конечно не может быть безразмерной, т.к. с увеличением длины возрастает напряжение от собственного веса. Не трудно найти для бруска призматического диаметра, при котором брусок разорвется от собственного веса, т.е. длину критическую $Q_2(6)$ найдем при $\alpha = l$ и $P = G$, $k = iE$, откуда критическая длина найдется как:

$$l = \frac{E}{\sigma}$$

Напр., для сталева при среднем значении $k = 40 \text{ кг/см}^2$ на трос $\sigma = 7700 \text{ кг/см}^2$ в 1 км мет., получим $l = 5200 \text{ м}$. В случае, если брусок имеет по длине не однообразное сечение, то деформация определяется сложением образцов. Пусть (Фиг. 42) прismaticной поверхности действит. расщепляющей силой P . Возьмем два сечения: D на расстоянии x от конца A и C на - dx от сечения D . На длине dx брусок можно рассматривать как призматический. Удлинение обозначим через $d\lambda$, тогда относительная деформация очевидно будет величиной переменной и выразится

как $i_x = d\lambda : dx$. Назная сечение D через αx , найдем что соответствующее напряжение будет $kx = P : \alpha x$, а по формуле на основании закона Гука, получим $i_x = kx : E = d\lambda : dx = P : E \alpha x$, отсюда $\lambda = \int_0^l \frac{P dx}{E \alpha x}$

Интегрирование можно произвести, когда будет известна зависимость $\alpha x = f(x)$, т.е.

$$\lambda = \int_0^l \frac{P dx}{E f(x)}$$

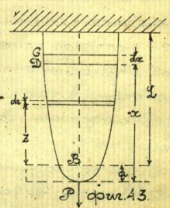
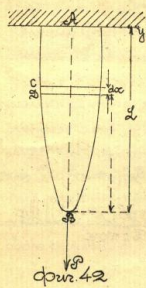
Напр., пусть сечение будет круг с переменной радиусом y , тогда получим только вращенный, если эллиптическая кривая выражается параболой, т.е. если будем иметь зависимость $y^2 = 2px$, где p - параметр, то $\alpha x = ly^2 = 2px$ и полное удлинение найдем как:

$$\lambda = \int_0^l \frac{P dx}{E 2px} = \int_0^l \frac{P dx}{2p \pi x E} = \frac{P}{2p \pi E} \lg \frac{l}{a} = 0$$

Такой результат указывает на некоторую неправомерность допущенную при решении задачи. Действительно, при сдвигании предположив, что сечение D имеет площадь $\alpha x = 0$, но при $\alpha = 0$ и $y = 0$, т.е. сечению соответствует и напряжение $k = \infty$, что невозможно. Очевидно вопрос может быть решен лишь при условии, что сечение α при $\alpha = 0$ имеет конечное значение. Следовательно, должно быть задано $k_{\text{max}} = \frac{P}{\alpha_{\text{min}}}$. Пусть k_{max} задано, тогда $k_{\text{max}} = \frac{P}{\alpha_{\text{min}}}$ при $\alpha = a$, т.е. вершина параболы (Фиг. 43) будет лежать на поверхности сечения α , определенной условием $k_{\text{max}} = \frac{P}{2pa}$ полученная в виде зависимости между λ и x найдется на основании преобразования:

$$d\lambda = i_x dx = \frac{k dx}{E} = \frac{P dx}{E \alpha x}$$

$$\lambda = \int_a^l \frac{P dx}{E \alpha x} = \int_a^l \frac{P dx}{2p \pi x E} = \frac{P}{2E p \pi} \lg \frac{l+a}{a}$$



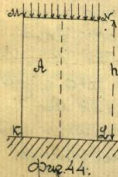
Пусть $P = 2000 \text{ кгс}$, $L = 4 \text{ м}$, $\rho = 10$, $\kappa_{\text{max}} = 5 \text{ кгс/м}^2$,
 тогда $\sigma_{\text{шт}} = 400 \text{ кгс/м}^2$, $\gamma_{\text{шт}} = 11,3 \text{ кгс/м}^3$, $\alpha = 6,4 \text{ м/м}$ и $\lambda = 0,02025 \%$.
 Не трудно определить величину полого удлинения
 и в том случае, когда необходимо принять во внимание
 собственный вес бруска. Об этом дается, пусть вес куб.
 ед. бруска будет $\delta \text{ кгс}$. Напряжения в сечении D складыва-
 ются из двух $\kappa_x = \frac{P}{\omega_x}$ и $\kappa_x = \frac{\gamma x}{\omega_x}$, где δx вес части
 бруска лежащего ниже сечения D . Величина $\delta x = \delta \cdot \delta x \cdot \delta$,
 причем $\gamma = 2\rho\delta$. Поэтому $\delta x = \int_a^x 2\rho\delta z dz = \rho\delta(x^2 + a^2)$ и сле-
 довательно:

$$\lambda = \int_a^L \frac{P + \rho\delta(x^2 + a^2)}{E} dx = \int_a^L \frac{P + \rho\delta(x^2 + a^2)}{2E\rho x} dx =$$

$$= \frac{1}{2E\rho} \left\{ P \cdot \rho\delta x + \rho\delta \left[\frac{1}{2}x^2 + a^2x \right] \right\}$$

Сжатие

Сжатие — явление прямо противоположное растяжению
 и в простейшем виде представляется действием внут-
 ренних сил на перпендикулярный брусок A (рис. 44), причем
 равнодействующая этих сил совпадает
 по направлению с осью бруска и приложена
 в центре тяжести сечения MN . Под влия-
 нием внешней нагрузки происходит де-
 формация, которая выражается уменьше-
 нием длины (высоты). При этом очевидно,
 сечения MN и KL сближаются, оставаясь
 параллельными своему первоначальному
 положению, между частицами материала



возбуждаются внутренние силы направ-
 ленные параллельно оси бруска и напряжение которых опре-
 деляется величиной $P/\omega = \kappa$, где P сжимающая сила,
 ω — площадь попер. сечения. Это касается распределе-
 ния внутренних сил по сечению, но на основании подобия
 этих сил, как и при растяжении, можно считать по-
 ложившимся. Деформация сжатия Δl или Δh связана с
 величиной внешней нагрузки, как указывают наблюде-
 ния, приблизительно аналогичной той же зависимости при
 растяжении. И здесь величина относительной дефор-
 мации прямо пропорциональна внешней силе и обратно

пропорциональна площади попер. сечения, т.е.
 $i = \frac{\Delta h}{h} = \frac{P}{\omega E}$, откуда $\kappa = \frac{\Delta h}{\Delta h} = E \cdot \frac{\Delta h}{h} = E \cdot i \dots (a)$
 Коэффициент пропорциональности E , назыв. модулем
 упругости при сжатии, i — относительное сжатие.

Зависимость (a) (закон Гука) справедлива до некоторого
 значения κ , при котором эта пропорциональность нару-
 шается и соотношение между κ и i становится гораз-
 до сложнее. Вместе с тем замечается, что в начале сжа-
 тия, несомненно гнутся, деформированный брусок имеет
 прекращение действия внешней силы вплоть до установив-
 шегося формы, т.е. деформации колеблются и постепенно
 уменьшаются. Под действием нагрузок, при которых внутренние на-
 напряжения достигают указанного предела пропорциональности,
 замечается появление пластических или остаточных сжатий
 и деформаций, при дальнейшем увеличении сжимающей си-
 лы, становится составной. В общем, как видно, явление
 при сжатии аналогично таковому при растяжении, но прямо
 противоположное. Поэтому сжатие всегда происходит,
 как отрицательное растяжение. Но между этими двумя рода-
 ми деформаций имеется существенное различие, которое за-
 ключается в следующем. При растяжении длина растянува-
 емого бруска не зависит от формы, т.е. как указывали опыты, на-
 пряжения и величина деформации от длины почти не зави-
 сят. Совершенно другое наблюдается при сжатии. Высота
 (длина) бруска здесь имеет большое влияние, а именно, при дли-
 нно превосходящей в несколько раз наименьший поперечный
 радиус бруска, последний не сжимается, а искривляется
 (рис. 45). Ось бруска не остается прямой линией
 и изгибается в дугу. Каждое отдельное сече-
 ние бруска, полагаясь на однородности бруска,
 а главное, почти невозможно приложить внут-
 реннюю силу так, чтобы, совпадая с направлением
 оси, она (сила) была приложена точно в центре
 тяжести сечения. Благодаря последнему обо-
 ятельству, получается пара сил P_1 (рис. 46),
 которая производит изгибание бруска



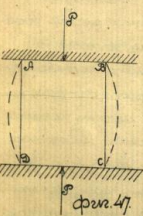
¹ В простейшем случае, конечно, это свойство имеет брусок прямоугольный.

Само собою разумеется, что упомянутая выше трудность существует и при растяжении и так же акцентированно прикоснется к поверхности стальной болве сложное, нежели простое растяжение. Но как увидим ниже, влияние этой отбитой дуги гораздо меньше. Искривление диаметра бруска под действием сжимающей силы представляется особым видом изгиба, который называется продольным изгибом или раздавливанием.

До вступления, пока внутренняя нагрузка не переходит предельную упругость, изгибание поперечных волокон весьма мало замечается, хотя увеличится и не существует, а именно поперечному откату при растяжении. По мере увеличения внешней нагрузки, с возрастанием остающейся деформации, первоначально цилиндрический брусок принимает форму, указанную на фиг. 47.

Поперечная сечение увеличивается, но это увеличение не распространяется равномерно по всей длине бруска, а возрастает от концов бруска к его середине. Изгибная указанной неравномерности лежит в следующей плоскости: противоположно с прибором, проводящим стальной, вследствие нормального давления раздвигаются стальные прутья, которая представляет приблизительно гасилицу в этих плоскостях. Гасилицы сдвигаются, некапаче вследствие продольного сжатия, задерживаются взаимодвижением гасилиц стальных АВ и CD. А так как это взаимодвижение убывает по мере удаления к середине стальной, то увеличение поперечного сечения будет наибольшим.

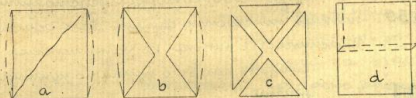
Какова должна быть максимальная величина, при которой не наблюдается искривление бруска - зависит от материала. Для круглого цилиндрического бруска из стали диаметр около десяти диаметров. Также в стальной продольном изгибе будет указана способ поперечный этих наибольших величин. Как средняя диаметр можно считать отношение длины к диаметру (круглое



Фиг. 47

для системы	15
малкой стали	15
дерева	12

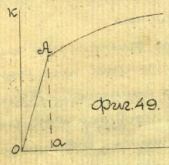
По существу дуга бруска, подверженной сжимающей силе, не должна разрушиться ни при какой угодно большой нагрузке, т.к. под действием сжатия стальной (стали) приближается друг к другу. В действительности же всегда наблюдается пружина, сопротивляемая материалу, но заранее представляется себе способ разрушения и следовательно способ стальной весьма трудно. Опытный изгибание показывают, что для большинства материалов разрушение наступает не в плоскостях перпендикулярных направлению внешней силы, а в плоскостях к ней наклонных. На фиг. 48 представ-



Фиг. 48

лены обилие формы разрушения: а, в - для чугуна, закаленной стали, для особенно твердых пород камня с - для поташков, известков и d - для дерева. Наклонное положение стальной разрушения указывает на то обстоятельство, что это разрушение не происходит под действием только нормальных внутренних сил и величин сжатия гораздо сложнее, нежели кажется на первый взгляд.

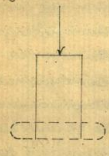
Что касается малых материалов и их стальных, то при больших внутренних напряжениях задерживается течение материала, что выразится в диаграмме стальной. Фиг. 49 представляет диаграмму при изгибании на стальной цилиндра $d=30\text{ мм}$, $h=50\text{ мм}$ из весьма легкого металла Аа - предельная пропорциональности. За точкой А деформация возрастает гораздо быстрее внутреннего напряжения.



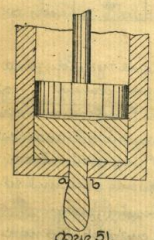
Фиг. 49

1) Внутренние диаметры пропорциональны и найдены из соотношений $K = \frac{M}{S}$ и $a = \frac{M}{E I}$.
Лист IV. Сопрот. мат. т. I. проф. И. И. Вобариков.

ния и кривая становится пологой. При внутреннем напряжении $K=52$ кг/см (разрушение $K_2=40$) высота бруска уменьшается в 5 раз (фиг. 50). Брусок представляет лентку; поперечное сечение остается приблизительно круглым, но на периферии появляются радиальные трещины. Остатки со временем усаживаются на элемент течения еще больше, резко. Эластичка свинца поворачивается в штифты штифтом на дне отверстия; под давлением поршня (фиг. 51) штифт вытесняет штифтованную отверстие в форме струны. Это явление это явление аналогично тению, подтверждается фактом образования сужения струны на некотором расстоянии от нижней поверхности дна. Так, обр. вадия пластическая тень не разрушается в том смысле, как это принято понимать в теории.



Фиг. 50



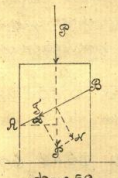
Фиг. 51.

Точной теорией явления свинца не пользуются до сих пор и попытки создать ее не всегда являются удачными.

Обыкновенно во внимание, это явление, но как обычно происходит разрушение при растяжении, тогда растягиваются как-то наклонно к направлению действия внешней силы, следовательно допустить, что при растяжении, как и при сжатии в металле возбуждается внутренний напря-

жение не только нормальное, но и касательное. Словом, на основании этого соображения можно, что разрушение по наклонному отверстию при растяжении происходит именно вследствие развития касательных напряжений. Пусть плоскость АВ под углом α к горизонтальной; внешняя нагрузка может быть разложена на нормальную и касательную составляющие N и T . Не трудно видеть, что $T = F \sin \alpha = 52 K$, где 52 - значение K в этой теории (касательное). Если считать (касательство по-

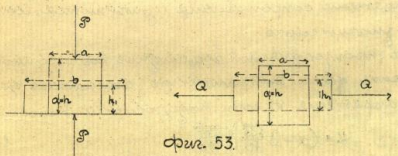
перпендикулярной к оси) призма будет ω , то очевидно получится: $F \sin \alpha = \frac{52}{\cos \alpha} K_2$ или $K_2 = \frac{F}{52} \sin \alpha$, откуда наибольшее значение K_2 будет для угла $\alpha = 45^\circ$ к вертикали. При этом условии на $\sin^2 \alpha = \frac{1}{2}$, где K нормальное напряжение. Так как усадка штифта, сопротивлений материала сжимающей силой в большинстве случаев значительно меньше, нежели нормальными силами, штифт и обжимается разрушится по нормальному сечению. Упомянутая теория не имеет точки, но, как указывают опыты, далеко не всегда наклон разрушения равен 45° . С другой стороны трещины, которые должны существовать в сечении, не принимаются во внимание.



Фиг. 52.

Подобный образом не вполне удовлетворительна и другая теория, основанная на взаимодействии сил сдвига и растяжения. Согласно этому об-

разению, разрушение при сжатии можно рассмотреть, как разрушение при растяжении силками, перпендикулярными к оси, т. е. брусок А сжимаемый до разрушения силой P, P при этом деформация $= N \cdot h$, находится в одинаковых условиях как и брусок В того же раздво-

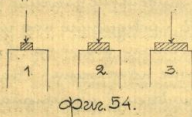


Фиг. 53.

двоениям вызыва-
ют перекосное
сжатие $= h \cdot h$.
В заключение
необходимо
обратить
внимание на
то, что опыты

над раздробленными брусками указали на влияние способа приложения силы по отношению к раздроблению нагрузки. Вальсманг производит раздробление трех одинаковых каменных кубиков и камней, при этом раздробленные силы распределяются на гаше поверхности, но сопротивление значительно падает. Для доказательства он производит давление на куб

срез посредством стальной пластины разных размеров (фиг. 54). При этом получим кривые указанные в таблице. Из приведенной



Фиг. 54.

таблицы видно, что сопротивления при изгибе прямо пропорционально площади распределения на пружин. Стого так же мы можем видеть, что форма его поперечного сечения.

Бруски	1	2	3
Поперечное сечение поперечная бруска кв. мм	9900	9750	9850
Площадь сжатой поверхности кв. мм	1521	3249	6084
Раздробленность груза кг. гр.	16000	30000	47000
Высота в мм.	100	128	400
Площадь попер. сечения в кв. мм	311	308	311
Вариационный изгиб в кг. гр. кв. мм	85,8	75	72,3

Что касается высоты, то на рисунке ее указывалось выше, но наблюдениями установлено также обстоятельство, что даже при брусках сравнительно небольшой высоты последняя имеет некоторую форму. Это видно из второй таблицы. Опытные произведения над изогнутыми брусками и достаточно ясно указывают, что напряжения сопротивления изгибаются, хотя и особенно значительно.

Вальдштергер, производивший громадное количество опытов на стальных пружинах, дает эмпирическую зависимость для величины напряжения K при раздроблении в формуле:

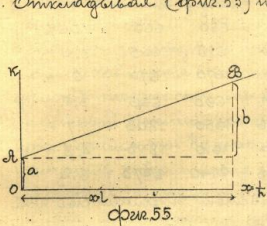
$$K = (\alpha + \beta \frac{\sqrt{c}}{h}) \sqrt{\frac{c}{b^4}} \quad (11)$$

где h - высота пружины и b - диаметр поперечного сечения. Коэффициенты α и β находятся рядом наблюдений. Формулу Вальдштергера можно написать так:

$$K = (\alpha \sqrt{c} + \beta \frac{c}{h}) \sqrt{\frac{c}{b^4}} = \alpha \sqrt{c} + \beta \frac{c}{h}$$

Если $\alpha = \sqrt{\frac{c}{b^4}}$ и $\beta = \sqrt{c} \sqrt{\frac{c}{b^4}} = \sqrt{\frac{c^2}{b^4}}$ и $x = 1/h$ в новом виде получим уравнение прямой в координатах K и $x = 1/h$. Раздробляя брусок одного и того же мате-

риала с одинаковым поперечным сечением (не только по диаметру, но по форме) найдем значения K при всяком x . Откладывая (фиг. 55) по оси x величины $x = 1/h$ и



Фиг. 55.

по абсциссе соответствующего напряжения K , получим прямую AB . Отрезок OA есть число a , при $x=0$. Прямая $x=1/h=1$, находим ординату $OB = K_{при x=1} = a + b$. Следовательно, проводя прямую $AC \parallel$ оси Ox , найдем отрезок $BC = b$. В действительности

величины веса пружин, найденные нами (K, x) лежат строго на одной прямой; в большинстве случаев они располагаются несколько иначе, но так, что прямая AB легко обводится. Поэтому находим коэффициенты $\alpha = \frac{a}{1}$ и $\beta = \frac{b}{1}$ и представляем затвердевание. Если бы значения коэффициентов α и β были бы разными, конечно, вместе с материалом испытуемых брусков. Вальдштергер дал, напр. для одной породы чугуна:

$$K = (310 + 346 \frac{\sqrt{c}}{h}) \sqrt{\frac{c}{b^4}} \quad \text{и} \quad K = (262 + 320 \frac{\sqrt{c}}{h}) \sqrt{\frac{c}{b^4}}$$

В таблице видно, насколько велико согласие между напряжениями вычисленными по формуле Вальдштергера и из выражений $K = P/\omega$

№№	a	b	h	ω	Напряжения		Разноше.
					наблюд.	вычисл.	
1	10,0 ^{мм}	9,0	29,5	99	444 кг	371 кг	16,4%
2	10,0	9,8	9,7	98	602	588	2,33%
3	6,6	6,5	4,75	42,9	676	684	1,8%
4	4,8	4,0	1,4	22,08	1540	1357	13,2%
5	4,7	10,0	1,4	47	1850	1757	4,8%

Вторая формула Вальдштергера относится к случаю, когда h значительно превышает поперечный диаметр. Прямая сечения $\omega = a \cdot b$.

№	a	b	h	ω	Напряжения при нагрузке		Результат
					в начале	в конце	
1	9.95	9.75	0.6	98.01	620	665	2.06%
2	10.0	9.85	0.7	98.50	685	663	3.2
3	6.0	5.85	5.7	35.10	670	670	0
4	5.2	5.2	5.05	27.04	690	666	3.5
5	4.8	4.7	4.4	22.56	1950	1805	7.7
6	5.0	4.6	4.1	23.00	1910	1818	4.8
7	4.4	0.7	4.1	42.63	2140	2273	6.2

На вопрос о динамическом действии внешних сил при сожатии останавливаться не будем. Ввиду аналогии с растяжением можно сказать и здесь, что работа внутренних сил выражается также, а именно работа, отнесенная к куб. ед. = $\frac{F^2}{2E}$ до предельной упругости; за этим предельном она вычисляется по диаграммам напряжений и сожатий (деформаций).

Твердость метал.

Понятие твердости материала до сих пор не имеет окончательного строго установленного; если представить себе два тела различной твердости нажатые друг на друга, при том тело более твердое обладает меньшей поверхностью соприкосновения, тогдашняя деформация может служить при указанных условиях мерой твердости. При нагрузках небольших эта деформация будет упругой и стало быть по окончании нажатия исчезает. Произвести ее измерение во время опыта почти невозможно; тем более, тем и более твердое тело тем более представляет трудности формы, оста и в меньшей степени. Обычно и о твердости понимают сопротивление, какое представляет тело проникновению в него с поверхности другого тела, более твердого. Само собою понятно, что для получения точных результатов необходимо получить опилочки, которые могут быть легко измерены, т.е. необходимо иметь дело с деформацией пластической. Понятие опилочков производится вдавливанием более твердого: поверхность именуе-

мого и здесь очевидно имеют дело с остающейся деформацией. Как указывают многочисленные наблюдения материалы, подвергшиеся наблюдению далеко выходящим за пределы упругости, тем не менее имеют свои механические свойства и так обр. в области определенной твердости мы можем дело с материалами до некоторой степени отменными по своим свойствам от первоначального. Конечно, отходясь от возможности получить абсолютные значения, так называемой твердости, приходится мириться со способами ее определения, позволяющим находить лишь относительные значения.

Можно идти двумя путями, либо задаваясь получением определенной деформации, определять погрешность для сего нагрузки, величины которой и будут служить указателями относительной твердости; либо, наоборот, определяя нагрузку, измерять полученную деформацию для той же массы.

Способ Janson'a.

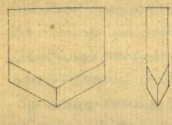
По этому методу для определения твердости метал. берут усеченный конус радиусов, показанных на фиг. 56. Такой стальной конус вдавливается всегда на одну и ту же глубину, а именно на половину своей высоты. Очевидно различные металлы в зависимости от своей твердости требуют приложения различных грузов для погружения конуса на постоянную величину 3,5 мм. и материал будет считаться тем более твердым, тем больше усилий было приложено.



Фиг. 56

Измерение твердости по способу Бедмана. По этому способу для измерения твердости употребляется стальной закаленный нос (фиг. 57), имеющий форму пирамиды с сильно вытянутым ромбическим основанием. Нос вдавливается всегда одним и тем же грузом; о твердости судят по объему полученного

углубления. Углубления оставляются ножами в разных
 местах и имеют вид подобных тра-
 пезоид, в силу чего симметричные твер-
 достей будет равно обратному
 отношению кубов соответствующих
 размеров углублений. По сути на по-
 верхности пластинок какого либо
 металла отшлифован ножа, и получа-
 ю форму вытянутого ромба. Это



Фиг. 57.

шириной может быть сделано с большой точностью,
 если применить микроскоп и микрометрический изыс-
 кательный прибор. Величина углублений зависит от
 формы ножа и довольно трудна для при неболь-
 ших переменах формы его. Поэтому для получения
 всегда одинаковых результатов необходимо приме-
 нить ножи, формы которых незначительны между
 собой. Так же достаточно легко достигнуть при той
 фигуре, которую придает ножа Фодмана. У него все
 грани ножа плоские, а пластинка представляет собою
 наиболее простую форму для изготовления поверхно-
 сти. Заметим для удобства двух ножей Фодмана
 необходимо, чтобы у обоих были одинаковые углы
 между соответствующими гранями, это легко до-
 стигается применением, при изготовлении ножей,
 определенного шаблона. Одновременно, углы между
 гранями могут быть в случае нужды произведе-
 ны с помощью прибора, употребляемого для из-
 мерения углов кристаллов.

Оба описанные приема определения твердости об-
 ладают существенными недостатками и в насто-
 ящее время мало применяются. Упомянутый конус,
 предложенный Дюроном, сминается весьма
 легко благодаря прилипанию края кисточного осно-
 вания, по истечении это особенно скоро получается
 при испытаниях твердых металлов, стали, чугуна
 и т.д. Не особенно трудно получить конус с не-
 равномерным окончанием, так как это требует, в пре-
 ждее, очень деликатного издателя, а во вторых, при сжатии

поверхность испытываемого металла несколько приподни-
 мается вокруг образуемого углубления. Следовательно за-
 темление могут быть отнесены к способу
 Фодмана, хотя здесь и нет никакой несомненной предпу-
 жденности, так как сдвиги за погружением ножа могут
 надобности; и поэтому подверглась лишь боковую
 диагональ ромба.

Способ Брикснера.

В последние время получил значительное распро-
 странение определение твердости по способу шведско-
 го инженера Брикснера. Этот угонный предложенный об-
 ществом производится вдавливанием стального шарика,
 притом так и у Фодмана, нагрузка называется
 вперед и уменьшается в зависимости от диаметра
 шарика и материала. Предельными размерами Брикс-
 неров шарик в 10^{мм} диаметром и груз в
 5т, 3т, 1т и 0,5т, в зависимости от твердости ма-
 териала. Так, высокая нагрузка применяется при
 определении твердости стали, низкая для дерева,
 свинца и т.д. Диаметр шарика вписан-
 ным величиной 5- поверхности углубления и густине
 шарика груза Р на S принимается как модуль
 твердости d, т.е. d = P/S. Так обр. твердость в
 предположении Брикснера есть давление в кг/см² на
 кв. см поверхности шарика. Легко видеть пре-
 имущество этого метода: стальные шарики о
 громадным сопротивлением раздроблению изготов-
 ляются в массовых количествах рядом фабрик и
 некоторых из них дают точность до 0,002%, что
 можно считать весьма достаточной. Это касается до
 того, насколько шарик сохраняет форму при
 необходимости необходимо указать на весьма большую
 твердость самого шарика и соответственно ничтож-
 ную его деформацию.

Оптика проф. Э. Меллер в 1908 году дает, как для
 стального шарика со средним диаметром в 10^{мм}
 следующие данные для диаметра, перпендикуляр-

нао направлено симметричной силой.

нагрузка	диаметр.
0	9,995
500 кг	9,995
1000 "	9,998
1500 "	10,000
2000 "	10,000
2500 "	10,002
3000 "	10,002
0	9,995

Этот цифр вытекает, что при увеличении нагрузки от 0 до 3 т увеличение диаметра вследствие поперечного выгибания достигает $\gamma = \frac{10000 - 9,995}{9,995} \cdot 100 = 0,07\%$. При разгрузке шарика, он принимает свой прежний радиус. Как видно, ошибка от допущения неизменности шарика в пределах до 3 т груза можно считать ничтожной. Среднее сопротивление такого шарика около 5000 - 6000 кг.

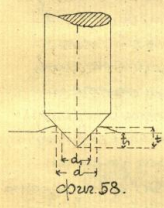
Недостатком способа Бринелля можно назвать то обстоятельство, что отношение между силой Р и соответствующим отпечатком не является вполне постоянным, как предполагал автор метода. По его мнению Р ад, где d диаметр отпечатка, а α постоянный коэффициент, зависящий от свойства материала испытуемого металла. Методом проф. Мейера в 1907 году показано, что такая зависимость выражается как Р ад^m, где m колеблется от 2 до 2,32. По способу Мейера получено, например,

Мейер			Шликкерес		
нагрузка кг	d мм	a кг	нагрузка кг	d	Р
200	2,042	61,2	300	0,425	3200
500	3,174	63,2	300	0,892	324,0
800	4,028	63,4	500	1,070	357,5
1200	4,841	65,2	1000	1,334	407,0
1600	5,860	65,4	3000	2,835	476,0
2000	6,184	66,6			
2400	6,748	67,2			
3200	7,731	68,2			

т.е. вместе с возрастанием груза Р увеличивается и величина α. В интервале 200-3200 кг. средний диаметр шарика: $\frac{68,2 - 61,2}{68,2} \cdot 100 = 10,4\%$, для отпечатка в интервале 200-3000 кг. $\frac{486 - 320}{486} \cdot 100 = 32,9\%$

Способ Лидвика

В 1907 году Лидвик опубликовал свой способ определения твердости, заключающийся в том, что угол при вершине равен 90°. Твердость здесь не зависит так же как в методе Бринелля - диаметра груза Р на поверхность отпечатка, т.е. $\sigma = \frac{P}{d^2}$. Но при этом в виду того, что при разном глубинах вдавливания поверхности отпечатков подобны, величина σ должна быть постоянной. При этом Лидвик под глубиной вдавливания понимает t, (см. фиг. 58) т.е. расстояние от конической поверхности или плоской изогнутой поверхности или плоской изогнутой поверхности до вершины конуса, которая получается вследствие раздвигания материала отпечатка Лидвика считается не наибольшим d, а d₁ - соответствующий параллельной плоскости. И т. д. $d_1 = 2t$, то σ можно выразить как $\sigma = P \cdot \pi^2 t^3$



Проф. Мейер, производя параллельный сравнительный анализ некоторых способов определения твердости, указывает на то, что результаты, полученные из опытов не подтверждают предположения Лидвика и твердость σ убывает вместе с увеличением груза Р. Если же вместо d ввести наибольшим диаметр отпечатка, то цифры получаются более постоянными. Шадр. в таблице (на следующей странице), взятой из опытов проф. Мейера, заглавие, то второе столбцы, содержащие цифры, относятся к диаметру (наибольшему) отпечатка, увеличенный в 10 раз. Эти столбцы относятся к числу строк. Будем иметь:

Метод			Спирометрический		
Нагрузка кг	$q = P \cdot R^2$	$q = P \cdot \frac{r^2}{4}$	Нагрузка кг	$q = P \cdot R^2$	$q = P \cdot \frac{r^2}{4}$
200	173,2	26,2	-	-	-
300	170,9	23,2	-	-	-
400	131,2	-	400	200,0	12,2
500	125,3	22,2	600	309,5	17,4,5
800	118,5	22,3	800	291,0	17,1,5
1000	116,2	22,3	1000	286,0	17,4,0
1500	115,0	22,6	1500	274,5	17,1,2
2000	110,5	22,8	2000	260,3	17,3,0
3000	101,0	21,4	3000	246,0	17,2,3

$\frac{130,9 - 101}{130,9} \cdot 100 = 22,8\%$, $\frac{23,2 - 21,4}{23,2} \cdot 100 = 7,8\%$, $\frac{(309,5 - 246,0) \cdot 100}{309,5} = 20,5\%$

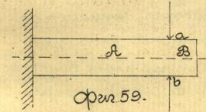
Кроме описанных методов определения твердости, существуют еще некоторые, сравнительно мало употребительные в практике. Одним из них является способ Мартина, который заключается в том, что авлающим фильем проводят по полированной поверхности царапину под действием одного и того же груза и затем под микроскопом измеряют ширину этой царапины. Чем мягче материал, тем она шире и наоборот. Длина заточки на конус оулом при вершине равна 90° и твердость измеряется та царапка, которая необходима, чтобы получить царапину шириною в $0,01$ мм. Умножив на $\frac{0,002}{0,01} = 20$. Как показывают опыты износостойкости полученные тиски или.

Из описанного следует прийти к заключению, что методов определения твердости, данных непосредственно сравнения данных, не имеется. Определить тиски или другим способом твердость материала, необходимо проводить следующие и все обстоятельства, при которых данный тиски были получены, дабы, при сравнении сопоставить полученные результаты с какими либо

другими, можно было такое сравнение сделать. С этой точки зрения необходимо признать все описанные приемы одинаково хорошими или плохими.

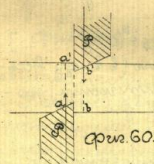
Сдвиг.

Представим себе призматический брусок, подверженный действию двух сил P и P' (Фиг. 59) расположенных в плоскости перпендикулярной оси бруска. Результатом действия этих сил, вообще говоря получается изгибное деформирование, вызываемое стремлением к сдвигу части



А относительно А. При увеличении величины сил наступит разрушение бруска, выражающееся в отрывании части В от А по высоте а-б. Отсавиве линии сдвига наблюдается при раздании кожаных тисками и т.п. В действительности при возможности приложить силы точно в одной плоскости получается сдвиг по поверхностям а-б и а'-б (Фиг. 60).

Эти линии сдвига приложим будучи отсюда вытекает, на этих площадках и между равнодействующими P и P' получается напряжение, правда не большое, разделение α . Таким образом брусок сдвигается по поверхностям действия пары P и P' . Как увидим ниже такая пара производит сдвиг бруска. Но в том случае, когда разделение α ничтожно, разрушение всегда происходит по плоскости, лежащую между P и P' его разбивают как один сплошной относительно А. В величии внутренних касательных сил, ибо очевидно, что при описанном способе приложенных внешних сил, внутренних их уравновешивают



ция должна лежать в плоскости поперечных сечений.

Без учета себя взаимных отношений между напряжениями и деформациями вернемся к способу, который был упомянут при объяснении явления растяжения. Пусть (фиг. 61) два бесконечно малых элемента a и b подвержены действию сжимающих (сдвигательных) сил. Очевидно, что пока не наступит разрушение, т.е. пока взаимная связь между этими частицами не нарушена, они, под влиянием внешней системы, займут новое положение a' и b' ; при этом линия центров a, b с сохранением своего положения ab составит угол φ . Легко видеть, что этот угол будет величиной $\sin \varphi$, т.е. угол φ будет равен $\sin \varphi$. Поэтому он может быть принят как мера деформации и носит название угла сдвига. Внутренняя сила F очевидно является функцией угла сдвига и может быть представлена как $F = \Delta \sigma f(\varphi)$, где $\Delta \sigma$ поверхность соприкасающихся элементов. Так при $\varphi = 0$, величина внутренней силы должна быть равна нулю и кроме того она непрерывна при малых значениях, то можем написать:

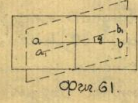
$$F = \Delta \sigma \left[f'(0) \varphi + \frac{1}{2} f''(0) \varphi^2 + \frac{1}{6} f'''(0) \varphi^3 + \dots \right]$$

Отбрасывая все члены кроме первого (в виду весьма малых значений φ в пределах упругости) получим:

$$F = f'(0) \Delta \sigma \varphi = F_0 \Delta \sigma \varphi,$$

т.е. очевидно $f'(0)$ есть величина постоянная и зависящая лишь от материала. Коэффициент этот F_0 носит название модуля сдвига или модуля упругости \mathcal{G} рода. Величина напряжений, т.е. внутренней силы, отнесенной к квадратной единице, будет:

$$k_s = \frac{F}{\Delta \sigma} = \mathcal{G} \varphi \quad (12)$$



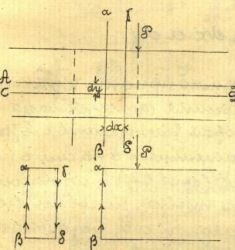
Фиг. 61.

Полученная зависимость совершенно аналогична формуле $k = E \epsilon$; модуль упругости \mathcal{G} рода представляет очевидно в этих же единицах как и E , а следовательно по k и k_s .

Изное видно, что если при деформации сдвига угол сдвига остается постоянным во всех внешних сечениях, то и касательные напряжения должны быть распределены равномерно по всему поперечному сечению. В таком случае, очевидно, получим ур-е:

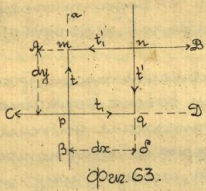
$$P = \mathcal{G} \varphi \omega = k_s \omega \quad (13)$$

Из этого видно, что если при деформации сдвига угол сдвига остается постоянным во всех внешних сечениях, то и касательные напряжения должны быть распределены равномерно по всему поперечному сечению. В таком случае, очевидно, получим ур-е:



Фиг. 62.

правильно противоположно такому же в сечении $\alpha\beta$. Наконец двумя параллельными AB и CD силами и отстоящими друг от друга на расстоянии l выразим бесконечно малый элементарный параллелепипед $abcd$ (фиг. 63); в грани его tr и tr' будут действовать силы t и t' , очевидно, равные друг другу, но противоположные. Расстояние $t = t'$ выразим по условию, что сумма проекций всех действующих сил \parallel осей z равна нулю. Образует пару с моментом $t \cdot dx$, силы t, t' где $\Delta \sigma$ представляем элементарную площадку в сечении $\alpha\beta$.



требуют, для возможности равновесия параллелепипеда, присутствия в гранях mn и pd подобных же касательных сил t_1 и t_2 , которые должны быть равны друг другу и противоположны. Тогда $t_1 dy$ уравновесит пару $t dx$, т.е. $t_1 dy = t dx$. Ввиду безразличия малых размеров параллели-

педа можно допустить, что внутренние силы $t = t_1$ и $t_2 = t_1$, распределены в гранях mn и pd равномерно с напряжением K_s и в гранях mn и pd с напряжением K'_s . Называя размер параллелепипеда перпендикулярно к плоскости сечения через элемент равным:

$$K_s dy \text{ а } dx = K'_s dx \text{ а } dy.$$

откуда

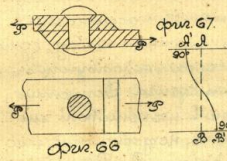
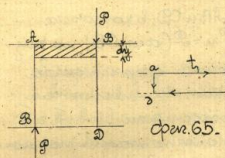
$$K_s = K'_s$$

Этим образом необходимо прийти к заключению, что при сдвиге внутренние силы обладают свойственностью, которая выражается в том, что в случае появления касательных сил на грани ab (Фиг. 64) в противоположной части тела, на грани cd , перпендикулярной ab , возбуждаются касательные силы с напряжением $K'_s = K_s$ и направленной по стрелке.

Что касается распределения внутренних сил в плоскости срезывания, то можно сказать следующее. Закон единственности касательных сил относится, очевидно, ко всем внутренним площадкам безразлично.

Вытравив (Фиг. 65) элемент AB у поверхности и вынося его отдельно, мы, на основании сказанного ранее, должны допустить, что на внешней грани AB действует касательная сила T суммарная проекция на ось xx' равна нулю, откуда $t_1 = t_2$

При таком условии понятно, что внутренние силы и напряжение K_s распределены равномерно, т.е. $K_s = const. = \frac{T}{S}$. Но $K_s = \frac{T}{S}$, а следовательно и T постоянно. Другими словами: нижнее плечо AB до сдвига остается



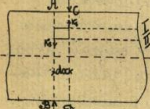
плоским и не имеет деформации. С другой стороны, касательная сила на внешней поверхности элемента обуславливает присутствие касательных же сил на внутренней поверхности. При такой постановке явлений можно допустить, что записка срезаются по плоскости AB (Фиг. 66). Если записка сдвигается, то на поверхности ее действует сила трения, величина которой зависит от взаимного давления между створками за-

писки и створками дыры. В таком случае при сдвиге, записка подвергается касательным внутренним силам (трению) и на своей поверхности, в сторону возможно сдвига, больше или меньше равномерного распределения внутренних напряжений в плоскости поперечного сечения. Если же записка сдвигается в своем значительном отстоянии от створки дыры, то равномерное распределение напряжений в створке не может быть и речи. При таком условии естественно отсюда, что плоское сечение при деформации искривляется. При наклоне прутка в отношении к поверхности (точка $A'B'$) (Фиг. 67) должен быть равен 90° , ибо дырка за отсутствием касательных сил не может быть перекашиваясь. С явлением неравномерного распределения касательных сил при сдвигании придется еще раз встретиться. См. матр. г. I проф. И. И. Бобарина.

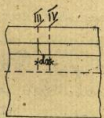
встретимся при изгибе.

Работа внутренних сил при сдвиге.

Представим себе два слоя AB и CD , в которых действуют срезающие силы P и P' (фиг. 68) на раз-



Фиг. 68.



стоянии друг от друга равном dx и выводем их плоскости I и II, III и IV деформацию малой параллельной $abcd$ с разностями dx , dy и dz . На гранях его ab и cd возникнет касательное напряжение $k_x = \frac{P}{q}$, если q — соответствующий угол сдвига. Допустим, что в некоторый момент сила P , возрастая от нуля, не достигнув еще своей наибольшей величины P , равна P' ; следовательно с этим углом сдвига получим величину $q' < q$. В соседний бесконечно малый параллелограмм, врезанный углом сдвига q' , также на бесконечно малую величину dq . Если допустить, что грань cd неподвижна, а грань ab сдвигается, то и уменьшит силу сдвига q' , то работа касательного напряжения будет, очевидно, равна $dy \cdot dz \cdot k_x \cdot dq \cdot dx$, так как перемещение, которое равно $dx \cdot k_x \cdot dq$ можно заменить через $dx \cdot dq$, если вместо тангенса по малости угла взять дуго. Работа внутренних сил на грани ab за всю деформацию от 0 до q будет:

$$T = \int_0^q dx \cdot dy \cdot dz \cdot k_x \cdot dq \cdot dx = \int_0^q P' \cdot dq \cdot dx = \frac{k_x^2}{2} dx^2 dy dz$$

где $dx \cdot dy \cdot dz$ есть объем элементарного параллелепипеда. Разделив полученное выражение на dx найдем работу касательных напряжений при сдвиге отнесенную к единице объема:

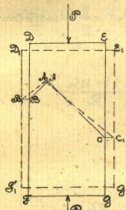
$$\bar{Q} = \frac{k_x^2}{2} \quad (14)$$

По закону двойственности на гранях ac и bd также

возникнет касательное напряжение равное по величине k_x и направленное согласно опытам; но работа этих касательных напряжений равна нулю или перемещению точек приложенных происходит перпендикулярно их направлению.

Сдвиг при растяжении (сжатии).

Все в статье о сжатии указывается, что это явление сопровождается сдвигом. В самом общем виде можно доказать это положение следующим образом. Пусть (фиг. 69) брусок $DEFG$ подвергается сжатию силами P и P' . Возьмем внутри бруска около точки A две взаимно перпендикулярные точки B и C переместятся в A_1 , B_1 и C_1 при чем легко видно, что $CA_1 > BA_1 > CA_1$.



Фиг. 69.



Фиг. 70.

Следовательно $\angle B_1A_1C_1 > \angle B_1A_1D_1$, а потому на AB -стороне BA_1 и CA_1 существуют касательные напряжения.

Совершенно таким же образом можно показать, что явление сдвига наблюдается и при растяжении. Отнесем на эти разрезанные к этому случаю (фиг. 70) найдем, что прямой угол $B_1A_1C_1$ переходит в $\angle B_1A_1C_1 < \angle B_1A_1D_1$. т. е. и здесь наблюдается изменение прямого угла характеризующее наличие касательных напряжений. Связь между изменением расстояний (сжатием) и сдвигом указывается на то, что между модулями упругости первого и второго рода должна существовать определенная зависимость.

Чтобы найти ее рассмотрим сдвиг сдвигающий случай. Брусок прямоугольного поперечного сечения с длиной l и площадью S (фиг. 71) подвергается растяжению силами P и P' . Возьмем два слоя AB и CD отстоя-

т.е. при отс. груза на высоте $BD = BC = a$. После деформации стержень перейдет в A_1B_1 и C_1D_1 . Величина относительного удлинения стержня $\overline{BD} = \overline{BC}$ будет:

$$i = \frac{A_1B_1 - AB}{AB}$$

С другой стороны, поперечный размер увеличивается на:

$$a(1-i) = A_1B_1(1-m)$$

где m - коэффициент Пуассона. Деформация сдвига очевидно будет:

$$g = L \sin \alpha - L \cos \alpha \tan \alpha = 2L \sin \alpha \cos \alpha$$

Пусть углы наклона Δ -ка O_1M_1 и O_1N_1 равны:

$$O_1M_1 = i, O_1N_1 \tan \angle A_1O_1M_1$$

но

$$O_1N_1 = \frac{a(1-i)}{2} = \frac{AB(1-m)}{2} = \frac{a(1-m)}{2}$$

$$A_1O_1M_1 = \frac{a(1-i)}{2} (1+i) = \frac{a(1-i^2)}{2}$$

$$L O_1A_1M_1 = 90 - (L O_1M_1 + 9/2) = 45 - 9/2$$

а по формуле:

$$\frac{a(1-m)}{2} = a \left(\frac{1-i}{2} \right) \tan (45 - 9/2)$$

следовательно

$$1-m = (1+i) \frac{1-9/2}{1+9/2}$$

откуда

$$g = i(1+m) - \frac{i^2}{2} + \frac{mg}{2}$$

Пренебрегая двумя последними членами правой части как величинами чрезвычайно малыми по сравнению с первым получаем такую простую зависимость между деформациями сдвига и растяжения:

$$g = i(1+m)$$

Проведем (рис. 72) через O перпендикуляр OM_1 под углом α к стержню отклоненной части и отбросим лишнюю часть, заметим, что сила P действует на наклонном стержне, величина которой будет S_2 , напряжений сдвига

$$k_2 = \frac{P}{S_2} = \frac{P \sin \alpha}{S_2}$$

Но нормальное напряжение стержня Фрука

$$\omega = S_2 \cos \alpha, \text{ а по формуле получим:}$$

$$k_2 = \frac{P \sin \alpha \cos \alpha}{\omega} = \frac{P \sin 2\alpha}{2\omega} = \frac{k_1}{2} \sin 2\alpha$$

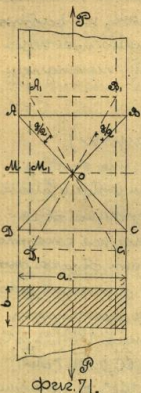


рис. 71.

Максимальное значение k_2 мы получаем, как уже указывалось выше, при $\alpha = 45^\circ$ т.е.

$$k_2 = 2k_1$$

но $k_2 = E_i \cdot 2\epsilon_2 = G g$ или $E_i = 5i(1+m)$ отсюда:

$$G = \frac{E}{2(1+m)}$$

Возьмем m в пределах $m = 0,25 - 0,4$ получим $G = (0,4 - 0,3)E$

Растяжение (сжатие) при сдвиге.

На основании элементарного вытекает, что если при растяжении наблюдается величина сдвига, то и обратно при сдвиге должно наблюдаться растяжение (сжатие). В самом деле рассмотрим $ABCD$ под влиянием сдвига перемещающиеся в $A_1B_1C_1D_1$. Диагональ BD при этом перемещается удлиняется, переходя в B_1D_1 . Диагональ AC , наоборот, сокращается по длине и переходит в A_1C_1 . Рассмотрим соотношение между i и g в данной ситуации.



рис. 72.

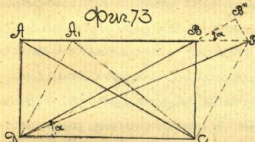


рис. 73.

Величину удлинения B_1D_1 будет $L = B_1D_1 - BD$. Строго говоря, точкой B_1 на BD по наименьшему углу можно принять:

$$B_1D_1 = 2B_1O_1 = 2BO_1 = 2a \cos \alpha$$

с другой стороны $B_1D_1 = BC$: $\sin \alpha$

А по формуле

$$i = \frac{L}{BD} = \frac{2a \cos \alpha}{2a \sin \alpha} = \frac{\cos \alpha}{\sin \alpha} = \cot \alpha$$

то отношение $B_1D_1 : BD$ есть ничто иное как угол сдвига g , следовательно

$$i = g \frac{\sin 2\alpha}{2}$$

Для нахождения на сдвиг необходимо иметь в виду, чтобы напряжения по взаимности возникающих удельных не превосходили допустимой величины. Имеем

$$i_{max} = g/2$$

т.е. наибольшее нормальное напряжение (растяжение)

тем касатив) разбиваются в плоскости направленной под $L \cdot 45^\circ$ к направлению сдвига. Следовательно касательное напряжение будет.

$$\tau_{45} = \sigma \cdot \sin \varphi = 2 \sin \alpha \cdot \sigma \cdot \frac{1}{2} \frac{E}{E(1+\mu)} = \frac{\tau_{45}}{1+\mu}$$

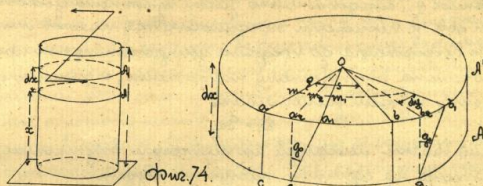
Отсюда зная величину допустимого напряжения τ_{45} находим значение допустимого напряжения τ_{45} . А именно приняв $m = 0,25 - 0,4$ получим

$$\tau_{45} = (0,3 - 0,7) \tau_{45}$$

Кругление.

Кругление производится по изменению формы данного бруска, которое получается, когда по концам бруска действуют две пары сил равные по величине, но противоположно направленные по направлению момента или, если один конец бруска закреплен неподвижно, а на другой действует пара сил в нем или, перпендикулярной оси бруска. При этом ось бруска остается прямой, перпендикулярная оси бруска поворачивается около своего центра на углы φ и φ в зависимости от величины момента разрабатываемого сечения от закрепленного конца. Угол поворота сечения называется углом кругления. В дальнейшем предположим, что поперечные сечения остаются плоскими и в деформированном состоянии. Также предположим практически справедливо или для цилиндрического бруска круглого сечения.

Ввиду того, что практически имеют наибольшее значение круглые цилиндрические брусочки, в этой главе будут рассмотрены круглые на цилиндрические брусочки; в брусках прямоугольных, эллиптических и т.п. сечений, по крайней мере при круглении, покрывающихся и в этом смысле имеет значительное практическое значение. Возьмем на цилиндр два сечения (рис. 74) A и A' , на расстоянии ac друг от друга и, проведя две диаметрально противоположные радиальные линии одна к другой под некоторым углом φ на поверхности цилиндра прямоугольник $abcd$. Тогда, если сечение A поворачивается на некоторый угол



или угол φ относительно сечения A' , тогда точка a перейдет в a' и точка b — в b' , в сечении A' — точки c перейдут в c' и d — в d' . Отрезки перпендикулярные ac и bd займут новые положения $a'c'$ и $b'd'$; при этом прямые углы acd и bcd переходят в острые, а прямоугольник $abcd$ переходит в параллелограмм $a'b'c'd'$. Такое видоизменение прямоугольника указывает на деформацию сдвига, а следовательно на присутствие касательных сил в поперечных сечениях. Угол сдвига φ_0 в рассматриваемом сечении представляется углом $\alpha_2 \alpha_1 \alpha'$, т.е. $\varphi_0 = \angle \alpha_2 \alpha_1 \alpha'$, а поэтому можно написать:

$$\varphi_0 = \frac{\alpha_2 \alpha_1}{ac} = \frac{r \cdot d\varphi}{a \cdot c} = \frac{r \cdot d\varphi}{ac} \quad (a)$$

где $d\varphi = \alpha_2 \alpha_1 = b_2 \alpha_1$ — угол кругления, а r — радиус цилиндра. Для какой либо точки m , лежащей в той же плоскости A' , но на расстоянии $Om = \rho$ от оси, величина сдвига $m_2 m_1 = \rho \cdot d\varphi$, а угол сдвига

$$\varphi = \frac{m_2 m_1}{ac} = \rho \frac{d\varphi}{ac} \quad (b)$$

Сравнивая выражение (a) и (b) видим, что угол сдвига увеличивается с увеличением расстояния точки ρ от оси. Следовательно полагая эти два угла друг на друга, получим $\varphi_0 \cdot \rho = \rho \cdot \varphi$ отсюда:

$$\varphi = \varphi_0 \frac{\rho}{r} \quad (c)$$

Наибольший угол сдвига будет, очевидно, для точек на поверхности цилиндра, т.е. $L \cdot \varphi_0$ и наименьший, равный нулю, на оси.

Уравнение (c) представляет уравнение прямой линии (через оба сечения на рис. 74 выведена в сторону увеличения масштаба).

линии φ), следовательно закон изменений деформаций от оси к периферии представляется прямой линией. Это деформация до предела упругости прямо пропорциональна внутреннему напряжению, а именно для сдвига точек зависимость

$$\kappa_s = \varphi_0 \varphi$$

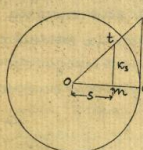
Для точки лежащей на периферии внутренне напряжение на единицу площади будет:

$$\kappa_s = \varphi_0 \varphi_0$$

для другой же произвольной точки

$$\kappa_s = \varphi_0 \varphi = \frac{\varphi_0}{r} \varphi r = \kappa_s \frac{r}{R} \quad (15)$$

Графическое изображение закона изменений напряжений представится следующим образом. Строим от точки A (рис. 75) по касательной в определенной масштабе κ_s , соединим точку t_0 с O по-

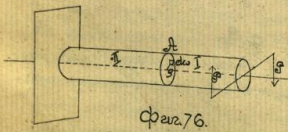


Фиг. 75.

тиям прямою, выражающую закон изменений, внутренне на напряжение для точки t , проведем через эту точку линию mt , параллельную κ_s и тогда отрезок mt и выразит в выбранном масштабе искомого величину внутренне на напряжение для упомянутой точки. Как пока-

зывает наблюдение, угол сдвига зависит от величины крутящего момента M и диаметра крутящегося бруска.

Чтобы определить зависимость между углом φ сдвига и величинами M и d , найдем сначала как выразится зависимость между внутренними и внешними силами при кручении.



Фиг. 76.

Проведем произвольное сечение (перпендикулярное) к оси A (рис. 76) и мысленно отбросим от него часть бруска (II). Если отсечь правую часть (I) останется в равновесии, следовательно удвоенный

ся условие, чтобы сумма моментов всех внутренних сил, приложенных к бруску, равнялась нулю. Эти отбрасываемые части (II) в сечении возникнут силы взаимодействия, закон распределения которых только был выяснен. Эти силы дополняются друг друга как внешние, а потому можно написать условие $\sum M = 0$.

Возьмем в сечении A элементарную площадку dA на расстоянии φ от оси бруска. Равновесительная внутренняя сила на этой площадке будет:

$$\kappa_s dA = \kappa_s \varphi \frac{dA}{r}$$

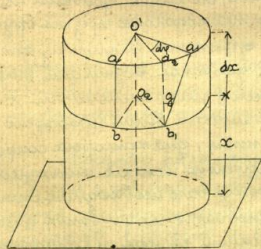
Момент этой равнодействующей относительно оси выразится как:

$$\kappa_s \varphi^2 \frac{dA}{2}$$

Суммируя такие элементарные моменты по всей площадке поперечного сечения, получим:

$$M = \varphi A \int_0^R \kappa_s \varphi^2 \frac{dA}{2} = \frac{\varphi_0 \kappa_s}{2} \int_0^R \varphi^2 dA = \frac{\pi r^2}{2} \kappa_s \dots \quad (16)$$

где $\int_0^R dA$ — полярный момент инерции поперечного сечения. Так как κ_s представляет собою наибольшее напряжение при кручении, то впереди будем его обозначать через κ_s и, говоря о величии кручения, будем означать, что здесь предполагается напряжение на элементарной площадке поверхности цилиндра. Величине было $\kappa_s = \varphi_0$, а потому мы будем φ_0 — угол сдвига на поверхности цилиндра $\varphi_0 = \varphi_{max} = \frac{Mr}{J_p}$ т.е. зависит от момента кручения, обратно пропорционален третьей степени радиуса и от длины бруска и зависит.



Фиг. 77.

Угол кручения

Возьмем бесконечно малый элементарный цилиндр высотой dx , вырезанный из данного бруска на расстоянии x от момента закручивания и на нем точки a и b (рис. 77). Пусть при кручении точка a переместится в a_1 и b_2 в b . Из чертежа видно, что угол α поворота

фермию степеней первого относительно иптенно равны-
 ется: $L a_1 a_2 - L b_1 a_2 = L a_1 a_2$, кроме того $a_1 a_2 = 2dr$
 и $a_1 a_2 = 2dr$ где $g = L a_1 a_2$, а потому $2dr = da_1 g$ или
 $dr = g \frac{da_1}{2}$ Переходя к конечным величинам, найдем
 угол кручения: $\psi = \int_0^L dr = \int_0^L g \frac{da_1}{2} = g \frac{L}{2}$ (d)

Точка a взята на поверхности и внутренне напря-
 жение выразится таким образом: $k_2 = 3g$. С другой
 стороны, из ур-ия $M = \frac{2k_2 L}{2}$ имеем, что $k_2 = \frac{M}{g L}$, следо-
 вательно $3g = \frac{M}{g L}$.

Из последнего ур-ия определяем g и подставляем в
 ур-ие (d) $g = \frac{M L}{3 J_0}$; $\psi = \frac{M L^2}{3 J_0} \frac{3}{2} = \frac{M L^2}{2 J_0}$ (2)

Для конечного угла, для которого $\alpha = 1$, имеем:
 $\psi = \frac{M L^2}{2 J_0}$ (17)

Ур-ие $M = \frac{2k_2 L}{2}$ и (17) дают возможность по данному
 скручивающему моменту определить размеры
 бруска и деформацию (угол кручения).

Если бы точка a была взята внутри бруска,
 то повторив по тем рассуждениям, очевидно, построим
 и тем же результатом, но угол кручения для данно-
 го угла величина изредко бывает.

На основании вышеизложенной действительности внут-
 ренние силы при сдвиге (касательные напряжения),
 при кручении кроме напряжений, разрывающихся в
 экваториальных (поперечных) сечениях, достают также
 даются напряжения и в тех сеч., проходящих через ось бруска.

В самом деле, как видим из фиг. 78
 в точках a и b должны возникнуть внут-
 ренние напряжения параллельно оси. Это
 предположение может быть проверено
 опытом сдвиги стержня, для которого сопро-
 тивление в различных направлениях неодн-
 ообразно. Сюда прежде всего необходимо отнести
 дерево. Если подвергнуть скручиванию цилин-
 дрический деревянный брусок, у которого
 ось II направлена вдоль оси, то разруше-

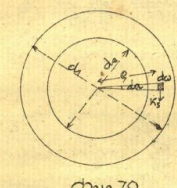


Фиг. 78.
 Точка разрушения возникает на поверхности малой величины da .

ние относительно нажимаемое на поверхности, причем
 получаются долбежные трещины. Если же сдвиге
 относительно обжимается стержень, то дерево вообще со-
 противляется слабее силой сжимающим вогну
 вогнутой, нежели поперек.

Фиг. 79. Внутренние напряжения у оси уменьшаются
 до нуля, но естественно может явиться мысль, что
 материал, лежащий близ оси, ввиду своей малой полезной
 и потому с учетом степеней степеней заимствованным.

Различные формулы при этом применяются лишь
 в выражении для момента инерции. В самом деле
 пусть (фиг. 79) дано кольцевое сечение с диаметрами
 d_1 и d_2 . Выше на расстоянии g от цен-
 тра попоперек da , имеем, соответ-
 ственно вытекает, то момент
 внутренние силы относительно оси
 будет: $M = \int_{d_2}^{d_1} k_2 da da = \frac{2k_2}{d_1} \int_{d_2}^{d_1} da da$



Фиг. 79.

но $da = g \cdot da$, а по формуле получим:
 $M = \frac{2k_2}{d_1} \int_{d_2}^{d_1} g^2 da da = \frac{2k_2}{d_1} \int_{d_2}^{d_1} da da$

$$= \frac{2\pi}{d_1} \frac{d_1^4 - d_2^4}{32} k_2 = \frac{2k_2 J_0}{d_1}$$

где J_0 - полярный момент инерции кольца.

Пустотные вала применяются в больших раз-
 мерах для кручения паровых машин, а иногда и для
 больших паровых турбинных машин.

Вот по разному пустотные вала несколько
 больше, но при больших диаметрах
 изготовлении однородных валов сложного сечения
 представляется больше затруднений.

Работа внутренних сил при кручении.

Пусть цилиндрический брусок диаметра d подвер-
 гается малому углу поворота вращательного мо-
 мента M , который прикладывается от конца до кон-
 ца M в течение конечного промежутка времени.
 При этом крайний стержень поворачивается друг от

положительно дуга на угол $\varphi = \frac{M\varphi}{2J_g}$ (Фиг. 80). Работа внутренних сил равна работе T внешней пары.



Пусть в некоторый момент пара возрастает от нуля, достигая величины M при этом ей соответствует угол кручения φ . В следующий момент брусок получит кручение $d\varphi$. Делительная работа внешней пары будет: $M \cdot d\varphi$, а полная работа: $T = \int_0^{\varphi} M d\varphi$, если φ - конический угол кручения. Но угол кручения φ , соответствующий величине M будет: $\varphi = \frac{M l}{2J_g}$, а потому $T = \int_0^{\frac{M l}{2J_g}} M d\varphi = \frac{M^2 l}{2J_g}$

А так как $M = \frac{2J_g \varphi}{l}$, то работа внешних, следовательно и внутренних сил будет:

$$T = \frac{1}{2} \frac{2J_g \varphi^2}{l} = \frac{2J_g \varphi^2}{2l} = \frac{2J_g \varphi^2}{2l} = W \frac{J_g}{4J_g} \quad (18)$$

если W - объем бруска. Выражение $\frac{J_g}{4J_g}$ представляет поэтому значение работы внутренних сил, отнесенное к единице объема (среднее).

Наблюдение к отнесению к единице объема, расположенных на внешней поверхности цилиндра.

Переходя к среднему величине деформации и напряжений при аналитическом действии силы, надо заметить, что при выданной приложенной паре M она будет скручивать брусок до тех пор, пока работа внутренних сил равна работе сил внешней пары. Другими словами, если угол кручения при продольном приложении момента назовем φ , то можно существовать равенство $M\varphi = \frac{K\varphi^2}{2}$, но так как угол кручения при статическом действии силы $\varphi = \frac{M l}{2J_g}$, то можно, вводя значение M в предыдущее выражение, $\varphi = \frac{K l}{2J_g} = \frac{K l}{2J_g} W$. Притом же во внимание даем, что

На основании (18) можно написать $T = \frac{1}{2} \int_0^{\varphi} M d\varphi$, а именно $T = \int_0^{\varphi} M d\varphi = \int_0^{\varphi} \frac{2J_g \varphi}{l} d\varphi = \frac{2J_g}{l} \int_0^{\varphi} \varphi d\varphi = \frac{2J_g}{l} \cdot \frac{\varphi^2}{2} = \frac{J_g \varphi^2}{l}$, или $K_1 = \frac{J_g}{l}$

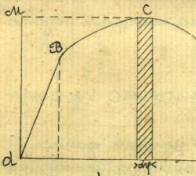
Кстати в предельном случае

$K_2 = \frac{J_g}{l}$, получим: $\frac{2J_g \varphi^2}{l} = \frac{2J_g \varphi^2}{l} = \frac{2J_g \varphi^2}{l}$ или $\frac{2J_g \varphi^2}{l} = \frac{2J_g \varphi^2}{l}$, где φ - угол сдвига при ударном действии пары. Это кратнее того $\varphi = \frac{K l}{2J_g}$, потому что контактная пара $\varphi = \frac{K l}{2J_g}$, откуда $\varphi = 2\varphi_0$ и $\varphi = 2\varphi_0$

Такой обр. деформации при выданном действии силы, а следовательно и напряжений будет больше чем при равном приложении того же момента M .

Не трудно на основании сказанного, найти деформацию и в том случае, если момент приложенной пары тем, в какой-то обладать некоторой угловой скоростью отличной от нуля. Это может быть сделано, если силы P и Q представимы дугами, нарастающим с некоторой высотой.

Репродуцируемые отклики над кручением брусков из упругого материала показывают, что деформации (угол кручения) при всех прочих данных прямо пропорциональны действующей силе. Эта зависимость наблюдается до известного предела, до которого пологие углы кручения являются упругими, т.е. по разрыву бруска негладко. Если крутящий момент постоянно возрастает, то при некотором значении его наблюдается, что приращение углов кручения начнет идти гораздо быстрее приращений моментов, при разрыве бруска разломается оставшийся угол кручения. Если откладывать (Фиг. 81) по оси



абсцисс значение φ , а по оси ординат - соответствующие моменты, то получим диаграмму аналогичную той, какая строится при растяжении (сжатии). Также видно, что и здесь площадь диаграммы выразит сумму работы внутренних сил бруска $T = \int_0^{\varphi} M d\varphi$.

Моменты инерции.

Пусть дана плоская фигура и требуется найти ее момент инерции относительно оси, проходящей через

центр тяжести C . Возьмем (фиг. 82) элементарную площадку dko на расстоянии x от oz оси. Ее момент инерции относительно этой оси $J = x^2 dko$. Момент инерции всей фигуры относительно той же оси:

$$J_0 = \int x^2 dko \quad (19)$$


применяя интегрирование распространяем на площадь всей фигуры. Определим теперь момент инерции относительно оси A и оси C и отстоящей от нее на расстоянии a . Элементарный момент той же площадки dko относительно оси A : $J_a = (x+a)^2 dko$.

Покажем, что момент инерции данной фигуры относительно той же оси: $J_a = \int (x+a)^2 dko = \int (x^2 + 2xa + a^2) dko = \int x^2 dko + \int 2xa dko + \int a^2 dko = J_0 + 2a \int x dko + a^2 \int dko = J_0 + 2a Sx_c + a^2 S$, где S - площадь данной фигуры. Что касается члена $2a \int x dko$, то очевидно он обращается в нуль, ибо как известно из элементарной механики, выражение $\int x dko$ относительно оси, проходящей через центр тяжести равно 0 для плоской фигуры. Так как полный момент инерции J_a выражается так:

$$J_a = J_0 + 2a Sx_c + a^2 S \quad (20)$$

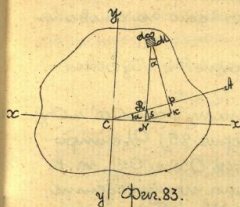
т.е. момент инерции плоской фигуры относительно некоторой оси, касающейся в плоскости фигуры, равен моменту инерции той же фигуры относительно оси, перпендикулярной и проходящей через центр тяжести, сложившему с произведением площади фигуры на квадрат расстояния между осями.

Момент инерции относительно произвольной оси.

Благодаря тому, что уже найден момент инерции данной фигуры относительно двух взаимноперпендикулярных осей координат (среднеарифметическая взаимноперпендикулярных осей координат), проходящих через центр тяжести (фиг. 83), т.е. нам известны J_x и J_y ; требуется найти момент инерции фигуры т.е. статический момент площади относительно оси, проходящей через центр и параллельной в плоскости фигуры.

относительно оси AK , проходящей через точку C . На основании фиг. 83 (19):

$J_a = \int a^2 dko$, где $a = CK$, но из геометрии видно $a = CK = PK - PK = y \cos \alpha$. Также из того же треугольника находим $PK = CK \sin \alpha = a \sin \alpha$ и следовательно $a = y \cos \alpha - x \sin \alpha$.

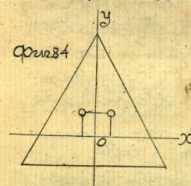


Подставляя в фиг. 83 (19) найденное значение a получим

$$J_a = \int (y \cos \alpha - x \sin \alpha)^2 dko = \int y^2 \cos^2 \alpha dko - 2 \int xy \cos \alpha \sin \alpha dko + \int x^2 \sin^2 \alpha dko = \int y^2 \cos^2 \alpha dko - 2 \int xy \cos \alpha \sin \alpha dko + \int x^2 \sin^2 \alpha dko = J_y \cos^2 \alpha - 2 \int xy \cos \alpha \sin \alpha dko + J_x \sin^2 \alpha$$

Интеграл $J_{xy} = \int xy dko$ называется центробежным моментом инерции и для каждой плоской фигуры можно найти такое положение осей координат, при котором выражение J_{xy} обращается в нуль. Эти оси называются главными осями инерции (главными осями инерции).

Удобно найти положение главных осей для каждой плоской фигуры весьма существенно, в особенности в вопросе о кривизне. В фигурах, не имеющих ось симметрии, она является одной из главных осей. В самом деле (фиг. 84), напр. возьмем равнобедренный треугольник, в котором ось Oy - ось симметрии выражение $J_{xy} = \int xy dko$ представляет собою сумму безконечно большого числа безконечно малых произведений $dx dy$. Но для каждого элемента $dx dy$ - с абсциссой $+x$, имеется по симметрии элемент $dx dy$ с абсциссой $-x$, при той же ординате. А потому можно сказать, что $\int dx dy xy = \int dx dy xy + \int dx dy (-x)y + \dots + \int dx dy yx - \int dx dy xy = 0$



Если известны две оси симметрии, то само собой понятно, что обе они будут главными.

Если фигура не имеет осей симметрии, то главные моменты главных осей можно найти на основании следующих рассуждений.

Пусть известны моменты инерции I_x и I_y относительно главных осей Ox и Oy .

Возьмем какую либо фигуру системы осей Ox' и Oy' с тем же началом координат (фиг. 85). Центробежный момент относительно осей Ox' и Oy' , т.е. W_{xy} может быть найден как сумма произведений

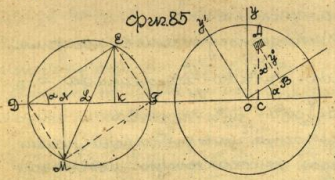
$W_{xy} = \int d\omega x'y'$
 Для каждого элемента $d\omega$ имеем: $AB=y'$; $OB=x'$
 $AB=y$; $OB=x$
 Формулы преобразования координат дают:

$y' = x \cos \alpha + y \sin \alpha$ и $x' = y \cos \alpha - x \sin \alpha$ или
 $W_{xy} = \int d\omega (x \cos \alpha + y \sin \alpha)(y \cos \alpha - x \sin \alpha) = \int d\omega xy \cos^2 \alpha - \int d\omega xy \sin^2 \alpha + \frac{1}{2} \int d\omega y^2 \sin 2\alpha - \frac{1}{2} \int d\omega x^2 \sin 2\alpha = \frac{1}{2} (I_x - I_y) \sin 2\alpha$
 ибо $W_{xy} = 0$, т.к. оси Ox и Oy главные (по условию).

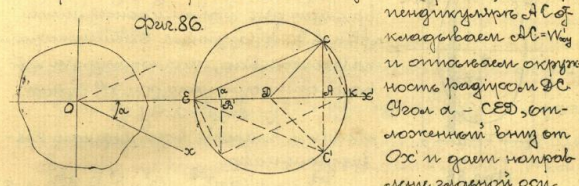
Весьма удобно для I_x и I_y найти значение W_{xy} графически. Для этого в выбранном масштабе откладывают отрезки $OB=I_x$ и $OB'=I_y$. На гоним EB' I_y откладывают окружность с центром E . Проводя $BE \parallel Ox$, из точки E опускают перпендикуляр на Ox . Отрезок $EK = BE \sin \alpha = OF \cos \alpha \sin \alpha$; $EK = \frac{1}{2} (I_x - I_y) \sin 2\alpha = W_{xy}$. Значит было найдено, что $I_x = I_x \cos^2 \alpha + I_y \sin^2 \alpha$, преобразуя это выражение, получим:

$I_x' = I_x \cos^2 \alpha + I_y (1 - \cos^2 \alpha) = I_y + (I_x - I_y) \cos^2 \alpha$
 Из фигуры имеем: $OK = OB - BK = I_x - BE \cos \alpha = I_x - 2E \cos^2 \alpha = I_x - (I_x - I_y) \cos^2 \alpha = I_y$, можно также $OK = OF + FK = I_y + BE \cos \alpha = I_y + E \cos \alpha = I_y + (I_x - I_y) \cos^2 \alpha = I_x$

Следовательно, зная главные моменты инерции всегда легко найти моменты инерции и центробежный момент относительно произвольных осей Ox' и Oy' .

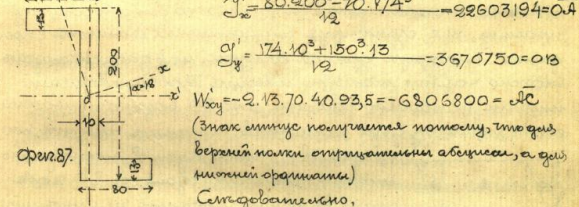


Понятно легко найти и обратную задачу, а именно, по двум известным моментам инерции (относительно двух произвольных осей координат) найти главные оси. Следовательно даны $I_x = Oa^2$ и $I_y = Ob^2$ (фиг. 86) на перпендикуляры AC и AC' кладем $AB = W_{xy}$ и отложим окружность радиусом BE . Угол $\alpha = \angle CED$, отложенный вниз от Ox и дает направление главной оси.



Оа Если W_{xy} отрицательной, то надо отложить его вниз, т.е. на AC' угол α вверх от оси Ox' . Угол между осями Ox и Ox' определяется весьма просто; из ΔOaE имеем $AE = Oa \tan \alpha$ или $\tan \alpha = \frac{2W_{xy}}{I_x - I_y}$

Для примера возьмем так называемый зем-об-разный профиль (фиг. 87). Моменты инерции I_x и I_y находятся легко!

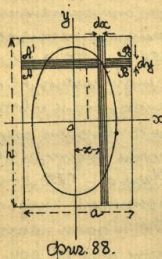


$I_x = \frac{80 \cdot 200^3}{12} - 70 \cdot 174^2 = 22603194 = Oa^2$
 $I_y = \frac{174 \cdot 10^3}{12} + 150^2 \cdot 13 = 3670750 = Ob^2$
 $W_{xy} = -2 \cdot 13 \cdot 70 \cdot 40 \cdot 93,5 = -6806800 = AC$
 (Знак минус получается потому, что для верхней части отрицательны абсциссы, а для нижней ординаты)

Следовательно,
 $\tan 2\alpha = \frac{2 \cdot 6806800}{22603194 - 3670750} = 0,71906$ откуда
 $\alpha = 18^\circ$ и должен быть отложен вверх от оси Ox' .
 Из формулы 86.
 $I_x' = OK = Oa^2 + BK = I_x - I_y + \frac{1}{2} AC = \frac{1}{2} (I_x + I_y) + \frac{AC}{\sin 2\alpha} = 24717290$
 $I_y' = OE = Ob^2 - BE = \frac{1}{2} (I_x + I_y) - \frac{AC}{\sin 2\alpha} = 1356646$

Моменты инерции прямоугольника относительно главных его осей.

Для вращения преобразованного зем-об-разного проф. И.И. Гобарикова.



Фиг. 88.

Проведем ось x через центр тяжести данного прямоугольника, параллельно сторонам (фиг. 88), а дадим на расстоянии y и $y + dy$ от оси x две параллельные линии AB и $A'B'$, образующие элементарный прямоугольник, момент инерции которого относительно оси x будет:

$$J_x = dx y^2 = a \cdot dy \cdot y^2$$

Момент инерции всего данного прямоугольника:

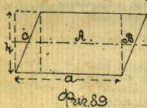
$$J_x = \int_0^{\frac{h}{2}} a \cdot dy \cdot y^2 = \frac{ah^3}{3} = a \left(\frac{h^3}{12} + \frac{h^3}{12} \right) = \frac{ah^3}{12} \dots (2)$$

Подобно указанному выводу, относительно y получим, что

$$J_y = \int_0^{\frac{a}{2}} h \cdot dx \cdot x^2 = \frac{h a^3}{12}$$

Момент инерции параллелограмма.

Чтобы отделить момент инерции для параллелограмма относительно оси x , можно было бы по аналогии с суммированием элементарных моментов в пределах площади данной фигуры, но в данном случае можно найти момент инерции проще. Момент инерции параллелограмма (фиг. 89) разбивается составными из двух элементов: момента инерции площади A и площади B ; последнюю можно перенести вдоль оси BC и от этого величина момента не изменится.



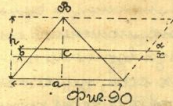
Фиг. 89.

Следовательно искомым момент инерции параллелограмма равен моменту инерции прямоугольника при тех же основаниях и высоте, т.е.

$$J_x = \frac{ah^3}{12} \dots (2')$$

Момент инерции треугольника.

Для определения момента инерции треугольника относительно оси Ox , проходящей через центр тяжести, проведем через середину высоты ось a || оси x , а тогда допараллелограмма (фиг. 90), момент инерции



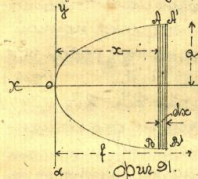
Фиг. 90.

или параллелограмма относительно оси a , проходящей через центр тяжести, будет $J_a = \frac{ah^3}{12}$. Не трудно видеть, что момент инерции J_x треугольника относительно той же оси Ox будет = половине момента инерции J_a параллелограмма, т.е. $J_x = \frac{J_a}{2} = \frac{ah^3}{24}$. На основании формулы (20) имеем:

$$J_x = J_c - S z^2 = \frac{ah^3}{24} - \frac{ah}{2} \left(\frac{h}{3} \right)^2 = \frac{ah^3}{36} \dots (3)$$

Момент инерции части выпуклой ограниченной параболы.

Проведем на расстоянии x и $(x+dx)$ линии AB и $A'B'$ || оси x , эти образуют фигуру, которую свободно можно принять за прямоугольник (фиг. 91), площадь которого



Фиг. 91.

$d\omega = dx \cdot dy$. Из уравнения параболы $y^2 = 2px$ посыл дифференцируем, имеем: $2y dy = 2p dx$, отсюда $dx = \frac{y dy}{p}$. Момент инерции элементарного прямоугольника $J_x = (dy)^2 \frac{dx}{12}$, заменив dx , находим:

$$J_x = \frac{1}{3p} 2y^2 dy$$

Полный момент инерции площади ограниченной параболы, будет:

$$J_x = \int_0^{\frac{p}{2}} \frac{2y^2}{3p} dy = \frac{2}{3p} \int_0^{\frac{p}{2}} y^2 dy = \frac{2a^5}{15p} \dots (3)$$

Разносторонние или моменты инерции называются "экваториальными моментами инерции", так как ось инерции лежит в плоскости фигуры.

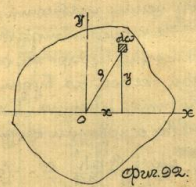
Если же будем брать моменты относительно осей, проходящих через центр тяжести и перпендикулярной плоскости фигуры, то такой момент инерции называется "полярным".

Полярный момент инерции плоской фигуры.

На данной фигуре возьмем элемент площади $d\omega$ полярный момент относительно оси проходящей через точку O и перпендикулярной к плоскости чертежа (фиг. 92) $J_o = d\omega \cdot \rho^2$. Полярный момент инерции всей фигуры:

$$J_o = \int_0^{\rho} \rho^2 d\omega = \int_0^{\rho} (\rho^2 + x^2) d\omega = \int_0^{\rho} \rho^2 d\omega + \int_0^{\rho} x^2 d\omega = J_x + J_y$$

и так $J_o = J_x + J_y$ (24)



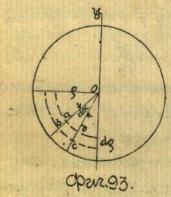
Фиг. 92.

т.е. полярный момент = суммѣ экваториальных моментов относительно двух взаимно перпендикулярных осей, пересекающихся в центре O, через которую проходит и полярная ось.

Экватор. и инерц. моменты круга относительно осей проходящей через центр тяжести.

Вместо того, чтобы разрешать вопрос обобщенным приемом, удобнее здесь определить этот момент через полярный, который находится гораздо легче. Экваториальный момент инерции круга, вследствие полной симметричности повсюду равен между собой т.е. $J_x = J_y$ (24')

Воспользуясь тем же ур-ием (24) $J_o = J_x + J_y = 2J_x = 2J_y$



Фиг. 93.

Для определения величины J_o , проведем два концентрических круга (Фиг. 93) радиусов r и $(r+dr)$ и дадим два радиуса, угол между которыми бесконечно мал и равен $d\alpha$. От пересечения кругов и радиусов, получим два радиуса, угол между которыми $abcd$, площадь его $d\sigma = r^2 d\alpha da$; а полярный момент инерции $J_o = r^2 d\sigma da = r^4 d\alpha da$. Стоимой ось полярный момент инерции круга $J_o = \int_0^{2\pi} \int_0^{\pi/2} r^4 d\alpha da$

Интегрирование производится по общим переменным в соответствующих пределах. Итак полярный момент инерции круга:

$$J_o = 2 \cdot \frac{r^4}{4} \cdot \frac{\pi}{2} = \frac{\pi r^4}{2} \quad (25)$$

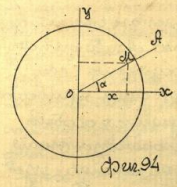
угле $J = 2R$. Экватор. мом инерции круга по (24)

$$J_x = J_y = \frac{1}{2} J_o = \frac{\pi r^4}{4} \quad (26)$$

Эллипс инерции

Для плоской фигуры, у которой оси Ox и Oy располо-

жены по направлению главных осей. Момент инерции относительно оси A (Фиг. 94)



Фиг. 94.

$$J_A = J_x \cos^2 \alpha + J_y \sin^2 \alpha \quad (a)$$

$$J_o = \frac{1}{2} J_A = R \quad (b)$$

тогда: $x = R \cos \alpha = \frac{R \cos \alpha}{\sqrt{1/a^2}}$

и $y = R \sin \alpha = \frac{R \sin \alpha}{\sqrt{1/b^2}}$ или $\cos^2 \alpha = \frac{x^2}{a^2}$ и $\sin^2 \alpha = \frac{y^2}{b^2}$

подставляя в (a) и производя сокращения:

$$J_A = x^2 J_x \frac{1}{a^2} + y^2 J_y \frac{1}{b^2}; \quad 1 = x^2 \frac{1}{a^2} + y^2 \frac{1}{b^2}$$

Представим это ур-ие в следующем виде:

$$1 = \left\{ \frac{x}{a} \right\}^2 + \left\{ \frac{y}{b} \right\}^2;$$

тогда по аналогии с (b) можно написать $1 = \frac{R_1^2}{a^2} + \frac{R_2^2}{b^2}$, это есть ур-ие эллипса, описанного к его главным полуосям

$$R_1 = \sqrt{1/a^2} \quad \text{и} \quad R_2 = \sqrt{1/b^2} \quad (c)$$

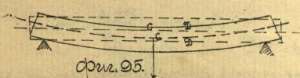
Так как угол α взят был произвольно, то очевидно изложим его в $\alpha_1, \alpha_2, \alpha_3, \dots$ и откладывая соответственно на линиях Ox_1, Ox_2, Ox_3, \dots отрезки $Ox_1 = R_1, Ox_2 = R_2$ и т.д. получим ряд точек M_1, M_2, \dots координаты которых удовлетворяют полученному ур-ию эллипса, который носит название эллипса инерции. Его главные оси будут главными осями эллипса. Для величины $d\sigma$ и $d\sigma'$ данного эллипса, по полуосям $R_1 = \sqrt{1/a^2}$ и $R_2 = \sqrt{1/b^2}$ строим эллипс; проводя в нем диаметр под произвольным углом α , находим, что половина этого диаметра равна $Ox = \frac{1}{\sqrt{1/a^2}}$, откуда найдем $J_o = \frac{1}{2} J_A$ (в выбранном масштабе).

Напр. для прямоугольника со сторонами a и b эллипс инерции имеет ур-ие:

$$\left\{ \frac{x}{\frac{a}{\sqrt{12}}} \right\}^2 + \left\{ \frac{y}{\frac{b}{\sqrt{12}}} \right\}^2 = \left\{ \frac{cx}{ah} \right\}^2 + \left\{ \frac{y}{\frac{b}{a'h}} \right\}^2$$

Углы.

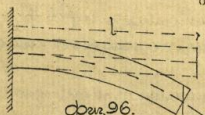
Если на триграннический призменный стержень брусок, лежащий свободно на двух опорах А и В, действует сила Р, направленная перпендикулярно к оси (фиг. 95), то он под действием этой силы изгибается.



Фиг. 95.

Получается особый вид сферическо-цилиндрической кривой; именно — кривоизогнутый брусок. Кривоизогнутый брусок

и в том случае, если один конец бруска закреплен неподвижно, а другой подвергнут действию силы Р (фиг. 96). В обоих случаях ось бруска искривляется и левой его частью кривоизогнутый стержень раздвигается от оси в новую позицию; на правую часть бруска, и на правую часть стержня называются стержневая



Фиг. 96.

и прогиба и обозначаются обыкновенно буквами f и δ . Число выгибных сил, действующих на брусок, способ на положение может быть весьма разнообразно, равно как и форма бруска. Начнем наше рассмотрение с кривоизогнутого стержня с наиболее простого случая триграннического бруска, закрепленного одним концом в стенку так, чтобы одна из главных осей кривоизогнутого бруса была вертикальна. На другой его конец действует сила Р. Собственной весом бруска пока пренебрегаем. Пусть сила Р приложена вертикально в центре тяжести кривоизогнутого стержня и направлена, следовательно, в ту или иную сторону, содержащей в себе ось бруска, а также одну из главных осей стержня (вертикальную). При этом условии, как показывалось наблюдением, ось бруска искривляется, остается в той же или в той же позиции, следовательно, получается прогиб. А именно: раз стержень, при изгибании *Beuthner*, *Wentheim* и др. изгибается, то потому и вся область имеет название прогиба кривоизогнутого стержня.

это стержневая прогиба f , наибольшая величина которой получается в точке приложения силы Р (фиг. 96) до изгибного предельного пропорционального силы Р, т. е. получается зависимость:

$$f = \alpha P,$$

где α — коэффициент пропорциональности. Для стержня триграннического, у которого высота и основание соответственно будут h и a , величина стержневой прогиба будет равна:

$$f = \beta \frac{P a^2}{h^3} \quad (27)$$

Здесь β — коэффициент, очевидно, зависящий от свойств материала, формы поперечного сечения, но не от длины l бруска. Такая пропорциональность продолжается до тех пор, пока стержень не достигнет предела упругости. При изгибании стержня P и f достигают предела упругости стержня, т. е. стержень прогиба оказывается состоящим из двух частей, из которых одна изгибается, а другая остается, т. е. брусок уже не может выдержать выгиб. При некоторой величине $P = P_{\text{пр}}$ происходит разрушение — излом бруска.

Из сказанного видно, что величина прогиба также подчиняется закону пропорциональности. Величина разрушающего груза зависит от длины бруска, от формы сечения. Приступая к изучению явления кривоизогнутого стержня, покажем, что выгибная нагрузка действует также в предельной упругости.

Внутренняя сила.

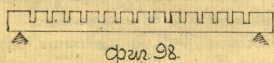
Если на боковой стенке не нагруженного бруска поперечного сечения нарисовать две прямые ab и cd , перпендикулярные к оси (фиг. 97), то при изгибе параллельность их не теряется. Прямые ab и cd остаются при небольших деформациях почти прямыми и составят по отношению кривоизогнутой оси бруска в новой позиции.



Фиг. 97.

При деформации, что боковая грань вертикальна.

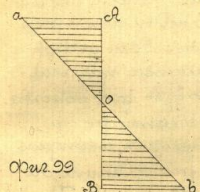
Непосредственно из наблюдений можно убедиться, что дуга $ac > ac$ и $bd < bd$ и $mn = mn$. Это обстоятельство, что $ac > ac$ было замечено давно и объяснялось разнородностью здесь силами растяжения, которые удлиняют волокна. При этом предположилось, что удлинение происходит на той и другой стороне бруска наибольшее (растяжение) на выпуклой и наименьшее (равное нулю) на вогнутой. Объяснение это держалось больше столетия, пока французский ученый доктор Дюгамель де Монпан не произвел опыты, явно указывающие на ошибочность этого объяснения и разделение наглядно, что на внутренней (вогнутой) стороне происходит сжатие. Дюгамель на одной стороне деревянного бруска сделал перпендикулярные к оси пропилы. В них вставлялись свободно деревянные же шпатель. Показав брусок (фиг. 98) пропилать сверху (на выпуклую сторону) он убедился, что для разрушения такого бруска надо приложить силу почти такую же как для шпателя и такого бруска того же материала и тех же размеров. Этого не могло быть, если бы на вогнутой стороне было растяжение волокон; наоборот как и предполагал по думать не могли бы сопротивляться растяжению шпатель. Кроме того, замеченная свободно в пропиле деревянный шпатель, оказавшись при деформации сильно деформируется, что явно указывает на существование в этих волокнах сжатия. Подвергал испытанию другой брусок таких же размеров, но уже обращенной пропилать вниз. Дюгамель убедился, что сопротивлений такого бруска разрушению шпатель значительно меньше и шпатель вылазит из пропилов; очевидно, на выпуклой стороне наблюдается растяжение волокон.



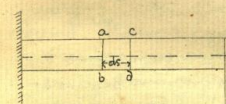
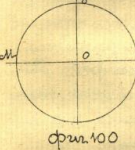
Можно, производя опыты над шпатель непосредственно измерением, можно установить, что, когда, то величина растяжения и сжатия убавляется по мере приближения волокон к ней какой-то сре-

дней линии, которая остается неизменной, а закон изменений деформации от одного крайнего волокна до другого может быть представлен прямой ab (фиг. 99).

Отсюда следует прийти к заключению, что в бруске при изгибе данной силой P материал подвергается растяжению на одной стороне и сжатию на другой (вогнутой), причем напряжения материала распространяется не равномерно. Кроме того в каждом бруске из данного материала находится слой, в котором постепенно убавляется растяжение переходит в сжатие или наоборот; этот слой, очевидно, не подвергается напряжениям и носит название нейтрального слоя. Линия mn в каком либо поперечном сечении (фиг. 100) в котором лежат нейтральные волокна называется нейтральной линией данного сечения.



Введем теперь аналитическое выражение внутреннего напряжения при изгибе. Возьмем на бруске два перпендикулярных сечения, расположенных друг от друга на весьма близком расстоянии ab и вынесем законченную сторону шпатель ac в сторону (фиг. 101). Пусть деформация волокна ac удлинится до a_1c_1 , а волокно bd укоротится до b_1d_1 . Волокно mn , как принадлежащее нейтральному слою остается без изменения. Ответствие наности дуг a_1c_1 , b_1d_1 и mn их можно свободно принять за дуги кругов одного центра.



Продолжая дуги стороны ab и a_1b_1 до пересечения в O , по-

лучи в этой точке центр кривизны дуг a, c , mn и b, d . При этом предположим, что отгиб ab и cd после деформации остаются плоскими. Как увидим ниже, такое предположение не оправдывается в действительности, но на правильность результатов это допущение не влияет. Если деформации в растянутой и сжатой частях применяются по закону прямой линии, то возьмем два волокна растянутое kl на расстоянии y и сжатое pz на расстоянии y_2 от нейтрального слоя, увидим, что после деформации они равны $kl = mn = pz = bd = ds$. Тогда радиус кривизны дуги mn через $\varphi = \Delta\theta$, после деформации имеем: $mn = ds = \rho \Delta\varphi$; $kl = \rho \Delta\varphi (y + y_1)$; $pz = \rho \Delta\varphi (y - y_2)$, откуда относительное удлинение волокна kl :

$$i_1 = \frac{kl - kl_0}{kl}$$

но так как $kl = mn = ds$, то получим:

$$i_1 = \frac{kl - mn}{mn} = \frac{\rho \Delta\varphi (y + y_1) - \rho \Delta\varphi}{\rho \Delta\varphi} = \frac{y + y_1}{\rho}$$

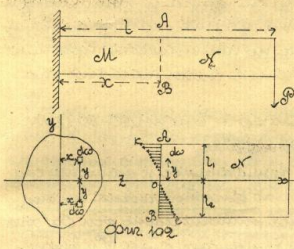
Это такое относительное сжатие волокна pz :

$$i_2 = \frac{mn - pz}{mn} = \frac{\rho \Delta\varphi - \rho \Delta\varphi (y - y_2)}{\rho \Delta\varphi} = \frac{y_2}{\rho}$$

Соответствующий им тип напряжения будут:

$$\kappa_1 = \frac{E y_1}{\rho} \quad \text{и} \quad \kappa_2 = \frac{E y_2}{\rho}$$

Таким образом внутренние напряжения растяжения и сжатия при изгибе прямо пропорционально расстоянию от нейтрального слоя (y_1 и y_2) и обратно пропорционально радиусу кривизны (ρ). Переходя к крайним волокнам получим, что в них произойдет наибольшая напряжения растяжения $\kappa_1 = \frac{E e_1}{\rho}$ и сжатия $\kappa_2 = \frac{E e_2}{\rho}$. Разложим данный брусок пополам относительно ab и вынесем отогнутую часть M в сторону (см. фиг. 102). Очевидно, что она остается в равновесии, необходимо должны существовать в сечении ab внутренние силы (силы взаимодружающиеся между частями бруска ab и cd), закон распределения которых, как



уже было сказано выражается прямой kl . Проведем через точку O координатные оси Ox и Oy и напомним условие равновесия сил, действующих на выделенную часть. Из теоретической механики известно, что для этого нужно выполнения двух условий:

- 1) Сумма проекций действующих сил на координатные оси должна равняться нулю,
- 2) Сумма моментов относительно этих осей так же должна равняться нулю.

В рассматриваемом случае $\Sigma X = 0$. Проекция сил ab на ось x -ов обращается в нуль, т. к. направление сил перпендикулярно оси. Для определения суммарной проекции внутренних сил на эту же ось возьмем элементарную площадку $d\omega$ на расстоянии y от оси Ox в сечении ab . Внутреннее напряжение на этой площадке назовем k . Сумма всех элементарных внутренних сил для растянутой части a будет $\int_0^{e_1} k d\omega$. Внутренний суммарный момент для сжатой части cd будет, очевидно, $\int_{e_2}^0 k y d\omega$, если ω_2 - площадь сжатой части сечения. Главная сумма проекций внутренних сил на ось Ox напишем как:

$$\int_0^{e_1} k d\omega - \int_{e_2}^0 k y d\omega = \int_0^{e_1} E y d\omega - \int_{e_2}^0 E y y d\omega = \frac{E}{\rho} \left[\int_0^{e_1} y d\omega - E_2 \int_{e_2}^0 y d\omega \right] = 0$$

Для материалов, у которых модуль упругости сжатия и растяжения E_1 и E_2 равны между собой, получим выражение $\frac{E}{\rho} \left[\int_0^{e_1} y d\omega - \int_{e_2}^0 y d\omega \right] = 0$, откуда $\int_0^{e_1} y d\omega = \int_{e_2}^0 y d\omega$, что возможно лишь при условии $\omega_1 = \omega_2$ т. е. это нейтральный слой проходит через центр тяжести сечений ab . Но т. к. сечение взято совершенно произвольно, то следовательно, нейтральный слой проходит через центр тяжести всего отогнутого бруска.

Для сечения и стали модуль упругости E_1 и E_2

почти не отличаются друг от друга и принимаются $E_1 = E_2 = E = 20000 \text{ kg/cm}^2$. Для других материалов разница между E_1 и E_2 больше, но практически принимаем что $E_1 = E_2$ для большинства строительных материалов.

Зависимость между внутренними и внешними силами.

Второе условие равновесия, принятое к данному случаю, сводится к положению, что электростатическая сущность моментов всех внешних сил относительно оси Oz (Фиг. 102) должна быть нулем, т. е. моменты силы P и внутренних сил относительно осей x -ов и y -ов равны нулю. Для случая Δ M_x момент силы P выражается как:

$$M_x = P(l-x)$$

Для определения момента внутренних сил относительно той же оси Ox , возьмем в качестве элементарную площадку ds на расстоянии y от нейтрального слоя.

Момент внутренних сил, действующих на эту площадку равен $ds \cdot k \cdot y$. Момент всех внутренних составляющих по отношению Δ определится суммированием указанного выражения в предельных пределах ds .

$$M_x = - \int ds \cdot k \cdot y; \text{ где } ds \text{ — элемент площади}$$

В таком случае аналитическим выражением условия равновесия моментов будет: $P(l-x) - \int ds \cdot k \cdot y = 0$ или $M_x - \int ds \cdot k \cdot y = 0$, где ds и $ds \cdot k \cdot y$ соответственно равны площадке пластинки и ее момент относительно Ox . В частном случае, когда модуль упругости $E_1 = E_2$, получим равенство $M_x = - \int ds \cdot k \cdot y^2$, но $\int ds \cdot y^2$ представляет собой экцентриситет момента инерции J_x относительно оси Ox , а потому, окончательно, искомая зависимость представляется формулой:

$$M_x = - \frac{E}{\rho} J_x \quad (28)$$

Уравнение кривой изгиба.

Уравнение кривой или упругой кривой называется тем, по которой раскладывается ось бруса после деформации. На практике очень часто необходимо знать форму кривой для радиальных точек, что находится весьма легко, когда

известно уравнение упругой кривой. Дифференциальное почленное дает выражение для радиуса кривизны в следующей форме:

$$\rho = \frac{1 + \left(\frac{dy}{dx}\right)^2}{\frac{d^2y}{dx^2}}$$

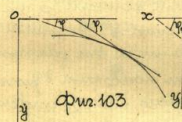
Первая производная представляет собой тангенс угла φ , который образует касательная в данной точке кривой с осью Ox . Эта величина варьируется в пределах упругости, то угол φ наклона касательной объективно весьма мал, а потому и $\text{tg } \varphi$ будет представлять чрезвычайно малую дробь. Если меньшее значение будет иметь квадрат этой дроби и без большой ошибки можно в числителе опустить второй член. Тогда получим:

$$\rho \approx \pm \frac{1}{\frac{d^2y}{dx^2}} \text{ или } \pm \frac{dy}{dx} = \frac{1}{\rho}$$

Внося это выражение значение радиуса кривизны в формулу изгибающего момента внешней силой $\rho = \frac{E J_x}{M_x}$, приходим к:

$$M_x = \pm E J_x \frac{d^2y}{dx^2} \quad (29)$$

это и представляет дифференциальное уравнение кривой изгиба; знак во второй части определяется положением кривой относительно оси абсцисс. Если кривая обращена выпуклой стороной к оси x -ов (Фиг. 103) то с



возрастанием абсцисс увеличивается угол наклона касательной к оси, следовательно, возрастает и $\text{tg } \varphi$, поэтому

вторая производная должна быть положительной и уравнение (29) можно взять со знаком плюс. Если кривая обращена вогнутой стороной к оси абсцисс, то с возрастанием абсцисс будет убывать $\text{tg } \varphi$ и вторую производную надо брать со знаком минус (Фиг. 104). Формула (29) справедлива лишь для частного предположения равенства модулей упругости при сжатии и растяжении.

Знак может быть определен еще иначе, напр., положительным принимается тогда, если радиус кривизны; отстоит от точки кривой к центру, направив вту

же сторону как и положительная ось отсчитываем. Отрицательный знак ставится в противоположном случае.

С другой стороны, при разрыве стержня задан, весьма трудно определить заранее расположение кривизны; иногда заданная кривая имеет точку перегиба, а потому заранее установить правильный знак невозможно. Чтобы ввиду этого направления изгибающего момента отразится непосредственно на изгиблении стержня можно сказать, что главное значение для нас имеет знак момента M_x , а не знак радиуса кривизны. Поэтому во всех примерах приводимых ниже будем считать радиус кривизны положительным, т. е. ур-ие (29) будем писать так:

$$\pm M_x = EI \frac{d^2 y}{dx^2}$$

Что же касается знака перед M_x , то к нему применим следующее правило: при рассмотрении правой части стержня, изгибающий момент считается положительным, если он направлен в сторону часовой стрелки и наоборот. Если же в рассмотрении принимается левая часть стержня, то момент вращающий по часовой стрелке, считается отрицательным, а против — положительным.

Пример 1^й Стержень закреплен одним концом, а на другой действует сосредоточенная сила P . Возьмем произвольное сечение Mx на расстоянии x от закрепленного конца и начало координат положим в точку A и ось y -ов направим вниз. Согласно только что данному, дифференциальное ур-ие кривой будет:

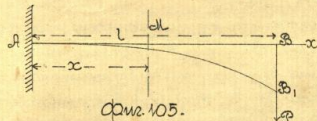
$$EI \frac{d^2 y}{dx^2} = P(l-x) \quad (a)$$

Интегрируя его два раза, имеем:

$$EI \frac{dy}{dx} = P \left(lx - \frac{x^2}{2} \right) + C' \quad (b)$$

$$EI y = P \left(\frac{lx^2}{2} - \frac{x^3}{6} \right) + C'x + C'' \quad (c)$$

где C' и C'' — произвольные постоянные, которых определяются следующим образом. Относительно данное сечение K стержня закреплен, т. е. полагая $x=0$ (Фиг. 105) находим, что $\frac{dy}{dx} = 0$, ибо первый элемент кривой остается горизонтальным благодаря



Фиг. 105.

закреплению! Поэтому $y=0$ и $C'=0$. Отсюда же полагая $x=l$ находим $y=0$, т. к. в точке закрепления прогиба нет, следовательно,

$y(l)=0$ и $C''=0$. В таком случае ур-ие кривой изгиба будет:

$$y = \frac{P}{EI} \left(\frac{lx^2}{2} - \frac{x^3}{6} \right) \quad (d)$$

Придавая в этом ур-ии x -у различные значения в пределах от 0 до l , находим соответственные стрелы прогиба. Положив $x=l$, получим стрелу прогиба для конечной точки B . Из ур-ия (d) она определится так:

$$\Delta y_B = f = \frac{P}{EI} \left(\frac{l^3}{2} - \frac{l^3}{6} \right) = \frac{1}{3} \frac{Pl^3}{EI} \quad (30)$$

Для стержня с прямоугольным сечением, у которого основание a и высота h , будем иметь:

$$I = \frac{ah^3}{12} \text{ и тогда } f = \frac{1}{3} \frac{Pl^3}{Eah^3} = \frac{4}{3} \frac{Pl^3}{Eah^3} \quad (31)$$

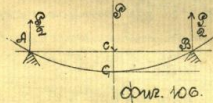
Сравнивая последнее выражение с выражением (27) $f = \alpha \frac{Pl^3}{Eah^3}$, получим следующий вывод, увидим, что они тождественны и что коэффициент $\alpha = \frac{4}{3}$. Для цилиндрического стержня $I = \frac{\pi d^4}{64}$ и $f = \frac{64 Pl^3}{3\pi E d^4}$ (32)

Пример 2^й Стержень лежит на двух опорах и подвергнут нагрузке сосредоточенной силой P (Фиг. 106).

Для заданного сечения K можно сказать, что сила P передается на опору, где вызоват величину $\frac{P}{2}$. Кривая изгиба, очевидно, должна быть симметричной и вертикаль

лежит на вертикали, совпадающей с направлением силы P . Представим себе, что (по полученным деформациям) среднее сечение K зацеплено, тогда можно применить выражение (30); необходимо только вместо P подставить $\frac{P}{2}$ и вместо l — величину $\frac{l}{2}$.

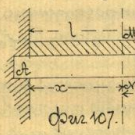
В дальнейшем говорится в том, что сечение K не может повертываться под влиянием изгиба.



Фиг. 106.

$$f = \frac{P}{2EI} \left(\frac{l^3}{6} - \frac{l^3}{48} \right) = \frac{P l^3}{48 EI} \quad (33)$$

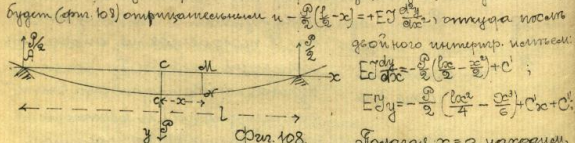
Пример 3^{ий} Брусок закреплен одним концом и нагружен равномерно грузом. Т.к. груз P распределен равномерно по всей длине бруска, то на единицу длины приходится нагрузка $\frac{P}{l}$ (см. 107). Возле стержня Mx на расстоянии x от лев. закрепл. на отрезке dx действует равномерно распределенная нагрузка $\frac{P}{l} dx$ (см. 107).



момент которой относительно данного сечения найдем так: на элементарном участке dx , отстоящем от сечения Mx на расстоянии z действует вышешая нагрузка $\frac{P}{l} dx$. Следовательно момент всей нагрузки участка Mx получится суммированием элементарных моментов по длине $Mx = l - x$, т.е.

$$M_x = \int_x^l \frac{P}{l} z dx = \frac{P}{2l} (l-x)^2$$

Не трудно видеть, что полученное выражение представляет ту же самую момент относительно сечения Mx равнодействующей распределенной нагрузки. Эти же моменты повороты и можно найти. Полагая начало координат в точке C и ось y вертикально направленной, найдем, что изгиб. момент будет (см. 107) отрицательным и $-\frac{P}{2l} (l-x)^2$; отсюда посыл



дальнейшего интегрирования

$$EI \frac{d^2 y}{dx^2} = \frac{P}{2l} \left(\frac{l^2}{2} - \frac{x^2}{3} \right) + C_1$$

$$EI y = -\frac{P}{24l} \left(\frac{l^3 x^2}{4} - \frac{x^3}{3} \right) + C_1 x + C_2$$

полагая $x=0$, имеем: $y=0$, ибо благодаря симметрии кривой относительно оси Oy в точке C , кривая горизонтальна и следовательно $\theta = 0$. при $x=l$, очевидно, $y=0$, но при этом $C_1 = \frac{P l^2}{24}$ и уравнение кривой будет:

$$EI y = \frac{P}{24l} \left(\frac{l^3 x^2}{4} - \frac{x^3}{3} \right) + \frac{P l^2}{24} x$$

полагая $x=0$, имеем:

$$f = \frac{P l^3}{48 EI}$$

ки на участке Mx ; эта равнодействующая увеличится $= \frac{P}{l}(l-x)$ и приложена в точку, отстоящую от сечения Mx на расстоянии $\frac{l-x}{2}$. Следовательно изгиб. момент получим вид $\frac{P}{2l}(l-x)(l-x)$, что по существу с нашим выражением. Проверим, является ли кривая изгиба будет, ибо M_x - положительной:

$$EI \frac{d^2 y}{dx^2} = \frac{P}{2l} (l-x)^2$$

Интегрируя это выражение 2 раза, находим:

$$EI \frac{dy}{dx} = \frac{P}{2l} \left(l^2 x - 2lx^2 + \frac{x^3}{3} \right) + C_1$$

$$EI y = \frac{P}{2l} \left(\frac{l^2 x^2}{2} - \frac{2lx^3}{3} + \frac{x^4}{12} \right) + C_1 x + C_2$$

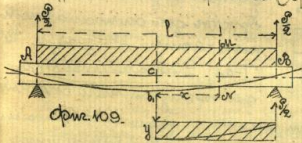
Легко доказать и здесь, что три последние постоянные C_1 и C_2 равны нулю. В самом деле в данной задаче при $x=0$, $y=0$ и $\frac{dy}{dx}=0$, полагая затем $x=l$, найдем, что стрела прогиба концы точки будет:

$$y = l = \frac{P l^3}{24 EI} \left(\frac{l^2}{2} - \frac{l^3}{3} + \frac{l^4}{12} \right) = \frac{P l^3}{48 EI} \quad (34)$$

Сравнение выражений (30) и (34) дает, что при равномерной нагрузке стрела прогиба почти в три раза меньше, чем при сосредоточенной силе.

Пример 4^{ый} Брусок жестко на двух опорах и нагружен равномерно распределенным грузом.

В таком случае, как и при сосредоточенной силе, кривая изгиба симметрична (см. 109), поэтому здесь



можно приравнять, т.е. эти точки, т.е. в промежутке $2 \cdot \frac{l}{4}$, т.е. предположим, что брусок длиной $\frac{l}{2}$ закреплен одним концом в O_1 и изгиба-

ется силой $\frac{P l}{2}$ (равнодействующей опора) в O_2 и $\frac{P l}{2}$ (равнодействующей нагрузки) вниз. Общее уравнение изгиба $M_x = EI y''$. В данном случае момент вышеших сил для сечения Mx будет равен моменту реакции $\frac{P l}{2}$ и моменту нагрузки $\frac{P l}{2}$ между сечением Mx и концом O_1 , т.е.

лет III. Сопрем. ст. I. пр. III. Бобариков.

$$M_x = \frac{P}{2l} \left(\frac{l}{2} - x \right)^2 - \frac{P}{2} \left(\frac{l}{2} - x \right)$$

Подставив значения M_x в уравнение, получим
 $EI y'' = -\frac{P}{2} \left(\frac{l}{2} - x \right)^2 + \frac{P}{2} \left(\frac{l}{2} - x \right)$ или $EI y'' = \frac{P}{2} \left(\frac{x^2}{4} - \frac{l}{2} x \right)$
 Интегрируя это выражение два раза, находим:

$$EI y' = \frac{P}{2} \left(\frac{x^3}{12} - \frac{l x^2}{4} \right) + C_1; \quad EI y = \frac{P}{2} \left(\frac{x^4}{48} - \frac{l x^3}{12} \right) + C_1 x + C_2$$

Положив $x=0$, замечаем, что $y=0$, а т.к. вследствие симметричности кривой касательная к средней точке ее будет горизонтальна. При $x = \frac{l}{2}$, $y=0$, ибо на середине прогиба нет, первое условие приводит к $C_2=0$, второе дает $C_1 = \frac{5Pl^3}{384}$ и уравнение кривой обратимось

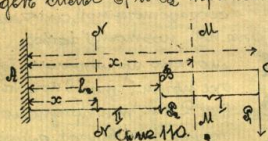
$$EI y = \frac{P}{2} \left(\frac{x^4}{48} - \frac{l x^3}{12} \right) + \frac{5Pl^3}{384} x$$

Подставляя в полученное выражение для кривой прогиба $x=0$ находим что средняя прогиба по середине будет:

$$y = \frac{5}{16} \frac{Pl^3}{EI}$$

Определение кривой прогиба в случае несимметричных сосредоточенных сил.

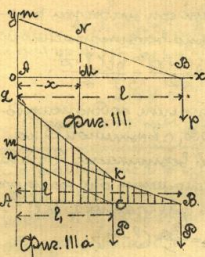
Рассмотрим наиболее простой случай, когда на брусок, закрепленный одним концом, действуют две силы P_1 и P_2 приложенные в точках В и С (Фиг. 110).



При данных условиях процесс можно рассматривать в двух частях: в первой части от А до В (АВ) и во второй (ВС). Действительно, для произвольного сечения

между B и C , изгибающий момент вычисляется по силе P_1 , тогда как для сечения B в выражении момента входить еще сила P_2 . Поэтому найдем этот момент в наиболее общем выражении для всей кривой в самом общем виде, если на брусок действуют две силы P_1 и P_2 , то изгибающий момент в отношении от сечения M на расстоянии x от A будет (Фиг. 111) $M_x = P_1(l-x)$, отсчитывая от ординаты y в выбранном

наим. масштабе отсчетки $= M_x$, получим изгибание приближенного момента по закону прямой M_x , если $M_x = M = Pl$ при $x=0$. Под действием равнодействующей от P_1 и P_2 изгибающий момент оси бруска изгибается по некоторой кривой, которая имеет вид



$y = \frac{1}{EI} \left[\int_0^x [M_1 dx + C_1] dx + C_2 \right]$
 Переходя к случаю двух сосредоточенных сил (Фиг. 112) замечаем,

что возрастание момента силы P_1 происходит по прямой M_x . Момент силы P_2 (на участке B С) изгибается по прямой Ox . Следовательно на участке B С ординаты прямой Ox складываются с ординатами M_x , а потому изгибание приближенного момента будет происходить по ломаной BK . Так как в данной задаче не имеется непрерывной функции $M_x = f(x)$ по всей длине l и следовательно невозможно существовать два интеграла:

$$y_1 = \frac{1}{EI} \left[\int_0^x [M_1 dx + C_1] dx + C_2 \right] \text{ в пределах } x=0 \text{ и } x=l_1$$

$$y_2 = \frac{1}{EI} \left[\int_0^x [M_2 dx + C_1] dx + C_2 \right] \text{ в } \dots \text{ } x=0 \text{ и } x=l_1,$$

т.е. получается две кривые прогиба, имеющие общую точку с абсциссой $x=l_1$.

Подобное явление будет иметь место при одновременном действии сосредоточенных и сосредоточенных нагрузок. На Фиг. 112 представлена балка, подвешенная тросом распределенным грузом p вдоль на l пог. мет. и сосредоточенной силой P . Изгибающий момент для какого либо сечения a , лежащего на расстоянии x от левой опоры B будет (сила лежащая правее сечения a)

$$M_x = \frac{p(l-x)^2}{2} - (l-x) \left(\frac{Pa}{l} + \frac{Pl}{2} \right) \text{ для сечения } B$$

$$M_x = \frac{p(l-x)^2}{2} - \left(\frac{Pa}{l} + \frac{Pl}{2} \right) (l-x) + P(a-x).$$

Графически приближим момент от нагрузки равномерно распределенной:

$$m_x = \frac{p(l-x)^2}{2} - \frac{bl(l-x)}{2},$$

представит собою параболу с вершиной в средней вертикали. Приближенный момент от нагрузки даст для участка B, C:

$$m_x = \frac{p}{2} l(l-x),$$

для участка A, C:

$m_x = -\frac{p}{2} l(l-x) + P(a-x)$. Оба выражения представляются графически прямыми Φ_1 и Φ_2 равнодействующими веса M_1 и M_2 , для удобства чтения. Подуширование моментов M_1 и M_2 выразится ординатами параболы с вершиной в D и как видно из формулы представляют две самостоятельные функции x на участках A, B, и с, C. Поэтому в данном случае кривая изгиба состоит из двух кривых:

$$y_1 = \frac{1}{EJ} \left\{ \int \int [M_1 x + C_1] dx + C_2 \right\}$$

$$y_2 = \frac{1}{EJ} \left\{ \int \int [M_2 dx + C_1] dx + C_2 \right\}$$

На основании этого можно сказать, что в случае одновременно приложенных сосредоточенных сил, изгибная кривая состоит из такого числа отдельных кривых на сколько участков разбивается брус под влиянием сил.

Возвратимся к задаче. На фиг. 110 возьмем во II^ю часть произвольное сечение M, дифференциальное уравнение изгибающей кривой для этого сечения напишется так:

$$EJ \frac{d^2 y}{dx^2} = P_1(l-x) + P_2(l_2-x) \quad (a)$$

Для части I (сечение с, M) по тем же уравнениям будет

$$EJ \frac{d^2 y}{dx^2} = P_1(l-x) \quad (b)$$

Интегрируя эти два уравнения, найдем для выражений (a)

$$EJ \frac{dy}{dx} = P_1 \left(lx - \frac{x^2}{2} \right) + P_2 \left(l_2 x - \frac{x^2}{2} \right) + C_1 \quad (I)$$

$$EJ y = P_1 \left(\frac{l x^2}{2} - \frac{x^3}{6} \right) + P_2 \left(\frac{l_2 x^2}{2} - \frac{x^3}{6} \right) + C_2 x + C_3 \quad (II)$$

$$\text{и для уравн (b)} EJ \frac{dy}{dx} = P_1 \left(lx - \frac{x^2}{2} \right) + C_1 \quad (III)$$

$$EJ y = P_1 \left(\frac{l x^2}{2} - \frac{x^3}{6} \right) + C_1 x + C_4 \quad (IV)$$

Таким образом мы получили 4 уравнения произвольными постоянными. Произвольная постоянная C_1 и C_4 отбрасывается в шум, ибо при $x=0$, мы находим из уравн I и III, что $y = \frac{dy}{dx} = 0$. Далее определяем произвольные C_2 и C_3 значениями, что обе кривые в точке D имеют общую ординату, кроме того как показываем на изображении кривая изгиба первой части переходит в кривую второй части совершенно плавно, как это должно быть в точке D имеют общую касательную. Поэтому при знании $x = x_1 = l_2$ тангенса углов наклона касательных обеих кривых в точке D с обою стороны равны между собою т.е. $y_1' = y_2'$, а следовательно:

$$EJ y_1' = EJ y_2' \text{ поэтому можно написать:}$$

$$C_1 = \frac{P_2 l_2}{2} \left\{ P_1 \left(l_2 - \frac{l_2}{2} \right) + P_2 \left(l_2 - \frac{l_2}{2} \right) \right\} - P_1 \left(l_2 - \frac{l_2}{2} \right) + C_4 \text{ откуда (c)}$$

Также также, приравняв между собою правые части уравн (II) и (IV), находим при $x = x_1 = l_2$

$$P_1 \left(\frac{l l_2^2}{2} - \frac{l_2^3}{6} \right) + P_2 \left(\frac{l_2^3}{2} - \frac{l_2^3}{6} \right) - P_1 \left(\frac{l l_2^2}{2} - \frac{l_2^3}{6} \right) + P_2 l_2 + C_3 =$$

$$\text{откуда } C_4 = -\frac{P_2 l_2^2}{2} \quad (d)$$

Подставляя найденные значения произвольных постоянных в уравн (I), (II), (III) и (IV) получим для 2^{ой} части

$$y_2 = \frac{1}{EJ} \left\{ P_1 \left(\frac{l x^2}{2} - \frac{x^3}{6} \right) + P_2 \left(\frac{l_2 x^2}{2} - \frac{x^3}{6} \right) \right\}$$

и уравн кривой 1^{ой} части в виде:

$$y_1 = \frac{1}{EJ} \left\{ P_1 \left(\frac{l x^2}{2} - \frac{x^3}{6} \right) + P_2 l_2 x - \frac{P_2 l_2^2}{6} \right\}$$

Справка прогиба точки D найдемся из любого из них полагая $x = l_2$

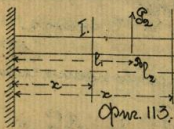
$$y_D = \frac{1}{EJ} \left\{ P_1 \left(\frac{l l_2^2}{2} - \frac{l_2^3}{6} \right) + P_2 \left(\frac{l_2^3}{2} - \frac{l_2^3}{6} \right) \right\} = \left\{ \frac{P_1 l_2^3}{3} + \frac{P_2 l_2^3}{3} \right\} (2 - \frac{1}{2}) =$$

Справка прогиба точки C получимся при $x = l_1$ из уравн

кривой 1^{ой} части.

$$\int_0^l \frac{1}{EI} \left[\frac{P_1 l^3}{6} + \frac{P_2 l^3}{6} (3l - l_2) \right]$$

Приведенный пример изгиба дуги из сосредоточенными силами показывает, что решение вопроса, хотя и не представлял затруднений, но является довольно сложным, благодаря большому количеству произвольных постоянных, а именно число их равно удвоенному числу участков кривой. Для сокращения работы при решении подобных задач Лебсхэ предложил несколько много производить интегрирование дифференциальных уравн. кривой изгиба. Способ Лебсхэ состоит в том, что вместо переменной x в глинах вида $A(l-x)^n$ пользуются переменной $l-x=z$. Этот прием допустим в любых случаях, где имеются сосредоточенные силы, распределенный по известному закону груз порознь или одновременно. Для примера возьмем следующую задачу (фиг. 113). На балку заменим в точке A единичной грузы сосредоточенными $P_1, -P_2$ и равномерно по распределенный p вдоль на l пог. ед. P_1 и упругой кривой.



Фиг. 113.

где второй $EI \frac{d^4 y_2}{dx^4} = M_x = P_1(l-x) + p(l-x)x$

Произведя интегрирование по $(l-x)$, (l_2-x) , получим:

$$\int P_1(l-x)d(l-x) \int \frac{1}{2} p(l-x)^2 dx = A, \text{ ибо } d(l-x) = -dx,$$

$$\text{где } \int \frac{P_1(l-x)^2}{2} dx + \int p d(l-x) = \frac{P_1(l-x)^3}{6} - A(l-x) + B =$$

$$= \frac{P_1(l-x)^3}{6} + Ax + (B-A) = \frac{P_1(l-x)^3}{6} + Cx + C$$

Интегрируя по же выражении $P_1(l-x)$ по x , получим:

$$\int P_1(l-x)dx = P_1(lx - \frac{x^2}{2}) - A_1$$

$$\int P_1(lx - \frac{x^2}{2})dx + \int A_1 dx = P_1(\frac{l^2 x}{2} - \frac{x^3}{6}) + A_1 x + C_1$$

видим, что разделив между переменной и вторыми интегралами при известной распределенной нагрузке, такая задача поведет балку подчинена одному и тому же закону распределения.

кривыми закономерно или в произвольных постоянных, а именно:

$$-\frac{1}{2} P_1(l-x)^2 + C_1 = \frac{P_1^2}{2} + P_1 l x - \frac{P_1 x^2}{2} + C_1 = P_1(lx - \frac{x^2}{2}) + C_1 - \frac{P_1^2}{2}$$

или $A - \frac{P_1^2}{2} = C_1$, и т.д.

Интегрируя уравн. (a) и (b) по способу Лебсхэ находим:

$$EI \frac{d^3 y_1}{dx^3} = -\frac{1}{2} P_1(l-x)^2 + \frac{1}{2} P_2(l_2-x)^2 - \frac{1}{2} p(l-x)^2 + C_1;$$

$$EI y_1 = \frac{1}{6} P_1(l-x)^3 - \frac{1}{6} P_2(l_2-x)^3 + \frac{1}{24} p(l-x)^4 + C_1 x + C_2;$$

$$EI \frac{d^3 y_2}{dx^3} = -\frac{1}{2} P_1(l-x)^2 - \frac{1}{2} p(l-x)^2 + C_1';$$

$$EI y_2 = -\frac{1}{6} P_1(l-x)^3 + \frac{1}{24} p(l-x)^4 + C_1' x + C_2'$$

т.е. при $x=l_2$ получается обычная точка кривых 1^{ой} и 2^{ой} участка, но различие:

$$EI \frac{d^3 y_1}{dx^3} \Big|_{x=l_2} = EI \frac{d^3 y_2}{dx^3} \Big|_{x=l_2} \quad \text{и} \quad EI y_1 \Big|_{x=l_2} = EI y_2 \Big|_{x=l_2}$$

откуда $C_1 = C_1'$ и $C_2 = C_2'$.

Таким обр. вместо 4-х произвольных постоянных необходимо определить лишь две. Сколько бы ни было применено сосредоточенных нагрузок и при равномерной распределенной нагрузке по всей балке при решении уравн. способом Лебсхэ всегда имеет лишь две произвольных постоянных.



Если балка лежит на двух опорах, ось отсчета остается тот же для иллюстраций приведем еще пример.

На фиг. 114 дана балка длиной $l = a + b + c + d$, лежащая на двух опорах (свободно). Применены три сосредоточенные силы $P_1, -P_2$ и P_3 в точках C, D и E, координаты которых распределены на пог. ед. Возьмем начало коор-ат в точке A. Реакции в опорах будут:

$$R_1 = \frac{1}{l} \{ P_1(b+c+d) + P_2 d - P_3(c+d) - \frac{1}{2} pl(b+c+d+a) \}$$

$$R_2 = \frac{1}{l} \{ P_1 a + P_2(a+b+c) - P_3(a+b) + \frac{1}{2} pl(a+b+c+d) \}$$

Дифференциальные уравн. кривых будут для участка A-E $EI y_1'' = -P_1(l-x) + P_2(a+b+c-x) - P_3(a+b-x) + p(l-x)$, для участка B-C $EI y_2'' = -P_1(l-x) + P_2(a+b+c-x) - P_3(a+b-x) + p(l-x)$, для участка C-D

ЕВ y'' = -2a(l-x) + 2b(a+b-c-x) + 2p(l-x)^2, где у участка d:

ЕВ y' = -2a(l-x) + 2b(a+b-c-x) + 2p(l-x)^2

В обратном интегрировании даем:

a) ЕВ y = -2a(l-x) + 2b(a+b-c-x) + 2p(l-x)^2 - 1/2 p(l-x)^2 + C1 (a)

ЕВ y = -2a(l-x) + 2b(a+b-c-x) + 2p(l-x)^2 + 1/2 p(l-x)^2 + C1x + C2 (a)

b) ЕВ y = -2a(l-x) + 2b(a+b-c-x) + 2p(l-x)^2 + 1/2 p(l-x)^2 + C3 (b)

ЕВ y = -2a(l-x) + 2b(a+b-c-x) + 2p(l-x)^2 + C3x + C4 (b)

c) ЕВ y = -2a(l-x) + 2b(a+b-c-x) + 2p(l-x)^2 + C5 (c)

ЕВ y = -2a(l-x) + 2b(a+b-c-x) + 2p(l-x)^2 + C5x + C6 (c)

d) ЕВ y = -2a(l-x) + 2b(a+b-c-x) + 2p(l-x)^2 + C7 (d)

ЕВ y = -2a(l-x) + 2b(a+b-c-x) + 2p(l-x)^2 + C7x + C8 (d)

Для функций a и b при x=a имеем:

А потому, приравняв правые части ур-ий (a1) и (b1), (a2) и (b2) имеем: C1=C3; C2=C4

А полагая x=a+b, приравняв правые части ур-ий (b1) и (c1), (b2) и (c2), получим: C3=C5; C4=C6

Наконец, полагая x=a+b+c из ур-ий (c1) и (d1), (c2) и (d2) получим: C5=C7; C6=C8

Итак получаем: C1=C3=C5=C7 и C2=C4=C6=C8

т.е. в итоге 8-ми произвольных постоянных всего две.

Нагрузка распределена по заданному закону.



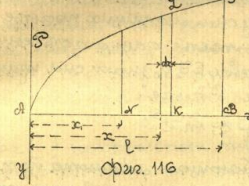
Этот случай интегрирования производим обычным путем. Пусть на балку действует распределенной груз при тем же ордината p для соответствующей абсциссы в обратной масштабе выражает нагрузку на погонную единицу длины балки f(x).

Чтобы найти изгибающий момент для данной точки d, на расстоянии x, берем элемент dx; мо-

мент dx элемент будет f(x)dx, момент его элементарный относительно центра d будет f(x)dx(x-x) и момент груза, лежащего на участке M до относительно центра d найдем так:

$$M_x = \int_0^l f(x)(x-x) dx = \int_0^l f(x)(x-x) dx$$

Для примера возьмем случай когда данная нагрузка выкасаемая ур-ием параболы f = 2px (см. фиг. 116) с вершиной в точке A.



Найдем изгибающий момент для сечения, отстоящего от начала координат на расстоянии x. Нагрузка на элемент dx будет p dx и момент относительно M выразится так:

$$M_x = \int_0^l p(x-x) dx = \int_0^l 2px(x-x) dx = \int_0^l 2px^2 dx - \int_0^l 2px dx = 2\sqrt{2}q \left\{ \frac{\sqrt{p}}{5} - \frac{2x\sqrt{p}}{3} + \frac{2}{15}\sqrt{px^3} \right\}$$

От данного, x, через q, найдем вообще

$$M_x = 2\sqrt{2}q \left\{ \frac{\sqrt{p}}{5} - \frac{2x\sqrt{p}}{3} + \frac{2}{15}\sqrt{px^3} \right\}$$

Аналитическое ур-ие кривой изгиба в рассматриваемом случае получается, как и обыкновенно, путем кратным интегрированием и дальнейшим вторым интегрированием на произведение ЕВ.

Из указанного до сих пор, ясно каким образом при всяком виде заданной нагрузки построить ур-ие кривой изгиба.

Многое бывает интересна и обратная задача: по заданному ур-ю кривой найти нагрузку на балку. Все же точнее, что первая производная ординаты кривой по абсциссе представляет тангенс угла наклона касательной в точке (x, y) к оси абсцисс. Из дифференциального ур-ия кривой имеем, что

$$\frac{dy}{dx} = \frac{M_x}{EI}$$

Проанализируем, что представляет из себя третья и четвертая производная, т.е.

$$\frac{d^3y}{dx^3} \text{ и } \frac{d^4y}{dx^4}$$

Обращаясь к частным случаям, напр. (фиг. 113) найдем:

$$\frac{d^2y}{dx^2} = \frac{dM_x}{EI} = \frac{1}{EI} \{ P_1(l-x) - P_2(l-x) + \frac{1}{2}P_3(l-x)^2 \},$$

$$\text{откуда } \frac{d^3y}{dx^3} = \frac{1}{EI} \frac{dM_x}{dx} = \frac{1}{EI} \{ -P_1 + P_2 - P_3(l-x) \} = -\frac{\Sigma P}{EI}$$

т.е. первая производная изгибающего момента по x дает алгебраическую сумму сил, лежащих правее (или с обратным знаком - т.е. влево) данного сечения, разделенную на произведение EI и знак силы изгибается на противоположный. Далее

$$\frac{d^4y}{dx^4} = \frac{1}{EI} \frac{d^2M_x}{dx^2} = \frac{1}{EI} p, \text{ т.е.}$$

Вторая производная изгибающего момента по x представляет ординату сосредоточенной нагрузки, разделенную на произведение EI .

Возьмем случай параболической нагрузки (фиг. 116)

$$\frac{d^2y}{dx^2} = \frac{1}{EI} \frac{dM_x}{dx} = \frac{1}{EI} \left[\frac{2ql}{3} \left(\frac{l^2}{3} + \frac{\sqrt{x^3}}{3} \right) \right] = \frac{2ql}{EI} \left(\frac{l^2}{3} + \frac{\sqrt{x^3}}{3} \right)$$

Числитель этого выражения представляет собою площадь $KLSB$. Действительно эта площадь равна:

$$KLSB = \int_x^l q dx = \int_x^l \sqrt{2qx} dx = \sqrt{2q} \int_x^l \sqrt{x} dx = \sqrt{2q} \left[\frac{2}{3} \sqrt{x^3} \right]_x^l = \frac{2\sqrt{2q}}{3} \left(\sqrt{l^3} - \sqrt{x^3} \right)$$

Знак минус, помеченный в первом случае, объясняется тем, что с возрастанием x момент уменьшается, а потому первая производная отрицательна. Площадь параболического отрезка $KLSB$ есть сумма сил, лежащих правее сечений KL и помечалась, как надо было отказать отрицательной.

Переходим к четвертой производной.

$$\frac{d^4y}{dx^4} = \frac{1}{EI} \frac{d^2q}{dx^2} = \frac{2\sqrt{2q}}{EI} \frac{1}{2} \sqrt{x} = \frac{\sqrt{2q}}{EI} = \frac{p}{EI}$$

Но $\sqrt{2qx}$ представляет ординату нагрузки (ордината из уравнения параболы: $y^2 = 2qx$)

На основании сказанного в некоторых случаях воз-

можно по заданному уравнению кривой изгиба найти действующую внешнюю силу.

Пример 1. Пусть дано уравнение изгиба кривой в форме $y = 3Ax^3 + 2Bx$ отсюда получаем:

$$y' = 9Ax^2 + 2B \quad y'' = 6Ax + 2B$$

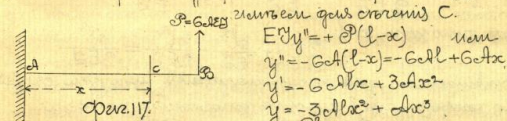
$$y''' = 6A \quad y^{(4)} = 0$$

Поставив зависимость указываем, что распределенной нагрузки нет и действует лишь сосредоточенная сила. В том же случае одна точка дает нам наличие одного уравнения кривой. Между прочим можно принять, что брусок либо заделан одним концом, либо сила приложена по середине бруска, лежащего на двух опорах. Величина приложенной силы найдется из третьей производной, а именно:

$$P = 6A EI$$

знак (-) показывает, что сила направлена вверх. Начало координат находится в местах заделки.

В самом деле из приложенного герметика (фиг. 117)



ищем для сечений C.

$$EI y'''' = + P(l-x) \text{ или}$$

$$y'''' = -6Al(l-x) = -6Al + 6Alx$$

$$y''' = -6Alx + 3Alx^2$$

$$y'' = -3Alx^2 + Alx^3$$

Степенью l $-3Al = 3B = \frac{P l^2}{2EI}$, отсюда находим величину l ; E и I заданы

Пример 2.

$$y = Ax^5 + 3Bx^4 + Cx^3 + Ex^2,$$

$$y' = 5Ax^4 + 12Bx^3 + 3Cx^2 + 2Ex$$

$$y'' = 20Ax^3 + 36Bx^2 + 6Cx + 2E = \frac{M_x}{EI}$$

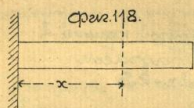
$$y''' = 60Ax^2 + 72Bx = -\frac{P}{EI}$$

$$y^{(4)} = 120Ax + 72B = \frac{P}{EI}$$

Поставив уравнение показываем, что имеется распределенная нагрузка по закону прямой линии на брусок заделанный одним концом. При $x=0$, $24B = \frac{P}{EI}$

Если дано, что $B = -10Al$, то на свободном конце нагрузка = 0. Наибольшая ордината $P = 24B EI = -24P$ (фиг. 118)

Пример 3. Дано $y = 2Ax^5 + 3Bx + C$ здесь ищем тот же случай, но начало координат



находится в точке B, т.е. на свободном конце.

Пример 4^{ый} Дано

$$y = cx^4 + dx^3 + ex^2$$

Эта представляет упругую кривую для балки заделанной одним концом и нагруженной

равномерно распределенной нагрузкой.

В самом деле имеем:

$$y = 4Ax^3 + 3Bx^2 + 2Cx$$

$$y' = 12Ax^2 + 6Bx + 2C = \frac{qlx}{EI}$$

$$y'' = 24Ax + 6B = -\frac{\sum p}{EI}$$

$$y''' = 24A = \frac{p}{EI}$$

Из третьей производной получаем при $x=l$

$$24A = -\frac{pl}{EI}$$

отсюда следует, что коэффициенты должны быть отрицательными и находим величину l.

Из 2^{ой} ур-ия $\frac{pl}{2EI}x^2 - \frac{pl}{EI}x + 2C = \frac{qlx}{EI}$

имеем, что при $x=l$

$$2C = +\frac{pl^2}{EI} - \frac{pl^2}{2EI} = \frac{pl^2}{2EI}$$

Действительно для предположенной нагрузки, если в начале координат вложить заделку, найдем:

$$M_x = EI y'' = pl \left(\frac{x^2}{2} - lx + \frac{plx^2}{2} \right)$$

это получится при подстановке в выражение для y, значений для B, D и C.

Пример 5^{ый}

Дано

$$y = Ax^4 + Bx^3 - Cx^2 + D$$

$$y' = 4Ax^3 + 3Bx^2 + 2Cx$$

$$y'' = 12Ax^2 + 6Bx + 2C$$

$$y''' = 24Ax + 6B = \frac{\sum p}{EI}$$

$$y^{(4)} = 24A = \frac{p}{EI}$$

Очевидно имеется равномерно распределенная нагрузка с силой в кдм. на 1 пог. ед., как и в том же случае или в приложении вертикального S в y-й кривой. Это дает повод полагать, что кривая

распределенной нагрузки является и сосредоточенной силой S, приложенной на свободном конце бруса, если он заделан или посредит его, если он лежит на двух опорах.

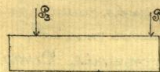
Средняя точка опора и касательная на продолжении при изгибе.

Возвратимся опять к вопросу о напряжении. При равномерном давлении между внешними и внутренними силами пропущено бруска, указывается, что для равновесия правой (или левой) части, отстоящей от произвольной точки, необходимо соблюдение условий равновесия. Наш брус имеет два, а именно: $\sum x = 0$ и $\sum M_x = 0$.

Не трудно видеть, что условия $\sum Z = 0$, $\sum M_x = 0$ и $\sum M_y = 0$

удовлетворяются сами собой. Остатки ур-ий

$\sum Z = 0$ (ось y-ов направлена вертикально). Очевидно, что для уравновешивания оторванной части, необходимо условие, чтобы сумма проекций на ось y-ов всех внешних сил, действующих на эту часть равнялась сумме проекций внутренних сил, действующих в ней на ось y-ов (Фиг. 119), но внутренние силы должны действовать в ней в 3-х направлениях.



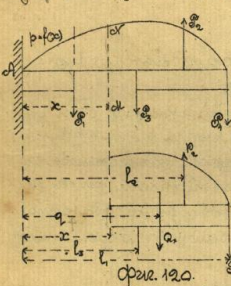
Фиг. 119

Так обр. мы приходим к заключению, что в каждой нормальной сечении пропущено бруска криво нормальные напряжения, растягивающие и сжимающие, действующие еще касательные напряжения K. Каждая суммарная комбинированная нагрузка имеет часть равномерной, т.е. $\sum P$ имеем равенство:

$$\sum P = K, d\omega$$

Из указанного видно, что любое сечение бруска подвергается сжатию силой S в одной и той же точке или сил, действующих правее (или то же самое) этого сечения. Сила эта $S = \sum P$ имеет нагру-

ние сжимающей силы, которое станет постоянным на соответствующем участке. Пусть (см. рис. 120) на балку действуют сосредоточенные силы P_1, P_2, P_3, P_4 и



распределенная нагрузка $q = q(x)$. Возьмем какое-нибудь сечение М-М на расстоянии x от начала координат, вынесем правую часть бруса в сторону. Приложим в сечении М-М силы $P_1', P_2', P_3', P_4', Q_x, -Q_x$, при этом Q_x представляет равнодействующую распределенной нагрузки на части М-В, приложенную в центре тяжести площади М-В. Тогда получим следующие соотношения:

плоскости М-М. Тогда получим следующие соотношения:

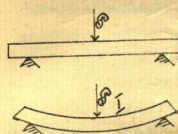
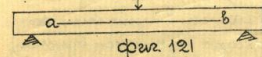
$$P_1(l_1 - x) - P_2(l_2 - x) + P_3(l_3 - x) + P_4(l_4 - x) = Q_x$$

это дает, очевидно прибавив моменты M_x уравновешивающий моменты напряжений от сдвига распределенный в пят-сечи М-М. от той же плоскости будут действовать силы P_1', P_2', P_3', P_4' которые в сумме дадут ту же величину, как и сумма сил, действующих правее сечения М-М. А так при совершенно произвольной нагрузке внешними силами, в любом сечении бруса действует сжимающая сила равная по величине и по направлению сумме сил $\Sigma P_i'$ действующих правее или левее данного сечения. Сила сжимающая сила равна производной момента по абсциссе, но противоположна по знаку, т.е.

$$-S = \frac{dM_x}{dx}$$

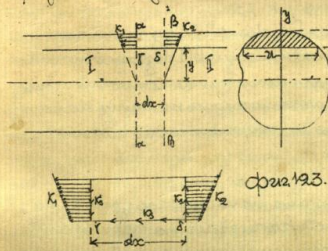
Внутренней сжимающей (сжимающей) силой при этом в поперечных сечениях бруса, на основании двойственности касательных сил, вылет за собой по величине такая же сила в сечении как ось бруса. Чтобы представить себе как распределяются силы в поперечном сечении, рассмотрим сначала, как распределяются касательные силы в направлении xy -

оси (нейтральному слою) бруса. Существование только что рассмотренных касательных сил подтверждается особенно ясно набытоденными над деревянными брусками, подверженными прибу



тасно или разрезанным брусом, появляющиеся трещины на xy , ||-но нейтральному слою (Фиг. 121). Представим себе два бруска (Фиг. 122) один (I) - целый, а другой (II), состоящий из двух отрезков пополам, наложенных одна на другую и будем на касательный брусок действовать силами P и Q этими силами

концы второго бруска погрузят ступицатое выделение вершин пополам над шпунтом. Между шпунтом в целом бруске такого выделение не делается. Это объясняется тем, что сила сдвигающая балку во II бруске, компенсируется в первом касательным напряжением. Возьмем в произвольном бруске два нормальных сечения $\alpha\alpha$ и $\beta\beta$ на расстоянии dx друг от друга и пят-сечью ||-ой нейтральному слою, отстоящей от последней на расстоянии y , выделим часть бруска (Фиг. 123).



Взаимодействие отброшенных частей xy и xy и xy выразится в возникновении на границе $\alpha\alpha$ нормальных напряжений $K_1, \beta\beta - K_2$, а также касательных K_3 . На основании упомянутой

вещи действительности на грани $\gamma\delta$, имеющей площадь $\mu \, dx$, возникают такие касательные напряжения. Найдя их величины здесь, мы найдем ее на вертикальной грани $\alpha\alpha$. Одно из условий равновесия вырезанной нами части бруска $\alpha\delta$ будет $\Sigma X = 0$, т. е. сумма проекций всех приложенных к этой части внутренних сил на ось X - Ox (направленную вдоль оси бруска) должна равняться нулю. Нормальными напряжениями K_1 и K_2 отделим от друга поперечник, ибо действующим на различных грани и сумма проекций их на ось X - Ox будет:

Но вообще $\int_y K_1 dx - \int_y K_2 dx = \mu \, dx \, K_3$

$$K_1 = \frac{E y_1}{\rho_1} \quad \text{и} \quad K_2 = \frac{E y_2}{\rho_2}$$

где y_1 и y_2 перпендикулярны осям $\alpha\alpha$ и $\beta\beta$, а т. е. $M_x = \frac{E y_1}{\rho_1}$ и $M_x = \frac{E y_2}{\rho_2}$, где M_x и M_x , ρ_1 и ρ_2 соответственно представляют изгибающие моменты и радиусы кривизны в тех же сечениях. Формулу проекции напишем:

$$\int_y \frac{M_x y_1 dx}{\rho_1} - \int_y \frac{M_x y_2 dx}{\rho_2} = \mu \, dx \, K_3$$

П. т. к. интегрирование распространяется в нуль сечений, для которой изгибающий момент есть величина постоянная и от y независимая, то имеем:

$$M_x - \frac{M_x}{\rho_2} \int_y dx = \mu \, dx \, K_3,$$

т. к. очевидно, что $\int_y dx = \int_y dx$. Ввиду того, что радиусы кривизны сечений $\alpha\alpha$ и $\beta\beta$ бесконечно малы, изгибание прилегающего момента, который есть функция абсциссы x , также мало, а потому можно написать $M_x - M_x = dM_x$ и соответственно имеем:

$$K_3 = \frac{dM_x}{\rho_2} \int_y dx \quad (35)$$

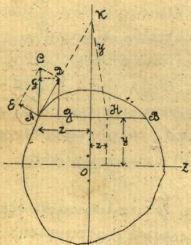
Необходимо оговорить, что приведенное уравнение будет правильно лишь в том случае, если на поперечнике $\alpha\delta$ нет приложенных соседствующих сил. В противном случае не может быть речи о равновесии вырезанной

части M_x вытекает с x и, следовательно, нельзя положить $M_x - M_x = dM_x$. Взаимнополученное выражение для напряжения K_3 запишем: 1) множитель $\frac{dM_x}{dx}$ есть нечто иное как статическая сила для данного сечения, ибо $\frac{dM_x}{dx} = -\Sigma P$. Знак (-) не имеет для вычисления никакого значения; 2) множитель $\int_y dx$ представляет собою статический момент заштрихованной части поперечного сечения относительно нейтральной оси (см. 125); 3) ρ_2 есть ρ и есть поперечный радиус сечения на участке y от нейтральной оси; 4) ΣP момент инерции всего поперечного сечения относительно нейтральной оси.

Оба перпендикулярных множителя в числителе выражения для K_3 зависят, первой от абсциссы x , второй от отсчета y .

Всегда замечательно (35) мы предположили во 1), что касательные напряжения направлены \parallel или \perp оси y и во 2), что величина их в каждом сечении \parallel нейтральной не зависит от величины x -разстояния от оси Ox . Об действительности этого предположения, что первое предположение совершенно верно; наоборот, надо думать, что в произвольном сечении поперечного сечения бруска, касательное напряжение, вообще говоря, направлено как угодно к плоскости y и z . В таком случае, второе предположение формулируется иначе: слагающая касательных напряжений в поперечном сечении бруска, \parallel или \perp оси y и z , не зависит от величины x и для данной величины y - постоянна. Следовательно, уравнение (35) служит для определения не касательных напряжений, а - их составляющих - перпендикулярные нейтральной оси. Принимая второе допущение в последний формулировка как правильное, возможно найти и поперечную величину касательного напряжения. Для этого надо показать, что при отсутствии заданных внешних сил касательных к поверхности, на последней касательных (см. VIII. Стор. с. 127. Т. проф. М. М. Бобарыкина).

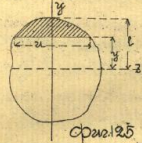
напряжений в направлении длины бруска должна быть равна нулю. Для этого можно, возьмем стержень произвольной формы (Фиг. 124) и положим, что касательные напряжения направлены. И по ней-сти пучка OY и определяем опорным ds . Радиусом это направление на составляющие ds - касательная к контуру и ds - нормальна к нему, увидим, что по свойству двойственности касательные напряжения, напряжения ds выводит на поверхности равное по величине напряжение в направлении ds оси бруска. Но J -



Фиг. 124.

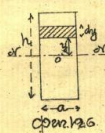
высшие эти напряжения, не пытаясь, то $ds = 0$. ds - касательное напряжение в точке a доски было направлено по касательной к контуру от точки cd . Если оно по величине равно отрезку ds , то радиусом поворота на вертикальную ds и горизонтальную ds , получим, что $ds = ds$ согласно сделанному выше допущению постоянно по всей длине ds , а числовое значение его определится по выражению (35). Остается не выясненным вопрос каково направление напряжения в каком либо элементе ds . Принято считать, что направление определяется положением точки k - пересечения касательной ds с осью OY . Конечно такое предположение годится лишь для стержней симметричных по отношению к ней-сти пучка. Из выражений (35) ясно, что составляющие касательных напряжений, ds по-сти пучка, достигают наибольшей величины в тех стержнях по длине бруска, в которых получается наибольшее значение суммарной силы, т.е. сжимающей силы. ΣP_{max} в данном же поперечном сечении наибольшее R_3 будет на таком радиусе u от нейтрального слоя ds

которого получает максимум отношения $\frac{ds}{u}$. Радиусоперение такого ряда примеров приводит к заключению, что повороте отношение будет наибольшим в нейтральном слое или в слое, отстоящем от него достаточно близко.



Фиг. 125

1) Определим поперечное сечение будет пропорциональным с основанием a и высотой h (Фиг. 126). Не трудно видеть, что для него $u = a = \text{const}$. Интеграл $\int ds = \int u \cdot ds = \int a \cdot ds = a \cdot ds$. Наибольшая величина его будет $\frac{a^2}{2}$ при $u=0$.

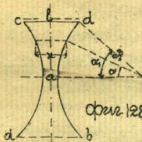
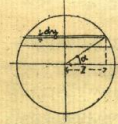


Фиг. 126

2) Поперечное сечение круг радиуса R (Фиг. 127) возьмем произвольную высоту $ds = 2z dy$, и т.к. $z = R \cos \alpha$ и $y = R \sin \alpha$, то имеем $\int ds = 2 \int_{-\alpha}^{\alpha} R \sin \alpha \cos \alpha d\alpha = -2R^2 \int_{-\alpha}^{\alpha} \cos^2 \alpha d\alpha = -2R^2 \cos^2 \alpha$, $u = 2z = 2R \cos \alpha$ а по формуле $\int \frac{ds}{u} = \frac{1}{3} R^2 \cos^3 \alpha$.

Наибольшее значение отношения $\int \frac{ds}{u} = \frac{1}{3} R^2$ при $u=0$, т.е. на нейтральном слое.

3) Определи формулу указанной на Фиг. 128, кривая ab и cd суть дуги окруж радиуса R . Имеем $u = 2R + a - 2R \cos \alpha$ или $u = a + 2R(1 - \cos \alpha)$ и $\int ds = \int (a + 2R(1 - \cos \alpha)) R \sin \alpha d\alpha = \int a R \sin \alpha d\alpha + 2R^2 \int (1 - \cos \alpha) \sin \alpha d\alpha = -a R \cos \alpha + 2R^2 (\cos \alpha - \frac{1}{2} \cos^2 \alpha)$



Фиг. 128

$\int \frac{ds}{u} = \int \frac{a R \sin \alpha d\alpha + 2R^2 (\cos \alpha - \frac{1}{2} \cos^2 \alpha)}{a + 2R(1 - \cos \alpha)}$ достигнет своего максимума при $\alpha=0$.

Если в отрезке ось, относительно которой берется момент инерции, не является осью симметрии, то наибольшие значения для K_2 не всегда получаются в нейтральном слое, а в некоторых, отстоящих от последнего на некотором расстоянии. Обычно наоборот. Напр.:

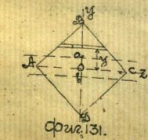
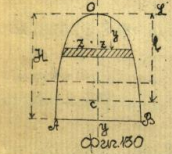
1) Равностороннее равнобедренный треугольник (Фиг. 132). Здесь $u=2z$, $\int_0^u y^2 dy = \int_0^u yz dy$. По $z=(c-y) \operatorname{tg} \alpha$ и считая $\int_0^u yz dy = 2 \operatorname{tg} \alpha \int_0^u y(c-y) dy = \frac{1}{2}(c^2 - 3cy + 2y^2)$ и считая $\int_0^u y^2 dy = \frac{1}{3}c^2 + cy - 2y^2$. Максимум последнего выражения имеет место при $y = \frac{1}{4}$ т.е. на расстоянии $\frac{1}{4}c$ от вершины отрезком параболы AB .

(Фиг. 130). Если кривой откинуть 2 вершины $z^2 = 2by$. Это наименьшие значения для u получены через K , то расстояние центра тяжести S от вершины равно $e = \frac{1}{5}h$. Согласно вышесказанному будем иметь:

$$\int_0^u y^2 dy = \frac{1}{2z} \int_0^u 2x(c-y) dy = \frac{1}{2z} (2cy - \frac{1}{2}cy^2) = \frac{1}{2z} (2cy - \frac{1}{2}c^2 \frac{y^2}{c}) = \frac{1}{2z} (2cy - \frac{1}{2}cy^2)$$

от нейтрального слоя. Если будем искать наибольшее значение K_2 для квадратного сечения, поставленного на ребро, то хотя здесь и является ось симметрии, но искомым максимум нейтральной оси не совпадает. Действительно, для верхней половинки искомого слоя проводим Π через точку a , (Фиг. 131) отстоящую от нейтрального слоя на $aO = \frac{1}{4}OB = \frac{1}{2}c$, где c - сторона квадрата.

Для нижней половины соответственной максимум будет в b . Т.е. особенно при кривых басках или



весно знать как вообще распределится эти напряжения в данном поперечном сечении, а потому отсюда можно показать на некоторых примерах как поведем закона распределения.

1) Чтобы показать как можно найти величину постоянного касательного напряжения приведем два примера равнобедренного $\sqrt{3}$ -го и круга.

Пусть дан (Фиг. 132) ΔABC . Проведем линию $DE \parallel AC$; мы-то и будем считать OY . Не трудно видеть, что при постоянном значении осевой нагрузки $K_2 \parallel OY$ результирующее напряжение $K_2 = \frac{F}{S} = \sqrt{K_1^2 + K_2^2}$, где K_1 - осевая нагрузка $\parallel OZ$ достигаем наибольшего значения

где K_2 в точках D и E . Значение для K_2 определяем по ур-ню (35) откуда $K_2 = \frac{F \cdot c}{S \cdot z}$

Здесь abc - статический момент площади DBE относительно оси OZ ; считая относительно $ac = \frac{1}{2} DE \cdot \frac{2}{3} (\frac{2}{3} c + \frac{1}{3} \sqrt{3} DE)$; находим стороны ΔABC через $a = \sqrt{3}b - \sqrt{3}c$ и $b = ac$ и высоту $BR = h$, получим:

$$K_2 = \frac{F \cdot h \cdot \operatorname{tg} \alpha}{b \cdot z} \left\{ \frac{2}{3} hy - y^2 + \frac{2}{3} (\frac{2}{3} (3h - y) \operatorname{tg} \alpha) \right\} \quad (a)$$

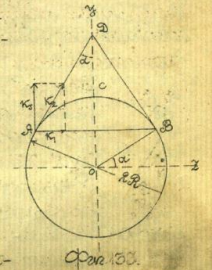
Наибольшее значение будет при $y = \frac{1}{6}h$, как это мы уже видели выше. Далее из формулы найдем:

$$K_1 = K_2 \operatorname{tg} \alpha \quad \text{и} \quad K_2 = K_1 \sqrt{1 + \operatorname{tg}^2 \alpha}$$

Для круга получаются такие отношения. Для круга радиуса R , проведем хорду $AB \parallel$ нейтральной оси NO (Фиг. 133). На основании сказанного выше, вертикальная составляющая \parallel оси OY - определяем по ур-ню (35) - будет равна

$$K_2 = \frac{F}{S \cdot z} R^2 \cos^2 \alpha$$

Составив K_2 в точках A или B будет, как и раньше, равно, если



видно $K_1 = K_2 \cos \alpha$ и результирующее $K_2 = K_1 \sqrt{1 + \tan^2 \alpha}$
или

$$K_2 = \frac{\sum p a^2}{3J} \cos^2 \alpha \sqrt{1 + \tan^2 \alpha} = \frac{\sum p a^2}{3J} \cos \alpha \quad (6)$$

Отсюда находим это наибольшее значение $K_2 = \frac{\sum p a^2}{3J} \cos \alpha$
будет иметь место для нейтрального слоя и

$$K_2 = K_1 = \frac{\sum p a^2}{3J}$$

Ибо здесь K_2 обращается в нуль. Наибольшее значение для составленной K_2 находится из

$$K_1 = \frac{\sum p a^2}{3J} \cos^2 \alpha = \frac{\sum p a^2}{6J} \sin 2\alpha \quad \text{при } \alpha = 45^\circ$$

Отсюда видно, что по мере удаления от нейтрального слоя вверх или вниз касательная напряженность падает и при достижении наибольшего удаления от него волокон обращается в нуль. Это совершенно ясно из того, что если бы в поперечных сечениях у наружные волокна существовали касательные напряжения, направленные перпендикулярно нейтральному слою, то по закону действенности должны бы существовали такие же напряжения и в этих сечениях наибольшего удаления волокон.

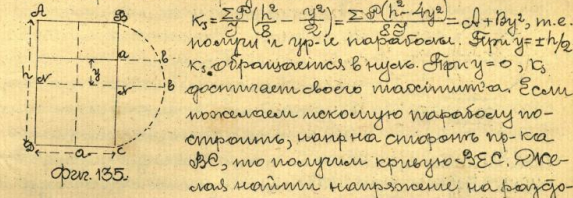
По заданной внешней силе составили систему распределенных и сосредоточенных сил, действующих перпендикулярно оси бруса, а отнюдь не касательно к его поверхности. Непосредственно наблюдений можно показать это прямо из нанесенной напр. на боковой поверхности бруса послойно кривая обращается в кривую $a_1 b_1$, причем элемент кривой u, a, n, b_1 образуют с вертикалью прямую угол в 90° . Это обстоятельство подтверждает предположение, что касательные напряжения у наибольшего удаления волокон (при отсутствии внешних касательных сил) не существуют и от нуля — в точках a_1 и b_1 — возрастают до максимума в точке o на нейтральном слое где и наблюдается наибольшее прогибание d (Фиг. 134).

Средняя кривая сгибания волокон бруса с прямоугольным сечением изображена на Фиг. 134. Основание a и высоту h . Стрелка, что вертикальная сила для которой прогибание



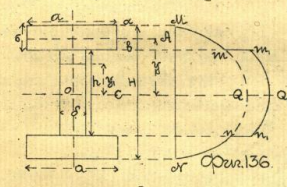
Фиг. 134.

сечения (Фиг. 135) $\sum p$ найдена, найдем это касательное напряжение выразим так:



Фиг. 135.

$K_2 = \frac{\sum p}{3J} \left(\frac{h^2}{8} - \frac{y^2}{2} \right) = \frac{\sum p}{3J} (h^2 - 4y^2) = a + 16y^2$, т.е. параболы и $y = 0$ параболы. При $y = \pm h/2$, K_2 обращается в нуль. При $y = 0$, K_2 достигает своего максимума. Если покажем некоторую параболу по-другому, напра. сторону по ка-
 bc , то получим кривую bc . Две-
гда найдем напряжения на результирующей нейтрального слоя, проведем прямую mn и отрезок ab даст в увеличенном масштабе по-
косое K_2 . Пусть сечение имеет форму дуги круга с радиусом указанным на Фиг. 136. Для ка-
кого-либо слоя A лежащего в
верхней (или той же в
нижней) половине.



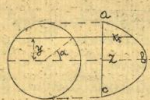
Фиг. 136.

причем зависимость эта
справедлива на радиусе
от слоя a до b ; в са-
мом слое b значение K_2 сразу становится от b до δ ,
потому от слоя b выражение для K_2 будет другое, а
именно $\int y dy = 1/2 a \delta (H - \delta) + 1/2 (H^2 - 4y^2) \delta$, а потому

$$K_2 = \frac{\sum p}{3J} \left\{ \frac{1}{2} (H - \delta) + \frac{1}{8} (H^2 - 4y^2) \delta \right\} = a + 16y^2$$

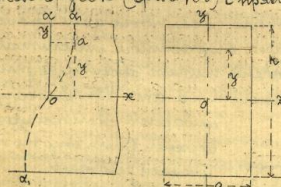
т.е. здесь имеет место параболы с отрицательной d
первой постоянной членом a . Графически это выра-
жена так: первая зависимость представляется пара-
болой mn и n_1 , но она имеет место лишь на габаритах
 mn и n_1 ; вторая зависимость выражается пара-
болой $m_1 a n_1$, которая есть ничто иное, как пара-
бола mn , отодвинутая вдоль оси oc на величину
 $nm = OQ = n_1$.

Кривое сечение: $K_2 = \frac{\sum p}{3J} R^2 \sin^2 \alpha \cos^2 \alpha = a - 16y^2 = a - 16y^2$ т.е. кривая параболы abc (Фиг. 137).
Итак предположим о том, что плоская сечение до



Фиг. 137

троса, остаются постоянными при деформации троса, следовательно не введены. Указанное допущение, согласно Бернулли, весьма упрощает вывод зависимости между внутренними и внешними силами, а потому интересно знать, как велика погрешность указанного допущения. Возьмем тросок (Фиг. 138) с трапециевидным сечением a, b



Фиг. 138

и рассмотрим в какую точку α, Oa , обращаясь перпендикулярно к оси троса. Пусть начало координат находится в O и оси Ox и Oy направлены, как показано на Фиг. 138. В любой точке α с координатами y и x , для нас можно написать следующее, где σ — угол сдвига выразится так: $\sigma = k_1/g = \frac{\sum P}{S \cdot g}$, а тогда для кривой α, Oa , будет:

$$\sigma = \int \frac{\sum P}{S \cdot g} dy + C \quad (3a)$$

Нам не трудно написать: $\sigma = \frac{\sum P}{8 \cdot 9a} \int (h^2 - 4y^2) dy + C$. Не трудно видеть, что при $x=0, y=0$ и следовательно $C=0$

$$\sigma = \frac{\sum P}{8 \cdot 9a} (hy - \frac{4y^3}{3})$$

Наибольшие значения для σ будет при $y_{max} = \frac{h}{2}$, а потому имеем:

$$\sigma_{max} = \frac{\sum P}{24 \cdot 9a} = \frac{25}{3a} \frac{\sum P}{g}$$

Пусть для троса талии $L = 2m, a = 100mm, h = 400mm, \sum P = 4000 \text{ кг}$. При этих условиях наибольшее напряжение при растяжении достигнет 3 кг/кв. см . Наибольшее касательное напряжение $k_1 = 1,2 \text{ кг/кв. см}$, то для талии надо принять весьма достаточным. Получая далее $g = 3000 \text{ кг/кв. см}$, найдем, что $\sigma_{max} = \frac{25 \cdot 4000}{3000 \cdot 100} = 0,007mm$.

Как мы видим погрешная величина настолько ничтожна, что говорить о перекачивании стержней в данном случае не стоит.

допускаем считать больше пластичного материала. Диаметр стержней $d = 10mm$ и высоты $800mm$, подвергавшей срезающей силе $= P = 5000 \text{ кг}$; $G = 7700 \text{ кг/кв. см}$. $\sigma_{max} = 0,5 \frac{5000}{7700 \cdot 10} = 0,0325mm$, точно также величина сдвига мала.

Легко показать, что благодаря присутствию касательных напряжений увеличивается сдвиг троса, но увеличение это настолько незначительно и при обыкновенных вычислениях им пренебрегают.

Рассмотрим два стержня a, m, b, β (Фиг. 139) расположенные друг относительно друга на расстоянии dx , дадим им, то есть вообразим, опечет α неподвижным по точке α , перекачиваемся в O, α_2 и стержень β будет $O, \alpha_2 = dx \cdot g$. Если бы угол сдвига оставался постоянным на всем протяжении α, β , то стержень β в стержне α не сдвинулся бы, но угол сдвига увеличивается от α до β по тому же закону как и k_1 . Поэтому стержень β сдвигается для каждого волокна. Выглядит в результате β от нейтральной оси и обращается в нуль для крайних стержней.

Фиг. 139

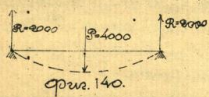
Поэтому вычислить можно сдвиг стержня β — ел приближенно равной стержню α , которая послужила бы, если бы касат. напряжение оставалось распределенным равномерно; другими словами вычисляют среднюю стержню для $k_1 = \frac{\sum P}{S \cdot g}$. При этих условиях по стержню α и β кривой кривой (от касательных напряжений) в длину:

$$y = \int \frac{\sum P}{S \cdot g} dx + C$$

Пусть дана талиевая бабка длиной $6m$, на двух стержнях, нагруженная по середине стержня $P = 4000 \text{ кг}$. Стержень квадратное № 30 по срезам сортам Ильмень $\sum P = 2000 \text{ кг/кв. см}$, $G = 7700 \text{ кг/кв. см}$, $\sigma = 6361mm$ и $y = \frac{20000}{6361 \cdot 7700} + C$ при $x = \frac{L}{2}, y = 0$ и $C = \frac{3000 \cdot 2000}{6361 \cdot 7700}$ и $y_{max} = 0,122mm$. Между тросом стержня троса от нейтральной оси будет, как видно из (33)

$$y = f = \frac{P l^3}{48 E B} = 102,23 \text{ мкм}$$

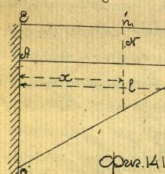
максим. обжатие и провал
 стержня $f = 102,35 \text{ мкм}$, т. е.
 приращений, вследствие касательных напряжений, совершенно ничтожно. Поэтому достаточно рассмотреть, как



могут быть иными лишь теоретическое значение сил оставили.

Перейдем теперь к определению наибольшего значения сжимающей силы ΣP в различных случаях. Общий способ заключается в нахождении максимума $\frac{dM_x}{dx}$. Общий аналитический прием утомителен и мы остановимся лишь на графическом способе, который имеет значительное преимущество в своей наглядности. Это действительно, весьма часто приходится проводить стержни балки на касательных напряжениях не только в стержень, где сумма достигает максимума, но и в других точках по оси, а поэтому весьма удобно сразу видеть, как изменяется величина ΣP в зависимости от x .

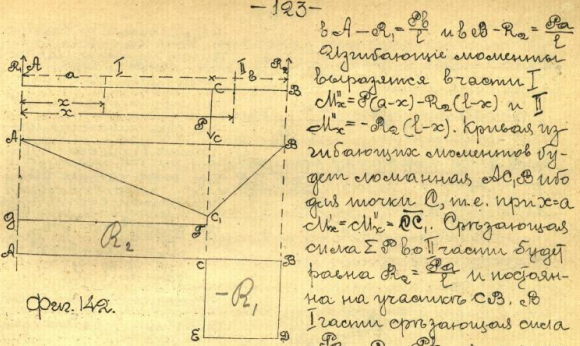
Так как обыкновенно при расчетах приходится сначала определить величины изгибающих моментов, то будем рассматривать построение диаграммы одновременно для M_x и для ΣP .



1) Балка $A'B$ (фиг. 141) закреплена одним концом и нагружена на свободном конце сосредоточенной силой P . Возьмем произвольную точку M на стержне $M_x = P(l-x)$, $M_{max} = Pl$. Откладываем $ED = Pl$, находим кривоизгибающую моментов в виде прямой ED .

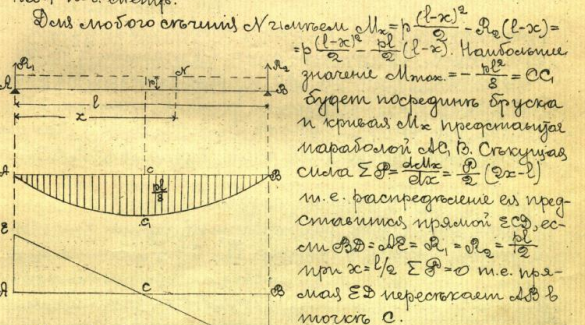
Сжимающая сила $\Sigma P = P$ и постоянна по всей длине балки. Откладываем в масштабе сил $AE = P$, находим, что закон изменения ΣP выражается прямой ED .

2) Балка (фиг. 142) лежит на опорах A и B и нагружена силой P в точке C . Балка на опорах будет



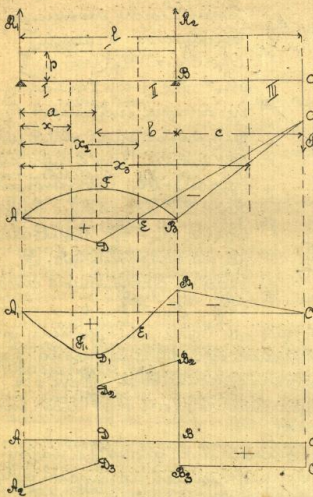
лежать постоянно по всей длине. Если положительную $\Sigma P = R_2$ будем откладывать от $A'B$ вниз, то на участке AC $\Sigma P = -R_2$ надо откладывать вверх. Итак ось диаграммы сжимающей силы будет $ACEDB$, где $AD = CB = R_2$ и $CE = CD = R_1$.

3) Балка лежит на опорах A и B (фиг. 143) и нагружена равномерно распределенной нагрузкой p по l пог. метр.



Для любого сечения M имеем $M_x = p \frac{(l-x)^2}{2} - R_2(l-x) = p \frac{(l-x)^2}{2} - \frac{pl}{2}(l-x)$. Наибольшее значение $M_{max} = -\frac{pl^2}{8} = CE$ будет посредине балки и кривая M_x представляет параболу ACB . Сжимающая сила $\Sigma P = \frac{dM_x}{dx} = \frac{p}{2}(2x-l)$ т. е. распределение ее представится прямой ED , если $AD = BE = R_2 = R_1 = \frac{pl}{2}$ при $x = l/2$ $\Sigma P = 0$ т. е. прямая ED пересечет $A'B$ в точке E .

4) Балка (фиг. 144) лежит на опорах и нагружена равномерно распределенной

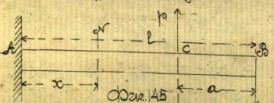


или кругом ρ . Крайне этого примитивна сосредоточенных сил: P_1 и P_2 на противоположных концах (концов). Мы же при этом угловой кривой; соотносительна: $M_x = P_1 x + P_2 x^2$; $M_x = -P_1 x + \frac{1}{2} P_2 x^2 + P_2 x$

Графически упрощение представлено сначала кривую изгибающих моментов от соседствующих точек. Дно показано диаграммой $A_1 B_1 C_1 D_1 E_1$, кривая $A_2 B_2 C_2 D_2 E_2$ (парабола) соотносительна кривой от сосредоточенного груза. Наконец $A_3 B_3 C_3 D_3 E_3$ представляет результирующую от системы обеих предыдущих диаграмм. Срезывающая сила в III участке $\Sigma P_2 = P_2$ постоянна по длине BC и представляет прямую $B_3 C_3$ ($D_3 E_3 = P_2$). Срезывающая сила в I участке $\Sigma P = -P_1 + P_2$ изображена прямой $B_1 C_1 D_1 E_1$. Так же диаграмма срезывающей силы будет $A_1 B_1 C_1 D_1 E_1 B_3 C_3$

Угловой изгиб.

Пусть дан брусок закрепленный одним концом в стену. К нему в точке A и C приложены две равные и противоположные силы P, P на расстоянии a друг от друга (фиг. 145).



Если вернуться на расстоянии x от точки закрепления B и проведем от A до C отрезок

не M , то момент внешних сил относительно этого отрезка будет: $M_x = P(l-x) - P(l-a-x) = Pa = \text{const.}$, т.е. изгибающий момент - величина постоянная и равен моменту пары (P, P) . Угловой кривая в данном случае представляет дугу круга, потому и самый изгиб называется круговым. Момент внешних сил $M_x = \frac{E\theta}{\rho} = Pa = \text{const.}$, но для данного бруска E и I - величины постоянные а в таком случае и θ - ρ постоянно!

Другим способом характеризующим круговой изгиб является отношение касательных напряжений.

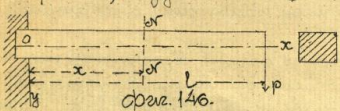
$$k_s = \frac{\Sigma P y \rho \cos \alpha}{I \rho^2} = \frac{d \rho}{d x} y \rho \cos \alpha$$

но момент внешних сил - постоянная величина, следовательно производная его по x равна нулю, а в таком случае и касательные напряжения k_s обращаются в нуль.

Конечно величина кругового изгиба будет лишь на участке AB где не касаются точки C от угловой кривой здесь выразится углом $E \theta y = P(l-x)$.

Поскольку равного сопротивления изгибу. При изгибе бруска нормальные напряжения (сжатие и растяжение) распределяются неравномерно не только по поперечному сечению, но и по длине бруска. Для данного конкретного случая напряжения поперечного волокна, отстоящего от нейтрального слоя на расстоянии y напряжении будет: $k = \frac{M y}{I}$ и для крайней фибры $R_s = \frac{M y_c}{I}$. Изменив значение x (положение поперечного сечения) будем получать различные значения dk_x , а стало быть и k . (Вспомогательное составление круговой изгиба, при котором $M = \text{const.}$). Поэтому построим только вначале конечно срезывающей силой, и поперечного угловой кривой в выражении для радиуса кривизны отсюда первая производная по x посылку точная кривая изгиба в данном случае отнесется от округлости.

нало сопротивлений изгибу, при условии, чтобы напря- жения во всех частях бруса были постоянны, невозможно. Если не считать, принимая во внимание, что при постоянном сечении, напряжение R умень- шается с уменьшением M_x надпридумать произво- дительную форму не рациональной. Можно поста- вить требование, чтобы в каждом поперечном сече- нии наибольшее напряжение (сжатия) оставалось постоянным. Это можно построить в форме предположить надвывается только равного сопро- тивления. Изгибу и имеет ту же форму, что тре- бует наименьшее количество материала. Пусть дан брус, закрепленный одним концом в стене и под действием действия изгибающей силы P в конце. Момент для такого любого произвольного сечения x (Фиг. 146) будет $M_x = P(l-x)$. Полагая далее, что

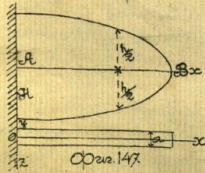


брус имеет прямо- угольное сечение, тогда $W = \frac{ah^2}{6}$, если a и h основаны и высота пр-ка.

Подставив в ур-е прочности имеем:

$$R = \frac{6P(l-x)}{ak_1} = 2 \frac{3P}{ak_1} (l-x) \quad (a)$$

или полагая $\frac{3P}{ak_1} = p$, получим: $h^2 = 2p(l-x)$, что представляет ур-е параболы, симметричной осью XY. Так обр., если основания поперечных сечений остаются постоянными, то высота изгибающей так, то кривая, соединяющая крайние точки (кон- тур), является параболой (Фиг. 147). Полагая $x=0$, тогда

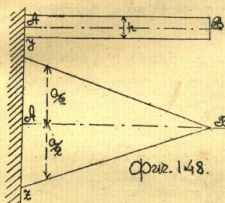


$h_{x=0}^2 = h^2 = 2pl = \frac{6Pl}{ak}$
а площадь заштрихованного сече- ния $\omega = h^2 a$.
Формула 2^я. Допустим теперь, что высота h пр-ка не изменяется, но диаметр бруса

ка. Тогда из выражений (а), имеем:

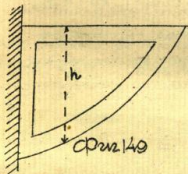
$$a = \frac{6P(l-x)}{h^2 k_1}$$

это представляет ур-е первой степени с двумя неизвестными, т.е. брусок будет очерчен двумя прямыми, проходящими через точку P на расстоя- нии l от начала координат (Фиг. 148). Это ра- ссмотренная формула имеет

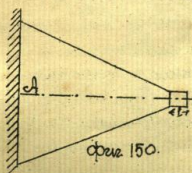


равного сопротивления изги- жению, наиболее употреби- тельным. Можно заметить, что на практике эти форм- ы в том виде, в каком они их получим, т.е. со строго теоретическим очертом, почти не употребляются, а

служат при конструировании, так сказать, руковод- ством для создания рациональных форм. Непригод- ность математически-правильного очерта из- ступает, напр. из того, что сечение P (Фиг. 148) имеет площадь = 0. На практике полученную величину h , в начале поперечного основания a также откладываем вниз (Фиг. 149).



При постоянной высоте h на то- кторой a равно h в брусок прижа- ют при математическую форму (Фиг. 150). Если объективно получим брусок равного сопротивления с переменной- сти h и a , тогда дадутся следующие эти величины: $h : a = n$. В таком случае имеем ур-е



$$R = \frac{6P(l-x)}{ah^2} = \frac{6P(l-x)}{n^2 a^2} = \frac{6P(l-x)n}{h^3}$$

$$\text{откуда } a = \frac{6P(l-x)}{n^2 k_1} \text{ и } h = \frac{6nP(l-x)}{k_1}$$

Формула 3^я. Если диаметр $2l$ пр-го сечения a и h , нагружена равномерно распределенным грузом p , имеет дво-

баки на двух опорах. Высота симметричности (Фиг. 151) изгиба, полагая начало координат в С. Для стержня, отнесенного на разстояние a от С, изгибательный момент:

$$M_x = \frac{p(l-x)^2}{2} - pl(l-x) = \frac{p(l^2-x^2)}{2} - pl(l-x)$$

Наибольшее абсолютное значение M_x будет

$$M_{x0} = -\frac{pl^2}{2}$$

Называя высоту баки в среднем через h_1 , момент инерции для него через I и полагая $a = const$, имеем

$$\frac{pl^2}{2} = \frac{2E}{h_1} K_0 = \frac{ah_1^3}{6} K_0$$

Для стержня $a = \frac{1}{2}(l^2-x^2) = \frac{1}{2}l^2 - x^2 = \frac{1}{2}ah_1^3 K_0$ или

$$K_0 = \frac{6pl^2}{2ah_1^3} = \frac{3p(l^2-x^2)}{ah_1^3}$$

откуда $\frac{h_1^3}{l^3} + \frac{x^2}{l^2} = 1$, т.е.

боковое сечение должно быть произведено по дуге окружности $h_1/2$ и l .

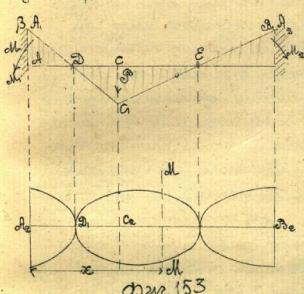
Аналогичные три примера, показывая, что баки формы фланца сопротивлений придают материалу значительно меньше потерь при изгибах. Так в первом случае фланцы в объеме достигают 53%, то объем баки фланца сопротивлений отнесен к объему призматической формы, как площадь параболы (Фиг. 152) к площади описанного пр-ка. В деформированной баке фланцы будут равны:



$$\frac{2h_1 - pl^2}{2lh_1} = \frac{4-p}{4} = 0,21 \text{ т.е. } 21\%$$

В тех случаях, когда изгиб кривой имеет точку перегиба, а следовательно, приближенный момент имеет свой знак, переходя через нуль, форма твоя баки сопротивлений полагается, состоит, в том, как бы состояла из отдельных частей и соединяется между собой. Напр. в баке AB замкнутой поперечной AM и AB и напряженной в B (Фиг. 153) сосредоточенной силой

P , имеем две точки D и E перехода M_x через нуль. Из условия $M_x = \frac{P}{2}x$ при $M_x = 0$ имеем $x = 0$ т.е. поперечное сечение обращается в нуль. Пусть сечение будет пр-ом с постоянной высотой a , тогда для которого стержня M_x имеем зависимость:



$M_x = \frac{1}{2}Pl - Pa(l-x) = \frac{1}{2}ah_1^3 K$
 Здесь M_x и P_0 замкнутый момент и реакция в опоре B . Не трудно видеть, что боковое сечение баки на участке CE представляется параболой $h_x^2 = \frac{P}{K}[-Pa(l-x) + M_0]$
 На участке BC будет иметь параболу $h_x^2 = \frac{P}{K}[-Pa + M_1]$

На участке AD —

$$h_x^2 = \frac{P}{K}[-Pa + M_1]$$

и на участке ED —

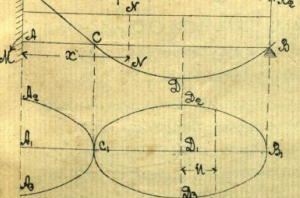
$$h_x^2 = \frac{P}{K}[-Pa(l-x) + M_0]$$

Дана бака на Фиг. 154, имеем в сечении N M_x

$$M_x = -Pa(l-x) + \frac{P(l-x)^2}{2} = \frac{P}{2}(5lx - l^2 - 4x^2) = \frac{ah_1^3}{2}K$$

Это будет упр-е дуги с полуосью $AD = \frac{1}{2}l$ и $AD = \sqrt{\frac{2(5lx - l^2 - 4x^2)}{5}}$ Действительно, т.е. точка перегиба находится в C на расстоянии $AC = \frac{1}{4}l$, но переводя начало координат из C в D , приведем $CD = \frac{3}{4}l$, находим упр-е

Фиг. 154.



$$\frac{x^2}{(3/4)^2} + \frac{h_x^2}{\frac{ah_1^3}{2K}} = 1$$

На участке CD имеем зависимость $\frac{ah_1^3}{2}K = \frac{P}{2}(4x^2 + l^2 - 5lx)$

ибо момент σ ϵ принимает свой знак и снвг. получается гипербола.

Деформация тнелого балла сопротивлений изгиба, даваемая, что здесь мыслится отгибом, обращается в нуль для точек перегиба изгибной кривой. Справедливо выполнение таких точек, конечно, невозможно; но и теоретически отгиб или деформация может быть некоторую величину; действительность же по силе принимаем во внимание лишь направление деформации. Между тем максимум отгибной силы не совпадает с минимумом момента. Для последнего случая, напр. получим $\sum P = \frac{1}{8} \int_0^l dx = 0$ при $x = \frac{1}{8} l$, т.е. в отгибе, где изгибающий момент равен $\frac{3}{8} Pl$. Максимум же отгибной силы P будет при $x=0$, когда $\sum P = \frac{5}{8} Pl$. В том отгибе, где $\sum P = 0$, т.е. при $x = \frac{1}{4} l$; получим $\sum P = \frac{3}{8} Pl$. При этом отгибе и $\alpha = \text{const}$, получим:

$$k_2 = \frac{1}{6} \frac{3}{8} Pl (h^2 - 4y^2)$$

т.к. k_2 достигнет наибольшего значения при $y=0$, то $k_{\text{max}} = \frac{3Plh^2}{48}$, откуда по заданному k_2 найдем соответствующее значение h .

В наружной силе сосредоточенности на каждой точке между точками приложения сил величина $\sum P$ остается постоянной, а потому и в предыдущем примере в отгибе, где $\sum P$ обращается в нуль, и отгибы касательных будут отклонены от нуля и снвг. перпендикулярно отклонены от нуля от центра.

Деформация тнелого балла равносопротивления на изгиб и упр-е кривой изгиба в тнелых равного сопротивления.

Деформация тнелого балла сопротивления сравнивается с деформацией призматического бруса при прочих равных обстоятельствах (одинаковой длине, тем же способе закрепления на опорах, одинаковых силах и способе их приложения) - тогда большие тнелы во втором.

Докажем это, напр. для первого из рассмотренных

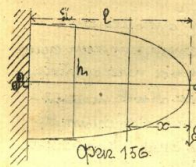
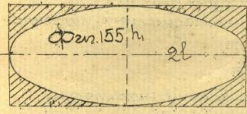
случаев. Из обычного упр-е кривой изгиба, получим:

$$\pm Ey'' = \frac{dP}{dx} \quad (a)$$

С другой стороны из выражения $\sum P = Wx k_2 = \frac{2}{h^2} k_2$ получим $\frac{dP}{dx} = \frac{2k_2}{h^2}$. Подставив полученное значение $\frac{dP}{dx}$ в упр-е (a), найдем:

$$\pm Ey'' = \frac{2k_2}{h^2} \quad (b)$$

Положив $x=l$, т.е. перейдем к средине сд (срн. 156), в котором на оси балки выражения $\sum P = \frac{1}{6} \alpha h^2 k_2$ получим: $h = \sqrt{\frac{6Pl}{\alpha k_2}}$ (при $x=l$)



найдем, что момент инерции этого отгиба будет:

$$J_y = \frac{2h^4}{12} = \frac{2}{12} \sqrt{\frac{6Pl}{\alpha k_2}}^4$$

Пересчитав по этому получимое выражение для момента инерции с выражением (b), получим:

$$EI y'' = \frac{\alpha k_2}{6hx} \sqrt{\frac{6Pl}{\alpha k_2}}^3, \text{ но } hx = \sqrt{\frac{6Pl}{\alpha k_2}} \text{ и снвг. давая}$$

$$EI y'' = \frac{\alpha k_2 \sqrt{\frac{6Pl}{\alpha k_2}}^3}{6 \sqrt{\frac{6Pl}{\alpha k_2}}} = \frac{\alpha k_2 \sqrt{\frac{6Pl}{\alpha k_2}}^2}{6} = \frac{\alpha k_2 \left(\frac{6Pl}{\alpha k_2}\right)^2}{6} = \frac{Pl}{6} = \frac{Pl}{6} \sqrt{\frac{Pl}{6}}$$

Аналогично упр-е кривой изгиба тнелого балла равносопротивления будет: $EI y'' = Pl \sqrt{\frac{Pl}{6}} = Pl \sqrt{Pl/6}$

Аналогично это выражение два раза, получим:

$$\left. \begin{aligned} EI y'' &= 2Pl \sqrt{Pl/6} + C & (1) \\ EI y'' &= 4/3 Pl \sqrt{Pl/6} + C_1 x + C_2 & (2) \end{aligned} \right\} (d)$$

Пропуская постоянные C_1 и C_2 , определяемые из того условия, что для отгиба А снвг. 156 отгиба перегиба равна нулю и момент упр-е наклона также будет нуль, т.е.

1) В упр-е (a) величина Wx , вообще говоря, переменная. В данном случае призматического бруса $\sigma = \text{const}$.

2) Для упр-е отгибания начало координат берем от средине сд и снвг. нулю момента будет x , т.е. $(l-x)$

при абсциссе $x=l$, $y=0$, а в таком случае из выражения (а) следует: $E\Delta y=0=2Pl^2+C$ или $C=-2Pl^2$
 Или $y=0=4/3 Pl^3-2Pl^2$ или $C_2=2/3 Pl^3$

Подставив полученные величины для произвольных постоянных в уравнение [а], мы получаем общее выражение для уравнения кривой: $E\Delta y=4/3 Pl^3/l^3 x^3-2Pl^2/l^2 x+2/3 Pl^3/l^3$
 Наибольшая стрелка прогиба будет для точки A и ее величина получится, если в последнем уравнении подставить $x=0$. Получим:

$$y = \frac{2Pl^3}{3EI}$$

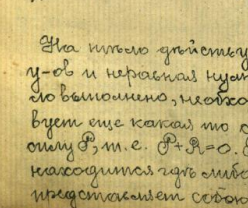
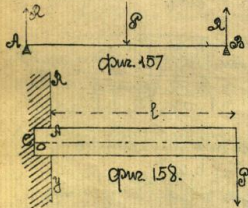
т.е. стрелка прогиба в два раза больше, чем стрелка прогиба простого балочного сгибания $св$.

Реакции опор и зашлепывающий момент.

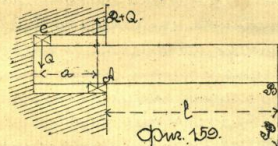
Из теоретической механики известно, что если данный брусок лежит на двух опорах и на него действует изгибающая сила P , то в точках A и B появятся силы R_1 и R_2 и обратно направленные силы P . Эти силы называются реакциями опор. В данном случае они определяются (см. стр. 157) просто по правилу моментов $\sum M = 0$ или сил. По условию, чему равна реакция в брусок закрепленном одним концом в стену (см. стр. 158). Как известно для равновесия данного тела нулю, то сумма проекций всех действующих сил на координатной оси равняется нулю. Напишем такое условие для оси y -ов, т.е.

$$\sum y P = 0 \quad (a)$$

На тело действует только одна сила P , направленная вверх, и неравная нулю, поэтому чтобы условие (а) было выполнено, необходимо предположить, что существует еще какая то сила R , уравновешивающая силу P , т.е. $P+R=0$. Точка приложения этой реакции находится где либо между A и C , так как реакция представляет собою взаимодействие материала,

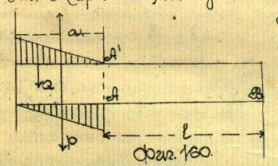


ограждающего зашлепываемый конец, на брусок. Но приложении такой силы R , приложенной между A и C не может удержаться брусок в равновесии, ибо должно быть удовлетворено условие, чтобы сумма моментов всех сил относительно произвольной точки доски равнялась нулю. Отсюда нетрудно заключить, что кроме реакции R на зашлепываемый конец доски действуют еще пара сил. Эта пара сил дает момент, уравновешивающий момент внешних сил, приложенных к бруску и названий зашлепывающего момента. Представим себе случаи зашлепывания, когда брусок опирается на подставку в точках A и C . Нетрудно видеть, что в данном случае реакцией в точке A будет сила $R+a$, где $R=P$ и $aA=P=l$ - зашлепывающий момент (см. стр. 159)



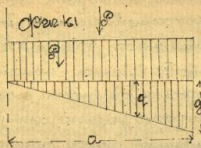
В общем случае зашлепывания конца, когда брусок опирается на опору не в одной точке, наибольшее сжатие получится в точках A и C . В большой степени достоверности

можно допустить, что распределение напряжений на A и C (см. стр. 160) получится по закону прямой линии.



Приложим в центре зашлепываемой части для силы P и P . Тогда зашлепывающий момент $m = 1/2 Pa = P(l+a/2)$, а давление со стороны балки на опору в нижней грани получится из давления стального

Он неравномерно распределенной нагрузки q с равнодействующей Q . Если ширина балки $= b$, то давление на 1 кв. см в опорной части будет: $k = Pab + Q$, причем наибольшего значения оно достигнет у крайнего (см. стр. 161), где $a = a_1$, т.е. $k_{max} = \frac{P}{ab} + \frac{Q}{a}$. Величина a_1 найдется так. Напряжения $Q = \frac{2P}{3a}(l+a/2)$, на $1/a$ - представляет кривую нулю ординату кривой.



тремя выражение α через ρ , так что $\alpha = \frac{a - \rho b}{a}$, а отсюда $\alpha_1 = \frac{\rho a}{a - \rho b} (1 + \alpha)$ и $K_{max} = \frac{\rho}{ab} \left\{ 1 + \frac{3(\rho l + a)}{a} \right\}$

В дальнейшем изложении будем принимать способ замещения указанный на Фиг. 159.

Баланс статических неопределяемых.

Эти типичные вопросы в теории сопротивления материалов необходимо прежде всего найти воль, выписави образом примененной системы сил. В смысле ит, кроме данных, входят силы реакции. В этих случаях, когда для нахождения сил реакции достаточно условий даст статика, балки называются статически определенными. В других случаях, когда статика не может доставить необходимое и достаточное количество ур-ий равновесия, приходится прибегать к теории упругости. Демонстрируем несколько примеров решения вопроса, так называемые, статически неопределяемые балки. Пример 1^{ый} Призматическая балка, закрепленная обоими концами в ступицы, нагружена сосредоточенной силой, приложенной в середине между опорами (Фиг. 162) Как только это было выведено - в точках



в A и B появляются реакции опор R_1 и R_2 и замещающие моменты M_1 и M_2 . Статика нам дает условие равновесия сил: $R_1 - R_2 = 0$ (а)

Чт. т.к. приложенная сила в данном случае приложена по середине, то реакции равны $R_1 = R_2 = \frac{P}{2}$. Другое) Вообще говоря, положимся в расчет, а именно силе для горизонтальных H_1 и H_2 в данном случае равных между собою величина не для статически определенных балок они и не принимаем их в расчет

условие равновесия, именно сумма моментов относительно произвольной точки равна нулю, соединив x первым B с самим собой, замещающие моменты в точках A и B равны между собой, т.е. $M_1 = M_2$. Напишем, что сумма моментов в этих сил относительно точки A равна нулю $\sum M_A = \frac{P}{2} l - R_2 l + M_2 = 0$, оно даст $R_2 = \frac{P}{2}$. Так отсюда условия статически неопределяемых неизвестных замещающих моментов. Для его определения воспользуемся теорией сдвига, которая дает до сих пор теория изгиба. Когда координат расположим в точке A . Общес ур-ие кривой изгиба (для любой поперечной)

$$EI y'' = c_1 x = -\frac{P}{2} x + M_1 \quad (c)$$

Интегрируя это ур-ие дважды получаем: $EI y' = -\frac{P}{2} x^2 + M_1 x + C_1$
 $EI y = -\frac{P}{6} x^3 + \frac{M_1 x^2}{2} + C_1 x + C_2 \quad (d)$

Для определения постоянных воспользуемся тем обстоятельством, что в точках закрепления прогиба нет, т.е. при $x=0$ и l ур-е. Кроме того благодаря замкнутости, первый элемент кривой горизонтален и следовательно ур-ие (d) примут вид:

$$EI y'' = -\frac{P}{2} x + M_1; \quad EI y' = -\frac{P}{2} x^2 + \frac{M_1 x}{2}$$

П.к. сила приложена в середине (в E), то в этой точке кривая делится на две симметричные части. Общес касательная к кривой (к обшивке таслим) в точке E будет параллельна оси Ox , следовательно для этой точки также первая производная обращается в нуль, т.е. при $x = l/2$, $y' = 0$, а потому

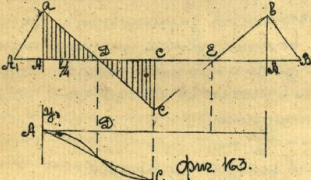
$$EI y' = 0 = -\frac{P}{2} x^2 + M_1 x \quad | x = l/2$$

подставляем $x = l/2$ и имеем: $-\frac{P}{6} + M_1 \cdot \frac{l}{2} = 0$ отсюда $M_1 = \frac{2Pl}{6l} = \frac{Pl}{3} = M_2$
 Для определения приращающего момента M_2 стоит только в ур-ие $c_1 x = -\frac{P}{2} x + M_1$ подставить найденное значение M_1 , т.е.
 $c_1 x = -\frac{P}{2} x + \frac{Pl}{3} \quad (e)$

Этот момент зависит от перемещения δ и постоянной $\frac{Pl}{3}$; следовательно всегда возможно найти значение δ при котором $M_2 = 0$.

Этот период имеет значение (*), но равносильно кривой изгиба и изгиба.

Положим в (e) $M_x = 0$, находим, что $x = \frac{1}{4}$. Следовательно, на расстоянии $x = \frac{1}{4}$ от точки А, изгибающий момент M_x , а следовательно и напряжение материала (нормальное) обращаются в нуль. При увеличении x — момент M_x становится отрицательным. Графически (фиг. 163) изгибающий момент представляется прямой



а ДС. Ранее было показано, что $M_x = E\theta \frac{1}{2} x$, следовательно, при $M_x = 0$ $\theta = \infty$, т.е. на кривой изгиба в точке D должна существовать точка перегиба и выпуклая часть переходит в вогнутую.

Вследствие полной симметричности нагрузки, правая часть изогнется так же как и левая и в точке E, стоящей на $x = \frac{3}{4} l$ от А будет подобная же точка перегиба. Это можно показать аналогично, если нарисовать y -е кривой изгиба для правой половины балки. Наибольшие значения M_x равные $\frac{Pl}{8}$ получаем в точках А, С и В. Точки А, В и С являются попарными экстремумами.

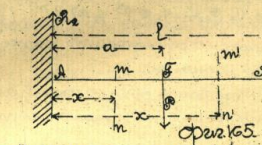
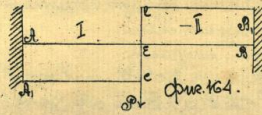
Углубившаяся стрелка прогиба будет в точке F и находится из y -е $y = \frac{1}{E\theta} \left\{ \frac{Pl^3}{12} + \frac{m\theta^3}{2} \right\}$ если подставить $m = \frac{Pl}{2}$ и $x = \frac{l}{2}$, то $f_{max} = \frac{1}{E\theta} \frac{Pl^3}{12}$ (I)

Для стрелки прогиба балки, лежащей свободно на двух опорах балка поизгины: $f = \frac{1}{48} \frac{Pl^3}{E\theta}$ (II)

след в последнем случае стрелка прогиба балки в Ара, т.е. для балки с заделанными концами.

График реакции силы ΣF построится так же как и для балки свободно лежащей на двух опорах. Как в 1-й (фиг. 164) так и во 2-й части срезающей сила будет постоянна по величине. Знак меняется при переходе через точку E. На участках АЕ и ЕВ, сгибывающий момент будет АЕ и ВВ (фиг. 163) ¹⁾ 1) Знаки АЕ и ВВ, они имеют зацепленные, согласно фиг. 163

Получим θ по изгибающей балку одним концом заделанную в другом, а другим лежащую свободно на опоре (ось балки горизонтальна), при этом на расстоянии a от заделанного конца сосредоточенная сила P (фиг. 165) ²⁾ 2) Если бы эта сила была в другом месте, то $\Sigma M = P \cdot a_1 - P \cdot a_2 = 0$, $\Sigma M_a = P \cdot a - P \cdot l - m = 0$, тогда как в данном случае неизвестны три P, a_1 и m .



Получим отсюда m на расстоянии x от точки А. Изгибающий момент $M_x = P(a-x) - P_1(l-x)$ и y -е кривой изгиба будет $E\theta y = P(a-x) - P_1(l-x) \dots (a)$ Это посылочное y -е будет y -е для части АЕ. Кривая изгиба будет состоять из двух частей АЕ и ЕВ, которая также сгибается в точке F. y -е кривой изгиба для части ЕВ будет иметь вид:

$$E\theta y = -P_1(l-x) \quad (b)$$

Интегрируя y -е (a) и (b) по два раза будем иметь следующие четыре y -е.

$$E\theta y = Pa x - \frac{1}{2} P x^2 - P_1 l x + \frac{1}{2} P_1 x^2 + C_1 \quad (c)$$

$$E\theta y = \frac{1}{2} P a x^2 - \frac{1}{6} P x^3 - \frac{1}{2} P_1 l x^2 + \frac{1}{6} P_1 x^3 + C_2 x + C_3 \quad (d)$$

$$E\theta y = -\frac{1}{2} P_1 l x^2 + \frac{1}{6} P_1 x^3 + C_4 \quad (e)$$

$$E\theta y = -\frac{1}{6} P_1 l x^3 + \frac{1}{24} P_1 x^4 + C_5 x + C_6 \quad (f)$$

Для определения постоянных примем во внимание следующие два обстоятельства: 1) это прогиба в А нет и 2) тангенс угла наклона в той же точке равен нулю, т.е. при $x=0, y=0$ и $y'=0$. Подставляя в первый два уравнения (c) и (d) значения $x=0$, получим: $C_1 = C_3 = C_5$, а эти y -е примут вид:

$$E\theta y = Pa x - \frac{1}{2} P x^2 - P_1 l x + \frac{1}{2} P_1 x^2 \quad (c')$$

$$E\theta y = \frac{1}{2} P a x^2 - \frac{1}{6} P x^3 - \frac{1}{2} P_1 l x^2 + \frac{1}{6} P_1 x^3 \quad (d')$$

Для определения постоянных в последних двух y -е (e) и (f) примем условия, что при $x=l$ (точка В) прогиб = 0,

из ур-ия (f) при $x=0$
 $0 - 1/2 R_1 l^3 + 1/6 R_2 l^3 + C_1 l + C_2$ откуда $C_1 = 1/3 R_1 l^3 - C_2 l$.
 Кроме того обе кривые имеют обычно касательную
 в точке D, т.е. при $x=a$, следовательно:

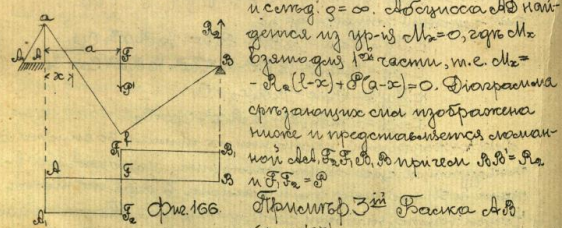
$E\Delta y' = E\Delta y'$; из этого получаем:
 $R_1 a - 1/2 R_1 a^2 - R_2 a + 1/6 R_2 a^3 = R_1 a + 1/6 R_2 a^3 + C_1$, откуда $C_1 =$
 $1/6 R_2 a^3 - R_2 a$, а отсюда $C_2 = 1/3 R_1 l^3 - 1/6 R_2 a^3$. Итак, ур-ия (e)
 и (f) для части ΣF обратятся в:

$E\Delta y = -R_1 l x + 1/2 R_1 x^2 + 1/6 R_2 x^3 \dots (e)$
 $E\Delta y = -1/2 R_1 l x^2 + 1/6 R_2 x^3 + 1/2 R_1 a x + 1/6 R_2 l^3 - 1/6 R_2 a^3 \dots (f)$

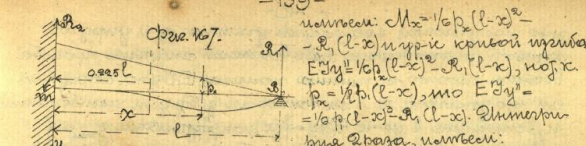
Полностью ур-ия (e, f) возможно определить каждую
 из реакций и зацепляющий момент.
 И, т. в точке D обе кривые имеют обычно ординату,
 то полагая $x=a$, можно приравнять правые части
 уравнений (e) и (f), получим:

$1/2 R_1 a^3 + 1/6 R_2 a^3 - 1/2 R_1 a^2 - 1/6 R_2 a^3 = 1/2 R_1 a^2 + 1/6 R_2 a^3 + 1/2 R_1 a^2 - 1/6 R_2 a^3$
 откуда $R_1 = 1/2 R_2 (3a^2 - a^2)$ и $R_2 = R_1 a^2 / (3a^2 - a^2)$ и
 наконец $m = R_1 l - R_2 a = 1/2 R_1 l (3a^2 - a^2)$

Эти величины реакций и зацепляющий момент легко
 вычислить, зная прогиба в любом сечении балки,
 а также найти наибольший момент и соответствующую
 силу. Кривая приближения моментов примет вид сло-
 мажной A, a, d, f, g (рис. 166). В точке D имеем $M_x = 0$



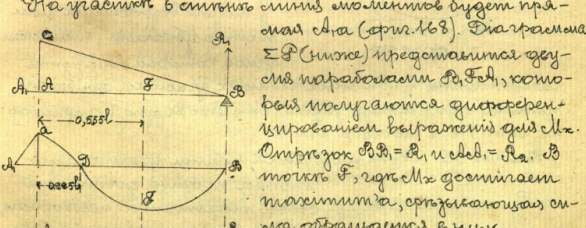
и отсюда $g = \infty$. Следовательно A, D най-
 дется из ур-ия $M_x = 0$, где M_x
 взято для 1^й части, т.е. $M_x =$
 $-R_1(l-x) + P(a-x) = 0$. Диаграмма
 соответствующая сила изображена
 ниже и представляется ломан-
 ной A, B, C, D, E, F при чем $R_1 = R_2$
 и $F_1 = F_2 = P$ (Фиг. 167).
 Прямая A, B (Фиг. 167), зацепляющая концов
 распределен по закону прямой линии с наибольшим
 значением $A, B = P$. Статика дает два ур-ия:
 $\Sigma V = 1/2 P l - R_1 - R_2 = 0$; $\Sigma M_A = 1/6 P l^2 - R_2 l = 0$
 Из произвольного сечения на расстоянии x от начала



имеем: $M_x = 1/6 P (l-x)^2 -$
 $- R_2(l-x)$ и по кривой изгиба
 $E\Delta y = 1/6 P (l-x)^3 - R_2(l-x)$, по x
 $P_1 = 1/2 P (l-x)$, то $E\Delta y' =$
 $= 1/2 P (l-x)^2 - R_2(l-x)$. Дифференци-
 рова 2 раза, имеем:
 $E\Delta y'' = -1/2 P (l-x) + R_2$
 $E\Delta y' = 1/2 P l (l-x)^2 + R_2(l-x) + C_1 x + C_2$
 Полагая $x=0$, находим $y=0$, поэтому $C_1 = 1/2 P l^2 - 1/2 R_2 l^2$
 Полагая $x=l$, имеем $y=0$ и отсюда $C_2 = -R_2 l + 1/2 R_2 l^3 - 1/2 P l^4$, а
 наконец:
 $E\Delta y = 1/2 P l (l-x)^2 - 1/6 P (l-x)^3 + (1/2 P l^2 - 1/2 R_2 l^2) x + 1/2 R_2 l^3 - 1/2 P l^4$
 Полагая $x=0$, найдем $y=0$ и отсюда
 $R_2 = 1/3 P l$ и $R_1 = 2/3 P l$

Экстремальный момент обращается в нуль при $x=l$,
 т.е. в точке B и при $x=l(1-\sqrt{3})$, где и рас-
 положена точка перегиба, D'.
 Наибольшая стрелка прогиба полагается для $x > 0$,
 при котором $y' = 0$, т.е. из условия
 $-P(l-x) + \frac{P}{2}(l-x)^2 + \frac{P}{2}l - \frac{P}{2}l = 0$ имеем $x = 0,55l$.

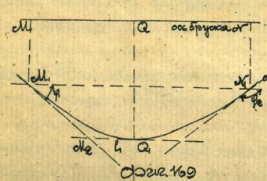
Диаграмма моментов представляется кривыми 3^{го} поряд-
 ка A, B, C, D, E, F , при чем D - точка перегиба, где $M_x = 0$.



На графике в стрелку миним. моментов будет пря-
 мая A, C (Фиг. 168). Диаграмма
 ΣF (сила) представляется дву-
 ма параболами A, B, C, D , кото-
 рые поворачиваются диаметрально
 противоположно вращений для M_x .
 Окружок $B, D = R_1$ и $A, D = R_2$. В
 точке F, где M_x достигает
 максимума, соответствующая си-
 ла обращается в нуль.
 При разорвант балок на изгиб
 весьма важно надо знать на-
 наибольшую стрелку прогиба в
 том сечении, когда вращение
 силы заданы таким образом,

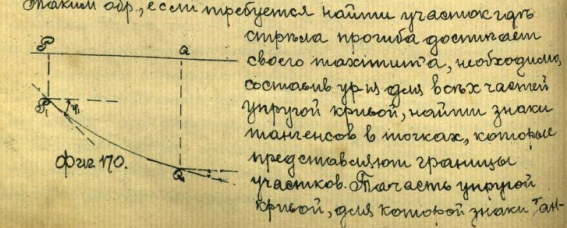
это получается всего один участок дуги упругой кривой, нахождении наибольшей стрелы прогиба весьма просто, а именно полагая $E\Delta y = 0$, определяем то значение x , при котором y будет наибольшим и, вставив в ур-е $E\Delta y = f(x)$, определяем $y_{max} = f$.

Но когда внешние силы разбиваются на несколько ряд упругих кривых, отыскание наибольшего значения дуги стрелы прогиба усложняется, ибо неизвестно в каком на каком участке находится этот максимум. Чтобы определить несколько участков, поступаем на основании следующего соображения. Ординатами кривой в участке AB надается f_{max} принимается от M до N макс, то одна из них полагая наибольшие значения в точке A , то касательная в A , будет горизонтальной т.е. угол, образуемый ею с осью абсцисс, обратится в нуль. Очевидно, следовательно, если дуга стрелы AM дуги y (фиг. 169) образуемая касательной M_1A_1 с осью x в M мы считаем положительной, тогда y от M до A убывает и дуга может оказаться отрицательной.



Если в какой дуге участка упругой кривой ордината y только возрастает или только убывает, тангенсы углов, которые образуют касательная в конечных точках участка должны иметь одинаковые знаки, как это видно например на фиг. 170 в точках A_1 и A_2 .

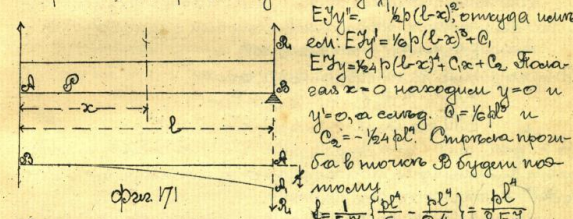
Таким обр., если требуется найти участок где стрела прогиба достигает своего максимума, необходимо составить ур-е для всех частей упругой кривой, найти знаки тангенсов в точках, которые представляют границы участков. Тогда если упругой кривой, дуга которой макс. тан-



генсов в ее крайних точках будут разноименны, содержим в себе f_{max} .

Может быть случай, что таких участков окажется не один, а больше, тогда придется в каждом из них найти соответствующую наибольшую ординату и из всех полученных найдем абсолютный максимум.

В рассматриваемой задаче может быть форму и несколько иное. Напр., балка свдв (фиг. 171), заделанная в A и свободно лежащая на опоре B , нагрузке на равноотлично распределенным грузом pl . Если бы опора не существовала, то балка прогнулась бы по кривой, которая получается из ур-ий:

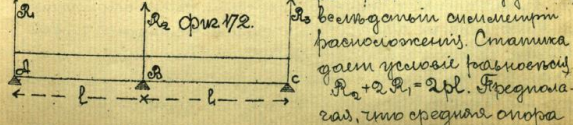


$E\Delta y'' = \frac{1}{2} pl(l-x)^2$, откуда интегр. $E\Delta y' = \frac{1}{6} pl(l-x)^3 + C_1$, $E\Delta y = \frac{1}{24} pl(l-x)^4 + C_1x + C_2$. Полагая $x=0$ находим $y=0$ и $y'=0$, а следовательно $C_1 = \frac{1}{8} pl^2$ и $C_2 = -\frac{1}{24} pl^3$. Отсюда прогиб y в точке B будет по формуле $f = \frac{1}{8} pl^2 \left(\frac{1}{6} - \frac{1}{24} \right) = \frac{1}{8} pl^2$.

При наличии опоры в B прогиб быть не может, а потому реакция R_1 по величине должна равняться сумме дугаментов большой, чтобы ввиду в своей середине обратный прогиб, равный f . Другими словами сила R_1 должна удовлетворять равенству:

$$-f = \frac{1}{8} pl^2, \text{ откуда } R_1 = -\frac{1}{8} pl^2$$

Подобным же образом формулой, следующая задача: балка лежит на трех опорах A, B и C с пролетами $AB = BC = l$ (фиг. 172); нагрузка равномерно распределенная pl в д. на п. ед. Реакции в крайних опорах равны и между собой, вследствие симметрии равноотлично. Статика дает прогиб в середине $R_2 + 2R_1 = 2pl$. Предположив, что средняя опора



определяют, получаем прогиб в точке B равным

$$f = \frac{10}{48} \frac{R_2 l^3}{EJ}$$

Если в точке B приложить силу R_2 , направленную вверх и способную уравновесить такой прогиб, то очевидно, эта сила будет равна искомой реакции. Но сосредоточенная сила приложена в середине между опорами, вычисляем прогиб балки:

$$f = \frac{R_2 (2l)^3}{48 EJ}, \text{ следовательно } f = l = \frac{R_2 (2l)^3}{48 EJ} = \frac{10 R_2 l^3}{48 EJ}$$

$$\text{откуда } R_2 = \frac{5}{4} R_1$$

Эту же задачу можно решить общим путем. Известно то, что $R_1 = R_2$ и $AB = l = AC$, полагая начало координат в B, найдем, что ур-е кривой прогиба для обеих частей балки получим одинаковый вид:

$$EJy'' = -R_1(l-x) + \frac{1}{2} R_2(l-x)^2$$

Двукратное интегрирование дает:

$$EJy' = \frac{1}{2} R_1(l-x)^2 - \frac{1}{6} R_2(l-x)^3 + C_1$$

$$EJy = \frac{1}{6} R_1(l-x)^3 + \frac{1}{24} R_2(l-x)^4 + C_1x + C_2$$

т.к. при $x=l, y=0$, то $C_2 = -C_1$. С другой стороны, всегда этот симметрич при $x=0, y=0$, а потому $C_1 = \frac{1}{6} R_1 l^3 - \frac{1}{6} R_2 l^3$, окончательно имеем:

$$EJy = \frac{1}{6} R_1(l-x)^3 + \frac{1}{24} R_2(l-x)^4 - (\frac{1}{6} R_1 l^3 - \frac{1}{6} R_2 l^3)x - \frac{1}{6} R_1 l^3 + \frac{1}{6} R_2 l^3$$

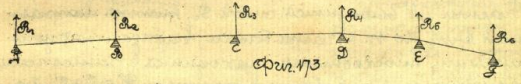
$$\text{Но при } x=0, y=0, \text{ а потому имеем: } R_2 = 2R_1 - 2R_1 = \frac{5}{4} R_1$$

Неразрывные балки.

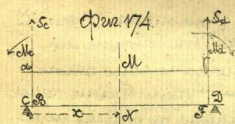
Неразрывными балками называются стальные балки, свободно лежащие большими на двух опорах. Перекрытые одинаковых пролетов одной балкой дают почти всегда такую же картину в плане и меньше прогиб по сравнению с перекрестием тех же пролетов рядом отдельных балок, потому что сплошная балка пользуется довольно большим пространством в моментном плане. В стальной балке почти всегда встречается применение стальных неразрывных балок в виде напр. половик или подпольных балок, подфермы стальных колонн и т.п. Неразрывными балками являются также то

отдельный случай балка лежащая на трех опорах. Ввиду простой нагрузки, а также вследствие симметричности ее при равенстве пролетов, все реакции опор получаются довольно просто. Вопрос значительно усложняется, когда пролеты группы несимметричны, а в особенности, когда число пролетов велико. Общий прием решения, который показан был в вышеприведенных примерах, становится неудобным по причине умножительности реакций большого числа довольно сложных ур-ий. Кроме указанного метода Кларутона, так называемая теорема о трех моментах.

Для определения реакций опор в неразрывной балке, возьмем следующую схему. Балка лежит на n опорах, следовательно перекрывает n-1 пролетов. Опоры лежат на разных уровнях (см. фиг. 173), на



грунт в плане совершенно произвольная; поперечное сечение балки постоянно или в пределах пролета. Выберем один пролет CD в сторону левых концов, чтобы плоскости опоры A, B, F лежали (фиг. 174) -



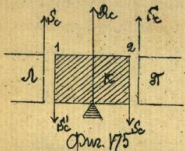
первая правая опора C - вторая левая опора D на весьма близком, от соответствующих опор, расстоянии. Очевидно, чтобы вышесказанная часть оставалась в равновесии, в точке C должен возникнуть момент M_C , уравновешивающий моменты всех внешних сил, расположенных по левую сторону данного пролета.

Подобно этому в D будет действовать момент M_D , моменты M_C и M_D представляют собой эти моменты для опоры A и F. Выводить того, что моменты эти происходят над опорами,

1) Включая, следовательно, и силы опорных реакций

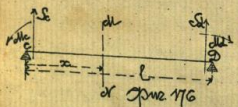
моментов M_c, M_d, \dots дают название опорных моментов. Кроме того, т.к. при изгибе в каждой опоре возникают сдвигающие силы, перпендикулярные к оси, то кроме опорных моментов, силами взаимодействия стержневых частей балки Лейбнера силы S_c в стержне α и S_d в стержне β .

Представим себе, конечно, что около какой либо опоры β с двумя плоскостями 1 и 2 (Фиг. 175) по обе стороны опоры, на весьма близком расстоянии друг от друга вырезана часть балки k .



Тогда взаимодействия правой стержневой "П" на часть "К" заштрихованную; кроме изгибающего момента выразится силой S_c , направленной, очевидно,

вниз. Совершенно также действие стержневой левой части "Л" выразится силой S_d , также направленной вниз. Но т.к. часть балки, вырезанная упомянутыми плоскостями, находится в равновесии, то должно существовать равенство: $R_c = S_c + S_d$, т.е. реакция опоры равна сумме сдвигающих сил, действующих в пределах вырезанной около данной опоры. Так. обр. вопрос об определении величины реакции сводится к определению сдвигающих усилий.



возьмем на расстоянии x от опоры β (Фиг. 176) стержень $M\alpha$. Прибавим момент относительно этого стержня (если будем брать силы, расположенные по одну сторону), будет равен опорному моменту M_c , связанному с силами S_c и M_e .

$$M_x = M_c + M_e - S_c x \quad (a)$$

Если отнесем этот момент к опоре β , т.е. положим $x=l$, получим, очевидно, зависимость:

$$M_d = M_c - S_d l + M_e \quad (b)$$

где M_e — момент заданных внешних сил на проекции CD относительно точки β . Определив из выражения (a) величину S_c , найдем:

$$S_c = \frac{1}{l} (M_c - M_d + M_e) \quad (I)$$

и подставляя найденное значение в выражение (a) получим величину изгибающего момента в сечении:

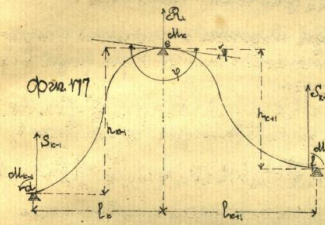
$$M_x = M_c - \frac{1}{l} (M_c - M_d + M_e) x + M_e \quad (II)$$

Сдвигающая сила S_x в сечении $M\alpha$, очевидно, будет равна силе S_c , связанной с сечением внешние силы (P_i) на участке CD , взятый с обратным знаком, т.е.

$$S_x = -S_c + P_i = -\frac{1}{l} (M_c - M_d + M_e) + P_i$$

откуда $S_x = -S_c + \frac{P_i}{l} = -\frac{1}{l} (M_c - M_d + M_e) + \frac{P_i}{l} \quad (III)$

Теорема Дарбутона или теорема о трех моментах.



Пусть мы имеем β опоры (Фиг. 177) — $(k-1), k$ и $(k+1)$, выделенная выделено из балки, отмеченной на n опорах и dn — направление упругой кривой после деформации; h_{k-1} и h_k представляют моменты (или прогибы) опор α и β относительно e .

Наружка балки может вообще состоять из вертикальных сосредоточенных и распределенных сил. Но так как вопрос в общем случае решается довольно трудно, то сначала выведем эту теорему только для распределенного груза, закон распределения которого в промежутке β между опорами $(k-1), k$ и $(k+1)$ действительность считать непрерывными стержневыми моментами: M_{k-1}, M_k, M_{k+1} и β крайние стержневые моменты S_{k-1} и S_{k+1} ?

В стержне около какой либо m -й опоры действительность сдвигающих сил S_{m-1} и S_{m+1} относительно e направлены вниз, сдвигающие силы наоборот стержневые S_{m-1} и S_{m+1} на И. Бобаринцев

сем прямих $(x-1)$ в сторону (рис. 178) и, вращая дан-
 ную пи-стопку весьма близко лежащую
 отсюда отпоры, возмем степеня на
 расстоянии z от средней отпоры k .
 Амплитудный момент cl_k этой отпоры
 степеня будет равен: $cl_k = cl_k - S_k z + m_k z$.
 В отпоры z представим
 момент вышней нагрузки на отпор-
 кате x относительно выбранного отпоры k .
 Согласно выражений, $S_k = \frac{1}{l_{k+1}} (cl_k - cl_{k+1} +$
 $+ m_{k+1})$ найдем:

$$cl_k = cl_k - \frac{1}{l_{k+1}} (cl_k - cl_{k+1} + m_{k+1}) z + m_k z$$

Если нагрузка упрямости будет E , момент инерции
 степеня в данном отпоры l_{k+1} , то упр-е упрямой кривой
 будет:

$$cl_k - \frac{1}{l_{k+1}} (cl_k - cl_{k+1} + m_{k+1}) z + m_k z =$$

$= EY_{k+1} \frac{dy_{k+1}}{dx}$, где y_{k+1} отсчитывается к попер-
 еку отпоры. Проинтегрировав это упр-е два раза в пре-
 деллах от 0 до x , найдем:

$$EY_{k+1} \left(\frac{dy_{k+1}}{dx} - \text{tg } \varphi \right) = cl_k x - \frac{1}{l_{k+1}} (cl_k - cl_{k+1} + m_{k+1}) \frac{x^2}{2} + m_k x^2$$

(где $\text{tg } \varphi$ представляем значение y' при $x=0$)

$$EY_{k+1} (y_{k+1} - x \text{tg } \varphi) = cl_k \frac{x^2}{2} - \frac{1}{l_{k+1}} (cl_k - cl_{k+1} + m_{k+1}) \frac{x^3}{6} + \frac{1}{2} m_k x^2 dx$$

Отпоры интегрируя представим амплитудные
 упр-е упрямой кривой в отпоры $(k+1)$. Отсюда его криво-
 ная $(k+1)$, мы получим преобразование или повороты отпо-
 ры $(k+1)$ над отпоры k , т.е. при $x = l_{k+1}$, $y_{k+1} = h_{k+1}$ и
 интеграл примет вид:

$$EY_{k+1} (h_{k+1} - l_{k+1} \text{tg } \varphi) = cl_k l_{k+1}^2 - \frac{1}{l_{k+1}} (cl_k - cl_{k+1} + m_{k+1}) \frac{l_{k+1}^3}{6} +$$

$$+ \int_0^{l_{k+1}} \int_0^{l_{k+1}-x} (m_k dx) dx$$

или отсюда h_{k+1} и S_{k+1} при $x = l_{k+1}$ найдем, оставив интеграл
 отпоры $(k+1)$ относительно отпоры (k) .

$$GE \left(\frac{h_{k+1} - \text{tg } \varphi}{l_{k+1}} \right) = \frac{2 cl_k l_{k+1}}{l_{k+1}} - \frac{(cl_k - cl_{k+1} + m_{k+1})}{l_{k+1}} \frac{l_{k+1}^2}{2} + \frac{6}{l_{k+1}} \int_0^{l_{k+1}} \int_0^{l_{k+1}-x} (m_k dx) dx \dots (c)$$

или отсюда h_{k+1} и S_{k+1} при $x = l_{k+1}$ найдем, оставив интеграл
 отпоры $(k+1)$ относительно отпоры (k) .

Получим теперь кривоую x , при чем момент упр-
 касательной с осью oe , $\varphi = 180^\circ + \psi$ (рис. 179). Это
 же касательная S_k по осе-
 кругу, величина ее будет
 $S_k = \frac{1}{l_k} (cl_k - cl_{k-1} + m_k)$, а упрям-
 ости момент
 $cl_k = cl_k - \frac{1}{l_k} (cl_k - cl_{k-1} + m_k) x + m_k x =$
 $= EY_k y''$

Этими упр-ми это упр-е 2 раза
 интегрируя от 0 до x , найдем
 момент h_k , $\text{tg } \psi = \text{tg } \varphi$, получим

$$EY_k \left(\frac{dy_k}{dx} + \text{tg } \varphi \right) = cl_k x - \frac{1}{l_k} (cl_k - cl_{k-1} + m_k) \frac{x^2}{2} + \int_0^x m_k dx$$

$$EY_k (y_k + x \text{tg } \varphi) = \frac{1}{2} cl_k x^2 + \frac{1}{l_k} (cl_k - cl_{k-1} + m_k) \frac{x^3}{6} + \int_0^x \int_0^{x-u} m_k dx du dx$$

Отсюда момент упр-е k отпоры $(k-1)$ получим отори-
 нту y_k , выразив упр-е преобразование или повороты отпо-
 ры (k) над отпоры $(k-1)$, т.е. при $x = l_k$, $y = h_k$, а
 интеграл отобразим в:

$$EY_k (h_k + l_k \text{tg } \varphi) = cl_k \frac{l_k^2}{2} + \frac{1}{l_k} (cl_k - cl_{k-1} + m_k) \frac{l_k^3}{6} + \int_0^{l_k} \int_0^{l_k-x} m_k dx dx$$

Умножив данное все упр-е на $\frac{6}{l_k}$, получим:

$$GE \left(\frac{h_k + \text{tg } \varphi}{l_k} \right) = 3 cl_k \frac{l_k}{l_k} - \frac{(cl_k - cl_{k-1} + m_k)}{l_k} \frac{l_k^2}{2} + \frac{6}{l_k} \int_0^{l_k} \int_0^{l_k-x} m_k dx dx \dots (d)$$

Сложив теперь получено (c) и (d) :

$$GE \left(\frac{h_{k+1} + h_k}{l_{k+1}} \right) = \frac{2 cl_k l_{k+1}}{l_{k+1}} + \frac{2 cl_k l_k}{l_k} - \frac{cl_k l_{k+1}}{l_{k+1}} - \frac{cl_k l_k}{l_k} - \frac{m_k l_k}{l_k} +$$

$$+ \frac{6}{l_{k+1}} \int_0^{l_{k+1}} \int_0^{l_{k+1}-x} (m_k dx) dx + \frac{6}{l_k} \int_0^{l_k} \int_0^{l_k-x} (m_k dx) dx \dots (e)$$

В этом упр-и в правой части cl_k, cl_{k-1}, cl_{k+1} , а так-
 же m_k и h_{k+1} и h_k упр-е (e) образуют
 три отпоры l_{k+1}, l_k и l_{k+1} и выразим
 отсюда h_{k+1} и h_k относительно h_k и h_{k+1} и
 найдем h_{k+1} и h_k при $x = l_{k+1}$ и l_k .
 Отсюда упр-е (e) образуют два отпоры l_{k+1} и l_k , если
 мы отобразим h_{k+1} и h_k относительно h_k и h_{k+1} и
 найдем h_{k+1} и h_k при $x = l_{k+1}$ и l_k .

опорас будут равны нулю, если балка не сгибается за эти опоры. В противном случае M_n и M_{n+1} надо считать нулевыми. Следовательно, неизвестных опорных моментов всегда будет $(n-2)$. Всего $n-2+2=n$ зависимостей, связывающих опорные моменты с данными нагрузками и размерами, определяем соответственно применением в M_1, \dots, M_n n -в. Найдем те значения опорных моментов, легко получим и величины реакций в опорах.

В общем виде ур-е (IV) - выражение данных Стариговым - довольно сложно для манипуляции с ними. Практически вопрос вычисления гораздо проще в обыкновенных случаях. Во-первых, да весовая нагрузка механическая, опоры рассматриваются на одной горизонтальной, почему величина $h_{k-1} = h_{k+1} = h_{k+1} = 0$ обращаются в нуль. Кроме того, в большинстве случаев данная балка по всему протяжении является одинакового поперечного сечения, т.е. $E = E_0 = \dots = E_n = const$.

Принимая два упрощающих предположения, предположим, как гласит Стариго, что весовые силы равномерно распределены по опорным пролетам балки. В таком случае члены m_{k-1}, m_k, m_k примут самый простой вид. Пусть нагрузка задана величиной p вт. на пог. ед. Тогда:

$$m_{k-1} = \frac{1}{2} p l_{k-1}^2, \quad m_k = \frac{1}{2} p l_k^2,$$

а потому интегрируя нас зависимость примет следующую простую форму:

$$M_{k-1} l_k + 2 M_k (l_{k-1} + l_k) + M_{k+1} l_{k-1} = \frac{1}{6} p l_{k-1}^3 + \frac{1}{6} p l_k^3 - \frac{1}{4} p l_{k-1}^2 l_k - \frac{1}{4} p l_k^2 l_{k-1} \quad (36)$$

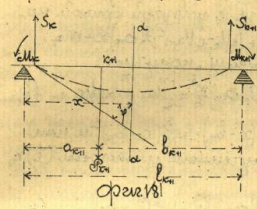
Если нагрузка p постоянна по всей длине балки, то ур-е (36) еще упрощается:

$$M_{k-1} l_k + 2 M_k (l_{k-1} + l_k) + M_{k+1} l_{k-1} - \frac{1}{4} p (l_{k-1}^3 + l_k^3) = 0.$$

1) Обозначим отныне, пусть балка сгибается, на величину y и имеет некоторую нагрузку (рис. 180). Не трудно видеть, что опорный момент равен моменту груза на расстоянии l относительно опоры.

Нагрузка сосредоточенная.

Рассмотрим горизонтально расположенную многоопорную балку одинакового сечения; в каждой опоре поставим поочередно сосредоточенной силой. Выберем $k+1$ пролет в сторону и возьмем отрезок αx (рис. 181)



Согласно упрощенному виду здесь будут два уравнения изгибающего момента M_{k+1} и M_{k-1} - в той же точке дуга второго уравнения будет:

$$E I \frac{d^2 y}{dx^2} = M_k = c l_k S_{k+1} + M_{k+1} = M_{k-1} + c (M_k l_{k-1} + M_{k+1} l_{k+1}) x + M_{k+1} \dots (g)$$

Здесь очевидно $m_k = P_{k+1} (x - a_{k+1})$ и $m_{k-1} = M_{k-1} = P_{k+1} (l_{k-1} - a_{k+1})$
 т.е. $m_{k-1} = P_{k+1} l_{k-1}$

Если выстроим, то если M_{k+1} имеет реактивное значение M_{k+1} в пределах от a_{k+1} до l_{k+1} и при этом значение $x - a_{k+1}$ от 0 до a_{k+1} он обращается в нуль, ибо уже при $x = a_{k+1}$ момент

$$M_{k+1} (x - a_{k+1}) = 0.$$

Поэтому при интегрировании ур-я (g) в пределах от 0 до x последний член может быть интегрирован лишь от a_{k+1} до x . Поэтому имеем:

$$E I (y - \alpha l_k y) = c l_k \frac{x^3}{6} + \frac{1}{2} (M_k - M_{k-1} + M_{k+1}) \frac{x^2}{2} + \int_{a_{k+1}}^x p m dx$$

или для рассматриваемого случая:

$$E I (y - \alpha l_k y) = c l_k \frac{x^3}{6} + \frac{1}{2} (M_k - M_{k-1} + M_{k+1}) \frac{x^2}{2} + \frac{1}{2} P_{k+1} (x - a_{k+1})^3 \dots (i)$$

Относительно ур-я (i) к правой опоре, т.е. к $k+1$, и принимая во внимание, что на опорах прогиб равен нулю, найдем при $x = l_{k+1}$

$$- E I l_{k+1} \alpha y = \frac{1}{6} c l_k l_{k+1}^3 + \frac{1}{4} c (M_k - M_{k-1} + M_{k+1}) l_{k+1}^2 - \frac{1}{6} P_{k+1} (l_{k+1} - a_{k+1})^3$$

$$- \frac{1}{2} P_{k+1} l_{k-1} l_{k+1} (l_{k+1}^2 - l_{k-1}^2) \dots (k)$$



Переходим к пролету l_k (рис. 182) возьмем стержень BA на расстоянии x от правой опоры. Тогда изгибающий момент M_x найдемся (отсчет ведется от левого стержня) $M_x = M_k - S_k x + m_k x = M_k - S_k x + P(x - b_k)$, но $S_k = \frac{1}{l_k} (M_k - M_{k-1} + m_k l_k) = \frac{1}{l_k} (M_k - M_{k-1} + P_k a_k)$,

а потому дифференциальное уравнение кривой на участке BA будет: $EI y'' = M_k - \frac{1}{l_k} (M_k - M_{k-1} + P_k a_k) x + m_k x$. Разрешая подобно предыдущему, получим:

$$EI^3 (y_k - y_{k-1}) = M_k \frac{x^3}{6} - \frac{1}{2l_k} (M_k - M_{k-1} + P_k a_k) \frac{x^3}{2} + \frac{m_k}{6} x^3 \dots (l)$$

или т.к. $\int_0^{l_k} dx \int_0^x dx \int_0^x dx = \int_0^{l_k} P_k (x - b_k) = \frac{1}{2} P_k (x - b_k)^2$ и при $x = l_k, y = 0$ найдем, отбросив полученный интеграл (l) с левой опоры $\frac{P_k a_k}{6}$

$$-EI l_k^3 \text{tg} \varphi_k = M_k \frac{l_k^3}{6} - \frac{1}{2} (M_k - M_{k-1} + P_k a_k) \frac{l_k^3}{6} + \frac{m_k l_k^3}{6} \dots (m)$$

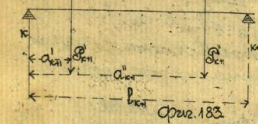
Лучше выразим, что $\text{tg} \varphi_k = -\text{tg} \varphi_{k-1}$, а отсюда из (m):

$$\text{tg} \varphi_k = \frac{1}{6EI} [2M_k l_k^3 + M_{k-1} l_k^3 - \frac{1}{2} P_k a_k (l_k^3 - a_k^2)] \dots (n)$$

Составив выражения (n) и (o) поочередно, найдем:

$$M_k - l_k + 2M_{k-1} (l_k + l_{k-1}) + M_{k-2} l_{k-1} = \frac{1}{2} P_k a_k (l_k - a_k^2) + \frac{P_{k-1} a_{k-1}}{l_{k-1}} b_{k-1} \dots (37)$$

Если в пролете находится больше чем один груз, то вагон считается совершенно неподвижным образом. В самом деле, пусть в пролете l_{k-1} приложены два сосредоточенных груза P_{k-1} и P_{k-2} на расстояниях a_{k-1} и a_{k-2} от левой опоры (к) (рис. 183). Если приложены один груз P_{k-1} , то при всех прочих равных условиях будут действовать опорные реакции M_{k-1} , M_k и M_{k+1} связанным условием



то при всех прочих равных условиях будут действовать опорные реакции M_{k-1} , M_k и M_{k+1} связанным условием

$$M_{k-1} l_{k-1} + 2M_k (l_{k-1} + l_k) + M_{k+1} l_k = \dots (38)$$

Очевидно, что вследствие независимости грузов M_{k-1} , M_k и M_{k+1} будут $M_k = M_{k-1} + M_{k+1}$ и т.д., а потому найдем, составив (37) и (38):

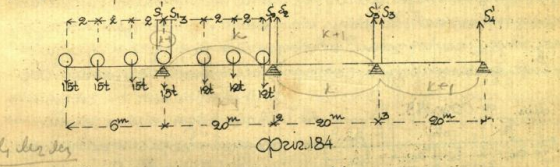
$$M_{k-1} + 2M_k (l_k + l_{k-1}) + M_{k+1} l_{k-1} = \dots (39)$$

$+\frac{1}{l_{k+1}} P_{k+1} l_{k+1} (l_{k+1} - b_{k+1}) + \frac{1}{l_{k+1}} P_{k+1} l_{k+1} (l_{k+1} - b_{k+1})$, и вообще будем иметь зависимость:

$$M_{k-1} l_k + 2M_k (l_{k-1} + l_k) + M_{k+1} l_{k-1} = \sum \frac{P_k a_k (l_k - a_k^2)}{l_k} + \sum \frac{P_{k+1} a_{k+1} (l_{k+1} - b_{k+1}^2)}{l_{k+1}}$$

Не трудно прийти к заключению, что если крайние стержни сосредоточенных надр примем во внимание и силы распределенные по какому либо заданному закону, то в правой части будут добавлены соответствующие члены. Напр. при нагрузке равномерно распределенной $\frac{1}{4} P_k l_k^3 + \frac{1}{4} P_{k+1} l_{k+1}^3$ и т.д.

Для примера возьмем такой случай: стержневая балка перекрывает 4 пролета по 20 мт. каждая и соединяется с левой крайней опорой на 6 м. Груз паровоза и тендера расположен, как указано на рис. 184. Нагрузка оси паровоза 15 т. и тендера 12 т. внос погонной единицы (1 мтр. длины осями = 0,5 т.), найти реакции опор. Решим



$M = 15(6+4) + 6 \cdot 0,5 \cdot 3 = 180 \text{ т/м}$, $M_1 = 0$
 Для первого и второго пролетов $180 \cdot 20 + 2M_2(20+20) + M_3 \cdot 20 = \frac{1}{2} \cdot 12 \{3(20^2 \cdot 3^2) + (20^2 - 5^2) \cdot 5\} + 7(20^2 - 2^2) + \frac{0,5 \cdot 20^3}{2}$

Для второго и третьего пролетов: $M_2 \cdot 20 + 2M_3(20+20) = \frac{0,5 \cdot 20^3}{2}$ или $80M_2 + 20M_3 = 157$ отсюда $M_2 = 13,05 \text{ т}$, $20M_2 + 80M_3 = 2000$ " $M_3 = 21,61 \text{ т}$

Переходим к определению срезунающих сил S_x = элемент сил, лежащих между $S_x = 315 + 6 \cdot 0,5 = 48 \text{ т}$
 $S_2 = \frac{1}{2} (M_1 - M_2 + m_2) = \frac{1}{2} (0 - 13,05 + 12(17+13) + 20 \cdot 0,5 \cdot 10) = 40,77 \text{ т}$
 $S_3 = -S_1 + 3 \cdot 12 + 20 \cdot 0,5 = -40,77 + 46 = 5,23 \text{ т}$

$$S_2 = \frac{1}{2} q_1 (M_2 - M_1 + M_2) = \frac{1}{2} (13,6 - 21,5 + 20 \cdot 10,0,5) = 4,6 \text{ t}$$

$$S_3 = -S_2 + 20,0,5 = -4,6 + 10 = 5,4 \text{ t}$$

$$S_4 = \frac{1}{2} q_1 (M_3 + M_4) = \frac{1}{2} (21,5 + 20 \cdot 0,5,10) = 6,08 \text{ t}$$

$$S_4 = -S_3 + 20,0,5 = -6,08 + 10 = 3,92 \text{ t}$$

$$S_4 = 0$$

Составляем соответствующие уравнения силы на опорах.

$$R_1 = S_1 + S_2 = 88,77 \text{ t}$$

$$R_2 = S_2 + S_3 = 9,85 \text{ t}$$

$$R_3 = S_3 + S_4 = 11,48 \text{ t}$$

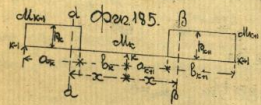
$$R_4 = S_4 + S_5 = 3,92 \text{ t}$$

всего 114 т

Принимая во внимание, что 4^е колесо паровоза поставлено непосредственно над первой опорой необходимо учесть силу R_1 на 15 т.

$$R_1 = 88,77 + 15 = 103,77 \text{ t, при чем } \Sigma R = 120 \text{ t,}$$

что как раз равно заданной нагрузке. Есть многопролетная балка имеет равномерно распределенную нагрузку не по всей длине пролета или пролетов, а или на части одного или каждого из них, то решение находится порядком, указанным для нагрузок сосредоточенными грузами. Если в пролете $k+1$ стеньги $\frac{1}{3}$ на расстоянии x от средней опоры и найдем уравнение $EI y'''' = M_k - S_k x + M_{k+1}$, постои двойного интегр. найдем



Если в пролете $k+1$ стеньги $\frac{1}{3}$ на расстоянии x от средней опоры и найдем уравнение $EI y'''' = M_k - S_k x + M_{k+1}$, постои двойного интегр. найдем

$$EI(y - x^2 q) = M_k \frac{x^2}{2} - S_k \frac{x^3}{6} + \int_{a_{k-1}}^x \left\{ \frac{1}{2} p_{k-1} x^2 dx \right\} dx$$

Малогино для всего пролета:

$$EI(y + x^2 q) = M_k \frac{x^2}{2} - S_k \frac{x^3}{6} + \int_{a_{k-1}}^x \left\{ \frac{1}{2} p_{k-1} dx \right\} dx$$

Вставив вместо b_{k+1} и S_k их выражения и произведем интегрирование правых членов, найдем:

$$EI(y_{k+1} - x^2 q) = M_k \frac{x^2}{2} - \frac{1}{6} p_{k-1} \left\{ M_k - M_{k+1} + \frac{1}{2} p_{k-1} \frac{b_{k-1}^2}{b_{k-1}} x^2 + \frac{1}{2} p_{k-1} (a_{k-1}^2 - b_{k-1}^2) \right\}$$

Если в 1-м пролете $x = b_{k-1}$ и 2-м $x = b_k$, найдем сква-

дывая их по формуле:

$$M_{k-1} + 2M_k + M_{k+1} = \frac{1}{4} p_{k-1} a_{k-1}^2 b_{k-1} + \frac{1}{4} p_{k-1} b_{k-1}^2 a_{k-1} - \frac{1}{8} p_{k-1} (b_{k-1} - a_{k-1})^2 b_{k-1} + \frac{1}{8} p_{k-1} (b_{k-1} - a_{k-1})^2 a_{k-1}$$

Если $b_{k-1} = b_k$, $a_k = b_k = a_{k+1}$ и $p_k = p_{k+1}$, то получим:

$$M_{k-1} + 2M_k + M_{k+1} = \frac{1}{4} p_{k-1} (2a_{k-1}^2 - (b_{k-1} - a_{k-1})^2)$$

Асимметрия диаграммы изгибающих моментов для многопролетной стальной балки, как для всякой гетерогенной неопределяемой не может быть выстроена по помощи одного или двух элементарных методов.

Приходится заранее определить опорные моменты и при вычислении диаграммы, считая их уже известными. Пусть для балки $ABDE$ найдем эти моменты: M_A, M_B, M_C, M_D и M_E (см. рис. 186), отсюда выходя из B в направлении BC , а именно $M_A = 0, M_B = 2M_C, M_C = 0, M_D = 2M_E$ и т.д.; опорные моменты M_B, M_C, M_D затем вычисляем отрыв изгибающих моментов M_B, M_C, M_D для каждого пролета, считая вычисленную нагрузку как бы действующую на двухопорную балку т.е. полагая, что имеем стальные балки AB, BC, CD и DE , каждая нагружена своей нагрузкой с вычисленной ординатой M_B, M_C, M_D и M_E на A, B, C, D, E получаем функцию изгибающую y , y' , y'' в которых изгибающие моменты обращаются в нуль, указав этот переход построим диаграмму изгибающих моментов при помощи, так называемых, временных точек; оставаясь на них мы не будем.

Что касается составляющей силы ΣF , то диаграмма ее после нахождения реакций в опорах, находится весьма просто общим приемом. Между прочим следует отметить, что при решении многопролетных балок, построение диаграмм для M_k и ΣF особенно желательно, ибо, уменьшая значительно число вычислений, сразу определяется по стеньге балки, где следует произвести проверку на жесткости.

Внимательно изучившись, что многопролетный стальной стержень (рис. 181).

Батки полагается обычно для двухсторонних. Для
 толщина возмем некоторую величину. Требуется
 прекратить предположенное пространство длиной 24 м.
 и шириной 6 м. Поперечные батки лежат друг от
 друга на расстоянии 4 м и подвешиваются посредине
 длины конструкции каждой, образуя 4 пролета по
 4 м. Вязь потолка и его нагрузка составивот 500 кг.
 на 1 кв. м. площади пола. Нагрузка на каждую бат-
 ку будет около $4 \cdot 6 \cdot 500 = 32000$ кг. или 2000 кг. на по-
 мет. Свойствие симметрии можно считать, что сред-
 ние опорные моменты будут между собой равны,
 а т. к. крайние обращаются в нуль, то имеем: $5M =$
 $= \frac{1}{2} q l^2 = 16000 \frac{kg \cdot m^2}{m^2}$, откуда опорный момент на кон-
 це будет $M = 3200 \frac{kg \cdot m^2}{m^2}$.

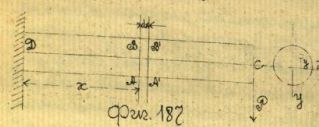
Если бы каждая пролет перекрывалась отдельными
 разрывными батками, то имеем бы:

$$M_{max} = 4000 \frac{kg \cdot m^2}{m^2}$$

след. во втором случае нагрузка поперечное сечение, а стало
 быть и вте батки полагается боковые. Наибольший
 изгибающий моменты в стальных батках обычно
 полагается в сечении над опорами, тогда как в
 разрывных они происходят в пролетах. Это обстоя-
 тельство следует отнести к преимуществу стальных
 перекрытий.

Работа внутренних сил при изгибе.

Разсмотрим наиболее простой случай: баток за-
 креплен одним концом в стену, на другой концы
 действует сосредоточенная сила P (рис. 187). Проде-



дем элемент dx и dy на расстоянии dx
 друг от друга. Воз-
 мем в сечении эле-
 менту dx , выделенный
 осью, пользуясь с обделком

dx dy . Материал dx подвешен относительно нейтральной оси, следовательно, его разделение сил при изгибе. Работа внутренних сил при разрывании (сжатии)

отнесенная к 1 куб. ед. равна $\frac{kx}{2E}$, где k - напряжение
 материала. Если площадь батка на расстоя-
 нии y от нейтральной оси, то $k = \frac{E y}{l}$, работа
 внутр. сил в рассматриваемом сечении будет
 $T = \int_0^l \int_0^h \frac{dx dy}{2E} k^2$. Форма же работа батки получит
 сд. симметризованием, т.е.

$$T = \int_0^l \int_0^h \frac{dx dy}{2E} k^2 \quad (2)$$

Нагрузка на напряжение материала в крайнем (напря-
 женом) волокне через k_1 для сечения dx и через k_2 для
 отсеченного сечения получим:

$k_1 \cdot x_1 = y \cdot E$ и $k_2 \cdot x_2 = (l-x) \cdot E$, откуда и $k_1 = \frac{E y (l-x)}{l^2}$

$$T = \int_0^l \int_0^h \frac{k_1^2 (l-x)^2 y^2}{2E^2} dx dy = \frac{k_1^2}{2E^2} \int_0^l dx \int_0^h y^2 dy = \frac{k_1^2}{6E^2} \int_0^l dx \cdot \frac{h^3}{3} = \frac{k_1^2 h^3}{18E^2} \int_0^l dx = \frac{k_1^2 h^3 l}{18E^2} \quad (3)$$

Для бруса с прямоугольным сечением $co = ah$, имеем:

$$T = \frac{4ah^3 l}{18 \cdot 3 h^2} \frac{k_1^2}{2E^2} = \frac{ahl}{9} \frac{k_1^2}{2E^2} = \frac{Y}{9} \frac{k_1^2}{2E^2} \quad (3a)$$

Для цилиндрического с диаметром d , имеем:

$$T = \frac{4nd^3 l}{64 \cdot 3 \cdot d^2} \frac{k_1^2}{2E^2} = \frac{nd^3 l}{48} \frac{k_1^2}{2E^2} = \frac{Y}{12} \frac{k_1^2}{2E^2} \quad (4)$$

Выражение (2) дает работу на протяжении разрывания
 и сжатия, т.е. нормальных. Однако же работа
 внутренних сил получится, если прибавим сюда
 еще работу касательных напряжений.

Последняя может быть найдена следующим путем.
 Называя через k_3 напряжение действующее на рассто-
 янии y от нейтральной оси в некотором сечении,
 найдем, что для бесконечно малого объема $dx dy$
 работа касательного напряжения будет $dx dy \frac{k_3}{2}$
 Вставив сюда значение k_3 и произведя интегрирова-
 ние по длине и по поперечному сечению,
 получим работу в объеме всего бруса в виде:

$$Q_3 = \frac{1}{2g} \int_0^l \int_0^h \left\{ \frac{d k_3}{dx} \frac{y dx dy}{2} \right\} dx dy \quad (4)$$

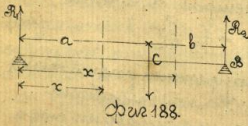
Так как сечение прямоугольника с шириной a
 и высотой h , найдем:

$$C_2 = \frac{1}{2g} \int_0^l \left\{ \frac{d\sigma}{dx} (h^2 - 4x^2) \right\}^2 dx$$

Как указывалось выше, работа внутренних сил при той или другой деформации бруска, происходящая на преодоление работы внутренних напряжений, сопротивлению воздуха, поднятие температуры и т. д. ввиду того, что все последние обстоятельства требуют весьма многократного превышения внешней силы, можно с весьма малой погрешностью полагать, что работа внутренних сил тратится исключительно на работу деформации. В таком случае ввиду того, чтобы выразить последнее через напряжение, возможно написать ее через внешний заданный stress, при чем получается другая зависимость, тогда будет удобнее, в самом деле, ее выразить (σ) ильем, заменив x через изгибающий момент M_x :

$$C_2 = \int_0^l \frac{d\sigma dx}{2E} \frac{dM_x^2}{J^2} = \frac{1}{2EJ^2} \int_0^l M_x^2 dx \quad (42)$$

Напр. для бруса, лежащего на двух опорах (рис. 188)



и нагрузкой P с сосредоточенной силой P ильем:

$$C_2 = \frac{1}{2EJ^2} \left[\int_a^c P^2(l-x)^2 dx + \int_c^b P^2 x^2 dx \right]$$

Первый интеграл относится к участку ac и второй — к cb .

Если $a = \frac{l}{2}$ и $b = \frac{l}{2}$, то оба интеграла искомая работа внутренних напряжений равна:

$$C_2 = \frac{P^2 a^3 (l-a)^3}{6EJ^2}$$

Что касается работы C_2 касательных напряжений, то благодаря введенному в выражении статическому моменту, нельзя написать общий вид, не задавая форму попереч. сечения. Если бы значения σ и σ_0 весьма отличались друг от друга, можно сказать а priori, что работа касательных напряжений во много раз меньше работы нормальных. Возьмем для примера только что рассмотренную балку; она ильем два участка: в первом, а ильем $ac = \Sigma P = P_1 = \frac{P}{2}$

и во втором $\Sigma P = P_2 = \frac{P}{2}$, пусть даны сечение бруса прямоугольное с основанием h и высотой h , тогда ильем:

$$C_2 = \frac{P^2}{2g} \int_0^l \left\{ \frac{h^2 - 4x^2}{8J} \right\}^2 dx = \frac{P^2}{2g} \int_0^l \left\{ \frac{h^2 - 4x^2}{8J} \right\}^2 dx$$

Процесс интегрирования в указанных пределах и для σ упрощен найдем:

$$C_2 = \frac{P^2 h^2 a^3 b}{120 g^2 J^2} = \frac{P^2 h^2 a^3 (l-a)}{120 g^2 J^2}$$

Вставив вместо J его величину $J = \frac{h^4}{12}$ найдем:

$$C_2 = 4 \frac{P^2 a^3}{g^2 h^2}, \text{ если примем, что } g = 0,8 E.$$

Когда сила приложена по середине бруса, то

$$C_2 = \frac{1}{3} \left(\frac{P}{h} \right)^2$$

Возьмем следующий пример. Балка длиной l мт. заделана одним концом в стену (рис. 189) и нагружена равномерно, от нее симметрично, действующая работа σ внутренних сил (напряжений нормальных) будет:

$$C_2 = \int_0^l \frac{d\sigma^2}{2EJ} dx = \frac{1}{2EJ} \int_0^l \left(\frac{P}{2} x \right)^2 dx = \frac{P^2 l^3}{40EJ}$$

Работа σ_0 касательных напряжений ввиду того, что при заданной форме поперечного сечения не существует один непрерывный закон распределения stress напряжений, а изменение его происходит при переходе от стержня к попереч. выразит двумя интегралами (по поперечному сечению) один от 0 до $\frac{h}{2}$ и другой от $\frac{h}{2}$ до h , а ильем:

$$C_2 = \frac{1}{2g} \left[\int_0^{\frac{h}{2}} P dx \left[\int_0^{\frac{h}{2}} \left(\frac{h-4y}{8J} \right)^2 dy \right] + \int_{\frac{h}{2}}^h P dx \left[\int_{\frac{h}{2}}^h \left(\frac{h-4y}{8J} \right)^2 dy \right] \right]$$

причем в первом интеграле (в скобках) ввиду h надо вставить h , во втором интеграле — h . Положим, что $h = \frac{1}{2} l$ и $g = 4E$, тогда:

$$C_2 = \frac{1}{4} \left(\frac{P}{h} \right)^2$$

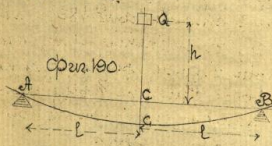
если опора принята, то $g = 0,8E$.

Обыкновенно, когда вычислить не требуется особой точности, полагают, что работа внешних сил равна работе только нормальных напряжений.

Если действующим только сосредоточенная сила, то работа на, а с другой, и внутренние силы можно быть выражена как сумма произведений на величину силы на перемещение ее точки приложения по направлению действия силы, т.е. на соответствующую ординату упругой кривой. Надпись силы через P_1, P_2, \dots, P_n и ординаты через y_1, y_2, \dots, y_n имеем:

$$G = \sum P y$$

Динамическое действие внешней силы. Пусть груз Q падает с высоты h (рис. 130) на следующую балку AB , лежащую на двух опорах и производит прогиб f .



Работа внешней силы, очевидно будет $G = Q(h+f)$. Если бы груз действовал статически, то стрела прогиба была бы $f_0 = \frac{Ql^3}{6EEI}$ и мы бы получили в виду:

$$G_0 = \int_0^{f_0} Qdf = \int_0^{f_0} \sqrt{\frac{6EEI}{l^3}} df = \frac{2}{3} Qf_0$$

Такая же будет работа внутренних сил, т.е. на протяжении Q_0 сила A , приложенная динамически вызывает деформацию f_0 . Работа внутренних сил будет $G_0 = \frac{2}{3} EI A f_0$, а так как по нашим допущениям она равна работе груза Q , то имеем $\frac{2}{3} EI A f_0 = Q(h+f_0)$ отсюда получаем:

$$f = \frac{Q_0 A}{6EEI} = \sqrt{\left(\frac{2}{3} \frac{Q_0 A}{6EEI}\right)^2 - 2h \frac{Q_0 A}{6EEI}} = f_0 \pm \sqrt{f_0^2 + 2hf_0} \quad (43)$$

Полученное выражение для динамической стрелы почти совсем аналогично выражению (5), которое

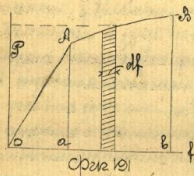
было получено для удлинений при динамическом растяжении. Разрешением подобными теми как и были приведены в этом параграфе, можно показать и здесь, что брусок, если предельная упругость f , начнет выпрямляться; вследствие этого груз в момент, когда ось соединится прямой, приобретет скорость $v = \sqrt{2gh}$ и поднимется на перпендикулярную высоту и явление повторится. Если же груз остается соединенным с балкой, то будет иметь место колебательное движение с центром, отстоящим от оси балки на величину f_0 . Конечно практически и здесь нельзя наблюдать явления в описанной форме по тем же причинам, о которых упоминалось в главе о растяжении. Но кроме того здесь надо обратить внимание на то, что балка на опорах лежит свободно и при перемещении груза вверх, ему придется увеличивать за собой и балку. Если же поставим упругие на опорах, то работа трения на них будет учтена. Если в выражении (43) считать $h=0$ т.е. допустить, что груз, не падая с высоты, действует динамически, то найдем, что $f = 2f_0$. Но так как:

$$f = \frac{Ql^3}{6EEI} = \frac{Al^3}{2,3EEI} = \frac{Al^3}{3EI} = \frac{kl^3}{3EE} \quad \text{и соответственно} \quad f_0 = \frac{kl^3}{3EE}$$

Получаем $k = 2k_0$, т.е. в предельной упругости при динамическом действии силы напряжения возрастают вдвое. Это обстоятельство необходимо принимать во внимание при расчетах.

Зависимость между деформацией и внешней силой за предельной упругости при изгибе, динамическое явление, так же как это наблюдается при растяжении и кручении. Аналогичность между действующей нагрузкой и статическим прогибом имеет

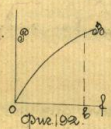
Если откладывать по оси абсцисс величины деформации (f), то получим диаграмму вообще в виде (Фиг. 101). Точка a является и здесь предельной пропорциональности. Кривая ab — формула для разных материалов и способов нагрузки и поперечные формы бруса и вообще аналитического вида могут быть не известны.



Фиг. 101

Легко видеть, что площадь диаграммы дает работу внешней силы, как и в случае закон Гука и кручения. В самом деле, взяв элемент df по оси абсцисс, найдем, что заштрихованная площадь Obc $df = \int_0^f P df$ выражает собой работу силы P .

Материалы малоэластичны, как глина, камень, которые едва дают диаграмму без резкого излома точки a , предельной пропорциональности как на фиг. 102.

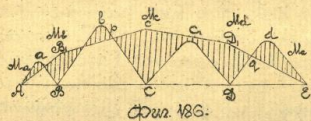


Фиг. 102

Наблюдения показывают, что за предельной упругости, структура прогиба состоит из двух частей, оставшейся и исчезающей, причем последняя уменьшается пропорционально деформации нагрузки. Напряжение так же как и деформации увеличивается за предельной упругости не по закону простой пропорциональности. Поэтому зависимость $M = E \cdot \epsilon$ справедлива только до предельной пропорциональности не может иметь места при оставшейся деформации. Действительно, представим себе, что брусок получил уже остаточную стрелку прогиба.

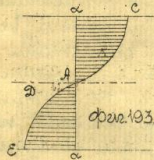
Это очевидно совпадает с тем, что в бруске находится удаленный от нейтрального слоя, находится под напряжением пренебрежимо предельной упругости.

По т. е. по закону приближения к нейтральному слою напряжений падает до нуля, то мы должны неизбежно прийти к заключению, что одновременно с тем, как брусок подвергается напряжению до предельной упругости. След. говорить о распределении напряжений по закону прямой линии невозможно, а потому невозможно зависимость $M = E \cdot \epsilon$.



Фиг. 103

Кроме того для материалов, для которых справедлива зависимость $M = E \cdot \epsilon$, получим, что и напряжения в крайних волокнах неодинаковы. Пусть ac (Фиг. 103) — некоторое сечение бруса. Наибольшие напряжения растяжения $K_1 = a \cdot c$ и сжатия $K_2 = E \cdot \epsilon$ в обоих распределении напряжений выразится кривой Obc Obc . Если поперечное сечение имеет симметричную ось симметрии, то из условия, что суммарная прогибная сила для противоположных частей правой (или левой) бруска должна равняться нулю, получим, что площадь Obc $Obc = \text{площ. } Obc$. Если эти условия точки a могут оказаться выше или ниже осевой линии бруска и, стало быть, нейтральный слой не будет больше содержаться в себе центра тяжести поперечного сечения.

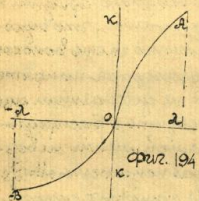


Фиг. 103

Вопрос о распределении напряжений по глубине давно занимается исследователями, но до настоящей вехи не были. Главным образом поддержан опытом Гугли, из одного и того же материала заготовились брусочки на растяжение и сжатие и изгиб. Доводы растягивания и сжимаемых брусочков до разрывания, строят диаграммы, которые

См. II. Остроуми. I. II. Бобариков.

представимось кривыми Oa — для влажных и Oa' для сухих сосис (рис. 194). Т.к. при разрушении указанных брусков на изгиб, протекшего всего наблюдаем разрыв волокон в растянутой части, то не трудно по данной диаграмме Oa' построить кривую напряжений материала в изогнутом бруске (в опасном сечении) в момент начала разрушения и затем подставить значения внутренних сил (нормальных напряже-



ний). Наблюдения показывают, что поперечный момент инерции лубины не равен действительному выходящему моменту, который легко находится по нагрузке машины. Причина в том, что причина этого несоблюдения лежит в разности усадки, в которых находится материал при растяжении (сокращении) отдельных брусков и при растяжении сосиски в массе изгибаемой балки. Но, конечно, впасть возможно и другие события, как напр., перекосывание поперечных стержней, возникновение касательных напряжений и т.д.

Разогретые ур-ня при изгибе

Если было найдено соотношение $\kappa = \frac{E_1}{E_2}$, дающее величину напряжений в растянутой (сжатой) части дуга волокна, относительно на расстоянии u от нейтрального слоя. С другой стороны существует зависимость $\sigma_{12} = \frac{E_1 u}{\rho}$. Умножением σ из этих двух ур-н получаем ур-е:

$$\sigma_{12} = \frac{E_1 u}{\rho}$$

связывающее между собой величину изгибающего момента, внутреннего (нормального) напряжения и радиуса бруска. По этой зависимости дана возможность найти, так наз., прочные радиусы бруска при заданной системе величин

ных сил и качества материала. Само собою понятно, что при расчетах необходимо принимать во внимание такое явление, для которого изгибающий момент $M_{изг}$, а следовательно и величина внутреннего напряжения κ , достигает максимума. Из упомянутого выше известно, что κ будет наибольшим для выходящих волокон, почему величину u надо принимать значение e — расстояние наиболее удаленного волокна от нейтрального слоя. Соотношение $\frac{M_{изг}}{W}$ называется модулем или моментом сопротивления и обозначается буквою W .

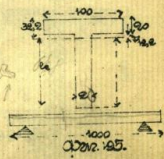
• А так как имеем:

$$M_{max} = W \cdot \kappa_{\max}$$

Если материал, как напр., древесина, плохо сопротивляется растяжению и сжатию, то под κ можно показать допустимое напряжение сжатия или растяжения волокон.

Другое явление наблюдается для таких материалов, как напр. глина, дерево и т.п. Если неравномерно внутренне сопротивлении растяжению или сжатию, то необходимо знать формулу на сопротивление, которое является сложным. Так напр., без опасения напряжением при сжатии дуга дуга можно принять (при 10-м запасе прочности) $0,6 \text{ кг/см}^2$ на см^2 , а при растяжении 1 кг/см^2 . Поэтому определяем радиус нейтрального слоя, на котором находится формулой: $0,6 = \frac{E_1 u}{\rho}$. Для глина наблюдаем явление обратное, для обыкновенного сорта глина $\kappa_{23} = 3 \text{ кг/см}^2$ (по 4-м запасу) и $\kappa = 10 \text{ кг/см}^2$ на сжатии. Поэтому при расчетах надо принимать первую цифру.

Наиб. дуга тавровой балки с стержнем поперечным, указанным на рис. 195, подвергнутой изгибу равномерно распределенным грузом в 1200 кг/см при расстоянии между опорами 1000 см имеем: $E = 314400 \text{ кг/см}^2$, $M_{max} = 500000 \text{ кг/см}^2$



$n e_1 = 30,2 \text{ т/м}$, $e_2 = 0,7,8 \text{ т/м}$. Напряжения n крайних волокон поперечного сечения

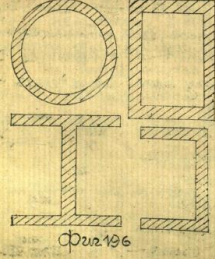
$$k = \frac{300000 \cdot 3980}{8144400} = 3,08 \text{ кг/см}^2$$

$$k = \frac{300000 \cdot 678}{314400} = 6,45$$

Из этих цифр видно, что широкое ребро довольно сильно подвержено растяжению, а узкое сжато. Определим прочие размеры по расчетному ур-ию $W_{\text{ог}} = M_{\text{max}}$ делаем проверку на скалывающую силу. Найдем для рассматриваемого сечения k_s в нейтральном слое:

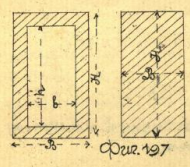
$$k_s = \frac{\sum p_i \cdot y_i}{\sigma_z \cdot k} = \frac{1200 \cdot 20 \cdot 2040}{20 \cdot 6710000} = 0,56 \text{ кг/см}$$

это внести достаточно, ибо для гнутого можно принять $k_s = 1,0 \text{ кг/см}$ на м^2 . Как указывалось выше, внутренние напряжения при изгибе $k_s = \frac{3E}{5}$ для данного поперечного сечения очень велика перемещаясь для различных y - расстояний от нейтрального слоя. Напряжений гасится, особенно ближе последнего, весьма мало, вследствие того эта часть материала почти не оказывает влияния на сопротивление бруска, подвергнутого изгибающему действию вышних сил. Поэтому весьма точно при проектировании деталей машин и других сооружений, поперечному сечению придать не симметричную форму, а такую как напр. на фиг. 196. Возьмем для примера так называемое, коробчатое сечение, применяющееся постоянно при сооружении мостов с большими пролетами и сравним его с симметричным сечением того же материала сопротивляемость при постоянном отношении высот к основанию (фиг. 197) Для коробчатой формы

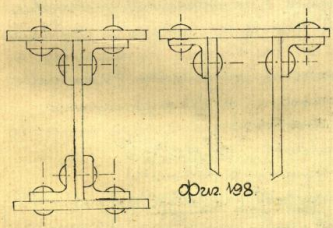


$W = \frac{\sigma H^3 - b h^3}{6H}$
 $W_1 = \frac{\sigma H_1^3}{6}$

- 165 -
 Пусть $H = 400$, $\sigma = 2$ и $H = 400$
 $h = 300$, $\sigma = 200$, $b = 150$ $W = 3650000$
 Сила $W_1 = W = 3650000 = \frac{1}{6} \sigma H^3 = \frac{H^3}{12}$ и $H = 382$, а $\sigma = 176$. Если бы вес куб. ед. материала равен b кг/см, то вес ед. длины бруска полого сечения будет $G = (\sigma H - b) \sigma$, вес сплошного $G_1 = \sigma H$, и $G = 35,62 = 43,5\%$ т.е. сплошной брусок на

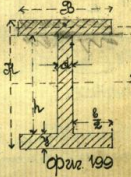


какой сопротивляемости изгибу. Но ввиду малого сечения по нейтральному слою, касательные напряжения в последнем для полой бруска будут значительно, потому при расчете проверка на скалывание безусловно необходима. При больших величинах высоты H , коробчатый, тавровый и др. пологий сечения составятся из нескольких листов, соединенных углами на заклепках. В этом случае необходимо определить напряжения касательных напряжений в нейтральной оси (фиг. 198). Для того чтобы показать, как велико бывает касательное напряжение, приведем следующий пример.



Для двутавровой балки с поперечным сечением (фиг. 199) $H = 400 \text{ т/м}$, $h = 360 \text{ т/м}$, $\sigma = 150 \text{ т/м}$, $b = 135 \text{ т/м}$

$a = 15 \text{ т/м}$. Для некоторого сечения скалывающая сила равна $\Sigma P = 20000$ кг/см. Определим касательные усилия в сечении I, II и III // нейтральному слою. Для данной формы поперечного сечения элемент ширины



-166-

Дана сфера I - выпрямление:

$$S = \frac{1}{2} \pi (2R^2 - h^2) = 275100000$$

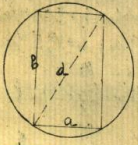
$$\int_0^{100} y dx = \frac{10 \cdot 150 \cdot 105}{150} = 1050 \text{ и } n = 150$$

сфера II $\int_0^{100} y dx = \frac{20 \cdot 150 \cdot 100}{15} = 38000 \text{ и } n = 15$

сфера III состоит из двух частей пополам и сверху части сд, поэтому найдем:

$$\int_0^{100} y dx + \int_0^{100} y dx = \frac{20 \cdot 150 \cdot 100 + 15 \cdot 100 \cdot 90}{15} = 54200 \text{ и } n = 15$$

В силу того, что момент инерции возрастает весьма быстро с увеличением высоты, следует принять поперечный сечение форму, имеющую большой радиус в плоскости изгиба. Но для обеспечения того условия, что сечение по инерционности само не должно быть очень мало, во избежание возникновения магнитных касательных напряжений, необходимо помнить следующее. Момент сопротивления, который вводим в ур-е прочности при изгибе, возрастает весьма быстро, нечем момент инерции, кроме того наибольшее значение последнего и всегда совпадает с наибольшим значением момента сопротивления. Также требуется из круглого стержня с диаметром d вырезать призматический подмоментальный сечение при условии у наибольшего момента сопротивления и z наибольшего момента инерции (сфера 200)



Дана сфера: $d^2 = a^2 + b^2$
 1) Момент сопротивления:

$$W = \frac{ab^2}{6} = \frac{a(d^2 - a^2)}{6}$$

 2) Момент инерции:

$$\frac{dW}{da} = \frac{d^3 - 3a^2}{6}$$

т.е. в момент производства $\frac{d^3 W}{da^3} < 0$, но из условия $\frac{dW}{da} = 0$ следует:

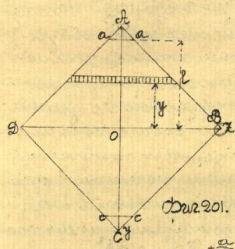
1) Макс. момент инерции будет при $b = a = \frac{d}{\sqrt{2}}$
 2) Момент инерции сечения:

$$J = \frac{ab^3}{12} = \frac{b^3 \sqrt{d^2 - b^2}}{12}$$

-167-

Так как в момент производства $\frac{d^3 W}{da^3} < 0$, то приравняв $\frac{dW}{da}$ нулю получим условие $d^3 - 3b^2 = 0$ откуда E_{max} при $b = a = \frac{d}{\sqrt{2}}$.

Всегда оказывается выгоднее в данной степени уменьшить высоту, при чем момент инерции увеличивается, а момент сопротивления возрастает; наивыгоднейшее сечение, если изгиб производится в том или одной из диагоналей (сфера 201)



Момент инерции пополам квадрата:

$$J_z = \int_0^{\frac{a}{\sqrt{2}}} kx^2 y^2 = \int_0^{\frac{a}{\sqrt{2}}} 2z y^2 dy$$

а т.к. ур-е стороны квадрата сд будет:

$$y \frac{\sqrt{2}}{2} + z \frac{\sqrt{2}}{2} = 1 \text{ то}$$

$$z = \int_0^{\frac{a}{\sqrt{2}}} \left(\frac{a}{\sqrt{2}} - y \right) 2y^2 dy =$$

$$= \left| \frac{2ay^3}{3\sqrt{2}} - \frac{2y^4}{4} \right|_0^{\frac{a}{\sqrt{2}}} = \frac{a^4}{12}$$

если у ребер д и с отрезаны призма, то момент инерции пополам квадрата сд будет:

$$J_z = \int_0^{\frac{a}{\sqrt{2}}} \left(\frac{a}{\sqrt{2}} - y \right) 2y^2 dy = \left| \frac{2ay^3}{3\sqrt{2}} - \frac{2y^4}{4} \right|_0^{\frac{a}{\sqrt{2}}} = \frac{4ab^3}{3\sqrt{2}} - b^4$$

Момент сопротивления пополам квадрата будет:

$$W = \frac{a^3 \sqrt{2}}{12}$$

$$W = \frac{4ab^3}{3\sqrt{2}} - b^4$$

Наибольшее значение W будет при b, которое найдем из условия:

$$\frac{dW}{db} = \frac{8ab}{3\sqrt{2}} - 3b^3 = 0 \text{ откуда}$$

$$b = \frac{2a}{\sqrt{2}} \text{ и } W_{max} = \frac{a^3 \sqrt{2}}{11.4} \text{, т.е. } W_{max} > W_{max}$$

Вспомогательные задачи.

а) Держимый башки.

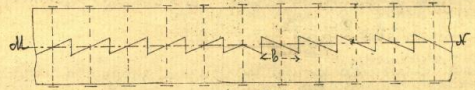
Если при изгибании пролетов деревянными балками, испытывающимися в распорке, брусья или бревна оказываются недостаточными в точки упругой сопротивляемости изгибающим моментам, то прибегают к укладке двойных или тройных балок. Чаще всего при этом балки имеют прямоугольное поперечное сечение; пусть размеры его будут a и h .

Две балки, расположенные друг на друга, дают общий модуль сопротивляемости $W = 2 \frac{ah^2}{6} = \frac{ah^2}{3}$. При изгибе такой двойной балки происходит обратное сдвигание концов нижней относительно верхней. Допустим, что оба бруса, образующие двойную балку, связаны между собой по длине таким образом, что упругий момент сдвигания не может. Очевидно, что при этом условии получаемая как бы одна балка с поперечным сечением в форме прямоугольника, у которого основание = a , а высота $h_1 = 2h$. Модуль сопротивляемости теперь будет быть иной, а именно: $W_1 = \frac{a(2h)^2}{6} = 2 \frac{ah^2}{3}$, отношение W_1 к W равно двум, т.е. брусья по длине

связи между составными брусьями, если при этом же количестве материала увеличиваем сопротивляемость балки вдвое. Если вместо двух поперечных без связи n брусков, они дадут модуль сопротивляемости $W = n \frac{ah^2}{6}$. При же n брусков при наличии взаимной связи между собой по длине дадут сопротивляемости: $W_n = \frac{1}{6} a (nh)^2 = \frac{1}{6} n^2 ah^2$, т.е. $W_n = n^2 \cdot \frac{1}{6} ah^2$ n раз больше; отсюда ясно преимущество составных балок перед простыми.

Взаимная связь между расположенными друг на друга брусками составной балки может быть выполнена помощью зубцов и шпонок, при этом установка является ряд болтов, устанавливаются между собой. Соединение помощью косых зубцов показано на фиг. 202, где балки имеют наибольший изгибающий момент по середине и лежащий на $2\frac{1}{2}$ шпоках. Зубцы имеют касал от середины в разных сторонах, потому что, при указанных ус-

ловиях, касательный на протяжении в среднем сечении



Фиг. 202

ловиями свой знак. Разлет начинается с простыми поперечными напряжениями по наибольшему изгибающему моменту M_{max} в направлении по оси балки, зубцы подвергаются скачкообразным условиям, возникающим касательными напряжениями. При небольшой величине выступа зубца можно принять, что каждый из них подвергается сжатию в плоскости $11'$ основанием. Если балка нагружена по середине сосредоточенным грузом P , то при длине a и шпоном величину касательного напряжения в нейтральной связи $11'$ в n -ти точках соприкосновения брусков постоянную и равную $k_5 = \frac{3P}{8ah}$. При длине зубца b , находим условия прочности на высоту средней n -ти шпока (фиг. 202): $\frac{3Pb}{8h} = \frac{1}{2} \sigma_{k_5}$, или $k_5 = 2k_5$, отсюда видно, что возникающее напряжение в n -ти зубцах, совпадающей с нейтральной осью, вдвое больше шпоном k_5 . Необходимо, что оно не превосходит допустимого, напр. для сосны не больше $k_5 = 0,5$ т.е. на $1/2$ м. Кроме того замечаем, что длина зубца не имеет значения; это совершенно понятно, т.к. сжимающая сила по всей длине балки остается постоянной, а потому имеет знак в среднем сечении, где $k_5 = 0$. С другой стороны скачкообразное усилие передается от зубца на зубец при помощи сжатия друг на друга их горизонтальных (вертикальных) поверхностей. Называя высоту зубца через d и полагая, что давление оно равномерно равномерно с напряжением q т.е. на kh eq. найдём равенство:

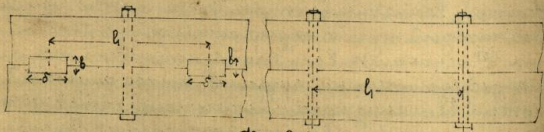
$$adq = k_5 \cdot b \cdot a = \frac{3}{8} \frac{Pb}{h}$$

Величина q берется не больше 0,45-0,5 кг/см на $1/2$

зад основной балки. Высота зуба делается не больше $d = 0,3h$, чтобы не ослабить сильно балку при этих условиях наклон, ($\alpha = 0,5$ кг.х. на мм^2).

$$b = \frac{2\alpha d \alpha h}{3\alpha} = 0,4 \frac{\alpha h^2}{\alpha}$$

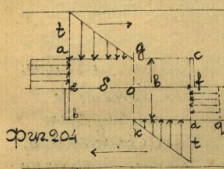
В этих случаях когда нагрузка задана так, что срезающая сила ΣP поднимать балку начинает свою величину, зубцы должны быть раскосены или тупы, в зависимости от закона изгибаний ΣP . Указанный способ сращивания шпунтов сращивается по малю раскосованиям. Позднее в статье соединит брусья помощью шпунтов (Фиг. 203).



Фиг. 203

шпунты тесно так же устанавливаются, сверху поперечно болтов. Шпунты обыкновенно делаются из дуба как материала более прочного нежели сосна. В шпунты нейтрального слоя шпунки подвергается сжатию; если назовем силу сжимающую через S , то условие прочности напишется так: $S = \alpha d k_s$. где d - толщина шпунки и k_s напряжение, обусловленное силой S будет сказано ниже, очевидно, что величина S зависит от закона изгибаний ΣP и радиусов шпунков. Но чтобы избежать срыва, шпунки подвергается еще сжатию на своих боковых поверхностях. Здесь следует заметить, что боковая шпунки обычно направлена \perp к оси сращения брусков, но перпендикулярно оси бруса, так что шпунки остаются не нагруженными. При зубцы заглаживаются срезанными соединенных брусков к соединению на одну относительно друга. Пусть верхний брус срезается с двукратной силой на право, а нижний наоборот.

При этих условиях очевидно, нагружаются поверхности (Фиг. 204) ac и bd . Так как образуются пара сил, которая стремится вращать шпунку по часовой стрелке, то вызывает давление поверхностей шпунки ac на верхнюю балку и поверхности bd на нижнюю. Закон распределения давления на этих поверхностях не известен;



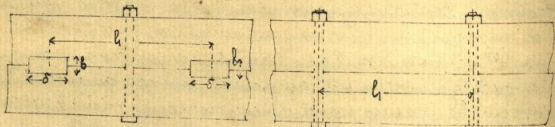
Фиг. 204

можно с уверенностью говорить лишь о том, что при вращении шпунки по часовой стрелке, угол a поднимается вверх, а угол c сжимается опущенный. Соответственно с этим надо ожидать, что на поверхности ac наибольшее сжатие будет у точки a . Точка c вследствие поперечной деформации воле. Я. к. величин не довольно изменить место за предельной упругости, но все деформации надо считать незначительными. При этих условиях можно допустить, что напряжение сжатия (считая), достигая наибольшего значения у точки a , падает по закону прямой линии и у средней точки e обращается в нуль; часть поверхности ac деформация. Если сдвиг понизить, то на нижней поверхности наблюдаем ту же картину. Переходя к боковым граням шпунки ad и bc и заметая, что вследствие поперечной деформации шпунки, наибольшее давление придется в точку e (соответственно b). Ввиду того, что высота b обыкновенно не велика, можно принять с небольшою погрешностью, то давление на раздвигавшиеся поверхности распределено равномерно с напряжением σ кг.х. на мм^2 поверхности. На верхней и нижней поверхности шпунки наибольшее давление (σ и σ) назовем через t , кг.х. на мм^2 . Условие равновесия шпунки против вращений ее, очевидно, будет: сумма моментов относительно k или оси относительно

гид основной бабки. Высота зуба определяется по формуле $d = 0,3h$, чтобы не ослабить сильно бабку при этих условиях находим, ($\sigma = 0,5 \text{ кг/см}^2 \text{ на } \text{мм}^2$).

$$b = \frac{2\sigma d a d h}{3\sigma} = \frac{0,4 a h^2}{\sigma}$$

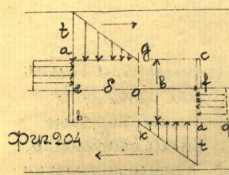
В этих случаях когда нагрузка задана так, что ортогональная сила ΣP поднимать бабку снижает свою величину, зубцы должны быть раскосотены или тупы, в зависимости от закона увеличения ΣP . Указанный способ сравнительно мысленно сравнительно мало раскосотены. Соединение впрямую соседних брусков помощью шпонок (Фиг. 203).



Фиг. 203

причем точно так же устанавливается связь по формуле Боулера. Шпонок обыкновенно делают из той же древесины, что и бабка, как материал более прочный и имеет собою. В месте нейтральной оси шпонок подвергается сжатию; если назовем силу сжимающую через S , то у края получится наименьшая сила $S = adk$, где d — толщина шпонок и k — напряжение, обусловленное силой S будет оказано ниже, очевидно, что величина S зависит от закона увеличения ΣP и радиуса шпонок. Но крайняя часть шпонок подвергается еще сжатию на своих боковых поверхностях. Здесь следует заметить, что боковая шпонок обычно направлена \perp к оси бруса, так что торцы останутся в перпендикулярности. При шпунке замечается стремление соседних брусков к соединению их друг относительно друга. Пусть верхний брус определит сдвигаться слева на право, а нижний наоборот.

При этих условиях ортогонально направленной поверхностью (Фиг. 204) ae и fd . Макс. обр. образуется пара сил, которая стремится вращать шпонок по часовой стрелке, что вызывает давление поперек шпонок ac на верхней бабку и поперек bd на нижнюю. Закон распределения давления на этих поверхностях не известен;



Фиг. 204

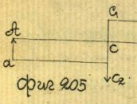
можно с уверенностью говорить лишь о том, что при вращении шпонок по часовой стрелке, угол α поднимается вверх, а угол γ сжимается опущенный. Соответственно этим надо ожидать, что на поверхности ac наибольшее сжатие будет у точки a . Если S в среднем шпонок разгружается все. П. к. велич. не только можно за пределом упругости, то есть деформации надо считать неэластичными. При этих условиях можно допустить, что напряжение σ (см. см.) достигая наибольшего значения у точки a , падает по закону прямой линии и у средней точке d обращается в нуль; часть поверхности cd разгружена. Само собою понятно, что на нижней поверхности наблюдаем ту же картину. Переходя к боковой грани шпонок ae и fd и заметив, что вследствие того же вращения шпонок, наибольшее давление придется в точку e (соответственно f). Ввиду того, что высота h обыкновенно не велика, можно принять с небольшою погрешностью, что давление на рассматриваемых поверхностях распределено равномерно с напряжением σ кг/см^2 поверхности. На верхней и нижней поверхности шпонок наибольшее давление (σ $\text{и } \sigma$) назовем через t , кг/см^2 . Условие равенств шпонок против вращения ed , очевидно, будет: суммарное моментное напряжение к ней ae относительно

оси O равна нулю. Находим по известной ширине бабки через a , найдем: $q a \frac{b}{4} = t_1 \frac{a}{4} \frac{b}{2} \delta$. или $q \frac{b}{4} = t_1 \frac{a}{8}$, отсюда найдем:

$$\delta: b = \sqrt{\frac{q}{t_1}} \frac{a}{2}$$

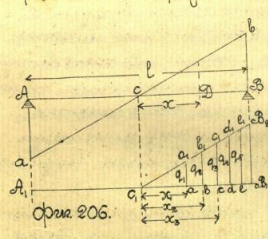
Напряжение q для дуба надо принять не больше $0,4$ кг/кв. на $м^2$. Здесь взято q меньше чем в прошлом примере для оси лишь потому, что сечение сосны (бабки) производится вдоль волокон, а у дуба (боковая поверхность шпона) перпендикулярно волокнам, к тому же дерево вообще сопротивляется сдвигу. Что касается напряжения t_1 , то оно должно быть выбрано для сосны, ибо она и дуб здесь (поверхности ac и bd) находится в одинаковых условиях, можно принять $t_1 = 0,20$ кг/кв. на $м^2$. Тогда получим $\delta: b = 1,73$. Возвращаясь к условию прочности шпона против сжатия, замечаем, что сила s очевидно равна $s = q \frac{b^2}{2}$, а потому получим: $q \frac{b^2}{2} = \delta a k_2$, и считая для $k_2 = 0,1$ кг/кв. на $м^2$ и $q = 0,4$ кг/кв. на $м^2$, найдем $\delta: b = 2$, что обычно и принимается. Переходим к вопросу о размещении шпона в дубе бабки. Для решения его необходимо прежде всего знать закон изменения сжимающей силы ΣP , т.е. распределения бабки на опорах и вшитую нагрузку.

Пусть дана бабка (Фиг. 205) лежащая на двух опорах и нагруженная по середине сосредоточенной грузом P . Диаграмма сжимающей силы представится осью ac , bd т.е. $\Sigma P = const$ для каждой половины бабки. Шпона поэтому должны быть распределены равномерно друг от друга $П$, к высоте h составившей брус ac считая от середины (перпендикулярно оси) условия прочности приращенному моменту, то высота шпона будет $b = 0,3h$, ширина $a = 0,5h$. Если n шпона в каждой половине найдем из условия, чтобы вся скалывающая сила, действующая по нейтральной оси вдоль половины бабки была



компенсируется сопротивлением соответственных шпонах сжатия. Касательное напряжение будет $k_s = \frac{\Sigma P \cdot y_{до}}{a \cdot b} = \frac{3P}{2ah}$, а скалывающая сила $s = k_s \frac{a^2}{2} = \frac{3P}{4h}$ и следовательно $\delta: k_s = \frac{3}{4} \frac{P}{h}$ откуда при $k_s = 0,1$ кг/кв. на $м^2$, $n = \frac{3P}{8ah}$. Пусть $P = 3000$ кг/кв., $l = 6000$ мм, $a = 200$ мм, $h = 300$ мм, тогда $b = 90$ мм, $\delta = 180$ мм и $n = 3$ шпона, а всего 6 штук равномерно друг от друга на одинаковой расстоянии. Шпона располагаются между шпонами через одну мм от шпона. В опасном месте шпона не устанавливаются. За опорой шпона находится бабка. Расстояние между осью шпона в наименьшем случае равно 1000 мм, если желательно чтобы шпона примыла над опорой, число их придется увеличить на одну.

Следует для той же бабки дана нагрузка равномерно распределенная. В этом случае сжимающая сила будет изменяться по закону прямой линии, диаграмма ее выразится ломанной ac , bd (Фиг. 206). Очевидно, что и касательное напряжение в нейтральной оси будет убывать по направлению от опоры к середине стержня бабки, а потому и шпона придется располагать так, чтобы расстояние их между собою уменьшалось от середины бабки к опорам. Если начало координат назовем в точке C , тогда в некотором сечении z касательное напряжение будет равно, очевидно, $k_s = \frac{3}{4} \frac{Pz}{ah}$, если P — нагрузка в кг/кв. на 1 пог. м. длины бабки. Сила k_s изменяется также по закону прямой линии, пользуясь этим, можно так подобрать шпона расстояний шпона. Относительно точки b , отрезок bd $k_s = k_1 = \frac{3Pl}{4ah}$, прямая bd дает закон изгиба —

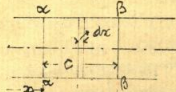


равномерно распределенный шпона можно сделать и в этом случае, но при этом, что шпона их возвращают от C к bd , в противном случае будет постоянным по длине.

ней касательного напряжения. Пусть первая тонка лежит в a на расстоянии ax , которое найдем так; тонка a должна выдерживать скручивающую силу $S = \frac{1}{2} k_s x a = \frac{1}{2} a k_s x$, где k_s допускаемое напряжение тонки на срезание $k_s = 0,1 \text{ кг/см}^2$. Но $k_s = \frac{2a\tau}{r}$, а потому $ax = 0,566 a \sqrt{\tau}$. Следовательно тонка лежит в b на таком расстоянии bx , чтобы скручивающая сила на участке ab равнялась также скручивающей тонки на срезе, другими словами необходимо, чтобы площадь транзит ab в b' равнялась площади тр-ка Ca , т.е. $\frac{1}{2}(a_1 + a_2)(x_2 - x_1) = \frac{1}{2} a_1 x_1$, откуда $x_2 = x_1 \sqrt{2}$. Аналогично подобно же рассуждений к точке C , которую находим третьей тонкой, получим условия $\frac{1}{2}(a_2 + a_3)(x_3 - x_2) = \frac{1}{2} a_2 x_2$ или $x_3 = x_2 \sqrt{2}$. Для тонкок 4ой, 5ой и т.д. найдем $x_4 = 2x_1$, $x_5 = x_1 \sqrt{5}$ и т.д.

Пусть балка нагружена равномерно распределенным грузом $p = 1000 \text{ кг/м}$ на l пог. метр. Давиме $l = 6 \text{ м}$, $a = 200 \text{ мм}$, $h = 300 \text{ мм}$. Размеры тонкок будут так же. Расстояния их от левого конца будут: $x_1 = 1680 \text{ мм}$, $x_2 = 2350 \text{ мм}$ и $x_3 = 2900 \text{ мм}$. Т.е. тонкок получится также равным промежуткам, ибо если нагрузка дана в виде боковой, то скручивающая сила на поперечных балки получится такой же величины. Боковые и даются расположенные между тонками. Задавая тонками меньшего размера получим соответственно большие т.е. и т.д.

Если скручивающая сила S применяется по оси балки по боковой поверхности, то указанный способ является весьма удобным. Применяем потому общий метод, который является пригодным при всякого рода вычислениях нагрузок. Представим себе два отрезка a и b , отстоящих друг от друга на некотором расстоянии c и от начала координат на x_1 и x_2 . Балка подвержена изгибу в некоторой произвольной внешней нагрузкой. В отрезке a (Фиг. 207) будем применять изгибающий мо-



Фиг. 207.

мент:

-175-
мент M_x , в отрезке $\beta - \delta$. Определим как велика сила производимая скручиванием по нейтральной оси между двумя отрезками. Вторым местом между ними на расстоянии x от начала координат q отрезки на расстоянии dx , в таком случае получим напряжение:

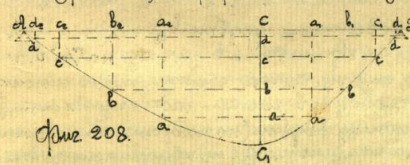
$$k_s = \frac{\frac{dM_x}{dx} \int_0^{dx} y d\sigma}{S M}$$

Для произвольной балки имеем: $k_s = \frac{dM_x}{dx} A$, где $A = \frac{\int_0^{dx} y d\sigma}{S}$. Скручивающая сила на участке dx будет: $dS = k_s a dx$, а на участке $ab = c$ получим:

$$S = \int_{x_1}^{x_2} a dx \frac{dM_x}{dx} dx = aA (M_2 - M_1).$$

Но с другой стороны сопротивление тонки срезанию есть величина постоянная и равная S , а потому имеем: $S = a d k_s$. Так обр. становится ясно, что необходимо балку разбить на такие участки, чтобы размеры моментов в концевых сечениях этих участков были бы постоянная и равная $M_1 = M_2 = M_3 = S c : A$.

Пусть балка AB имеет на себе такую нагрузку, для которой известны изгибающие моменты будут ab, b (Фиг. 208). Определим величину $M = \frac{S c^2}{2A}$ отсюда



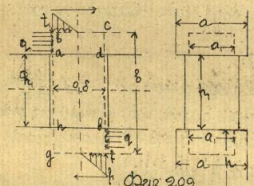
Фиг. 208.

выясним в масштабе моментов от точки a , к c столько раз, сколько она может быть

уложена, напр., $aa = ab = bc = cd = M$. Далее проводим через точки a, b, c и d параллели ab оси балки до пересечения с кривой ab, b в точках aa, bb, cc, dd ; наконец, из последних опускаем перпендикуляры на ось балки, тогда точки $a, a_1, b, b_1, c, c_1, d, d_1$ будут иметь равностоящие тонкок, ибо разность изгибающих моментов между двумя соседними

оттеняет всегда будет равна ch_1 , а следовательно и будут напряжены одинаково.

Тогда сделаем составные балки так, что брусья наложим друг на друга с просветом; получим так называемую, профильная балка. Возьмем как и раньше два бруса с шириной a , h и высотой просвета h_1 (рис. 209). Момент W или модуль сопротивления такого сечения, очевидно, будет таков:



$$W = \frac{J}{e} = \frac{\frac{ah^3}{12} + ah \cdot \frac{h_1^2}{2}}{h + \frac{h_1}{2}} = \frac{ah}{2h - h_1} [3h^2 + 6hh_1 + 4h_1^2]^{1/2}$$

Обыкновенно принимаю $h_1 = h$, тогда имеем:

$$W = 13/8 ah^2$$

след. в 8,66 раз больше модуль одинарной и в 1,7 раза больше модуль двойной склеенной балки. Относительные размеры шпонки могут быть найдены по следующим соображениям. Аналогичным шпон, который шпонки можно при рассмотрении простой двойной балки. Для равновесия шпонки имеем $\sum Mo = 0$, но

$$\sum Mo = a \cdot \frac{b \cdot h_1}{2} \cdot a_1 - \frac{b \cdot h_1}{4} \cdot t_1 + a_1 \cdot \frac{a}{4} \cdot \frac{a}{2} \delta = 0$$

Положим, что величина врубки $\frac{b \cdot h_1}{2} = 0,1$ и $h_1 = h$, тогда при $a_1 = 0,4$ кгс. на $см^2$ и $t_1 = 0,2$ кгс. на $см^2$ $\delta = 0,88$. Обыкновенно, для удобства сборки, шпонки шпонки делается в свободной части несколько тоньше, поэтому так же ширину врубке (по стороне балки) делаемая несколько меньше a , приблизительно около $0,8a = a_1$. Поэтому можно принять $\delta = h$. Проверки на скрепе шпонки, либо, во), поперечное сечение шпонки в нейтральном слое больше нечем в ширину врубке и во), возможна в шпонки квадрат шпонки перпендикулярно нейтральному слою, а потому сопротивление перегибанию возрастает. Весьма важно в продольных балках шпонки др-

лелатая ту по той материала как и балка, т.е. сосны. Шпонки обыкновенно ставят по обе стороны каждой шпонки.

Если в составную балку входит три или больше отдельных брусков, то среднее относительных размеров шпонки не уменьшается и их можно для простой балки принять как $\delta = 0,2$. Расположение шпонки в том случае, если они расположены в одной вертикальной линии (друг над другом) совершенно подобно тому, как это указывалось для двойной составной балки. Отличие, конечно, будет заключаться в том, что при нечетном числе составных брусков, нейтральный слой будет проходить через ось средней бруска и так. обр. максимальные касательные напряжения на шпонки передаваться не будут. Если шпонки либо нежелают ослабить сечение средней балки, то шпонки располагаться в шахматном порядке или, как говорят, вперевязку. Распределение их не представляется, посылка склеивания, большого затруднения.

Шпонки, которые служат лишь для скрепки, обыкновенно скрепляются весьма слабо (до отхода) и в месте скрепления шпонки по толщине шпонки сила трения в рубке и им не принимаем, а потому можно сказать, что построенная по приведенным выше соображениям, балка будет несколько прочнее нежели это предполагается теоретически.

При помощи одного шпонки возможно совершенно комбинировать одинаковую шпонку по не-сти скрепки с шпонки брусков. Если установить вдоль балки достаточное число брусков n , эти бруска, вызывая значительное давление, то сила трения может получиться весьма значительная.

Обратимся к примеру, который мы разобрали выше. Балка двойная из брусков $a \cdot h = 200 \cdot 300 мм$, длиной $l = 6 м$ груз $P = 3000$ кгс. сосредоточенный, приложен по середине для этого склеивания сила, приходящая на половину длины балки будет: стат. III. Скрепные шп. 21 проф. И. Бобарикова

$S = \frac{2}{16} \frac{P}{h} = 10250 \text{ кгс}$. Помогая это коэффициент трения f при отсутствии смазки равен 0,3 найдем, что fP должны быть накатами друг на друга с силой $\approx 34170 \text{ кгс}$. Тем давлением в плоскости соприкосновения должно быть равно $q \approx 0,114 \text{ кгс/см}^2$. Допустим, что болты имеют в резьбе 20% диаметром, сможем принять число болтов = 12. Этот теоретический вопрос разгласить очень просто, если в действительности коэффициент трения сухого дерева по сухому дереву можно считать больше чем 0,3, тогда не меньше составных болтов на одном болте не прикручиваются в обычных условиях сугубая. Это объясняется во 1), тем, что некая болт укреплена в плоскости затяжки болтов, которая может уменьшится, напр. вследствие вымачивания дерева под водой болта. Если же давление в плоскости соприкосновения болтов уменьшится, то по причине уменьшения силы трения, следовательно сила передается на болты, которые, изгибаясь, сильно скручивают свои гонда.

2) Если ось вращения. Иногда, если в конструкции не имеется оппозитной болта, достаточно профиля, приходится соединить две болта меньшего размера. Напр. требуется по радиусу болта с модулем соприкосновения $W = 60,07 \text{ мм}$, а мы берем на место шпильчатое пестило ≈ 10 . Модуль соприкосновения относительно оси W болта будет приблизительно 24,7. Для болта, следовательно покатами дадут модуль 49,47. Если эти болта склепать покатами, то общий модуль будет 67,27, т.е. болты эти достаточно. Сила трения, развиваемая накатами болтов благодаря зацепкам, настолько велика, что она одна могла бы удержать ось скручивающую, но обычно, при разрыве покатами, то зацепками подвергается и ось и покатами и покатами условно, выдел диаметр зацепки, определенном способом. Способ определения радиуса зацепки мы не отмечаем по существу от способа разгласения что

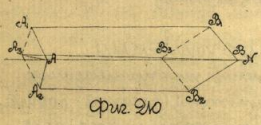
нос, но в действительности шаг зацепки (шаг) берется по всей болте одинаковой и радиус его принимается по наиболее опасному месту. Мы не будем далее разгласивать этот вопрос, т.к. подробное изучение относится к курсу деталей машин.

Полное сопротивление

Различают три вида деформации, так называемых, простых сопротивлений: растяжения (сжатия), сдвига, кручения и изгиба, могут также комбинироваться различными образом. Так напр. болт может одновременно подвергаться кручению и изгибу, кручению и сдвигу, сжатию, изгибу и кручению и т.д. Поэтому такие случаи характеризовать надо неким сложным сопротивлением. Как увидим ниже все случаи сложного сопротивления сводятся к явлению пластичности и сдвига, которые можно назвать элементарными формами. Действительно, при кручении и изгибе представляем собою сложную форму сдвига, сдвига и сжатия. Как бы ни были приложены внешние силы, всегда возможно их разбить на такие системы, из которых одни вызывают деформации сдвига, другие деформации растяжения. Вопрос, при изучении сложного сопротивления сводится к определению ка-ким образом деформируется болт при одновременном действии этих систем. Основу разгласения и здесь составляет закон Гука (прямой пропорциональности), выражающий связь между деформацией и внутренним напряжением. Это понятие дано по себе, ибо, если материал деформируется подчиняется все одному закону, то этому закону подчиняется и результирующая. Эта результирующая деформация находится при помощи теоремы о независимости действия сил, которая заключается в том, что если некоторая ось X , вызывает в болте деформацию удлинения (или сжатия) ϵ , другая ось Y , действующая независимо от первой вызывает дефор-

максим i_2 , по третья система R_3 , представляющая равнодействующую двух первых, вызовет напряжение $i_3 = i_1 \pm i_2$.

Пусть под действием системы сил R_1 частицы A и B (фиг. 210) в бруске переместятся в A_1 и B_1 . Под действием системы R_2 (по прекращении действия системы R_1) частицы переместятся в A_2 и B_2 . Если обе системы R_1 и R_2 будут приложены одновременно, то частицы системы переместятся в A_3 и B_3 .



Предположим, что являющиеся причиной деформации упругости n , следовательно, величины перемещений во всех местах, можно допустить, что поперечный срез $A_1 B_1$ почти параллелен $A_2 B_2$. Тогда найдем, проектируя стороны четырехугольников $A_1 B_1 A_2 B_2$ и $A_1 B_1 A_3 B_3$ на $A_2 B_2$

$$A_1 B_1 + A_2 B_2 \cos \beta_1 \rho_{11} = A_2 B_2 + A_2 A_1 \cos \alpha_1 \rho_{11} \rho_{11}$$

$$A_2 B_2 + A_2 B_2 \cos \beta_2 \rho_{22} = A_2 B_2 + A_2 A_2 \cos \alpha_2 \rho_{22} \rho_{22}$$

$$A_3 B_3 + A_3 B_3 \cos \beta_3 \rho_{33} = A_3 B_3 + A_3 A_3 \cos \alpha_3 \rho_{33} \rho_{33}$$

откуда $\frac{A_1 B_1 - A_2 B_2}{A_2 B_2} = \frac{A_2 A_1 \cos \alpha_1 \rho_{11} \rho_{11} - A_2 B_2 \cos \beta_1 \rho_{11} \rho_{11}}{A_2 B_2} = i_1$

$$\frac{A_2 B_2 - A_3 B_3}{A_3 B_3} = \frac{A_2 A_2 \cos \alpha_2 \rho_{22} \rho_{22} - A_2 B_2 \cos \beta_2 \rho_{22} \rho_{22}}{A_3 B_3} = i_2$$

$$\frac{A_3 B_3 - A_1 B_1}{A_1 B_1} = \frac{A_2 A_2 \cos \alpha_2 \rho_{22} \rho_{22} - A_2 B_2 \cos \beta_2 \rho_{22} \rho_{22}}{A_1 B_1} = i_3$$

Но с другой стороны, проведя диагональ $A_1 B_2$ и $A_2 B_1$ на какое либо направление, разложим стороны на то же направление, а потому сложим обе последние уравнения получим:

$$i_1 + i_2 = \frac{A_2 A_1 \cos \alpha_1 \rho_{11} \rho_{11} - A_2 B_2 \cos \beta_1 \rho_{11} \rho_{11}}{A_1 B_1}$$

$$\frac{A_2 B_2 \cos \beta_1 \rho_{11} \rho_{11} + A_2 B_2 \cos \beta_2 \rho_{22} \rho_{22}}{A_1 B_1} = \frac{A_2 A_1 \cos \alpha_1 \rho_{11} \rho_{11} - A_2 B_2 \cos \beta_2 \rho_{22} \rho_{22}}{A_1 B_1} = i_3$$

т.е. относительная деформация, вызываемая обоими системами R_1 и R_2 при действии этих систем одновременно, складывается алгебраически. Не трудно это доказать на параллельном, перпендикулярном на $A_1 B_1$, $A_2 B_2$ и на $A_3 B_3$.

видеть, что результирующее перемещение, вызываемое совокупным действием систем R_1 и R_2 получится если обе системы будут заменены равнодействующей системой сил R_3 .

На основании сказанного во всех случаях где задана одна система (или одна сила), приложена так, что непосредственно трудно определить соответствующую деформацию, возможно тогда эту систему разложить на составляющие, найдя деформации, вызываемые каждой системой отдельно, складываем их алгебраически. Знаком равенство $i_3 = i_1 \pm i_2$, на величину модуль упругости E , найдем выражение для результирующего напряжения,

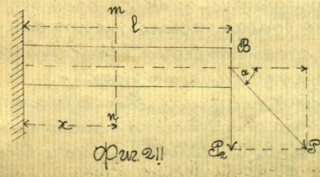
$$K_3'' = K_1'' \pm K_2''$$

Если поставим две системы сил вызывающие в материю данного вещества напряжения K_1 и K_2 , направленные друг к другу под углом α , то результирующее напряжение будет найденное по следующему соотношению m .

$$K_3'' = K_1'' + K_2'' \pm 2K_1 K_2 \cos \alpha$$

Отрицательность одноименного действия напряжений нормальных и касательных, результирующее напряжение (и деформация) находится иначе, если будет изложено ниже.

1) Прямоугольный брусок закрыт одним концом в стенку и нагружен силой P , при этом она приложена в центре тяжести перпендикулярно и направлением ее составляет угол α с осью бруска. Плоскость (срезка), содержащая силу P и ось бруска, содержит также одну из главных осей (фиг. 211). Определим наибольшее напряжение материала. Разложим данную силу на две: одну P_1 , направленную по оси бруска, и другую P_2 ей \perp но. Под



такая одна из главных осей (фиг. 211). Определим наибольшее напряжение материала. Разложим данную силу на две: одну P_1 , направленную по оси бруска, и другую P_2 ей \perp но. Под

действием силы $P = P \cos \alpha$ брусок разламывается и, если площадь поперечного сечения бруска ω , то напряжение материала, возбуждаемое силой P , будет:

$$k_z^I = \frac{P \cos \alpha}{\omega} \quad (a)$$

Под действием тех сил $P_0 = P \sin \alpha$ данный брусок изгибается. Возьмем сечение $m-m$, отстоящее на расстоянии x от места закрепления; изгибающий момент для этого сечения $M_x = P_0(l-x)$.

Пусть момент инерции поперечного сечения бруска будет J и расстояние наиболее удаленного слоя от оси e , тогда модуль коэффициента $W = \frac{J}{e}$, а напряжение волокна

$$k_z^II = \frac{M_x}{W} = \frac{P_0(l-x)}{W}$$

Но изгибающий момент M_x — величина переменная, а потому и напряжение k_z будет также величиной переменной. При расчете же надо брать наибольшее напряжение материала, которое, очевидно, выражится (при $x=0$) так:

$$k_z^II = \frac{P_0 l}{W} = \pm \frac{P \sin \alpha \cdot e}{J} \quad (b)$$

знак (+) относится к напряжению верхнего волокна. На основании теоремы сложения моментов действия сил, истинные напряжения материала в сечении $m-m$ будут:

$$k_z = k_z^I + k_z^II$$

или в всегдашней выражении (a) и (b):

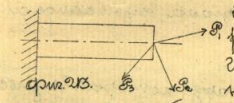
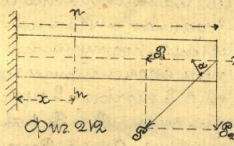
$$k_z = \frac{P \cos \alpha}{\omega} + \frac{P \sin \alpha \cdot e}{J} \quad (44)$$

Вопрос о том какой знак надо брать в выражении (44), зависит от свойств материала и от относительных величин J и e членов правой части. При одинаковом сопротивлении материала по осям необходимо принимать знак (+). Если второй член значительно больше первого, то при равном сопротивлении осями берут в расчет разность, т.е. во внимание принимают знак (-).

Аналогичное выражение получится, если сила действует как показано на фиг. 21а, но при этом длина бруска должна быть не велика, а штырь бруска под действием силы $P = P \cos \alpha$, будет не сжиматься, а растягиваться. Возникающее напряжение будет:

$$k_x = \frac{P \cos \alpha}{\omega} = \frac{P \sin \alpha \cdot e}{J}$$

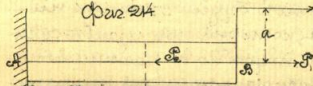
Если на данный брусок действует одновременно несколько сил, расположенных так как указано на фиг. 21б, то можно разложить каждую силу на составляющие вдоль оси бруска и ей \perp направлению напряжения. Разложив напряжения для растягивающих сил и для сжимающих и складывая эти напряжения алгебраически, получим напряжение сечения считая от сжатия.



Эксцентрическое разламание.

В этом случае действующая сила P — ось бруска, но не совпадает с ней, а отстоит от нее на расстоянии a (эксцентриситет) (фиг. 24). Чтобы про-

вести, рассмотрим ось при таком действии силы, деформирующуюся в вентильном виде, применив в точке B



для силы (P и P_2), равной силе P , т.е. ($P_1 = P_2 = P$) и взаимно противоположных. Сила P_1 разламывает данный брусок и вызывает напряжение $k_z = \frac{P}{\omega}$, где ω — площадь поперечного сечения бруска. Силы P и P_2 составят пару, дающую, очевидно, крутящий момент, но для продольного сечения, на расстоянии x , изгибающий момент равен $M_x = P a = const$. Напряжение в сечении $m-m$ выразится зависимо от $k_z = \frac{P a e}{J}$. Полное напряжение материала будет:

$$k_z = k_z^I + k_z^II = \frac{P}{\omega} \pm \frac{P a e}{J} \quad (45)$$

Эксцентрическое сжатие.

Дан брус, на который действует сжимающая сила

P_1 , || осм, но отстоящая от ней на расстоянии a (Фиг. 215) ¹⁾ Чтобы определить в данном случае напряжение материала, поступают также как и при эксцентрической растяжке, т.е. в точку A прикладывают две силы: P_1 и P_2 равные P и взаимно противоположные. Сила P_1 сдвигает данный брусок M , если его поперечное сечение ω , то напряжение материала, вызываемое силой P_2 , будет:

$$k' = \frac{P_2}{\omega}$$

Силы P_1 и P_2 составляют пару, которая вызывает в данном брусок деформацию изгиба, а в таком случае внутреннее напряжение выразится:

$$k'' = \frac{dM}{W} = \frac{Pa}{W};$$

а результирующее напряжение, по теореме о независимости действий сил, будет:

$$k = k' \pm k'' = \frac{P_2}{\omega} \pm \frac{Pa}{W} = \frac{P}{\omega} \pm \frac{Pa}{\omega e}$$

Т.к. здесь рассматривается случай сжатия, то положительной величиной будем считать напряжение тех волокон, который при изгибе сжимаются. Мы представим подробно выражение величины k для волокон растягивающихся напряжений которые от изгиба равно: $k'' = -\frac{Pa}{W}$. На основании вышеоказанного результирующее напряжение:

$$k = k' + k'' = \frac{P}{\omega} - \frac{Pa}{W} \dots \dots \dots (6)$$

В этом выражении две величины соединены знаком (-), поэтому для величины k могут иметь место три случая:

- 1) $k > 0$; 2) $k = 0$; 3) $k < 0$

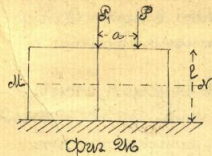
1^й случай. Возьмем в качестве бруска стержень MN (Фиг. 216) перпендикулярное осевой линии. Внутренний стержень распределен неравномерно по площади поперечного сечения, т.к. в выражении (6) член $k' = \frac{P}{\omega}$ постоянен, а k'' - изменяется с y . Если бруска предполагается небольшой.

имеем разности волокон от нейтральной оси. Будем откладывать положительный, на правую сторону от линии MN , а отрицательный (растяжение) отстоять силу вверх. Пусть ордината AM (Фиг. 217) выражает в изогнутом состоянии величину

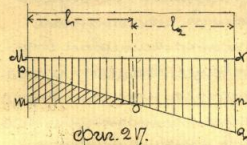
$$k' = \frac{P}{\omega}$$

Распределение этого напряжения выразится прямой mn .

Распределение напряжений k'' вызываемого изгибом представится прямой mn_1 и mn_2 в крайних отрезках $mn_1 = -\frac{Pa}{\omega e}$ и $mn_2 = \frac{Pa}{\omega e}$,



Фиг. 216



Фиг. 217

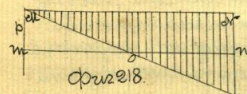
если e_1 и e_2 - соответственно расстояния крайних волокон от нейтральной оси; e_1 - растяжения, e_2 - сжатия. Площадь фигуры $MNmn_1mn_2$ представит распределение результирующего напряжения по всей поперечной сечению, причем наименьшее напряжение будет в точке $M - mn_1$ и наибольшее - в $N - mn_2$.

2^й случай: $k = 0$. При этом $k' = k''$ выражаются одинаковыми отрезками $AM = mn_1$. В сечении MN действует как в 1^{ом} случае только одно напряжение сжатия и распределение его определится фигурой $MNmn_1$ с наибольшей величиной $k = \frac{Pa}{\omega e}$ (Фиг. 218).

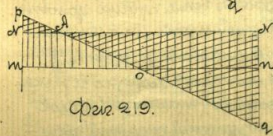
3^й случай: $k < 0$. В этом случае (Фиг. 219) в точке M напряжение растяжения $k' = \frac{P}{\omega}$ больше напряжения сжатия $k'' = \frac{Pa}{\omega e}$, поэтому результирующее напряжение - $Mn_1 = AM - mn_1$. В точке N имеет место сжатие:

$$k = mn_2 + mn_1 = \frac{Pa}{\omega e}$$

В точке A , где напряжение абсолютным значением.



Фиг. 218



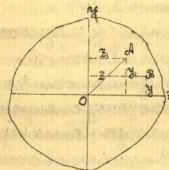
Фиг. 219

растворений и осадков равны по величине, результирующее напряжение обращается в нуль. Следовательно точка σ принадлежит нейтральной оси сечения.

Эксцентриситетное сечение в брусках, состоящие из слоев \perp осевой линии. Строго говоря.

Если брусок состоит из слоев, расположенные \perp осевой линии, то он сопротивляется сжатиям и изгибам почти также как и сплошной. В сечении поперечном к направлению слоев, поперечный должен сопротивляться не только материал бруска, но и материал связующего вещества, если такое есть. Если этого вещества нет, то брусок не может сопротивляться даже небольшим растягивающим напряжениям. В практике сугубых брусков встречаются преимущественно в строительной практике: каменные фабричные кирпичи, каменные колонны, опорные балки, сваи и т.д. Во всех этих сооружениях материалом служат каменные искусственные (кирпич, бетонный или цементный камень) или естественный. В слое между рядами камня находится связующий элемент: известь, цемент, глина и т.д. материал обладающий небольшим сопротивлением растяжению, к этому надо прибавить, что сила сцепления между камнями и связующим материалом тоже не велика. На основании этих соображений, в поперечных сечениях не надо допускать возникновения растягивающих напряжений; другими словами, необходимо соблюдать условие, чтобы на всей поперечной площади сечения, возбуждались только напряжения сжатия. Не трудно видеть, что результирующая напряжений зависит кроме всего прочего условий от величины σ -плеча приращенной пары, т.е. эксцентриситета; вследствие этого для каждого сечения имеет значение не только величина силы, но и точка ее приложения. Чтобы не проходило, так называемое раскрытие шва, типичит напряжений сжатия дост-

атом быть больше чем в крайнем сечении, радиус кривизны. Рассмотрим общий случай, когда форма поперечного сечения произвольна (Фиг. 220).



Фиг. 220

Плечо силы приложена в точку σ , в трехмерной координатной системе YOZ и направлена \perp к ней. Давилу P можно заменить через равнодействующую P_1 и P_2 , приложенную в центре O и через пару с моментом $P \cdot \sigma$. Эту парочку в свою очередь разбиваем на две составляющие пары, расположенные в YOZ и YOX осей. Момент пары, расположенной в YOZ будет $P_1 \cdot y$, а пары, расположенной в YOX , момент равен $P_2 \cdot z$. В таком случае результирующее напряжение в некоторой точке σ с координатами Z и Y выразится:

$$K = K' + K'' + K''' = \frac{P}{\omega} + \frac{P_1 y}{W_z} + \frac{P_2 z}{W_y} = \frac{P}{\omega} \left\{ 1 + \frac{y_1 y}{R_z^2} + \frac{z_1 z}{R_y^2} \right\} \dots \dots \dots (c)$$

Моменты инерции R_y и R_z можно заменить через произведения площадей поперечного сечения на квадрат соответствующих радиусов инерции R_y , R_z , т.е. написать:

$$R_y = \omega R_y^2, \quad R_z = \omega R_z^2$$

Эти выражения в (c) имеют вид:

$$K = \frac{P}{\omega} \left\{ 1 + \frac{y_1 y}{R_z^2} + \frac{z_1 z}{R_y^2} \right\} \dots \dots \dots (d)$$

т.е. к. за предельную величину для напряжений к нулю, то выражение (d) по сокращению на P/ω примет вид:

$$1 + \frac{y_1 y}{R_z^2} + \frac{z_1 z}{R_y^2} = 0 \dots \dots \dots (46)$$

это представляет уравнение прямой линии. Плоск. фр. в сечении находится в некоторой прямой, в предположении, что соотнесение усилий и напряжений σ в W_y и W_z - моменты сопр. по отношению к осям OY и OZ .

обладающая свойствами, что напряжения в каждой точке, лежащие на этой прямой, равны нулю. Очевидно, что прямая есть лишь одно из нейтральных линий, причем положение ее зависит в основном от точки приложения силы, т.е. координат z, y_1 .

Если эта точка A или B , как принято ее называть, полюс, перемещается по некоторой кривой, то нейтральная линия занимает соответственно различные положения, поднимаясь к некоторому определенному положению. Рассмотрим случай, когда полюс перемещается по некоторой прямой AB лежащей в одной плоскости (рис. 221), главные оси OZ и OY . Прямая AB дана уравнением

$$1 - \frac{y}{m} - \frac{z}{n} = 0,$$

где $m = OA$ и $n = OB$.

Предположим, что в данной плоскости сила приложена в точке A , в этом определенном координатами y_1, z_1 : y_1 -и, соответственно нейтральной линии напишем так:

$$1 + \frac{y y_1}{R_z^2} + \frac{z z_1}{R_y^2} = 0 \dots (e)$$

Пусть затем полюс переместится в точку B с координатами y_0, z_0 ; y_0 -и соответственно нейтральной линии будет:

$$1 + \frac{y y_0}{R_z^2} + \frac{z z_0}{R_y^2} = 0 \dots (f)$$

Что если точки A и B лежат на прямой AB , то их координаты удовлетворяют ей y_0 -и т.е. имеем:

$$1 - \frac{y_0}{m} - \frac{z_0}{n} = 0 \text{ и } 1 - \frac{y_1}{m} - \frac{z_1}{n} = 0,$$

откуда $z_1 = n(1 - \frac{y_1}{m})$ и $z_0 = n(1 - \frac{y_0}{m})$

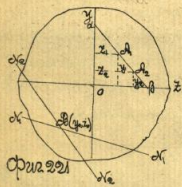
Эти величины подставляем в y_0 -и (e) и (f), получим:

$$1 + \frac{y y_1}{R_z^2} + \frac{z}{R_y^2} n(1 - \frac{y_1}{m}) = 0 \text{ и } 1 + \frac{y y_0}{R_z^2} + \frac{z}{R_y^2} n(1 - \frac{y_0}{m}) = 0$$

Решив уравнения эти относительно y и z , получим

$$y = -\frac{R_z^2}{m} = y_0; \quad z = -\frac{R_y^2}{n} = z_0$$

Величины y_0, z_0 удовлетворяют y_0 -и (e) и (f) и следовательно



представляет собой точку пересечения нейтральной линии AK и BL . Если взять на прямой AB любую точку A_2 , то тем же образом можно показать, что соответствующая нейтральная линия пройдет через точку $B(y_0, z_0)$. Другими словами, при перемещении полюса по линии AB , соответствующие линии вращаются около общей для всех точки $B(y_0, z_0)$.

Не трудно доказать, что если точку B принять за полюс, то линия AB будет соответствующей ему нейтральной линией.

В самом деле, y_0 -и нейтральной линии для полюса $B(y_0, z_0)$ будет:

$$1 + \frac{y y_0}{R_z^2} + \frac{z z_0}{R_y^2} = 0$$

Подставляя величины y_0 и z_0 найдем:

$$1 + \frac{y y_0}{R_z^2} \left\{ -\frac{R_z^2}{m} \right\} + \frac{z z_0}{R_y^2} \left\{ -\frac{R_y^2}{n} \right\} = 0$$

откуда по сокращению, получим:

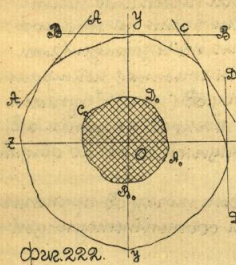
$$1 - \frac{y}{m} - \frac{z}{n} = 0$$

что представляет y_0 -и прямой AB .

Итак, если полюс перемещается по некоторой прямой AB , то нейтральная линия вращается около некоторой точки B , которая обратно представляет полюс данной прямой AB .

Если бы было сказано, что для предпринятого раскрытия т.е. нужно, чтобы крайняя волокна были стали или, в крайнем случае, чтобы напряжение в них равнялось нулю. Последнее условие, очевидно, соответствует требованию, чтобы нейтральная линия проходила по касательной к данному сечению. В случае $k > 0$ нейтральная линия выходит за пределы поперечного сечения и при $k < 0$ пересекает его.

Итак, обр. если задано сечение, то можно определить те точки его, в которых приложенная сила раскрывается т.е. не производит. Проведем касательные AB, AC, \dots к контуру сечения и найдем для них соответствующие полюсы (рис. 222) A_0, B_0, C_0, \dots . Не



Фиг. 222.

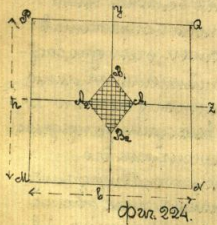
трудно видеть, то часть стелен ограничена кривой $A_1B_1C_1D_1E_1F_1$ представляем из себя место, обладающее свойством свойством: если точка принадлежит либо к его контуре, то нейтральной стелен будет касателен к контуре поперечного стелен; если же точка будет лежать внутри $A_1B_1C_1D_1E_1F_1$, то нейтральной

стелен сходит за пределы поперечного стелен. Часть стелен $A_1B_1C_1D_1E_1F_1$ носит симметрическое название ядра стелен. Отыскание этого ядра имеет существенное значение для частей сооружений, в которых можно ожидать раскрытия тва.

Построение ядра стелен для правильной формы.

Общий способ нахождения ядра стелен состоит в том, что к контуре стелен проводят касательные, которые выразят собой нейтральные линии. Относитель затем для них составляют уравнение помысл и соединив их, мы получим контур ядра стелен.

Пример 1^{ый} Дан прямоугольник (Фиг. 224) $ABCD$ и требуется определить его ядро стелен. Пусть нейтральная линия совпадает со стороной PA ; найдем координаты соответственной точки A_1 . Для этого предположим сначала наоборот, что помысл представляется по линии PA , y -е которой, очевидно, будет $y = h$. При таком представлении



Фиг. 224.

нейтральной линии будут вращаться около точки,

представляющей помысл для линии PA . Тогда помысл будет в точке P , координаты которой $y = h/2, z = -b/2$, y -е нейтральной линии будет:

$$1 + \frac{yh}{2b^2} - \frac{zb}{2bh} = 0$$

При положении помысла A с координатами $y = h/2$ и $z = b/2$, y -е нейтральной линии перейдет в

$$1 + \frac{yh}{2b^2} + \frac{zb}{2bh} = 0$$

Для нахождения точек пересечения этих прямых необходимо решить совместно их y -е относительно y и z ; получаем:

$$y = -\frac{2b^2z}{h} = -\frac{h}{6} \text{ и } z = 0 \text{ и } R_2 = \sqrt{\frac{b^2}{6}} = \sqrt{\frac{bh}{12}} = \frac{h}{\sqrt{12}}$$

Таким образом, помысл имеет координаты $y = -h/6$ и $z = 0$. Для перехода нейтральной линии (при движении ее по контуре стелен) из PA в AB , она вращается около точки A , при этом помысл будет представлять AB по прямой, которая будет иметь вид:

$$1 + \frac{hy}{2b^2} + \frac{bz}{2bh} = 1 - \frac{y}{m} - \frac{z}{n}$$

Не трудно видеть, что здесь $m = -h/6$ и $n = -b/6$.

Таким образом, в четвертом квадранте ядро стелен примет вид прямоугольного треугольника OA_1B_1 и, следовательно, для всего стелен оно представляется параллелограммом $A_1B_1C_1D_1$.

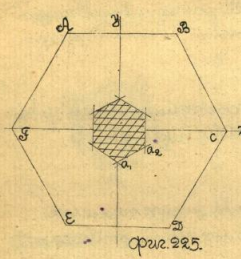
Из сказанного можно заключить, что в прямоугольном стелен экцентриситет, возмущающий раскрытия тва не должен превышать $1/6$ части длины стороны $||z||$ OA_1 , на которой находится точка положения помысла.

Пример 2^{ый} Определим ядро стелен правильного 6-тиугольника (сторона его a , Фиг. 225)

Проведем координатные оси OZ и OY (рис. 225) параллельно стороне AB как нейтральную линию, заставим ее вращаться помысл относительно A и B . Координаты этих точек будут:

Как известно для правильной 6-тиугольника ось OY является

А — $z = -a/2, y = \frac{\sqrt{3}}{2}a$
 Б — $z = a/2, y = \frac{\sqrt{3}}{2}a$
 в — $z = a, y = 0$
 Г — $z = a/2, y = -\frac{\sqrt{3}}{2}a$
 Д — $z = -a/2, y = -\frac{\sqrt{3}}{2}a$
 Е — $z = -a, y = 0$
 Ж — $z = -a/2, y = \frac{\sqrt{3}}{2}a$



$y_z = y_y = \frac{5\sqrt{3}}{16}a^2 = \omega R^2, \omega = \frac{3\sqrt{3}}{8}a^2$
 и следовательно $R^2 = \frac{5}{24}a^2$
 найдем:
 $1 + \frac{24\sqrt{3}y}{a} + \frac{24z}{a} = 0$... (g)
 $1 + \frac{24\sqrt{3}y}{a} - \frac{24z}{a} = 0$

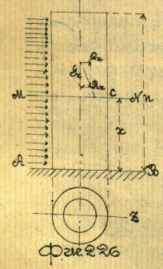
Откуда точка a_2 пересечения этих прямых т.е. по лос стороны ab будет иметь координаты
 $z=0, y = -\frac{a}{24\sqrt{3}}$
 Легко видеть, что центр стелен будет б-нугольником со стороны ab

$b = \frac{a}{24\sqrt{3}}$

Коорд-ы вершины a_2 найдем как коорд-ы точки пересечения прямой a_1a_2 (второе из ур-ий (g)) и нейтральной линии a_1a_2 -соответствующей по формуле F т.е. поперечной ур-ие $1 - \frac{24z}{a} = 0$... (h)

Сравнивая совокупно второе из ур-ий (g) и (h) находим коорд-ы точки a_2 :

$y = -\frac{a}{48\sqrt{3}}; z = \frac{a}{48}$



Прямая 3^{12} является пружинистой баши (Фиг. 226) высотой h , подверженная горизонтальному давлению ветра с силой q квд. на кв. м. Необходимо определить: будет ли раскрыта тв в стелен ab на высоте z над землей? Рассматривая часть баши ab , замечаем, что она подвержена действию горизонтальной силы, равной произведению из давлений ветра q квд

на площадь S_x -проекции баши $(h-x)$ метров высоты на плоскость \perp к направлению ветра, т.е. $q_x = q S_x$ и сила собственного веса S_x . Обе силы можно считать приложенными на оси баши на расстоянии $1/2(h-x)$ от стелен ab ; это дает равнодействующую $R_x = \sqrt{q_x^2 + S_x^2}$, направленная вправо от стелен с высотой $1/2(h-x)$ от стелен ab , замыкаем точку ветровости, если она лежит внутри эдра стелен или на его контуре, то раскрыта тв в стелен ab не будет.

Самым простым способом производится проверка сферических труб, которые при небольшой поперечной стелен обладают значительной высотой. Если труба как эдр, обыкновенно, имеет много наклонных, сходящихся от основания к вершине, то точка приложения равнодействующей будет от центра тяжести стелен не на расстоянии $1/2(h-x)$, а больше, и, следовательно, на расстоянии центра тяжести тв от ее широкого развода, тв от центра стелен от пересечения трубы вертикально и перпендикулярно направлению силы ветра.

Косой изгиб.

До сих пор рассматривались случаи изгиба пружинистой трубки, а также и тв эдра, равно противоположно, предполагая, что действующая нагрузка лежит в плоскости проходящей через ось трубки и одну из главных осей поперечного сечения. Если же наоборот кривая трубки (упругая кривая) расположена в той же плоскости, как и ось, тв эдра совпадают. Для трубки, у которой поперечное сечение имеет безразлично большое число главных осей (прямоугольник, квадрат, овал, направленные перпендикулярно к оси, всегда производят косой изгиб. Другое явление наблюдается в том случае, если ветровая сила лежит в плоскости содержащей ось трубки, но не совпадающей ни с одной из главных осей поперечного сечения. Стат. III. Сопрот. ст. 21, проф. И. И. Бобариков

Плоскость действующей силы (по-прежнему действительная) будет наклонена под некоторым углом к ней-же, в которой лежит продольная ось бруска (по-прежнему ось OX). Возьмем, положим, перпендикулярное сечение в форме прямоугольника (рис. 227). Его главные оси будут

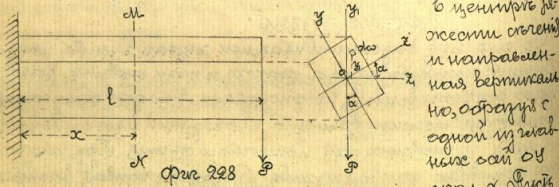


OY и OZ . Если сила (или силы) действуют по оси OZ , то нейтральной осью будем считать OZ , обратно, при направленных силах по OZ , последняя расположится по OY . Следовательно, в этом случае направление действия силы \perp к направлению нейтральной линии

Если же внешние силы действуют в по-прежнему по направлению к OY , то новое положение нейтральной оси не будет $OZ' \perp$ к OY' , а некоторое другое.

Можно доказать это положение, т.е. что при косом изгибе, нейтральная линия не будет \perp к по-прежнему действующей силе, следовательно образом.

Для бруска, закрепленного одним концом в стенку, на другой действует сила P (рис. 228), приложенная



в центре тяжести сечения и направлена вертикально, образуя с одной из главных осей OY угол α . Пусть нейтральная линия в перпендикулярном сечении расположена \perp к направлению силы по OZ , составляющей со второй главной осью OZ также угол α . Возьмем произвольное сечение бруска MN , на расстоянии x от места закрепления и в этом сечении симметричную площадку dA на расстоянии y и z от осей OY и OZ . Рассматривая равновесие правой части $(l-x)$ найдем одно из условий этого равновесия, а именно, что сумма моментов относительно оси OY всех внешних сил $= 0$. Момент dM , нормальный нейтральной будет

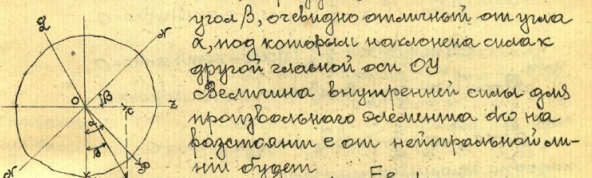
очевидно равен $\int y z dA z$, но $K_2 = \frac{E y}{\rho}$ и следовательно $dM = \frac{E}{\rho} y z dA z$, момент касательные напряжений, равно как и внешние силы P , обращаются в нуль, а потому получим:

$$\frac{E}{\rho} \int_0^l y z dA dz = 0 \text{ и } \int_0^l y z dA dz = 0$$

Интеграл представляет из себя центральный момент инерции относительно OY и OZ , а следовательно оси суть главные, что невозможно, т.к. таковыми являются уже оси OY и OZ .

Возьмемся теперь рассматриваем сечением нейтральной линии в перпендикулярном сечении при косом изгибе.

Пусть она в рассматриваемом сечении расположена по линии OX' , образующей с главной осью OZ угол β , очевидно отличным от угла α , под которым расположена сила P другой главной осью OY .



$$t = \frac{E e}{\rho} dA$$

Одно из условий равновесия α и β можно, суммируя моменты относительно главных осей, написать так: относительно оси OZ момент изгибающей силы P будет: $\int_0^l P e y dA dz$, следовательно:

$$P \cos \alpha \int_0^l (l-x) \int_0^l E e y dA dz = 0,$$

так как момент внутренних сил направлен в противоположную сторону сравнительно с моментом силы $P \cos \alpha (l-x)$.

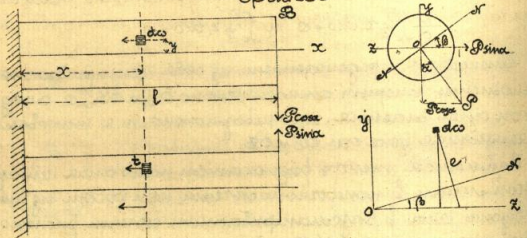
Относительно оси OY по аналогии составим:

$$P \sin(l-x) + \int_0^l \int_0^l E e z dA dz = 0$$

Здесь второй член взят со знаком $(+)$, потому что выражение для элементарного момента дает положительное произведение, как это видно из геометрической проекции на рис. 230. Расстояние z - перпендикуляр от нейтральной оси - может быть выражено $z = y \tan \beta$ и направлением в сечении MN , который при рассматривании правой части бруска надо брать как внешний.

так: $e = y \cos \beta - z \sin \beta$, а потому подставляя вместо e его значение через y и z , найдем!

Фиг. 230



$$\int \rho \cos \alpha (l-x) - \frac{E}{\rho} \int_0^l (y \cos \beta - z \sin \beta) y dco = 0$$

$$\int \rho \sin \alpha (l-x) + \frac{E}{\rho} \int_0^l (y \cos \beta - z \sin \beta) z dco = 0$$

$$\int \rho \cos \alpha (l-x) - \frac{E}{\rho} \left\{ \int_0^l y^2 \cos^2 \beta dco - \int_0^l z y \sin \beta \cos \beta dco \right\} = 0,$$

$$\int \rho \sin \alpha (l-x) + \frac{E}{\rho} \left\{ \cos \beta \int_0^l z y dco - \sin \beta \int_0^l z^2 dco \right\} = 0,$$

но $\int z y dco = 0$, ибо ось Ox и Oy главные и потому находим:

$$\rho \cos \alpha (l-x) - \frac{E}{\rho} \cos \beta \int_0^l z^2 dco = 0 \text{ и}$$

$$\rho \sin \alpha (l-x) + \frac{E}{\rho} \sin \beta \int_0^l z^2 dco = 0$$

Разделив почленно второе уравн. на первое, находим:

$$\operatorname{tg} \alpha = \frac{\sin \beta}{\cos \beta} \operatorname{tg} \beta \quad (47)$$

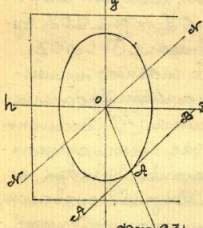
Выразив главные моменты инерции через площадь сечения инерции J_z и J_y получим:

$$\operatorname{tg} \alpha = \frac{J_z}{J_y} \operatorname{tg} \beta \quad (48)$$

Выражение (47) показывает, что нейтральная линия и направление изгибающей силы (линии действия) Если момент M_0 будет напр. во втором квадранте, то знак момента надо брать (-), но при этом и величина е по-прежнему другое выражение.

представляет собою два сопряженных диаметра эллипса инерции (Морсена Весселя)

Для этого основант, построив эллипс инерции данного сечения и, зная направление линии действия M_0 , легко найти положение нейтральной оси. Для этого углового сечения найдем $J_z = \frac{bh^3}{12}$; $J_y = \frac{bh^3}{12}$, а потому по формуле эллипса будут:



$$J_{x'} = \frac{1}{h} \sqrt{\frac{J_z}{a h}}; \quad J_{y'} = \frac{1}{a} \sqrt{\frac{J_z}{a h}}$$

Через точку пересечения e , всегда линии действия M_0 на линии действия с эллипсом проведем касательную AB , а через центр тяжести O , линию $AO' \perp AB$ (Фиг. 231). AO' будет искома нейтральная линия. Если бы раз-ложить действующую силу M_0 на

составляюща 11^{ая} главные оси, то получились бы изгибы того же бруска двумя силами $P_y = P \cos \alpha$ и $P_z = P \sin \alpha$ совпадающими перпен. с нейтральной, содержащей главную ось Oy' выходя с нейтральной, содержащей главную ось Ox' , каковы из них вызывают поворот изгиба в одной нейтральной линии. Ставим условие $\sum M_x = 0$ и $\sum M_y = 0$ мы примем для x тогда же формулы M_0 и M_0 а priori на основании независимости действий сил.

П.к. вообще, главные моменты инерции не равны, тогда сопротивление бруска изгибу не одинаково по отношению одной и другой главной оси.

Обычно сопротивление бруска изгибу с увеличением момента инерции, а потому изгиб относительно той оси, относительно которой больше момент инерции имеет наибольшее значение будет наименьшее изгибом. Эта ось изгиба располагается (в случае поворота изгиба) \perp той оси, относительно которой производится изгиб, а стало быть она (линия) содержит в себе другую главную ось. Так, ось для квадратного изгибаемого бруска является для нейтральной линии, одна нейтральная линия, а другая

он L_{α} - трудного. Первая, очевидно, закончат главную ось, относительно которой момент достигнет максимальной своей величины, а вторая наоборот.

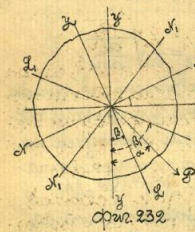
В общем случае, который мы только рассматривали, мы-есть кривая L изображается осцилло (Фиг. 232)

связан L с L_{α} к нейтральной линии NK . Угол, который L образует с осью OY , т.е. $L \perp OY$, будет очевидно равен $L\beta = L \perp OZ$. Пусть μ - угол между главными моментами I_y и I_z и I_x . Угол μ очевидно, для этого случая будет существовать неравенство $\mu < \beta < \alpha$, а следовательно $L\beta < L\alpha$. Другими словами, мы-есть кривая L расположена между нейтральной линией и нейтральной линией NK . Следовательно, наоборот, т.е. $\beta > \mu$, найдем $\mu > \beta$, тогда и $L\beta > L\alpha$, мы-есть кривая L расположена между нейтральной линией и нейтральной линией NK .

Аналог можно сказать: плоскость кривой всегда уклонится от нейтральной линии в сторону нейтральной линии NK . В такой форме теорему можно сформулировать так: Размещенная кривая симметрична I_y и I_z симметрии, равной радиус кривой соответствующих кривых в данном сечении I_y и I_z . Тогда можно написать

$$I^0(L-x) \cos \alpha = \frac{E I_z}{E_y}; \quad I^0(L-x) \sin \alpha = \frac{E I_y}{E_z}$$

Не трудно найти зависимость между I_y , I_z и E - радиусом кривой упругой кривой, помещающейся под действием одной силы P . В самом деле, найдем ординату o_a размещенной кривой в нейтральной линии L через η , а проекции этой ординаты o_b и o_c на OY , OZ через η и ξ . Т.е. абсциссы точек a , b и c нейтральной линии NK кривой симметрична относительно оси.

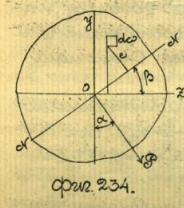


и e одинаковы и равны x , то будем иметь: $z = \eta \sin \beta$ и $y = \eta \cos \beta$.

Дифференцируя два выражения (1) по η получим: $\frac{d^2 y}{d\eta^2} = \frac{d^2 \eta}{d\eta^2} \cos \beta$ и $\frac{d^2 z}{d\eta^2} = \frac{d^2 \eta}{d\eta^2} \sin \beta$. Но $\frac{d^2 \eta}{d\eta^2} = \pm \frac{1}{\rho}$ можно также как: $\frac{d^2 y}{d\eta^2} = \pm \frac{1}{\rho}$ и $\frac{d^2 z}{d\eta^2} = \pm \frac{1}{\rho}$; а потому $\frac{d^2 y}{d\eta^2} \cos \beta = \pm \frac{1}{\rho} \cos \beta$ и $\frac{d^2 z}{d\eta^2} \sin \beta = \pm \frac{1}{\rho} \sin \beta$, а следовательно можно написать: $\frac{1}{\rho_y} = \frac{1}{\rho} \cos \beta$ и $\frac{1}{\rho_z} = \frac{1}{\rho} \sin \beta$.

Отсюда следует, что ρ_y и ρ_z суть проекции радиуса кривой на мы-есть OY и OZ , следовательно, углы β кривой, помещаемая при некотором угле β силами P_y и P_z суть проекции на мы-есть OY и OZ упругой кривой, которая помещается при некотором угле β силой P и, следовательно, при одновременном действии сил P_y и P_z ; поэтому если бы потребовалось найти стрелу кривой при какой-либо силе, отыскивать сначала стрелу кривой от составленных и если это окажется в одной половине отрезка, результирующую стрелу получим, как геометрическую сумму составляющих (с их проекций). Нетрудно для прямоугольного сечения a и b одной сосредоточенной силы, действующей на конце бруса найдем:

$$f = \sqrt{\left[\frac{1}{3} \frac{P_y L^3}{E I_y} \right] + \left[\frac{1}{3} \frac{P_z L^3}{E I_z} \right]} = \frac{4 P^3}{a^3 E} \sqrt{\left(\frac{\cos \alpha}{I_z} \right)^2 + \left(\frac{\sin \alpha}{I_y} \right)^2}$$



Внутренние силы. Для произвольного сечения o , отстоящего на расстоянии x от нейтральной линии NK (Фиг. 234) нормальные напряжения найдется как результирующее от действий сил $P_y = P \cos \alpha$ и $P_z = P \sin \alpha$. Находящая ордината o_a и o_b и o_c получим, что напряже-

не K_y , вызванное силой P_y будет $= \frac{P_y(l-x)}{I} \cdot K_2$ от другой точки силы P_x будет равно $K_2 = \frac{P_x x}{I}$. Не трудно видеть, что K_y есть направление растяжения, а K_x - сжатия, а потому результирующее напряжение в I квадранте как $K = K_y - K_x$. Для нахождения, лежащей во II квадранте ось направления будут растягивающими и, следовательно, здесь результирующее направление $K = K_y + K_x$, в III квадранте найдем $K = -K_y + K_x$ и в IV квадранте $K = -K_y - K_x$ а вообще, следовательно:

$$K = \pm (K_1 \mp K_2),$$

где знак (-) обозначает сжатие, а (+) растяжение. Поэтому результат может быть получен и на основании визуализационного разложения.

Действительно, для того же элемента dx величина внутренней силы выразится, как $t = \frac{E \cdot \epsilon \cdot dx}{l}$, зависящая от y и z получим:

$$t = K dx = \frac{E \cdot dx}{l} (\epsilon_y \sin \beta - z \sin \beta) = dx E \left(\frac{\cos \beta}{l} y - \frac{\sin \beta}{l} z \right) = E dx \left(\frac{y}{l} \cos \beta - \frac{z}{l} \sin \beta \right);$$

но $\frac{y}{l} \cos \beta = K_y$ и $\frac{z}{l} \sin \beta = K_x$ представляют собою внутренние напряжения на 1 кв. ед. вызываемые силами $P_y = P \cos \alpha$ и $P_x = P \sin \alpha$, а потому результирующее напряжение

$$K = K_y - K_x$$

Пример. Изогнутый прямоугольный брусок $a \times h$ (рис. 235)

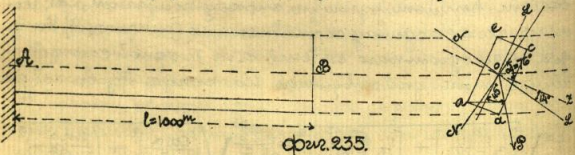


рис. 235.

длиною $l = 1000 \text{ мм}$, нагружен силой $P = 2000 \text{ кг}$, направление которой с главной осью OZ составляет угол $\alpha = 45^\circ$. Допустимое напряжение $2,5 \text{ кг/см}^2$. Определить a и h . Найти радиусы R_1 и R_2 ?

Найдем сначала углы β , образуемые нейтральной осью с осью OZ . Из выражений $\tan \alpha = \frac{z}{y} \tan \beta$, при $\frac{z}{y} = \frac{h}{a}$ и $\alpha = 45^\circ$ получим: $\tan \alpha = \frac{h}{a} \tan \beta = \frac{h}{a} \tan \beta = \tan \beta = 0,5 \tan \beta = 0,5 \tan \beta$, откуда $\tan \beta = 1,0$, откуда $\beta = 45^\circ$.

Так обр. угол $\beta = 45^\circ + 76^\circ = 121^\circ > 90^\circ$. Наибольший изгиб

бачкиной оси будет для замкнутого стержня $M = 2000 \cdot 1000 = 2000000 \text{ кг/см}$.

Напряжения K_1, K_2 определяются по выражениям:

$$K_1 = \frac{M y}{I_y} \text{ и } K_2 = \frac{M z}{I_z}, \text{ но } I_y = \frac{h a^3}{6} = \frac{2 a^3}{6} \text{ и } I_z = \frac{a h^3}{6} = \frac{4 a^3}{6}$$

Слагающие моменты:

$$M_1 = \frac{P l}{2} \cos 45^\circ = 1000 \cdot 1400000 \text{ кг/см}$$

$$M_2 = \frac{P l}{2} \sin 45^\circ = 1000 \cdot 1400000 \text{ кг/см}$$

а в таком случае

$$K_1 = \frac{1400000 \cdot a}{2 a^3} \text{ и } K_2 = \frac{1400000 \cdot a}{4 a^3}$$

Общее внутреннее напряжение, равное безразличному напряжению, будет:

$$K = 3 \text{ кг/см} = \frac{1400000 \cdot a \left(\frac{1}{2} + \frac{1}{4} \right)}{4 a^3} = \frac{6,3 \cdot 1400000}{4 a^2} \text{ отсюда}$$

$$a = \sqrt[3]{\frac{6 \cdot 1400000}{4}} = 128 \text{ мм}; \quad h = 2a = 256 \text{ мм}$$

В этом примере видно подтверждение того, что ось изгиба располагается ближе к той или другой стороне прогиба OZ , ибо угол $\beta = 90^\circ - 76^\circ = 14^\circ$.

Что касается касательных напряжений, то они найдены для рассматриваемого выше случая косяго угла да весьма просто. Для произвольного элемента dx с координатами y и z (отнесенными к главным осям Ox_1 и Oz_1) найдем, что касательное напряжение, вызываемое в этом элементе силой P_y будет: $K_1 = \frac{P_y y dx}{I_y}$ и от силы $P_x = K_2 = \frac{P_x z dx}{I_z}$, где e_1 и e_2 , и n_1 и n_2 суть радиусы кривизны вогнутой и выпуклой частей I и II нейтральной осей соответственно для осей Ox_1 и Oz_1 . Результирующее напряжение в каждом данном элементе найдем как геометрическую сумму. На элементе прилежащем к осевой линии для бруска с прямоугольным сечением $a \times h$ будем иметь:

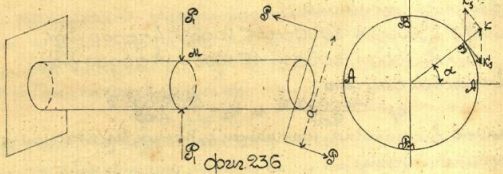
$$K_s = \frac{3 \sqrt{3}}{2} \cdot \frac{P}{a h}$$

В тех случаях когда на бачку действуют одновременно несколько в одной плоскости, то общее значение задано осевой линией, а именно, ось силы раскладывается на слагающие по направлению. Выбираем знак (-), ибо стрелками указываем направление силы, ищем соплат.

главные оси, и сразу сводится к плоскому изгибу.

Сдвиг и кручение.

Цилиндрический брусок, зафиксированный одним концом в стенку, скручивается в стержень $M \times L$ (фиг. 236) силами



P, P , и скручивается парой (P, P) , действующей в моменты конечного сечения. Деформация при кручении сводится к деформации сдвига и для круглого бруска постоянна, а потому и напряжения, вызываемые кручением, k_s для одного и того же радиуса (расстояний от оси) постоянно по длине бруска и достигают наибольшего значения в наружных волокнах.

В стержне $M \times L$ к этому напряжению добавляется еще напряжение k_s^0 от сдвига силами P_1, P_2 . Предполагая, что это последние распределены в стержне равномерно, не трудно найти наибольшее напряжение, возбуждаемое в брусок данной системой сил. Напряжение k_s^0 , вызываемое парой (P, P) направлено по касательной к окружности, напряжение от сдвига силы P , направлено вертикально. В какой либо точке D стержня, равнодействующая по величине и направлению будет равна диагонали параллелограмма, построенного на напряжениях k_s^0, k_s^0 , как на сторонах, т.е.

$$k_s = \sqrt{k_s^0^2 + k_s^0^2 - 2 k_s^0 k_s^0 \cos \alpha} \quad (49)$$

где $k_s^0 = \frac{M \times d}{2 J_0}$ и $k_s^0 = \frac{P}{\omega}$

Известно из выражений (49) заключаем, что наибольшее напряжение материала будет в точке A и направлено \parallel оси $Y^0 Z^0$, т.к. при $\alpha = 180^\circ$, $\cos \alpha = -1$ и тогда

выражение (49) обратится в:

$$k_s = \sqrt{k_s^0^2 + k_s^0^2 + 2 k_s^0 k_s^0} = k_s^0 + k_s^0 \text{ или } k_s = \frac{P}{\omega} + \frac{M d}{2 J_0}$$

Наибольшее напряжение материала возбуждается в точке A , при $\alpha = 0$

$$k_s = \frac{P}{\omega} - \frac{M d}{2 J_0}$$

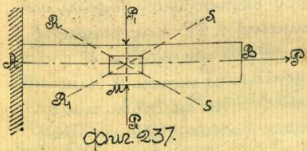
Распределение и сдвиг (формула St Venant)

В стержне одновременно действуют растягивающие (сжимающие) и сжимающие (растягивающие) усилия в газетках материала возбуждаются внутренними силами, как нормальные, так и касательные. Если бы было указано, что между деформациями растяжения (сжатия) и сдвига, существует взаимная связь и характерно она выражается тем, что явления растяжения сопряжены сдвигом и наоборот. На этом основании деформации сдвига можно выразить в деформациях растяжения и наоборот указать максимальное значение поперечных, что будет соответствовать максимальному значению и внутренним напряжениям.

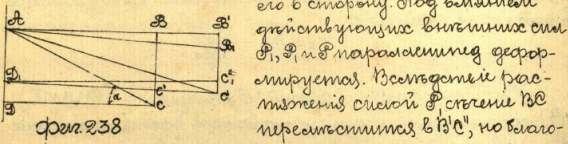
Пусть дан брусок, зафиксированный одним концом и находящийся под действием растягивающей силы P , край того в котором стержень $M \times L$ (фиг. 237) приложены сдвигающие силы P_1, P_2 . Из этого видно, что в газетках бруска 1) от A до M и 2) от M до B в волокна только растягиваются, в стержне же $M \times L$ они еще претерпевают сдвиг.

Разсмотрим плоскость PB , соединяющей с осью в котором угол α . Не трудно видеть, что результирующее относительное удлинение сечения, лежащего в этой плоскости будет φ -ий угла α .

$i = f(\alpha)$
т.к. с изменением положения поперечного сечения PB , изменяется и значение φ -ий i . Найдя эту функциональную зависимость, можно определить и по стержню PB , для которого де-

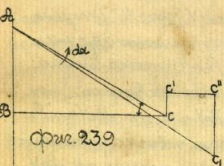


формации i , а сила и напряжение будут максимальны. Для этого вырезаем из данного бруска безконечно малый параллельник $ABCD$ (фиг. 238) и вынесем его в сторону. Под влиянием действующих внешних сил P, P и P параллельник деформируется. Все стороны переместятся в $B'C'$, но благодаря поперечному сжатию, размер $B'D' = BD$ уменьшится. Предположим, что $B'D'$ переместится в $B''D''$. Выгод. под влиянием деформации параллельник обратится в $A'B''C''D''$. Далее, под действием сжимающих сил P, P точки B'' и C'' переместятся в B_1, C_1 , образуя угол сгиба $\angle B_1A_1B_2 = \angle C_1D_1C_2 = \alpha$. Так обр. деформированный параллельник примет окончательный вид $A_1B_1C_1D_1$ (фиг. 239).



фиг. 238

Предельным какое-либо состояние, напр. диагональ AB . После деформации она получила новое положение и длину A_1B_1 . Перемещение точки B в B_1 (фиг. 239) можно раздвигать, как состав из трех взаимных перемещений: B'' вследствие продольного удлинения и $B''C''$ как результирующая сдвига. Если диагональ AB с перемещением из точки B вынесем отдельно, то увидим, что деформированная длина будет



фиг. 239

диагональ AB , замкнувшей стороной фигуры AB_1C_1 . По свойству замкнутой фигуры, проведя одной стороной в том же направлении равна сумме проекций всех других сторон на то же направление. Строим перпендикуляр AB_1C_1 на сторону AB_1 , но заметим при этом следующее: т.к. все звенья раздвигаются в предельных упругости, то очевидно $\angle B_1C_1A_1$ будет очень мал и можно принять с некоторой погрешностью, что сторона AB проектиру-

ется на AB_1 в натуральную величину. Тогда получим:

$$AB_1 = AB - BC \sin \alpha + C'B' \cos \alpha + A'B' \sin \alpha$$

$$\text{или } AB_1 - AB = C'B' \sin \alpha + C'B' \cos \alpha + A'B' \sin \alpha$$

откуда относительное удлинение диагонали AB :

$$i = \frac{AB_1 - AB}{AB} = \frac{C'B' \sin \alpha}{AB} + \frac{C'B' \cos \alpha}{AB} + \frac{A'B' \sin \alpha}{AB} \dots (a)$$

но $B'C' = AB \sin \alpha$ и $A'B' = AB \cos \alpha$ (фиг. 238), следовательно отсюда AB и подставляя $AB = \frac{BC}{\sin \alpha}$ в пересчет сделаем $AB = \frac{BC}{\sin \alpha}$ в остальные два члена второй части ур-ия (a) найдем:

$$i = \frac{BC}{BC} \sin^2 \alpha + \frac{C'B'}{AB} \cos \alpha + \frac{C'B'}{AB} \cos \alpha \sin \alpha$$

В этом ур-ии $\frac{C'B'}{AB}$ есть относительное поперечное сжатие, которое, как известно, выражается через относительное удлинение в зависимости от коэф-та Пуассона, т.е. $\frac{C'B'}{AB} = \mu i$ (здесь i - относительное удлинение стороны AB или то же, что и, стороны BC) и $\frac{C'B'}{AB} = i$, относительное продольное удлинение стороны AB $\frac{C'B'}{AB} = i$ - угол сдвига.

В таком случае:

$$i = \mu i \sin^2 \alpha + i \cos \alpha + i \sin \alpha \cos \alpha, \text{ но}$$

$$\sin \alpha = \sqrt{\frac{1 - \cos 2\alpha}{2}} \text{ и } \cos \alpha = \sqrt{\frac{1 + \cos 2\alpha}{2}}$$

поэтому

$$i = -\mu i \left(\frac{1 - \cos 2\alpha}{2} \right) + i \left(\frac{1 + \cos 2\alpha}{2} \right) + \frac{1}{2} \sin 2\alpha = i \left(\frac{1 - \mu}{2} \right) + i \cos 2\alpha \left(\frac{1 + \mu}{2} \right) + \frac{1}{2} \sin 2\alpha$$

то

$$i = A + B \cos 2\alpha + C \sin 2\alpha \dots (b)$$

Это ур-ие дает некоторую функциональную зависимость результирующей деформации от угла α . Чтобы определить максимальное значение этой относительного удлинения i , дифференцируем ур-ие (b) по α , находим:

$$-2B \sin 2\alpha + 2C \cos 2\alpha = 0 \text{ или } \frac{2}{\cos 2\alpha} (C - B \sin 2\alpha) = 0, \text{ но}$$

это выражение может быть обращено в нуль при $\frac{2}{\cos 2\alpha} = 0$ или при

$$C - B \sin 2\alpha = 0 \dots (c)$$

но $\frac{2}{\cos 2\alpha}$ не может обратиться в нуль, ибо $\cos 2\alpha$ может

наемой линии от $-1.90+1$. Поэтому необходимо продумать, определить значение α из условия (С), которое дает:

$$tg 2\alpha = \frac{C}{B}$$

П. к. вторая производная отрицательна, то угол, соответствующий наибольшему значению для рассматриваемой деформации. Последнее выражение и определяет значение α следовательно, положение площадки, при котором получаем наибольшее значение рассматриваемой деформации i .

$$i_{max} = A + \frac{B}{\sqrt{1 + (\frac{C}{B})^2}} + \frac{C}{\sqrt{1 + (\frac{C}{B})^2}} = A + \sqrt{B^2 + C^2}$$

Подставляя значение коэф-ов A, B и C и принимая во внимание, что коэф-ов B и C для боюшинства металлов можно быть приняты равными $\frac{1}{4}$, получаем:

$$i_{max} = i \left(1 - \frac{m}{2}\right) + \sqrt{i^2 \left(1 - \frac{m}{2}\right)^2 + \left(\frac{g}{2}\right)^2} \dots (50)$$

и для $m = \frac{1}{4}$

$$i_{max} = \frac{3}{2}i + \sqrt{\left(\frac{3}{2}i\right)^2 + \left(\frac{g}{2}\right)^2} \dots (51)$$

Ур-е (50) выражает собою простую формулу St. Venant, характеризующую боюшинство вопросов на собственное сопротивление. Подставив все ур-е (51) на E и принимая, что при $m = \frac{1}{4}$, $g = \frac{2}{5}E$ получаем:

$$k_{max} = \frac{3}{2}k_2 + \sqrt{\left(\frac{3}{2}k_2\right)^2 + \left(\frac{2}{5} \cdot \frac{1}{2} g^2\right)^2}$$

$$E i_{max} = k_{max} = \frac{3}{2}k_2 + \sqrt{\left(\frac{3}{2}k_2\right)^2 + \left(\frac{2}{5} \cdot \frac{1}{2} g^2\right)^2}$$

$$k_{max} = \frac{3}{2}k_2 + \frac{5}{2} \sqrt{k_2^2 + 4k_3^2} \dots (52)$$

А т. к. $k_2 = \frac{P}{\omega}$ - направлена от растяжения, $k_3 = \frac{P}{\omega}$ направлена от сжатия, то:

$$k_{max} = \frac{3}{2} \frac{P}{\omega} + \frac{5}{2} \sqrt{\left(\frac{P}{\omega}\right)^2 + 4 \left(\frac{P}{\omega}\right)^2} = \frac{1}{\omega} \left(\frac{3}{2}P + \frac{5}{2} \sqrt{P^2 + 4P^2}\right) \dots (53)$$

Выражение в скобках заключает в себе величина действующая сила P и P , следовательно, представляет собою также некоторую силу A . Другими словами система сил: растягивающей P и сжимающей P , могут быть заменена одной растягивающей A , величина которой получается сложением по формуле

St. Venant.

Если бы на брусок действовали одновременно только растягивающие силы, то рассматриваемая получилась подобным же образом с той лишь разницей, что вместо силы P в формулу войдет равнодействующая растягивающих сил.

Пример. Для иллюстрации скажем того возьмем следующий пример. Брус квадратного сечения, закрепленный в верхней части, растягивается силой $P = 2000$ кгс. Около центра закрепленный на брусок надето кольцо (рис. 240), к которому приложена сила

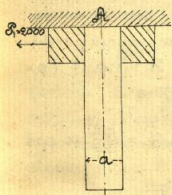


Рис. 240.

$P = 1000$ кгс. Очевидно, данный брусок в сечении A определяется этой последней силой. Определим какое поперечное сечение должен иметь брусок при совместном действии сил P и Q и в том случае когда эти силы действуют перпендикулярно. Безразлично направление материала $k_2 = 7$ кгс. и $k_3 = 14$ кгс. Подставляя в выражение (53) указанные значения, получим:

$$7 = \frac{1}{\omega} \left[\frac{3}{2} \cdot 2000 + \frac{5}{2} \sqrt{2000^2 + 4 \cdot 1000^2} \right] = \frac{1}{\omega} [750 + 5 \cdot 2322] = \frac{2517.5}{\omega}$$

Сторона поперечного сечения при совместном действии сил P и Q определится так:

$$a = \sqrt{\omega} = \sqrt{\frac{2517.5}{7}} = 18.9 \text{ см.}$$

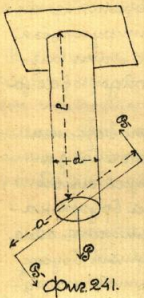
Если бы действовала только одна сила P , то расчеты получили бы:

$$7 = \frac{P}{\omega} = \frac{2000}{a^2}, \text{ откуда } a_1 = \sqrt{\frac{2000}{7}} = 16.9 \text{ см.}$$

В случае действия только одной силы Q , ур-е прочности $4 = \frac{Q}{\omega} = \frac{1000}{a^2}$, откуда $a_2 = \sqrt{\frac{1000}{4}} = 15.8 \text{ см.}$

Растяжение и кручение.

Цилиндрический брусок растягивается силой P и скручивается парой (P, P) (рис. 241). Собственно говоря, этот пример является частным видом того же разоб-



равного сечения сдвига и растяжения. В данном случае, деформации и напряжения в сечении кругового, переходя к деформации и напряжению сдвига. Отметим, что деформация лишь в том, что напряжение сдвига при кручении не распределяется равномерно. Оно сосредоточено наибольше напряжении по периметру сечения, следовательно, необходимо учитывать в расчетах, особенно на поверхности цилиндра. Принимая во внимание, что внутренние напряжения при кручении выражаются формулой $k_1 = \frac{M_2}{2J_0}$, а при растяжении деформацией $k_2 = \frac{P}{S_0}$, то подставив эти значения в формулу St. Venant, на-

ходим:

$$k_2 = \frac{3}{8} \frac{P}{S_0} + \frac{5}{8} \sqrt{\left(\frac{P}{S_0}\right)^2 + 4 \left(\frac{M_2}{2J_0}\right)^2}$$

но $M_2 = Pa$, а полярный момент инерции круга $J_0 = \frac{\pi d^4}{32}$ и $S_0 = \frac{\pi d^2}{4}$, поэтому:

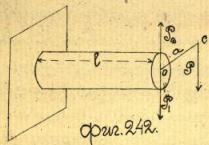
$$k_2 = \frac{3}{8} \frac{Pa}{\frac{\pi d^2}{4}} + \frac{5}{8} \sqrt{\left(\frac{Pa}{\frac{\pi d^2}{4}}\right)^2 + 4 \left(\frac{Pa \cdot \frac{\pi d^4}{32}}{\frac{\pi d^4}{32}}\right)^2} = \frac{4}{\pi d^2} \left[\frac{3}{8} Pa + \frac{5}{8} \sqrt{Pa^2 + \frac{64 P^2 a^2}{d^2}} \right] \quad (54)$$

Из этой формулы диаметр определяется изразрешением ур-ня (54) относительно d или подбором. В подобном случае, задавшись приблизительно величиной d , подставим в ур-е (54). Если равенство левой и правой частей не получится, то значение d увеличиваем или уменьшаем.

Кручение и изгиб.

На практике наиболее часто встречается этот вид соединенного приложения сил. В таком положении находится вал коробки и трансмиссионные валы и вообще части, передающие вращательный момент. Для исследования возьмем наиболее простой случай: к концу круглого стержня с диаметром d закрепимся одним концом в не-мн поперечном

сечении на расстоянии $a = OS$ от оси приложения силы P (Фиг. 242) лежащая в не-мн конического стержня. Приложим в центре O в не-мн того же стержня P_1, P_2 , равных и перпендикулярных друг другу сил. Стержень подвергается, следовательно, паре сил P_1 и P_2 и изгибу силой P . Напряжение, возникающее в материале при кручении бруса (M_2, P) будет:



$$k_1 = \frac{M_2 d}{2J_0} = \frac{Pa d}{2J_0}$$

где $M_2 = Pa$ и J_0 полярный момент инерции $J_0 = \frac{\pi d^4}{32}$. Напряжение материала от изгибающей силы P_1 :

$$k_2 = \frac{M_1 d}{2J} = \frac{P d}{2J}$$

где J - осевая момент инерции, ибо опасное сечение совпадает с местом приложения. Вращательные напряжения определяются из формулы St. Venant. Подставив в нее значение напряжений k_1, k_2 получаем:

$$k = \frac{3}{8} \frac{M_2 d}{2J} + \frac{5}{8} \sqrt{\left(\frac{M_2 d}{2J}\right)^2 + 4 \left(\frac{M_1 d}{4J}\right)^2} = \frac{3}{8} \frac{M_2 d}{2J} + \frac{5}{8} \frac{d}{2J} \sqrt{M_2^2 + M_1^2}$$

если положить $J = \frac{\pi d^4}{32}$, то полученное выражение примет вид:

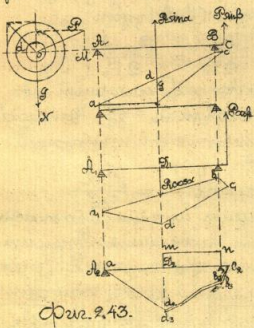
$$k = \frac{3Pa}{\pi d^3} \left[\frac{3}{8} M_2 + \frac{5}{8} \sqrt{M_2^2 + M_1^2} \right],$$

а т.к. $\frac{3}{8} \cdot \frac{3.14}{32} \approx 0.1$, то полученное можно выразить в более простом виде:

$$0.1 d^3 k = \frac{3}{8} M_2 + \frac{5}{8} \sqrt{M_2^2 + M_1^2} \quad (55)$$

Из этой формулы в правую часть вводим только один момент, поэтому ее можно переписать, как один единственный приближенный момент, т.е. положить $0.1 d^3 k = M_2$, где M_2 представит результирующий момент от осевых и вращательных P и крутящего Pa . Выражение $M_2 = \frac{3}{8} M_2 + \frac{5}{8} \sqrt{M_2^2 + M_1^2}$ обобщает собою и случаи сдвига, когда действует какой либо момент M_1 или M_2 . Когда $M_1 = 0$, т.е. при отсутствии кручения, получим $M_2 = M_1$. Когда $M_2 = 0$, находим $M_2 = \frac{5}{8} M_1$, откуда $M_2 = \frac{5}{8} M_1$, или иначе $k_2 = \frac{5}{8} k_1$, что очевидно и принимается.

Путь на валу AB действует G - вращающего колеса, R_1 - регулирующая поперечная сила и P - перемещая по оси вала, сила вращающего момента паровой машины. Возникает сила Q (рис. 243) на AB вращающемся AB по оси AB и OC , стороны кривой вращающегося момента $a_1, a_2, a_3, b_1, b_2, b_3$;



Фиг. 243.

каждой из точек геометрическим способом найдем результирующую кривую вращающегося момента $a_1, a_2, a_3, b_1, b_2, b_3$. Протянув сюда кривые моменты, который распределены равномерно между a_1 и b_1 кривошипа и b_2 - махового колеса, получим результирующую кривую, состоящую из вращающихся моментов $a_1, a_2, a_3, b_1, b_2, b_3$.

Изгиб и связь.

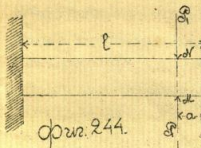
Брус, закрепленный одним концом, изгибается силой P и оказывается в точке AB силами P_1, P_2 .

Напряжения, возникающие в материале изгибающейся силой P будет $k_z = \frac{P \cdot l}{W}$, а напряжения материала от действия силы P_1, P_2 (рис. 244)

в точке AB , $k_z = \frac{P_1 \cdot l}{W}$. Результирующее напряжение определится очевидно, но общей формулы сдвигов (Л. В. Вант) и.е.

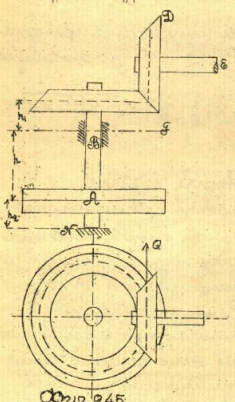
$$k_{max} = \frac{2}{3} P_2 + \frac{5}{3} \sqrt{\left(\frac{P_1 a}{W}\right)^2 + 4 \left(\frac{P_2}{\omega}\right)^2}$$

Во всех разрезных случаях на брус действует только две силы; на практике часто встречаются случаи, что брус подвержен действию 3-х, 4-х и больше сил. Разомкнем же примера, как и напряжения изменяются в зависимости



Фиг. 244.

касаний валов турбины. На ось AB вращающегося колеса A турбины, а вращающегося колеса C (Фиг. 245), которое и передает работу, разбиваемую турбиной; вращающему валу; так ось AB



Фиг. 245.

передает вращательное движение от турбины A колесу C и поэтому будет скручиваться. Если турбина разбивает работу в N кол. сил и n оборотов в мин., то момент скручивания вал будет:

$$M_c = \frac{7162000 N}{n} \text{ кг.м.}$$

а соответствующее напряжение материала

$$k_z = \frac{M_c \cdot d}{J}$$

где d - диаметр вала. На зубцы колеса C (Фиг. 246) действует давление Q со стороны колеса A . Приложен в центре колеса C две силы равные силе Q

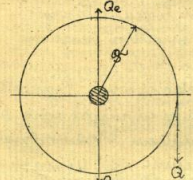
($Q_1 = Q_2 = Q$) и взаимно противоположны. Тогда получается пара (Q_2, Q_1) с моментом $M_k = Q \cdot d$ и сила Q_1 , изгибающая вал и вызывающая в нем напряжение

$$k_z = \frac{M_k \cdot d}{J}$$

Если брус вернется Q колеса C закручен, то он вызовет в валу соответствующее напряжение:

$$k_z = \frac{Q \cdot d}{\omega}$$

Так ось вала испытывает три напряжения k_1, k_2 и k_z ; не трудно видеть, что два последних напряжения k_2 и k_z направлены по оси вала,

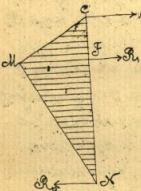


Фиг. 246.

Если вал опирается на подшипник M подшипник F , то напряжение момент, как это видно из предыдущего изображения (Фиг. 247) будет в точке F равен $M_k = Q \cdot d$.

1) Конечно, при расчете, то высота $h + h_0$ не совсем велика сравнительно с диаметром вала.

возможны могут быть сложены алгебраически в одно, а в таком случае вам подвергается



Фиг. 247

также двум направлениям:
 1) $K_1 + K_2$ и 2) K_3
 Возвращающему направлению найдется сложением K_1, K_2 и K_3 по формуле

$$K = \frac{2}{3} \{ K_1 + K_2 \} + \frac{5}{8} \sqrt{(K_1 + K_2)^2 + 4 K_3^2}$$

Продольный изгиб.

В статике считают упругим, если

это если определяем центральной силой, брусу изогнет дугу радиусом R превосходящую поперечный радиус, то первоначально прямолинейная ось бруска, с возрастанием действующей силы, начинает приближаться, померзая деформация, так называемого продольного изгиба. Явление это с точки зрения механики почти невозможно. В самом деле, полагая, что материал бруска совершенно однороден и дугоса, это сила по направлению точно совпадает с осью бруска, необходимо должно погрузиться явление изогнутого состояния. Длина (высота) бруска не играет никакой роли, следовательно же дуга зависит мале. Если бы дуга у дуга удалось получить материал идеально однородным, невозможно достигнуть вполне точного приложения силы, тем более, что она прилагается не в точке, а по некоторой поверхности. Следовательно явление изогнутого состояния, хотя бы и незначительное, является таким образом, необходимым. Прямолинейная форма бруска сохраняется лишь при изогнутом состоянии. При некоторой величине P возникнет нагрузка разрывной, конечно, в зависимости от материала и размеров бруска, брусок изгибается, разрывом поперечия AB (Фиг. 248) при которой образуется AC , в таком состоянии наблюдает

устойчивое равновесие, которое выражается в том, что если вывести точку A из положения (боковым толчком), то брусок после ряда колебаний возвратится в положение AB . По прекращении действия нагрузки, брусок возвращается в первоначальное положение AB . С возрастанием нагрузки P , напр. до P_1 , увеличивается крайняя стрелка прогиба u_1 и внутренняя сила уравновешивает крайнюю стрелку P_1 еще парой P_2 ч. Такое возрастание груза P возможно лишь до некоторого предела P . Эта сила вызывает стрелку u_2 и внутренняя сила могут уравновешивать стрелку P и изгиб парой P_2 ч, при чем по прекращении действия нагрузки P_0 брусок выпрямится. Но дальнейшее возрастание силы P является уже опасным в том смысле, что по прекращении ее дуга, стрелка прогиба не исчезает совсем. При сравнительно небольшой прибавке к грузу P_0 , брусок изгибается по AB и не может выпрямиться более. Силу P_0 называют обиходно предельной или критической нагрузкой для данного бруска. Выражение для величины ее в зависимости от материала и размеров бруска был дан Л. Эйлером, по нему и теперь называют эту силу P_0 критической.

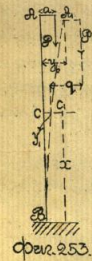
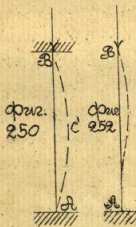
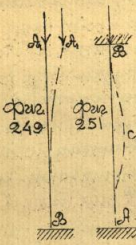


Фиг. 248

Прежде чем приступить к дальнейшему изложению явления продольного изгиба необходимо указать, как может быть закреплен брусок и какую форму при этом принимает его ось.

- 1) Брусок закреплен нижним концом, а верхний нагружен силой P (Фиг. 249). Ось бруска изогнется по кривой AB .
- 2) Оба конца бруска закреплены таким образом, что могут вращаться около точек A и B . При этом точки эти могут перемещаться лишь по оси бруска AB (Фиг. 250)

¹⁾ При этом, что такое будет изгибом.



3) Оба конца заштылены. Ос пролет аз покривой $z(x)$ (фиг. 251)

4) Нижний конец заштылен, а верхний может вращаться около точки A, при чем перемещение по вертикали допускаемо только по оси z . Ос бруска поминает как указано на фиг. 252.

Уравнение кривой $z(x)$ и $z'' = \frac{P}{EI} \sin \alpha x$ в зависимости от угла прогиба α . К. тактически не зр. приложимы силы абсолютно централизованые над опорой, положим, что сила приложена экцентриски на высоте a . Брус заштылен одним концом, а другой свободен (фиг. 253). Под действием момента $P_0 = Pa$ ось бруска поминает по кривой $z(x)$.

Так обр. стрелка прогиба точки A вращается от нулевой $z(0) = 0$. Возьмем на расстоянии x от начала заштыления стержень CC_1 . Стрелкой прогиба точки C будет ордината $z(x) = y$. Изгибающий момент для этого стержня определяем произведением $M = P_0 \cdot (y_0 + y)$, а угр-е кривой $z(x)$ будет:

$$EI \frac{d^2 y}{dx^2} = P_0 (y_0 + y) \quad (a)$$

В этом угр-и кривой второй производной переменной y , вводим и сама переменной y поэтому, чтобы упростить это выражение, введем новую переменную, а именно положим:

$$(y_0 + y) = z \quad \text{и кривой того} \quad (b)$$

Дифференцируя z по x , находим: $\frac{d^2 z}{dx^2} = \frac{d^2 y}{dx^2} = \frac{P_0}{EI} z$. Введем z в (a) и получим $b \frac{d^2 z}{dx^2} = \frac{P_0}{EI} z$ или $\frac{d^2 z}{dx^2} = \frac{P_0}{bEI} z = \frac{P_0}{EI} z$

Одним интегралом $z'' = \frac{P_0}{EI} z$ получим $z' = \frac{P_0}{EI} z$

$$\frac{dz}{z} = \frac{P_0}{EI} dx \quad \text{откуда}$$

или умножая обр. расим на $\frac{dz}{z}$ получим:

$$\frac{dz}{z} = \sqrt{2C - 2b^2 z^2} = \sqrt{2C - b^2 z^2}$$

интегрируя x находим:

$$z = \int \frac{dz}{\sqrt{2C - b^2 z^2}} + C = \int \frac{dz}{b \sqrt{\frac{2C}{b^2} - z^2}} + C =$$

$$= \frac{1}{b} \arcsin \frac{z \sqrt{b^2}}{\sqrt{2C}} + C \quad \text{или}$$

$$bx - bC = \arcsin \frac{z \sqrt{b^2}}{\sqrt{2C}}, \quad \text{откуда}$$

$$z = \frac{\sqrt{2C}}{b} \sin (bx - bC) = C_1 \sin bx + C_2 \cos bx$$

или примем $z = y - y_0 - a = C_1 \sin bx + C_2 \cos bx \dots (c)$

где C_1 и C_2 произвольные постоянные. Для определения C_1 и C_2 воспользуемся тем, что в точке заштыления B прогиба не имеется и угр-е наклона касательной к оси x в B равно нулю т.е. при $x=0, y=0$ и $y'=0$. В таком случае для стержня CC_1 из угр-и (c) имеем:

$$C_2 = -(y_0 + a)$$

Первая производная постоянная определяется, если взять первую производную y по x и приравнять ее нулю, т.е.

$$\frac{dy}{dx} = bC_1 \cos(bx) - bC_2 \sin(bx)$$

для точки $B, y=0$, при $x=0$, поэтому из последнего угр-и имеем $C_1 = 0$.

Так кривая прогиба принимает вид:

$$y - (y_0 + a) = -(a + y_0) \cos(bx) \quad \text{или}$$

$$y = (y_0 + a) \{1 - \cos(bx)\} \quad (d)$$

Не трудно видеть, что наибольшая стрелка прогиба будет в точке A , т.е. при $x=l$ и определяется из угр-и $y_0 = (a + y_0) \{1 - \cos(bl)\}$ откуда $y_0 = a \left\{ \frac{1 - \cos(bl)}{\cos(bl)} - 1 \right\}$

или подставляя значения параметров, находим:

$$y_0 = a \left\{ \frac{1}{\cos \left[l \sqrt{\frac{P_0}{EI}} \right]} - 1 \right\} \quad (e)$$

Если $\alpha = 0$, то как видно из последнего выражения и $y = 0$, т.е. прогиба нет и нагрузка, теоретически, лишь случай простого сжатия. Предположим, что α будет как угодно мало, но, во всяком случае, больше нуля, можно из ур-ия (5) определить величину критической силы. В самом деле, с возрастанием силы P , т.е. $\cos(\angle \overline{P} \overline{E} \overline{E})$ уменьшается, т.е. величина деформации (стрелка прогиба) возрастает и, очевидно, когда \cos обращается в нуль, т.е. когда $\angle \overline{P} \overline{E} \overline{E} = \frac{\pi}{2}$, y_0 обращается в ∞ . Если практически величина y_0 не может обратиться в ∞ , но для нас такое решение имеет совершенно определенное значение, ибо оно указывает, что при величии силы $P = P_0$, обратяющийся выражение $\angle \overline{P} \overline{E} \overline{E}$ в $\frac{\pi}{2}$, устойчивое равновесие невозможно. Следовательно, сила P_0 , определяемая из равенства:

$$\sqrt{\frac{P_0}{EJ}} = \frac{\pi}{2} \quad (4)$$

является предельной или критической (т.е. наименьшей) производимая нагрузка. Другим выражением (4) относительно P_0 , находим:

$$P_0 = \frac{\pi^2 EJ}{l^2} \quad (5)$$

Возьмем например, круглый поперечный стержень диаметра 10 мм , $l = 1000 \text{ мм}$, $E = 20000 \text{ кг/см}^2$. Из формулы

$$y_0 = a \left\{ \frac{1}{\cos \angle \overline{P} \overline{E} \overline{E}} - 1 \right\} \text{ найдем:}$$

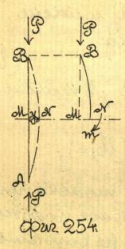
при $\alpha = 5 \text{ град}$	$y_0 = 32a$, при $P = 20 \text{ кг}$	$y_0 = 55,4a$
" $= 10$	$y_0 = 85a$, " $= 22,5$	$y_0 = 131,6a$
" $= 15$	$y_0 = 150a$, " $= 25$	$y_0 = \infty$

Стрелка бруса возрастает гораздо быстрее чем при увеличении силы. Напротив при малых нагрузках сравнительно мало, так при величии P равно критической, оно будет $k = \frac{25}{78,54} = 0,318 \text{ кг/см}^2$. Что касается величины эксцентриситета, то, конечно, она не может быть определена, ибо величина внутренних сил возрастает вместе с увеличением y_0 , что видно из равенства $P \cdot y_0 = \frac{P_0}{a} k z$. Формула $P_0 = \frac{\pi^2 EJ}{l^2}$ указывает, что критическая нагрузка

не зависит от величины эксцентриситета a и потому можно прийти к заключению, что при всяком a получается одна и та же деформированная сила P_0 . В действительности такое заключение неправомерно, т.к. формула (5) получена из дифференциального ур-ия кривой, которое, как известно уже из теории твиста, можно считать правильным постольку, но сколько допустима ошибка, все же действительная величина $\frac{d^2y}{dx^2}$ в выражении для радиуса кривизны Бодобное допущение сделано в предположении, что прогиб очень малый и, следовательно, все вышерассужденное радиус кривизны практически правильно лишь в предположении весьма малых величин для эксцентриситета a .

II способ закрепления бруса.

Данный случай можно свести к только что рассмотренному. В самом деле, рассмотрим данный брус по середине т.е. стеной MN введем поперечину в сторону (см. 254). Для равновесия внешней части



необходимо должен повисеть в ступени MN некоторый момент m , уравновешивающий момент внешней силы. Не трудно видеть, что этот момент m соответствует защемлению ступени MN и изгибаемый стеной P , т.е. данный случай отличается от предыдущего тем, что только длина бруса l , а $l/2$. Подставив эту величину в формулу (5), находим величину критической силы в случае свободно вращающихся концов зажатого бруса:

$$P_0 = \frac{\pi^2 EJ}{l^2} \quad (57)$$

III форма зажатия.

Не трудно видеть, что в данном случае в местах зажатия концов бруса (с и B) (см. 255) действуют зажимные моменты. Если возьмем ка-

кас любой точки Мел на расстоянии x от точки В, то для него изгибающий момент выразится, как сумма моментов внешнего и внутреннего, т.е.

$$M_x = -P_y + m,$$

а ур-е кривой изгиба:

$$-EI y'' = -P_y + m$$

или $y'' = \frac{1}{EI}(m - P_y) = \left(\frac{m}{EI} - y\right) \frac{P}{EI} \dots (g)$

Положив по привычке $b^2 = \frac{P}{EI}$ и интегрируя выражение (g), имеем:

$$y = C_1 \cos(bx) + C_2 \sin(bx) + \frac{m}{P} \dots (h)$$

Для определения произвольных постоянных, заметим, что для стержня А, т.е. при $x=0, y=0$, а в таком случае из ур-я (h):

$$C_1 = -\frac{m}{P}$$

Прим. 255. Для определения же C_2 продифференцируем ур-е (h):

$$y' = -b C_1 \sin(bx) + C_2 \cos(bx) \dots (k)$$

но при $x=0, y'=0$, поэтому из ур-я (k) имеем $C_2=0$. А тогда ур-е кривой примет вид:

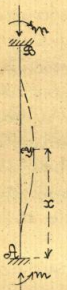
$$y = -\frac{m}{P} \cos(bx) + \frac{m}{P} \dots (l)$$

Далее заметим, что при $x=l, y=0$, в таком случае из ур-я (l) получим:

$$\frac{m}{P} = \frac{m}{P} \cos(bl) \text{ откуда } \cos(bl) = 1,$$

но $\cos(bl)$ может обращаться в единицу только при условии $bl=0$ или $bl=2n\pi$, где n — целое положительное число, но первое решение ($bl=0$) не разрешает нашу задачу, т.к. при этом и сила P обращается в нуль. Переходим поэтому к следующему решению. В виду того, что искомого решения должно быть наименьшим из всех ответов, необходимо взять для bl наименьшее значение, т.е. положить $n=1$ или $bl=2\pi$. Следовательно $\sqrt{\frac{P}{EI}} = \frac{2\pi}{l}$, откуда величина критической силы:

$$P_0 = \frac{4\pi^2 EI}{l^2} \dots (58)$$



IV случай закрепления стержня.

Угол с первого взгляда на чертеже необходимо заметить, что в А действует как сила, удерживающая конец стержня в одной точке (при $2b^2$) на линии АВ и что в В появляется изгибающий момент. В самом деле, поскольку, то в А действует та же сила P. Возьмем произвольное сечение Мел. Сумма моментов для, лежащих по одну сторону данного сечения, равняется сумме моментов сил, лежащих по другую сторону. Это условие приводим нас к выражению:

$$P_y - m - P_y \dots (m)$$

А т.к. изгибающий момент при условии неподвижности конца, не может равняться нулю, ур-е (m) представляется невозможным. Итак, мы должны допустить, что в А появляется некоторая сила Q, представляющая собственно реакцию этой опоры.

Для упрощения, начало координат предположим в А. В таком случае изгибающий момент для сечения Мел будет:

$$M_x = -P_y + Qx \text{ или}$$

$$EI y'' = -P_y + Qx \text{ откуда } y'' = \frac{1}{EI}(Qx - P_y)$$

послав снова $b^2 = \frac{P}{EI}$, находим общий интеграл:

$$y = C_1 \cos(bx) + C_2 \sin(bx) + \frac{Qx^2}{2P}$$

но т.к. при $x=0, y=0$, то из последнего ур-я имеем $C_1=0$. При $x=l$, кроме $y=0$ еще и $y'=0$, поэтому $0 = C_2 \sin(bl) + \frac{Ql}{P}$ или

$$C_2 = -\frac{Ql}{P \sin(bl)}$$

и окончательный вид ур-я кривой изгиба

$$y = -\frac{Ql \sin(bx)}{P \sin(bl)} + \frac{Q}{P} x$$

Возьмем первую производную последнего ур-я

$$y' = -\frac{bQl \cos(bx)}{P \sin(bl)} + \frac{Q}{P}$$



послав $x = l$, найдем $y = 0$ и тогда

$$-\frac{b \alpha l \cos(bl)}{P \sin(bl)} + \frac{Q}{P} = 0 \text{ или } \frac{Q}{P} \{1 + bl \cotg(bl)\} = 0$$

Как только это было указано, сила Q не может обратиться в нуль, а потому точно существует равенство:

$$1 - bl \cotg(bl) = 0 \quad \text{откуда} \\ bl = \operatorname{tg} bl$$

Результат срабатаний, указанных в предыдущем параграфе, необходимо брать наименьшее значение для bl , но отталкиваясь от нуля, ибо при $bl = 0$, P будет нулем, т.е. кривая не будет. Ближайшим приближением можно считать следующее значение $bl = \pi/2$. Отсюда будем иметь: $bl \sqrt{EJ} = \pi/2$ откуда величина критической силы:

$$P_0 = 2 \frac{\pi^2 EJ}{l^2} \quad (50)$$

Сравнивая выражения (56), (57), (58) и (59) видим, что от ступенчатой дуги от дуги только различаются коэффициентами. И потому, общей формулой для величины критической силы будет выражений

$$P_0 = \beta \frac{\pi^2 EJ}{l^2}$$

где коэффициент β , смотря по способу закрепления будет иметь значения $1/4, 1, 4$ или $9/4$.

Пользуясь формулой $P_0 = \beta \frac{\pi^2 EJ}{l^2}$ можно для каждого данного случая определить поперечные размеры бруса при заданных условиях, т.е. при известных EJ и нагрузке P . Принимая во внимание, что допустимая нагрузка в древесинах больше безопасной, необходимо считать, что она меньше критической, т.е. $P < P_0$. Обычно же полагают, что $P_0 = \alpha P$, где $\alpha > 1$ коэффициент безопасности. Его выбирают в зависимости от материала и условий работы сооружения.

Так, напр., для стальных колонн или стоек считают $\alpha = 8$, для стальных или железных 4-5, для дерева сосны 10-15.

Так обр., выбрав величину α , найдем:

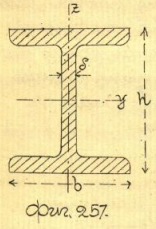
$$P_0 = \alpha P = \beta \frac{\pi^2 EJ}{l^2}$$

где β выбираем в указанном выше порядке, смотря по способу закрепления бруса. Чтобы видеть какой форма получается в применении той или другой формулы, возьмем пример: требуется рассмотреть стальной стоек двутаврового сечения (см. 257) длиной 3 мтр. с закрепленными концами и несущую вертикальную нагрузку $P = 1400$ кгтр.

Принимая $\alpha = 4$, найдем:

$$P_0 = 4 \cdot 1400 = \frac{4 \pi^2 20000 J}{3000^2}, \text{ откуда}$$

$$J \approx 65000.$$



Фиг. 257.

Момент инерции J должен быть наименьший, ибо стойка всегда нагружена прогибается в направлении наибольшего изгиба. В данной случае ось инерции OZ будет ось 2-го главного изгиба будет ось OZ . По германскому соотношению относительной величины инерции соответствует $\lambda = 8$, т.е. $h = 80 \text{ мм}$, $b = 42 \text{ мм}$ и $\delta = 3,15 \text{ мм}$, вес погонного метра 5,10 кгтр.

Если бы стойка была верхний свободный конец, то при тех же данных получили $J = 1008000$, чему соответствует $\lambda = 20$ ($\lambda = 17000$) т.е. $h = 200 \text{ мм}$, $b = 98 \text{ мм}$, $\delta = 7,15 \text{ мм}$ и вес погонного метра 26,1 кгтр.

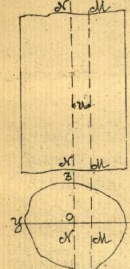
Поэтому наивысший от изгиба при продольном изгибе наблюдается в стали. Не трудно видеть, что величина его незначительна, особенно во 2-й ступень. Так для профилей № 8 напряжение стали будет:

$$k = \frac{1400}{60} = \frac{1400}{757} = 1,85. \text{ Профиль № 20 даст: } k = \frac{1400}{434} = 0,415 \text{ кгтр.}$$

Формула $\beta \frac{\pi^2 EJ}{l^2}$ не включает в себя величины внутренней сил, что надо считать в высшей мере. Кроме того, она не вполне характеризует действие, т.к. поперечные сжимающей силы указывает на то, в β объективно принято ее называть формулой Эйлера.

это по существу продольной изгиб-сдвиг изгиба в сложного сопротивления. Чтобы ввести в расчет продольное сжатие, необходимо обратиться к формуле Эйлера дополнив на основании следующего соображения.

При малости осевых напряжений k' , нейтральной осью из своего положения M перейдет в M_0 (рис. 258) и следовательно радиус кривизны изгибного стержня обратится в $R+n$; при этом кривой изгиба будет:



величина n найдется из условия, что на минимуме напряжений от растяжения $k = \frac{M_0 x}{E I}$ должно быть равно по абсолютной величине напряжению при сжатии т.е. $\frac{M_0 x}{\omega} = \frac{P}{\omega}$, или $n = \frac{P \omega}{M_0 \omega}$, а следовательно:

$$M_x = \frac{E I \beta}{g + \frac{P \omega}{M_0 \omega}}$$

определяя момент M_x , находим:

$$M_x = \frac{E I \beta}{g} \left(1 - \frac{P \omega}{E \omega} \right)$$

Это при этом отличается от основного при изгибе, из которого выводится и формула Эйлера, множителем $1 - \frac{P \omega}{E \omega}$, а потому в последнюю надо вставить:

$$\left[1 - \frac{P \omega}{E \omega} \right] \text{ вместо } \beta, \text{ тогда получим:}$$

$$P_0 = \beta \frac{E I \beta}{l^2} \left[1 - \frac{P \omega}{E \omega} \right] \text{ или } P_0 = \frac{\beta^2 E I \beta}{l^2 + \frac{P \omega}{E \omega}}$$

Следующими примерами можно показать, что прибавка в знаменателе $\frac{P \omega}{E \omega}$ имеет весьма ничтожное значение даже для малых величин l , поэтому ввиду этой прибавки можно заметить, что коэффициент β .

Возвратимся к разобранному выше примеру и возьмем профиле двутаврового железа $N \approx 10$, для которого $\omega = 3050 \text{ мм}^2$, полагая $\beta = 4$ и $\beta = 0,25$, длина

изменяется от $l = 500 \text{ мм} - 1000 - 2000$ и 4000 мм и определяем величину критических сил по формулам:

$$P_0 = \beta \frac{\pi^2 E I \beta}{l^2} \text{ и } P_0 = \frac{\beta^2 E I \beta}{l^2 + \frac{P \omega}{E \omega}}$$

	$l = 500 \text{ мм}$	$l = 1000 \text{ мм}$	$l = 2000 \text{ мм}$	$l = 4000 \text{ мм}$
$\beta = 4$	30500	30200	77625	76500
$\beta = 0,25$	10450	10250	48625	48600
			1215,6	1215
			304	304

Эта таблица подтверждает выше практическое соображение о том, что при расчете длинных стоек величина продольного сжатия можно пренебречь.

Вывод формулы Эйлера основан, как видно, из предположения в виде по общей теории изгиба, с обычными допущениями в выражении для радиуса кривизны. Кроме того, теория предполагает, что искривление стержня при продольном и отсюда вытекает вывод. Оба эти обстоятельства сближают своим выводом то, что должно быть посыле своего пользования (особенно 1702) формула не использовалась доверчив и был предпринят ряд попыток к созданию различного рода эмпирического характера, в особенности, когда теоретические выкладки и посыле введения в расчет полагая выражения радиуса кривизны приведем, посыле разсмотрения полученных и других примеров, к той же формуле Эйлера. Так Маллер и Ван-Копе, полагая, что продольный изгиб может казаться тем же при известном Эйлере, полагая, что он выражается как $\alpha = \frac{e^2}{l}$, где l - длина стержня, e - расстояние наиболее удаленного волокна от оси симметрии. При этих условиях, не принимая во внимание кривизну стержня можно сказать, что в самом начале изгиба и наибольший момент $M = P \alpha = \alpha \frac{P \omega}{E}$. Наибольшие напряжения k (сжатие) сложится из $k_1 = \frac{P}{\omega}$, т.е. непосредствен-

ного сосания и $k_2 = \frac{P_2 e}{S} = \alpha \frac{P_1^2}{S^2}$ напряжении сосания от трубящей пары. Следовательно:

$$k = k_1 + k_2 = P \left\{ \frac{1}{\omega_0} + \frac{\alpha^2 P_1^2}{S^2} \right\} = \frac{P}{\omega_0} \left\{ 1 + \alpha \left(\frac{1}{2} \right)^2 \right\},$$

если $\varphi = \cos^2$, где α - радиус ширин.

Из полученного выражения найдем, что сила, сосательная брусок будет равна:

$$P = \frac{\omega_0 k}{1 + \alpha \left(\frac{1}{2} \right)^2} \quad (60)$$

Не трудно показать, что формула (60) легко может быть получена, пользуясь формул Дилера. Проф. Viennelle, при решении вопроса, полагает, что при сдвиге стоек нажимая с него молотом, когда сила достигает своего полного значения и, стало быть, действует динамически. Следовательно упр-е движения для конца стойки, на котором приложена сила, и формул упрощен, он приводит к тому же ур-ю $Mx = -Py$, которое служит основой для Дилера.

Но принимая во внимание, что модуль упругости E не есть величина постоянная, а изменяется вместе с напряжением k и может быть выражено как $E = A - Bk$, он получает формулу:

$$P = \frac{10 A \omega_0}{10 B + \left(\frac{1}{2} \right)^2} \quad (61)$$

которая, по словам автора, хорошо сходится с данными опыта.

Для бруска свободно лежащего:

$$P = \frac{10 A \omega_0}{10 B + \left(\frac{1}{2} \right)^2} \quad (62)$$

Легко заметить, что и формула Viennelle прямо получается из формул Дилера; так вставляя в выражение $P = \frac{10 A \omega_0}{10 B + \left(\frac{1}{2} \right)^2}$ вместо E его значение $E = A - Bk$ приходим к выражению (61).

Из сказанного выше приходим к заключению, что формул Дилера является наиболее обоснованной теоретически, а принимая во внимание, что несовпадение вычисленных результатов с 2) Вторым способом закрывания концов.

полученными опытными данными есть форма всех теоретических формул, можно принять за величину $P = \beta \frac{P_1^2}{S^2}$ наиболее правильной. На ряду с ней можно в практике встретить целый ряд эмпирических, указать на свое преимущество эти последние формулы перед формул Дилера; наибольшим распространением пользуется формула Navier и Банкс. Для некоторого случая \cos^2 (стр. 259) на

разности x от точки A , имень величину трубящего молотом $= Py$ внутреннее напряжение будет:

$$k = \frac{P}{\omega_0} + \frac{Py e}{S} \quad (63)$$

где e - расстояние крайней фибры от нейтральной оси. Подставив относительное сжатие в этой волокне через i (см. стр. 259) получим:

$$\frac{Py e}{S} = E i \text{ откуда } P = \frac{E P_1 i}{y e};$$

приравняв величину P критической силы, получим:

$$\frac{E P_1 i}{y e} = \pi^2 \frac{E J}{L^2}, \text{ откуда } y = \frac{P_1^2}{\pi^2 E}$$

или, вставляя значение y в ур-е (63), имеем:

$$k = \frac{P}{\omega_0} + \frac{P_1^2}{\pi^2 S} = \frac{P}{\omega_0} \left\{ 1 + \alpha \left(\frac{1}{2} \right)^2 \right\} \text{ если } \cos^2 = \beta, \text{ т.е.}$$

$$P = \frac{\omega_0 k}{1 + \alpha \left(\frac{1}{2} \right)^2} \text{ т.е. ур-е (60)}$$

Здесь α - радиус инерции и $\alpha = \frac{I_0}{F}$. Полагая предельное напряжение равным k , найдем $\alpha = \frac{k_1}{\pi^2 E}$, что дает для железа: $k_1 = 20 \text{ кг/см}^2$ — $\alpha = 0,0001$;

" чугуна: $k_1 = 30$ " — $\alpha = 0,0003$;

" дерева: $k_1 = 3$ " — $\alpha = 0,0003$.

Следует заметить, что статья бруска при большой его длине и значительном эксцентриситете.

Пусть брусок AB с длиной l закреплена в точке A и B одним из концов по второму способу. (См. стр. IV. Сопром. машин. 2-й проф. И.И. Бобарыкин)

катушки и напряженности \mathcal{E} , примененной на пилот $\mathcal{E}l = a$ (формула 260). Исходя из результатов, которые мы получили при выводе формулы Дюваля, мы можем написать, что наибольшее напряжение в точке B будет (формула)

$$f = a \left\{ \frac{1}{\cos(\sqrt{\frac{\mathcal{E}l}{E\mathcal{E}}})} - 1 \right\}$$

Поэтому результирующее напряжение K состоит из двух $K_1 = \mathcal{E} \cdot a$ и $K_2 = \pm \mathcal{E}(a+f)$:

формула 260.
$$K = \frac{\mathcal{E}l}{\omega} \pm \frac{\mathcal{E}a}{\omega} \left\{ \frac{1}{\cos(\sqrt{\frac{\mathcal{E}l}{E\mathcal{E}}})} - 1 \right\} + \mathcal{E}a$$

$$K = \frac{\mathcal{E}l}{\omega} \pm \frac{\mathcal{E}a\omega}{\omega \cos(\sqrt{\frac{\mathcal{E}l}{E\mathcal{E}}})} \quad (10)$$

Не трудно видеть, что $\cos(\sqrt{\frac{\mathcal{E}l}{E\mathcal{E}}})$, вообще, величина близкая к единице, поэтому указанная формула применима только при значениях a более или менее малых; при малых величинах всегда пользуются формулами простейшего случая.

Для примера положим дано: $l = 4 \text{ м}$, $a = 0,5 \text{ м}$, $\mathcal{E} = 8000 \text{ в/см}$, стержень стальной, материал цинк. Пусть результаты расчета будут на расстоянии диаметра $a = 2,75 \text{ см}$, толщина стержня $\delta = 2,5 \text{ см}$. Тогда $\omega = 196,35 \text{ кв. см}$ и $E = 15403 \text{ г/см}^2$. Подставляя данные в формулу (10), находим $K = 3405 - 3,720 = -3,315$. Знак минус обозначает растяжение. Если бы $a = 0$, то применяя формулу Дюваля для случая распределения, найдем:

$$\frac{8000 \cdot 154030000}{4 \cdot 4000^2} \approx 240000;$$

откуда видно, что дано напряжение $\alpha = \frac{240000}{8000} = 30$, т.е. стержень удлиняется в 30 раз.

Разсмотрим еще случай, когда при продольном изгибе, стержень прогибается еще силой l в одной линии, силой a , примененной по середине (формула 261). Для стержня l и a изгибающий момент (для сил, лежащих в одной плоскости) будет:

$$M_x = -\left(\frac{Qx}{2} + \mathcal{E}y\right)$$

и ур-ие кривой:

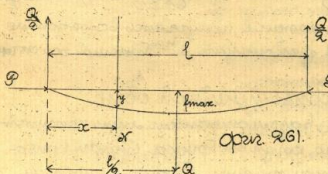
$$E\mathcal{E}y'' = -\left(\frac{Qx}{2} + \mathcal{E}y\right)$$

мы можем решить имитран в форме:

$$y = C_1 \sin(bx) + C_2 \cos(bx) - \frac{Qx}{2}$$

где $b = \sqrt{\frac{\mathcal{E}}{E\mathcal{E}}}$, полагая $x = 0$, имеем $y = 0$; при $x = \frac{l}{2}$; $\frac{dy}{dx} = 0$, а потому:

$$C_1 = \frac{a}{2b\mathcal{E}\cos(\frac{1}{2}bl)}$$



$C_2 = 0$ ур-ие кривой

$$y = \frac{a \sin(bx)}{2b\mathcal{E}\cos(\frac{1}{2}bl)} - \frac{Qx}{2\mathcal{E}}$$

откуда

$$y_{\max} = y_1 = \frac{a \mathcal{E} \cos(\frac{1}{2}bl)}{2\mathcal{E}b} - \frac{al}{4\mathcal{E}} = \frac{a}{2\mathcal{E}b} \left[\mathcal{E} \cos(\frac{1}{2}bl) - \frac{bl}{2} \right]$$

направление в крайнем волокне будет, очевидно:

$$K = \frac{\mathcal{E}l}{\omega} \pm \frac{\mathcal{E}y_{\max}}{W} + \frac{\mathcal{E}l}{2}$$

Отсюда тем не менее перед собой два знака в зависимости от того будет ли растяжение или сжатие. Разложим выражение $\mathcal{E} \cos(\frac{1}{2}bl) - \frac{bl}{2}$ в ряд:

$$\mathcal{E} \cos(\frac{1}{2}bl) - \frac{bl}{2} = \mathcal{E} \left(1 - \frac{(\frac{1}{2}bl)^2}{2!} + \frac{(\frac{1}{2}bl)^4}{4!} - \dots \right) - \frac{bl}{2}$$

принимая выражение $\frac{bl}{2}$ единицы $\frac{1}{2}$, а т.к. при таких значениях получаем ряд сходящийся, то, довольствуясь первыми двумя членами, находим:

$$y_{\max} = \frac{a}{2\mathcal{E}b} \left(\frac{\mathcal{E}l^2}{24} + \frac{\mathcal{E}l^4}{48\mathcal{E}^3} \right) = \frac{a}{48\mathcal{E}b} \left(1 + \frac{bl^2}{10} \right) = \frac{al^2}{48E\mathcal{E}} \left(1 + \frac{\mathcal{E}l}{10E\mathcal{E}} \right);$$

но имеем перед собой знак плюс или минус, как стержень прогибается, производимая силой Q . Находим ее величину f_0 , найдем:

$$f_{\max} = f_0 \left(1 + \frac{\mathcal{E}l}{10E\mathcal{E}} \right)$$

Для примера положим $\mathcal{E} = 5000 \text{ в/см}$, $a = 1000$, $l = 4000 \text{ см}$, двутавровый балка № 23 (серийный сортамент), по $\frac{dy}{dx}$ обращается в нуль при $x = \frac{l}{2}$, а $\frac{d^2y}{dx^2}$ является отрицательным.

$h = 290 \text{ mm}$, $b = 122 \text{ mm}$, $\omega = 6480$. Наименьший момент инерции 4030000 , $W = 66100$. Брусок лежит плашмя.

$$f_{\text{max}} = \frac{1000 \cdot 4000^3}{48 \cdot 20000 \cdot 4030000} \left\{ 1 + \frac{5000 \cdot 4000^2}{10 \cdot 20000 \cdot 4030000} \right\} = 182 \text{ mm}$$

$$k_{\text{max}} = \frac{5000 \cdot 182 + 500 \cdot 2000}{66100} + \frac{5000}{6480} = 17,26 \text{ kgx}$$

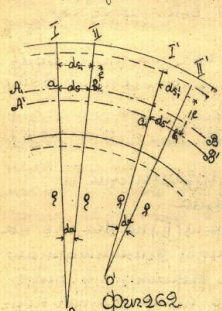
Такое большое напряжение получается вследствие деформации, т.е. она в действительности \perp к большой оси отечен.

Углы бруска с криволинейной осью.

Здесь ограничимся рассмотрением лишь простейшего случая, а именно, когда ось бруска, будучи криволинейной, лежит в одной плоскости. Радиус кривизны может измениться при переходе от отечен к отечен. Рассмотрим, как выражается зависимость между внешними и внутренними силами и как построить деформированную ось бруска.

Для простейшей формы зададим положение: 1) центры тяжести поперечных сечений, перпендикулярных к оси расположены по дуге окружности в плоскости, в которой лежат действующие внешние силы, 2) крайнюю точку, принадлежащую каждому поперечному сечению по одной из главных осей инерции, 3) внешние силы лежат в плоскости. В таком случае произвольная система внешних сил приводится к равнодействующей R и паре M . Силу R приложим в центре тяжести сечений O . Она вызовет в нем наклонение радиусов инерции и скашивание и вместе с парой M производит деформацию бруска. Пусть на некоторой части бруска выделена в сторону (см. рис. 262); ось бруска и поперечное сечение указывают положение выделенной части после деформации $o'1'$ в новое положение o . Возьмем два бесконечно близких сечения I и I' , центры которых, переходя в точку O , образуют между собой угол $d\varphi$. Новое положение этих сечений будет I и I' , угол между ними $d\varphi'$. Если O и O' можно рассматривать как центры кривизны

на дуге, заключенных между сечениями I и I' , I' и I'' .



Если теперь возьмем бесконечно малую дугу деформации ее величина будет: $ds = (r + e) d\varphi$, а после деформации $ds' = (r' + e) d\varphi'$, относительное удлинение выразится так:

$$i = \frac{ds' - ds}{ds} \quad (a)$$

Если дуга бесконечно малая, равнодействующая по оси деформации $ab = ds = r d\varphi$ а после деформации $ab' = ds' = r' d\varphi'$, то его относительное удлинение выразится через

$$i = \frac{ds' - ds}{ds} = \frac{r' d\varphi' - r d\varphi}{r d\varphi} - 1, \text{ откуда } ds' = (1 + i) ds. \quad (b)$$

Но т.к. O и O' суть центры кривизны дуг ds, ds', ds' и ds' , то найдем соотношения:

$$\frac{ds}{ds} = \frac{r + e}{r} \text{ и } \frac{ds'}{ds} = \frac{r' + e}{r} \text{ или } ds' = (1 + \frac{e}{r}) ds. \quad (c)$$

и $ds' = (1 + \frac{e}{r}) ds$. Проинтегрируем по основанию выразений (b) обратимся к:

$$ds' = (1 + i) (1 + \frac{e}{r}) ds \dots (d)$$

Стоимость знаменателя ds , из (c) и ds' , из (d) в выражении (a) получим:

$$i = \frac{(1 + \frac{e}{r}) (1 + i) ds - (1 + \frac{e}{r}) ds}{(1 + \frac{e}{r}) ds} = \frac{(1 + i) (1 + \frac{e}{r}) - (1 + \frac{e}{r})}{1 + \frac{e}{r}}$$

приведем и вычтем из числителя по $\frac{e}{r}$, найдем:

$$i = \frac{(1 + \frac{e}{r}) (1 + i) - (1 + \frac{e}{r}) + \frac{e}{r} - \frac{e}{r}}{1 + \frac{e}{r}} = \frac{i + 1 + \frac{e}{r} + \frac{e}{r} i - 1 - \frac{e}{r} + \frac{e}{r} - \frac{e}{r}}{1 + \frac{e}{r}} =$$

$$= \frac{e i (\frac{1}{r} - \frac{1}{r}) + e (\frac{1}{r} - \frac{1}{r}) + i (1 + \frac{e}{r})}{1 + \frac{e}{r}} = i \frac{1 + \frac{e}{r}}{1 + \frac{e}{r}} + \frac{e (1 + i) (\frac{1}{r} - \frac{1}{r})}{1 + \frac{e}{r}}$$

Из этого видно, что по сравнению с e величина i невелика по сравнению с e , можно с точностью до $\frac{e}{r}$ пренебречь.

В деформированном бруске рассматривается, конечно, бесконечно малая дуга на поверхности e от осевой линии.

Итак, относительное удлинение волокна, отстоящего от оси на расстоянии e , выразится так:

$$i_1 = 1 + e (1+i) \left(\frac{1}{\rho_1} - \frac{1}{\rho} \right) \quad (I)$$

Умножив обе части этого равенства на модуль упругости E , получим соответствующие напряжения материала на 1 кв. см сечения:

$$k = E i_1 = E i + E e (1+i) \left(\frac{1}{\rho} - \frac{1}{\rho_1} \right) \quad (II)$$

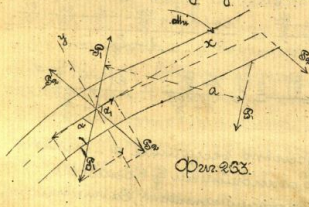
Зависимость между внешними и внутренними силами.

Если умножим обе части уравн. (II) на dc , т.е. на величину площади поперек сечения элементарного волокна и проинтегрируем все выражение в пределах поперечного сечения бруска, то получимая полная величина внутренних сил, уравновешивающих приложенную внешнюю систему:

$$\int_0^a E i_1 dc + \int_0^a E e (1+i) \left(\frac{1}{\rho} - \frac{1}{\rho_1} \right) dc = Q \quad (C)$$

Полная определит значение Q , возьмем элемент Δ бруска и по направлению касательной к осевой линии проведем ось X прямолинейной системы координат; ось OZ направлена \perp к-ти кривой. Примем в центр тяжести сечения Δ две силы P_1 и P_2 равные по величине и направленные одной из внутренних сил, но противоположные друг другу. Полагаем пару с моментом $P_1 \cdot \Delta z = P_2 \cdot \Delta z$ (рис. 263).

Силу P_1 разлагаем по оси Ox и Oz . Сила P_1 вызывает растяжение (сжатие) в сечении Δ . Сила P_2 и эта производит сжатие в m -сми того же сечения. Пара $P_1 P_2$



прибавит бруску относительно оси X к-ти-сми крутятся. Если бы на бруске действовали еще силы, то прибавила к катодой из них не те силы, а результирующая, она равнялась нулю.

силу парой с приближением моментом M_n , силой растягивающей (сжимающей) $P_2 \cos \alpha$ и сжимающей $P_1 \sin \alpha$. Вычитая из всех моментов и сил, мы найдем, что бруску прибавит моментом $M = \sum M_n = \sum P_1 a$ и растягивает силой $Q = \sum P_2 \cos \alpha$ и сжимающей силой $S = \sum P_1 \sin \alpha$, которой пока пренебрегаем. Возвращаясь к выражению (C) запомним, тогда любого данного сечения E, i, e являются величинами постоянными и следовательно могут быть вынесены за знак интеграла, а потому имеем:

$$E i \int_0^a dc + E (1+i) \left(\frac{1}{\rho_1} - \frac{1}{\rho} \right) \int_0^a dc = Q \quad (4)$$

Это интеграл $\int_0^a dc = a$, а $\int_0^a dc$ — статистический момент площади поперечного сечения относительно оси бруска. Если полагать было условием, что ось проходит через центр тяжести сечения, а потому $\int_0^a dc = 0$, следовательно зависимость между внешними и внутренними силами выразится как $E i a = Q$ или $k_2 = \frac{Q}{a}$, где k_2 — напряжение растяжения (сжатия); но растягивающая сила в рассматриваемом случае будет $\sum P_2 \cos \alpha$, а потому имеем: $E i a = a k_2 = \sum P_2 \cos \alpha = Q \quad (II)$

Полная данная выражение (II) на e и dc и интегрируя в пределах поперечного сечения, имеем:

$$\int_0^a k_2 dc = E i \int_0^a dc + E (1+i) \left(\frac{1}{\rho_1} - \frac{1}{\rho} \right) \int_0^a dc e,$$

здесь то предположим $\int_0^a dc = 0$, кроме того $\int_0^a dc e = J$, а потому последнее выражение принимает вид:

$$\int_0^a k_2 dc = E i \int_0^a dc + E (1+i) \left(\frac{1}{\rho_1} - \frac{1}{\rho} \right) J \quad (IV)$$

но левая часть представляет сумму моментов внутренних сил относительно оси OZ , а т.к. она должна быть равна сумме моментов приложенных моментов, то поэтому имеем:

$$M_n = \sum P_1 a = E i \int_0^a dc + E (1+i) \left(\frac{1}{\rho_1} - \frac{1}{\rho} \right) J \quad (5)$$

Положим нейтральной осью ось OZ , тогда $\int_0^a dc = 0$, а потому

рационально определяется условием, по которому для всякого направления по этому слою деформаций равно нулю. В разбиваемом сегменте для нахождения положения нейтрального слоя, подставим в общей формуле (I) положим $i=0$, т.е.

откуда
$$i = i + e(1+i)\left(\frac{1}{\rho} - \frac{1}{\rho_0}\right) = 0$$

$$e = \frac{i}{(1+i)\left(\frac{1}{\rho} - \frac{1}{\rho_0}\right)} = \frac{i}{(1+i)\left(\frac{1}{\rho_0} - \frac{1}{\rho}\right)} \quad (3)$$

из ур-ня (III) имеем: $i = \frac{\sum \rho \cos \alpha}{E \epsilon_0}$ и из ур-ня (IV) имеем $(1+i)\left(\frac{1}{\rho} - \frac{1}{\rho_0}\right) = \frac{\epsilon_0}{E \sigma}$. Подставив эти значения в выражении (7) получим

$$e = \frac{\sum \rho \cos \alpha}{E \epsilon_0} \cdot \frac{E \sigma}{\epsilon_0} = \frac{E \sigma \sum \rho \cos \alpha}{E \epsilon_0^2}$$

т.е. обращается в нуль только в том случае, если для данного элемента $\sum \rho \cos \alpha = 0$. Для соседних сегментов, для которых касательная имеет угол другой какой $\sum \rho \cos \alpha$ не будет равно нулю, т.к. в противном случае брус обращается в призму или цилиндр. Т.к. величина момента, вообще, не равна бесконечности, то можно сказать, что в криволинейном бруске нейтральный слой не содержит в себе центра тяжести и, следовательно, напряжение в этом слое отстоит от нуля.

Расчет балки.

Выражение (I) нам дает напряжение материала на 1 кв. м. сегментов.

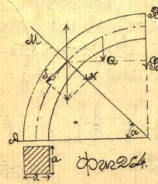
$$k = E i + E e (1+i) \left(\frac{1}{\rho} - \frac{1}{\rho_0}\right) \quad (I)$$

Если из ур-ня (III) определить i , а из ур-ня (IV) $(1+i)\left(\frac{1}{\rho} - \frac{1}{\rho_0}\right)$ и подставить в ур-ня (I), то получим:

$$k = \frac{E \sigma \sum \rho \cos \alpha}{E \epsilon_0} + \frac{\sum \epsilon_0 e}{\epsilon_0} = \frac{\sum \rho \cos \alpha}{\epsilon_0} + \frac{\sum \epsilon_0 e}{W} \quad (4)$$

т.е. результирующее напряжение от растяжения слоев $\sum \rho \cos \alpha$, сложившего с напряжением от изгиба моментом M . Выбирая форму поперечного сечения, на основании выражения (4) можно рассчитывать и форму бруска. Для иллюстрации возьмем поперечный

сечение балки, ось которой представляет четверть окружности (Фиг. 264), на которую действует изгибающая сила P . Перпендикулярные стороны балки - квадрат = a^2 . Возьмем поперечное сечение ab , составим угол α с радиусом.



Если все балки не будут приниматься в расчет, то $\sum \rho \cos \alpha$, т.е. сумма проекций всех сил на касательную FO к данному элементу оси будет равно $\rho \cos \alpha$, а приближенный момент действующей силы относительно сегментов ab

$M_x = P \cdot \overline{Oa}$. Если радиус, которым описана центральная линия = R , то $Oa = R \cos \alpha$ и $M_x = P \cdot R \cos \alpha$, а в таком случае напряжения выразятся (см. выражение 64)

$$k_1 = \frac{P \cos \alpha}{a^2} + \frac{P \cdot R \cos \alpha}{a^2} = \left\{ \frac{P}{a^2} + \frac{P \cdot R}{a^2} \right\} \cos \alpha$$

Это выражение показывает нам, что наибольшее напряжение будет при $\alpha = 0$, т.е. для сегментов A .

$$k_{max} = \frac{P}{a^2} + \frac{P \cdot R}{a^2}$$

Если необходимо принимать во внимание все бруска, то вопрос решается следующим образом; на касательную OF будет проектироваться вся сила P или все сечение бруска ab , который заменим одной силой P , приложенной в центре тяжести этой каской, но если d - это ед. объема и a^2 - площадь попереч. сечения, то

$$Q = \frac{P \cdot a^2 \left(R + \frac{a}{2}\right)}{2\pi} \left(\frac{\pi}{2} - \alpha\right) = a^2 d \left(R + \frac{a}{2}\right) \left(\frac{\pi}{2} - \alpha\right)$$

а сумма проекций сил на касательную F

$$\sum P \cos \alpha = P \cos \alpha + a \cos \alpha = P \cos \alpha + a d \left(R + \frac{a}{2}\right) \left(\frac{\pi}{2} - \alpha\right) \cos \alpha$$

Приближенный момент $M_x = P \cdot \overline{Oa} + Q \cdot \overline{Ob} = P \cdot R \cos \alpha +$

$$+ a d^2 \left(R + \frac{a}{2}\right) \left(\frac{\pi}{2} - \alpha\right) \overline{Ob}$$

а напряжение материала
$$k_1 = \frac{P \cos \alpha}{a^2} + \frac{a d^2 \left(R + \frac{a}{2}\right) \left(\frac{\pi}{2} - \alpha\right)}{W} \overline{Ob} + \frac{P \cdot \overline{Oa}}{W}$$

Если бы понадобилось ввести и сжимающую силу $S = \sum P \sin \alpha$, то это, конечно, особенно затруднителен не

оставим, но погрешное значение не оправданно
результата.

Что касается формы осевой линии, которую
она примет после изгиба, то легче всего найти новое
положение из графическим способом. Сделаем это,
определим из $\sum P \cos \alpha = E I \cos \alpha$ величину и под-
ставим в (63) находим:

$$\Delta l_m = \sum P a = E I \left\{ 1 + \frac{\sum P \cos \alpha}{E I \cos \alpha} \right\} \left(\frac{1}{\cos} - \frac{1}{\cos} \right) \dots (p)$$

откуда

$$\frac{1}{\cos} - \frac{1}{\cos} = \sum P a : E I \left(1 + \frac{\sum P \cos \alpha}{E I \cos \alpha} \right) \dots (65)$$

Разделим осевую линию на возможно большее чис-
ло частей $\Delta a - \Delta b - \Delta c = \dots$ (рис. 265) и определим

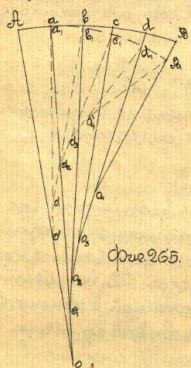


Рис. 265

соответственные радиусы
кривизны до деформации по
уф-ю (65), не трудно найти
значения этих радиусов после
деформации.

Полнее погрешает тем
более точное, тем меньшего
размера, были элементы $\Delta a, \Delta b$
и т. д.
Следствием является, что ра-
диусы кривизны погрешают
очень большими, в таком слу-
чае, вследствие невозмож-
ности построить их на дос-
ку, приближатся к другой

прямой Δ или, в лучшем случае, радиусов определяются
центральные углы $\Delta \varphi$ после деформации. Не трудно
видеть, что $L B A = L B K$, т. е. углы между ка-
сательными в точках Δ и a (рис. 266), знав $L B A$
или (то же) $L B K$, можно, разбив по радиусу
мелкую ось на части $\Delta a = \Delta b = \dots$ построить точ-
но a, b, \dots в самом деле:

$$L B K = d\varphi = \frac{d\varphi}{\rho} = \frac{1}{\rho} ds = (1 + \epsilon) \left\{ \frac{1}{\rho} - \frac{1}{\rho} \right\} + \frac{1 + \epsilon}{\rho} ds \text{ или}$$

$$d\varphi = d\varphi + \left\{ \frac{\sum P a}{E I} + \frac{\sum P \cos \alpha}{E I \cos \alpha} \right\} ds \dots (9)$$

Полнее и здесь тем ближе к истине, тем на

большее число частей разбит ось бруса.

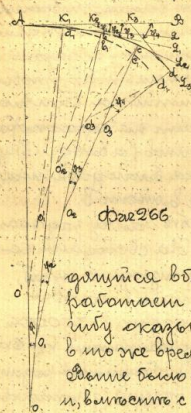


Рис. 266

**Замечания изгиба рас-
тяжимой оси.**

В тельях подверженных из-
гибу, как нам известно, рас-
тягиваются на особенности, это во-
зможно из, лежащая внутри ней-
трального слоя, максимумом
всегда наибольший изгибный
напряжения. Поэтому можно
сказать что материал, нахо-

дящийся внутри нейтрального слоя почти не
работает и следовательно, при сопротивлении из-
гибу оказывает малую работу, увеличивая
в то же время значительно вне сооружения.

Величине же известно, что для обжатия в осе
и, вместе с тем, для изгиба уменьшают ма-
териала, погрузкой не стеснительными ступенями, при
мелкая компрессия, тавровый и т. п. формы. Есть еще
другой способ, при котором возможно оптимизиро-
вать сопротивляемость материала более рациональ-
но: это замечания изгиба растяжимой. Как известно,
при центральной растяжке (отжатии), напряжение
материала распределяется вполне равномерно по по-
перечному сечению и потому ускорен работы мате-
риала является наиболее выгодным. Главная пре-
имущество замечания изгиба растяжимой науца-
ется выдержать в высоте и отчасти уменьшением кон-
струкций. Представим себе балку $A B$ (рис. 267) лежа-
щую свободно на опорах и нагруженную равномерно

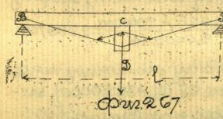
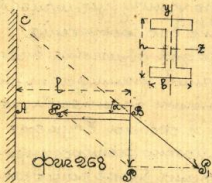


Рис. 267

равномерными грузами p .
Под действием этого груза
балка прогибается, при этом
в ней возбуждается напряже-
ние растяжения и сжатия. Если
под средней точкой C балки
подставить пластинку брус

(шпренгеля) CD, который тянется AD и CD соединен с кантами балки, то при прогибе балки, шпренгели, опускаясь вниз, вызовет растяжение троса и тросики обр. будет согнат. Можно известным образом подобрать размеры троса и шпренгеля так, чтобы положение троса с учетом доминанта. При таких условиях ось балки как бы лежит на трех опорах и величина изгибающих моментов (а следовательно и внутренние напряжения) уменьшается благодаря тому, что прогиб сегмента равен $\frac{1}{2}$ высоте l .

Другой пример. Представим себе балку заделанную концом CD в опору (рис 268). На свободном конце действует сила P. Она производит изгиб, причем наибольшее напряжение будет в точке A.



Пусть $P = 2000$ квт, $l = 3000$ м, допустимое напряжение $k_2 = 6$ квт. При этом необходимый диаметр поперечного сечения (двухрядовый трос) находится из формулы:
 $2000 \cdot 3000 = \frac{2 \sigma_2 k_2}{h k_2}$, откуда
 $W_2 = \frac{2 \sigma_2}{h k_2} = 1000000$.

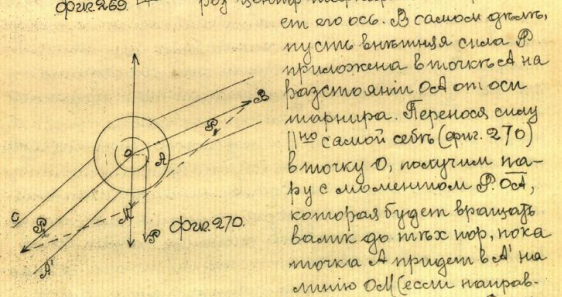
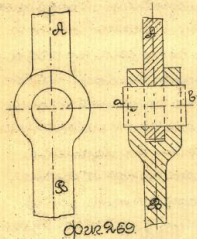
По германскому сортаменту величина троса 1088000 принадлежит АЗБ, причем $h = 360$ м и $v = 173$. Предположим теперь, что конец D соединим струной DE с точкой C вертикально. Разная сила P на слагающую по направлению z_2 — P_2 и по оси балки AD — P_1 , найдем, что сила P_1 растягивает трос DE , а P_2 производит продольный изгиб бруса AD . Пусть угол $\alpha = 31^\circ$, слагающая $P_2 = \frac{P}{\cos \alpha} = \frac{2000}{0.857} = 2333$ квт. Необходимый диаметр поперечного сечения определится из формулы
 $5 P_2 = \frac{h^2 E \sigma}{4 l^2}$, откуда $\sigma_2 = \frac{4 \cdot 2333 \cdot 10}{20000 \cdot 10} = 2333700$

По тому же сортаменту такому моменту изгиб соответствует балка АЗ (с $\sigma_2 = 3250000$), высота $h = 270$ м, $v = 176$ м. Размеры получились бы еще меньше, если бы конец B мог быте тросом

оптимально в своем возможном направлении. Что касается троса CD, то полагая безопасное направление = 7° квт, найдем:

$$\frac{\pi d^2}{4} = \frac{P}{\sigma} = \frac{P}{\sigma \sin \alpha} = \frac{2000}{7052} = 553,06 \text{ м и } d = 26,8 \text{ м.}$$

Указанная величина изгиба стропила или распорки, как видно из этих примеров, возможна только при условии равномерной силы по определенному направлению. Такое растяжение покрывает только тросы, если стропила (брусья) соединены между собой шарниром. Шарнирное соединение (рис. 269) заключается в том, что оба троса A и B в месте соединения могут вращаться около оси шарнира (балки) и при этом оси брусков пересекаются на одной линии. Если изгибы представить на рис. 269. Основное свойство шарнирного соединения состоит в том, что внутренняя сила, приложенная к нему, обязательно проходит через центр шарнира и не пересекает его ось. В самом деле,



пусть внутренняя сила P приложена в точке A на расстоянии OA от оси шарнира. Переносим силу P к оси себе (рис. 270) в точку O, получим пару с моментом P OA, которая будет вращать балку до тех пор, пока точка A придет в O на линии Oell (если направление силы неизменно). Тогда разложим силу P Oell на слагающую P1 по оси бруска AB и P2 по оси бруска BC. Если внутренняя сила будет приложена где либо к брусу между шарнирами, то, само собой разумеется, вопрос о защите изгиба стропила не

разрешается.

Из сказанного можно заключить, что подобная задача возможна при соблюдении двух условий:

- 1) винтовые силы приложены в узлах;
- 2) соединяющие бруски шарнирятся.

Переходим к пространственному способу решения системы, в которой могут возникнуть винты.

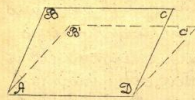
Такие системы в общем случае представляют систему стержней, скрепленных по концам друг с другом попарно шарнирами и находящие общее название ферры.

Ферры разделяются на пространственные и плоские. Первые будут такие, у которых оси, входящие в состав фермы стержней (брусков) не лежат в одной плоскости. Наоборот плоские фермы состоят из ряда брусков (стержней), расположенных так, что все их соединяют плоскую фигуру. Вопрос о разности фермы, вообще, служит предметом строительной механики.

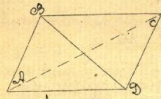
Здесь же приводятся основные способы определения внутренних напряжений в стержнях плоских ферр, как примеры даны при расчетах арки распорками. Число стержней, входящих в данную систему, может быть произвольное, но минимальное количество их, определяемое условиями, чтобы система была неизменяемой, получено, если система будет состоять из ряда тр-бов. В самом деле, замкнутый тр-к представляет собою простейшую неизменяемую комбинацию стержней. При этом под словом неизменяемость понимается невозможность значительных перемещений в концах стержня. Единственным изгибанием фермы является изгиб углов или сжатия.

Если данная сочлененная система может быть разбита на составляющие ее тр-ки, то она обладает необходимым и достаточным числом линий, всякий добавочный стержень будет лишним для свойства неизменяемости. Так паралелограмм ABCD (фиг. 271) под действием винтовых сил может принять форму параллелограмма A'B'C'D' (Если сторона AD - неподвижна). При наличии стержня BD

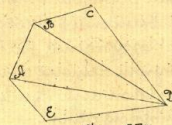
узел разрыва



Фиг. 271.



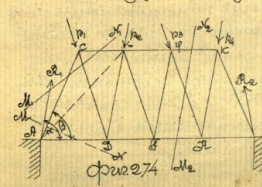
Фиг. 272.



Фиг. 273.

Переходя к решению ферр, укажем здесь два способа для определения внутренних напряжений в стержнях ферр с необходимым числом линий. Предположим, что действующие винтовые силы лежат в плоскости фермы.

Способ построения действительного стержня узел в состоит в следующем: пусть дана тр-ная система (фиг. 274)



Фиг. 274.

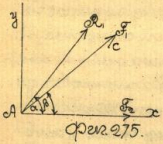
и пусть винтовые силы действуют только в узлах. В точках опор A и B показаны реакции R1, R2. Определить величины и направления их будет указано ниже. Стопим по A и B узел A и вынесем его в сторону. В стержнях abd и a'd' (фиг. 275) действующий

или AC (диагональ) (фиг. 272) подобное деформирование является невозможным. С другой стороны, введенная вторая диагональ ad является уже лишней. Число необходимых стержней-линий m может быть вычислено через число узлов n: $m = 2n - 3$ или $2n - m = 3$.

Система, в которой разность $2n - m = 3$ будет система с лишними линиями. Например, для 5-угольника ABCDE (фиг. 273) $m = 10 - 3 = 7$ и т.д. Если разность $2n - m < 3$, то система может находиться в состоянии с лишними линиями без диагоналей.

Так сочлененная система может разделиться на две группы:

- 1) Система с необходимым числом стержней;
- 2) Система с лишними линиями.



Фиг 275

ит силы R_1 и R_2 , взаимнодействительная от-
 фронтальной части на узле Δ или, ина-
 ки говоря, сила R_1 - равнодействующая
 внутренней силы сжатия ΔC и
 R_2 - сжатия ΔD . Так, ΔB в точку Δ
 приложены три силы R_1 , R_2 и R_3 вза-
 имно уравновешивающаяся, всегда
 стей равнодействия всей системы. Если
 вил равнодействия узла Δ будут:

$$\Sigma X = R_1 \cos \alpha + R_2 \cos \beta + R_3 = 0 \quad \text{и}$$

$$\Sigma Y = R_1 \sin \alpha + R_2 \sin \beta = 0$$

В этих двух уравн. величины R_1 , α и β надо считать
 известными: угол β заданно, а R_1 и R_2 , как величины
 и направления реакции. Поэтому величина R_3 и R_4 от-
 редковности совмещением формул найденных уравн.
 Переходя к узлу C (Фиг 276) подобным образом отро-
 жим его от точки M и вынесем в сторо-
 ну. Применяя к нему те же рассуждения, най-
 дем, что узел C действует на четыре силы
 известные R_1 , R_2 и неизвестные R_3 и R_4 .
 Статический условия равнодействия дадут:

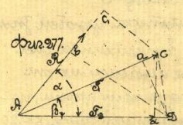
$$\Sigma X = R_1 \cos \gamma + R_3 \cos \beta + R_4 \cos \delta = 0$$

$$\Sigma Y = R_1 \sin \gamma - R_3 \sin \beta + R_4 \sin \delta = 0$$

Разрешая эти уравн. определим величины R_3 и R_4 . Из-
 стсюда так ΔB подействует на все узлы, опреде-
 стим направления и в остальных сжатых системы.
 Из выше приведенных уравн. определяется две вели-
 чины внутренних сил R_1, R_2, \dots не только их числен-
 ный величин, но и направлений.
 Обыкновенно неизвестную еще по направлению силу
 считают направленно по стрелке от узла, т.е. разд-
 гивающей. Если при решении уравн. равнодействия она
 получится со знаком, находящимся в соответствии
 со знаком проекции в уравн. $\Sigma X = 0$ и $\Sigma Y = 0$, то иско-
 мая сила действительно растягивает; в против-
 ном случае она является сжимающей.
 Способ Риттера. Способ Риттера отнимает
 от предыдущего лишь, что отпущая часть формы

и разсчитывает внешнюю часть, как находящуюся
 в равновесии, пользуются не уравн. силами проек-
 ций, а другими, именно, что сумма моментов всех
 сил, приложенных к разсчитываемому отрезку фор-
 мы относительно точки, лежащей в нем-таки форму
 равна нулю

Предварительно, конечно, определены величины и
 направления сил реакций в опорных узлах. Вытеснив
 стей должны быть только сосредоточены (Фиг 274).
 Возьмем тот же принцип, как и раньше, т.е. вынесем
 тр. нулю форму с \parallel ~~стрелка~~ \parallel по осам. Отложим узел Δ и
 вынесем в сторону (Фиг 277), в стрелках ΔC и ΔD от-
 ствуют силы R_1 и R_2 ; отсюда по проекции, что стей
 направлены от узла, напишем, что равнодействие рав-
 ностей узла, сумма моментов сил R_1, R_2, R_3 относи-
 тельно некоторой точки равна
 нулю. Чтобы упр. моменты содер-
 жало одну неизвестную R_3 , берем точку по направлению сил
 R_1 и R_2 , удобнее всего взять вершину
 узла Δ . Опустив \perp к R_3 на
 направлении R_1 и R_2 , напишем, счи-
 тая вращение по часовой стрел-
 ке положительным $R_1 \cdot \Delta B + R_2 \cdot \Delta C = 0$ отсюда

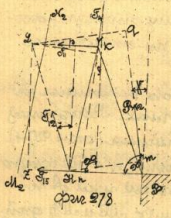


Фиг 277

отсюда следует, что брусок ΔD не растянут, а сжа-
 т. За центр моментов точку C , напишем:
 $R_1 \cdot \Delta C - R_2 \cdot \Delta D = 0$ отсюда
 $R_2 = + \frac{R_1 \Delta C}{\Delta D}$,
 т.е. стрелка ΔD растянут. Величины R_1 и R_2 опре-
 делены из четкости прямой извлечения или разд-
 ном из соответственных тр. ков.
 Проведем дальше отрез (Фиг 274) ΔC и вынесем
 в сторону правую часть (Фиг 278) и определим вели-
 чины R_1, R_2 и R_3 . Возьмем сумму моментов относи-
 тельно точки H , лежащей одновременно на направлении
 R_1 и R_2 по возможности R_3 иметь известным уравн.
 $\Sigma M_H = 0$. Сопот. мат. г. проф. И. И. Бобариков.

сил F_3 и F_2 получим: $R_2 \sin \alpha - R_1 \sin \alpha - F_1 \sin \alpha = 0$ отсюда

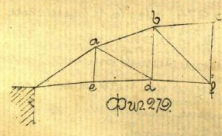
$$F = \frac{R_2 \sin \alpha - R_1 \sin \alpha}{\sin \alpha}$$



если правая часть больше нуля, то направление F_1 выбрано правильно, в противном случае, стрелки KG отходят вправо, вде суммарный момент относительно точки G найдем: $F_2 z_2 + R_1 z_1 - R_2 z_2 = 0$, отсюда найдем величину и знак силы F_2 , что касается силы F_3 , то т.к. стрелки KG и Kz параллельны собой, то точка пересечения их находится на бесконечно большом расстоянии, а потому вращающий момент относительно этой точки на направление \perp направлению вертикали и горизонтальной, получим: $R_2 \cos \alpha + F_2 \cos \alpha - R_1 \cos \alpha = 0$.

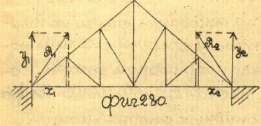
Как видно из сказанного способ Виттнера удобен тем, что для каждого стержня величина вычисления сил получается из одного уравнения и является независимой от неизвестных других стержней. Между прочим прием, изложенный выше для нахождения внутренних сил какого либо бруса внутри фермы, требует предварительного нахождения внутренних сил всех брусьев, лежащих между тем брусом данным.

Кстати в некоторых случаях, когда благодаря малому наклону стержней друг относительно друга точки пересечения их находятся далеко за пределами чертежа, предположить придется отдаленному способу продолжения стержней брусков. Напр. в чертеже, представленном на фиг. 279 пересечение стержней ab и cd находится очень далеко. Переходя к вопросу о нахождении реакций опор,

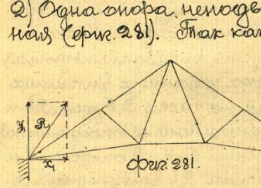


замечаем, что последние могут быть совершенно неподвижными, шарнирными и подвижными. Сопоставив с этим можно установить следующие 4 правила

1) Объя опоры подвижные (фиг. 280) Возможны реакции R_1 и R_2 на вертикали и горизонтали, т.е. на y_1, y_2, X_1 и X_2 полагая место подвижной, ибо в каждой опоре действует вращающий момент, поэтому, некоторый рассматриваемый стержень при $y_1, y_2, X_1, X_2 = 0$ и $\sum M = 0$.



2) Одна опора неподвижна другая шарнирная (фиг. 281). Так как шарнир допускает вращение фермы около своей оси, но в нем вращающий момент = 0. Эта опр. в рассматриваемом стержне имеет только неизвестные y_1, y_2, X_1, X_2 и один вращающий момент. Статика дает опять три условия равновесия.

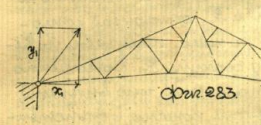


3) Объя опоры шарнирные. Взагодеть отсутствуют вращающие моменты, получаются, вообще, 4ре неизвестных y_1, y_2, X_1, X_2 . Уравнений три (фиг. 282)

4) Объя опоры шарнирные, но одна из них может перемещаться по каткам (фиг. 283)

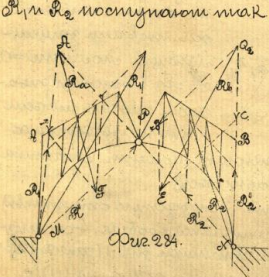


Направление реакции в подвижной опоре обязательно будет по нормали к поверхности катков и проходит через центр шарнира. В случае если катки перемещаются по горизонтальной плоскости



ти), то направление реакции вертикальное. Непу-
 вать силы $X_1, Y_1, Z_1 = R_1$; статика дает три ур-я.

П. образ указанных типов или 4-х даст воз-
 можность найти реакции на основании данных теоретической механики. Поэтому фермы, не имеющие одной подпунктной и одной шарнирной опоры на
 септ напране статически неопределимыми. Впро-
 тив при двух неподвижных шарнирных опорах могут
 быть случаи, представленные на рисунке и реакции на-
 ходятся из ур-я статика. Сюда относятся все трех-
 шарнирные фермы. Такая ферма, напр., представлена
 на рис. 284. Две опоры шарнирные образуют един-
 ственный объект поворота A и B . Для нахождения реакции
 R_1 и R_2 поступают так. Пусть равнодействующая



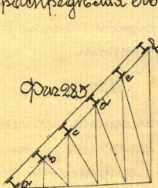
всех заданных внешних сил на часть B будет R_2 и
 направлением ее определим
 линией A_2E . В опорах M и
 N сила R_1 возбуждает реак-
 ции R_1' и R_1'' . Направление
 силы R_1 известно: оно про-
 ходит через центры
 шарниров M и N , а потому,
 найдя пересечение этого
 направления в точке A_2 с

направлением R_2 соединим A_2 с N . Продолжим R_2 на
 $A_2D = R_1'$ и $A_2E = R_1''$, находим величину и направление
 составляющих реакций в M и N .

Подобно этому этому поступаем с другой частью
 A и находим составляющие R_1 и R_2 реакции, вызываемой
 силой R_2 равнодействующей внешних за-
 данных сил на эту часть A фермы. П. образ в опo-
 ре M действует сила R_1' и R_1'' , составляющая кото-
 рых по направлению параллельна, получаем по ве-
 личине и направлению силу реакции R_1 . Совершенно
 так же находим и R_2 . Предположим, что внешние
 силы приложены в узлах фермы, конечно, в действи-

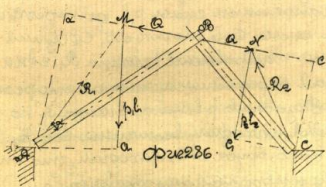
1) Если всего вышесказанное в направлении.

тельности почти не наблюдаются. Что касается
 давления ветра и веса снега, то эти силы, распре-
 деленные равномерно по фронтам крыши, передают дав-
 ление ферме по стволу так называемый, прогон, балки,
 лежащие \perp к стволу фермы. По возможности ста-
 тически установив прогоны в узлах. Другое дело
 собственный вес фермы. Эта нагрузка является
 распределенной и ни при каких условиях не может
 быть сосредоточена в узлах. Но в виду того, что дав-
 ление ветра и веса снега является силой гораздо боль-
 шими чем собственный вес фермы, обычно можно
 последний считать также сосредоточенным в узлах,
 распределяя его равномерно между соседними.



В некоторых случаях, обыкновенно, при
 деревянных стропильных фермах,
 прогоны укладываются так, что
 внешняя нагрузка является
 равномерно распределенной, тогда
 можно отвлечь указанные выше до-
 пущения.

Для примера рассмотрим следующую
 систему сил.



1) Дана ферма, состо-
 ящая из двух стропиль-
 ных ног $AB = L_1$ и
 $BC = L_2$ (рис. 286) и на-
 грузная равномерно
 распределенная
 грузом. Предполо-
 жим R_1 в A , R_2 в B шар-
 ниры. Пусть стержень BC нагружен силой R_3 на пог. g ,
 а стержень AB силой R_4 в B и R_5 в A и R_6 в B . Она будет нахо-
 диться под влиянием трех сил: 1) равномерно-распре-
 деленная R_1 и R_2 обыкновенно, состоят из давления ветра и ветра,
 иногда прижимают в вертикали ствол фермы. Вследствие прижатия R_1
 равнодействующей каждой нагрузки на средней оси или стержня, ока-
 зывают на R_1 нагрузку направлением своей равнодействующей.

Будет стержень BC нагружен силой R_3 на пог. g ,
 а стержень AB силой R_4 в B и R_5 в A и R_6 в B . Она будет нахо-
 диться под влиянием трех сил: 1) равномерно-распре-
 деленная R_1 и R_2 обыкновенно, состоят из давления ветра и ветра,
 иногда прижимают в вертикали ствол фермы. Вследствие прижатия R_1
 равнодействующей каждой нагрузки на средней оси или стержня, ока-
 зывают на R_1 нагрузку направлением своей равнодействующей.

горизонтального груза fl , 2) реакциях опоры $A - R_1$ и 3) силы A взаимодействия стержня BC на стержень AB . Для решения вопроса о прогибании надо определить величина и направление сил R_1 и A .

Вследствие равновесия бруса AB сумма моментов вращающих сил, действующих на разрезанный конец бруса относительно точки A будет:

$$Q \cdot \Delta a_1 = fl \cdot \Delta a_2 \quad (a)$$

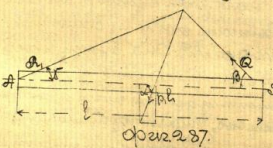
где Δa_1 и Δa_2 — плечи моментов для сил Q и fl . Если же будем разламывать равновесие правого стержня, то докажем, что стержень BC оказывает давление на BC в стержень, равной той же Q , получим равенство:

$$Q \cdot \Delta c_1 = fl \cdot \Delta c_2 \quad (b)$$

если моменты сил fl и Q брать относительно точки C . Разделив почленно ур-я (a) и (b), получим:

$$\frac{\Delta a_1}{\Delta c_1} = \frac{fl \cdot \Delta a_2}{fl \cdot \Delta c_2}$$

т.е. правая часть известна, то отношение перпендикуляров Δa_1 и Δc_1 определяется, а вместе с тем определится и направление силы Q . Направление реакции R_1 найдется из того условия, что она должна проходить через точку пересечения сил Q и fl , поэтому, продолжая направление силы fl до пересечения M с A и находим направление реакции R_1 в направлении MC . Разложив fl на составляющие по направлениям MD и ME , находим величины Q_1 и Q_2 . Переходя к разрезу, напр. бруса AB , находим, что он подвергается изгибу и продольному сжатию. Если



Фиг. 237.

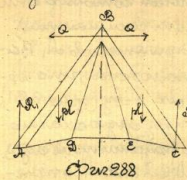
длина стержня велика, то надо принимать во внимание продольный изгиб (Фиг. 237). Разлагая силы fl , Q_1 и Q_2 на составляющие по оси бруса и его перпендикулярной, найдем, что наибольший изгибающий момент

в плоскости гермеса, будет равен Q_2 среднему значению

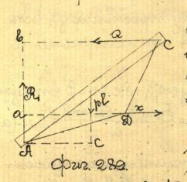
$$M = Q_2 \sin \theta - \frac{fl^2 \sin \theta}{4}$$

Что касается продольного изгиба, то т.к. составляющая распределенного груза, обыкновенно, весьма мала, может вестись на силу Q_2 .

2) Пусть дана ферма, у которой ось конька и равно наклонены к вертикали и горизонталь в систему попарно mn (Фиг. 238); одна из опор на катках.



Нагрузка вертикальная, равномерно-распределенная f на пог. ед. Вследствие симметричного расположения частей фермы, сила Q будет горизонтальной, а реакции R_1 и R_2 — вертикальными. Вынесем брус AB в сторону (Фиг. 239). Он будет находиться под



действием сил fl , реакции R_1 , сил Q и сил C , составляющих стержень DE . Величина реакции $R_2 = R_1$ будет очевидно fl . Что касается значений Q и C , то не трудно видеть, что $Q = x$, а ур-е моментов относительно точки A дает:

$$fl \cdot c \cdot \sin \alpha = Q \cdot b = 0,$$

откуда находим Q и C . Это касательная сила, действующая в стержнях CD и ED имеет направление сил C на эти два направления.

Система с m узлами и $m-1$ стержнем.

В том случае, когда число стержней в стержневой системе больше необходимого и достаточного, уравнений статики является недостаточным для определения сил, действующих в стержнях.

Вопрос может быть решен только приняв во внимание упругие свойства материалов и для нахождения искомого сил придется использовать закон Гюкка, основанных на различных принципах: способы Мора

Maxwell и др.

Не останавливаясь на рассмотрении этих случаев, которые подробно изучаются в курсе строительной механики, приведем для общности изложения еще следующую простую задачу.

При открытии створов, створов и створов остаются в одной плоскости и имеют общую точку (шарнир) А, в которой приложена сила Р. Определены внутренние силы в створе, под действием которых он деформируется (растягивается или сжимается). Пусть точка А перемещается (рис. 200) при этом в А₁, выведем створные створы и плоскости, это координатные оси расположим по ох и оу (рис. 201). Перемещение точки А в створе из двух составляющих $\delta x = \delta u$ и $\delta y = \delta v$. Так как величина деформации в пределах упругости, то угол $\delta \alpha$ можно принять бесконечно малым. А потому проекция всех створов четырехугольника А В С Д на направление δx получим, если $\delta x = \delta u$:

$$\delta x_{AB} = \delta u + \delta v \cos \beta + \delta x \sin \beta \text{ откуда}$$

$$\frac{\delta x_{AB} - \delta u}{\delta x} = \frac{\delta v}{\delta x} = i_1 = \frac{\delta v \cos \beta + \delta x \sin \beta}{\delta x} = i_1 \dots (a)$$

где i_1 относительная деформация створов АВ. Если поперечное сечение его равно ω , и модуль упругости Е, то сила Q_1 , действующая вдоль оси бруска АВ будет:

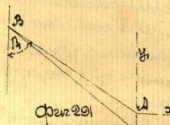
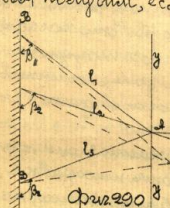
$$Q_1 = E \omega i_1 = \frac{1}{2} E \omega (\delta v \cos \beta + \delta x \sin \beta) \dots (b)$$

Аналогично, через Q_2 и Q_3 силы растяжения или сжатия створов ВС и CD, если $\delta y = \delta v$ найдем подобным же образом:

$$Q_2 = \frac{1}{2} E \omega (\delta y \cos \beta + \delta x \sin \beta) \dots (c)$$

$$Q_3 = \frac{1}{2} E \omega (\delta y \cos \beta + \delta x \sin \beta) \dots (d)$$

Так как узел А находится в равновесии, то сила Р уравновешивается силами Q_1, Q_2 и Q_3 и следовательно



$\Sigma X = 0$ и $\Sigma Y = 0$ Тогда как известно Q_1, Q_2 и Q_3 направлены от узла А, найдем:

$$\Sigma X = P \cos \alpha - Q_1 \sin \beta - Q_2 \sin \beta - Q_3 \sin \beta = 0$$

$$\Sigma Y = P \sin \alpha - Q_1 \cos \beta - Q_2 \cos \beta - Q_3 \cos \beta = 0$$

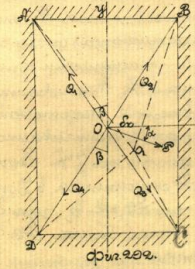
Будем считать сюда известными уже Q_1, Q_2 и Q_3 через δx и δy , найдем:

$$\left. \begin{aligned} P \cos \alpha - \Sigma \frac{1}{2} E \omega (\delta y \cos \beta + \delta x \sin \beta) \sin \beta &= 0 \\ P \sin \alpha - \Sigma \frac{1}{2} E \omega (\delta y \cos \beta + \delta x \sin \beta) \cos \beta &= 0 \end{aligned} \right\} \dots (e)$$

Разрешив эти два уравнения относительно δx и δy , найдем:

Эти величины δx и δy из уравнения (b) найдем и величины Q_1, Q_2 и Q_3 . Для наглядности приведем следующую пример.

Решим горизонтальный створ АВ, ОС и CD имеют общую шарнир О и шарнирно закреплены в точках А, В, С и D. В О приложена сила Р (рис. 202), образующая с осью ОХ угол α . Пусть силы Q_1, \dots, Q_4 действуют в створе. Пусть под действием силы Р точка О перемещается в О'. Разложим перемещение ОО' на составляющие δu и δv , найдем:



$$\frac{\delta u - \delta u}{\delta u} = \frac{\delta v \sin \beta + \delta u \cos \beta}{\delta u} = i_1$$

$$\frac{\delta v - \delta v}{\delta v} = \frac{-\delta x \sin \beta + \delta y \cos \beta}{\delta v} = i_2$$

$$\frac{\delta u - \delta u}{\delta u} = \frac{-\delta x \sin \beta - \delta y \cos \beta}{\delta u} = i_3$$

$$\frac{\delta v - \delta v}{\delta v} = \frac{\delta x \sin \beta - \delta y \cos \beta}{\delta v} = i_4$$

где δu длина каждой из створов, если поперечное сечение равно ω , то

$$Q_1 = E \omega i_1 \dots \dots \dots Q_4 = E \omega i_4$$

Суммарно, что все створы растянуты (т.е. силы Q_1, \dots, Q_4 направлены от узла А) найдем из уравнения равновесия узла А:

$$P \cos \alpha - Q_1 \sin \beta + Q_2 \sin \beta + Q_3 \sin \beta + Q_4 \sin \beta = 0$$

$$P \sin \alpha - Q_1 \cos \beta - Q_2 \cos \beta + Q_3 \cos \beta + Q_4 \cos \beta = 0$$

Подставив вместо $\alpha, \alpha_2 \dots$ их значения через β, β_2 , найдем:

$$P \cos \alpha - \frac{1}{2} A E \cos \alpha \sin^2 \beta \sin \alpha = 0 \text{ или } \sin \alpha = \frac{P \cos \alpha}{4 E \sin^2 \beta}$$

$P \sin \alpha - \frac{1}{2} A E \cos^2 \beta \sin \alpha = 0$ или $\sin \alpha = \frac{P \sin \alpha}{4 E \cos^2 \beta}$
 Вносим найденные значения $\sin \alpha$ и $\cos \alpha$ в выражений для $\alpha_1, \dots, \alpha_4$, получим:

$$\alpha_1 = \frac{P \cos(\alpha - \beta)}{2 \sin 2\beta}, \alpha_2 = -\frac{P \cos(\alpha + \beta)}{2 \sin 2\beta}, \alpha_3 = -\frac{P \cos(\alpha - \beta)}{2 \sin 2\beta}, \alpha_4 = \frac{P \cos(\alpha + \beta)}{2 \sin 2\beta}$$

Наибольшие значения, напр, для α_1 , будет при

$$\frac{d\alpha_1}{d\alpha} = -\frac{P}{2} \frac{\sin(\alpha - \beta)}{\sin^2 \beta} = 0 \text{ или при } \alpha = \beta$$

Полагая в нашем случае $\alpha = \beta = 30^\circ$, получим:

$$\alpha_1 = 0,577 P \text{ и } \alpha_4 = 0,208 P$$

Приведем еще пример. Дана шарнирная балка AB l ; по середине в C действует груз P (рис. 204)

Имеется ω (балка) соединится, а туги AB и CD , очевидно, растянутся. Пусть наклонная балка CD имеет длину l и увеличивает длину на q мм. Тогда, рассуждая в некоторой степени F увеличивается в длину на q мм. Пока D спускается в D_1 , при этом $DD_1 = l - q$, где l — против балки AB . Из

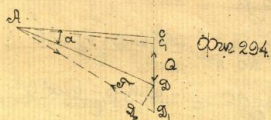


Рис. 204

условий равновесия узла D , имеем $2 F \sin \alpha = A$ (а) с другой стороны удлиним туги AD, BD на q мм, как $DD_1 = DD_1 \sin \alpha = l$, но $DD_1 = l - q$, а следовательно $l - q = \frac{l}{\sin \alpha}$ (б)

1) Знаки (-) для α_2 и α_3 указывают, что эти туги сжимаются.
 2) Вторичный силовой предположения, как это имеет место обычно в практике, вертикальными.

Предположим далее, что балка AB при оттягивании балки и туги CD прогибаются на величину f , против того пути 1 кг. груза действует против балки (при неизменности балки) f_1 стержнем CD на q , и растягивает туги на величину t_1 . Тогда при действии на свободную (без балки) балку AB силой A , она даст прогиб (вверх) равенный $F_2 = A f$. А потому, очевидно:

$$f = F - F_2 = F - A f \text{ и } f = \frac{F}{1 + \frac{A}{\omega_2}} = \frac{F t_1}{\omega_2} \dots (c)$$

Из условия (а) и (б) имеем: $F - A(f + q) = \frac{F t_1}{\sin \alpha}$ или $F = 2(f + q) \sin \alpha + \frac{F t_1}{\sin \alpha}$

Зная поперечный срез ω балки и ω_2 — туги определяем направление материала:

$$k_1 = -\frac{A}{\omega} \text{ и } k_2 = +\frac{F}{\omega_2}$$

Приведем числовой пример. $l = 6^m$, $P = 2500$ кг. балка двутавровая $\omega = 20$ (т.е. см.) туги соответствен имеют площадь сечения 21400 мм^2 . При этих условиях напряжение в балке $k = \frac{P}{\omega} = 17,5 \text{ кг/мм}^2$, стержень CD $f = 26,3$ мм. Чтобы уменьшить величину k , вводим балку высотой $h = 1^m$, с поперечным срезом $\omega_2 = 500 \text{ мм}^2$. Прежде всего находим, что $\angle \alpha = 18,5^\circ$, $l = 3,162^m$. Далее:

$$f_1 = 0,01265^m$$

$$q_1 = 0,0002^m \text{ (здесь } E = 10000 \text{ кг/мм}^2)$$

$$t_1 = 0,003162^m \text{ (здесь } E = 20000 \text{ кг/мм}^2)$$

$$F = 31,5^m$$

$$\sin \alpha = 0,3173$$

А потому $A \approx 2210$ кг. и $F \approx 31,5$ кг. Следовательно, $k_1 = \frac{A}{\omega} = 0,442 \text{ кг/мм}^2$, $k_2 = \frac{F}{\omega_2} = 0,5 \text{ кг/мм}^2$. Направление материала в балке будет $k \approx 2,04 \text{ кг/мм}^2$. стержень CD прогиба приблизительно: $f = 3,66^m$.

В приведенном разгоне предположено, что балка AB сплошная и шарнир в C , случится лишь для приближения к свободной балке CD .

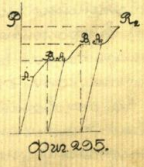
Повторная нагрузка

До всех рассмотренных до сих пор случаев дей-
ствий сил предполагалось, что они произведены ста-
тически или динамически, но в один раз. По-
этому при повторении нагрузки, при этом может изме-
ниться не только величина, но и направление
действий сил. Так влияют на механические свойства
такая повторная нагрузка, предсказать пу-
тем теоретическим невозможно; только наблюдение
в жизни нам имеет доверия неблагоприятный пу-
ть. Внимание на явление повторной нагрузки,
силу ее знака и частоту приложения. Это
кажется наиболее важным сопротивлением мате-
риалов металла и стали, тогда-то давно, что
при повторном растяжении или сжатии, если нагрузка
вызывает напряжение, превосходящая предельную упру-
гости, то последняя повышается. Уэллинг и
Валлингера показали, что такого же рода свойства
обладают бронза и литей. Последние опыты
произвел большое количество опытов, опубликован-
ных в 1886 г. т. в которых он вывел (некоторые)
положения, касающиеся металла и бесамаровской ста-
ли. Еще ранее исследованы инженером Воллером ва-
жные опыты над повторной нагрузкой, при этом
последняя предполагалась весьма большое число раз.
Воллер сконструировал специальную машину, по-
мощью которой он мог 1) подвергать брусок растя-
жению, при этом действующая нагрузка изменялась
от нуля до некоторой определенной величины; 2)
производит односторонний изгиб с изменением
нагрузки от нуля до σ ; 3) производил двусторон-
ний изгиб при постоянной нагрузке и изменении
ее направления от $-k$ до $+k$; 4) повторное округи-
вание, при этом крутящий момент и соответственно
напряжение изменяется от $-M$ до $+M$ ($-K_s$ до $+K_s$).

Экспериментально подвергались образцы из железа и
разных сортов стали. Нагрузка предполагалась точно
же раз сколько необходимо было для разрушения; в
некоторых случаях число приложений доходило
до 45000 раз.

Общая закономерность, которая вытекает из опытов
Воллера можно формулировать так: часто повто-
рившаяся нагрузка может повести к разрушению ма-
териала, если даже напряжение, вызываемое этими
нагрузками будет меньше того, при котором мате-
риал разрушается статической нагрузкой. Это
большая разность между большим и меньшим на-
пряжением (K_{max} и K_{min}) имеет меньшее число повто-
рений нагрузки материал выдерживает до разру-
шения. Если при этом же нагрузка вызывает на-
пряжение переходящее через нуль (т.е. меняющая свой
знак) то разрушение может произойти и в том
случае, когда предельная упругость не будет перейде-
на. Результаты, полученные Воллером несомненно
имеют весьма существенное значение, указывая на
то, на первый взгляд странное обстоятельство, что
и упрочня деформации могут быть опасными.

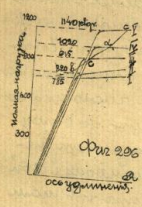
Вопрос указываемый на опытах проф. Вагнера, а
в них этот ученый подвергал тяжелым брускам
повторному растяжению и сжатию с целью возбу-
дить вышупованное состояние явине. У него
опыты следующие, где при поддержке бруска растя-
жению силой P_1 , при которой достигается де-
формация (1-й период), то при повторном растяжении
начало тяги начнется при грузе P_1' , больше чем не-
жели в 1-й раз и может достигнуть
значения P_2 . Если на диаграмме



можно представить полную измене-
ния деформаций и нагрузки для 1-го
растяжения, то P_1 до P_2 , P_2 до P_3
дадут примерные кривые для 2-го,
3-го и т.д. растяжений. Само собой
разумеется, что такого рода явление

ни точки А не может продолжаться как угодно далеко; несомненно; что при равных интенсивностях повышения нагрузок, т.е. при $\sigma_1 = \sigma_2 = \sigma_3$, кривая будет повышеи показана. Виден постепенный уход в сторону повышения показаний.

На фиг. 206 показана диаграмма растяжения полученная на машине системы кн. Гагарина в механической лаборатории Московского Технического университета. Кривые I-II указывают кривые растяжения, которые получены при повторной нагрузке, начиная с I. Этой кривой предель пропорциональности сдвигается приблизительно в 73% (исходная нагрузка). При второй растяжении эта точка перемещается на 114% т.е. увеличение предель почти в 1,45 раз. Сдвигаясь всегда показывает возрастание предель пропорциональности влечет с увеличением повторения.



Эти опыты проф. Вагшингера были произведены с повторной нагрузкой, при чем растяжение производилось со скоростью. Главный результат может быть формулирован так: если брусок, подверженно растяжению влечет превосходящим предель упругости подвергнуть сжатию, то предель упругости для сжатия понижается. Это же самое наблюдается при растяжении бруска предварительным образом предель упругости для растяжения (сжатия) подвергнуть повторно растяжению (сжатия) с переходом через предель упругости, то последний постепенно повышается. Повторная нагрузка в противоположном направлении или тогда оказывают влияние на величину предель упругости, если он будет перейти.

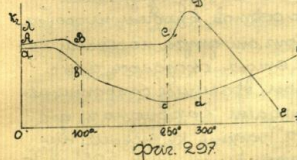
На основании своих наблюдений Вагшингер показывает, что материал обладает своим естественным предель упругости, который может быть по крайней мере по крайней мере однонаправленный.

нагрузками (напр., холодная обработка). Разносторонняя нагрузка (т.е. растяжение по всем осям и наоборот) понижает искусственно, под влиянием предель упругости и что только с одной направлением возможно получить естественный предель упругости. В таком материале противоположная по знаку направления не могут вызывать разрушения при каком бы то ни было числе повторений, но само собою понятно лишь при условии, что эти напряжения не превосходят естественного предель упругости.

В настоящее время еще трудно сказать насколько правильно заключили Вагшингера, но во всяком случае его можно считать весьма близким к истине.

Влияние температуры. Влияние обработки. Механические свойства сплавов зависят в значительной мере от температуры материала при которой он подвергается действию внешней силы. Само собою понятно, что влияние этого фактора не одинаково отражается для различных металлов и мы остановимся лишь на наиболее важных из них.

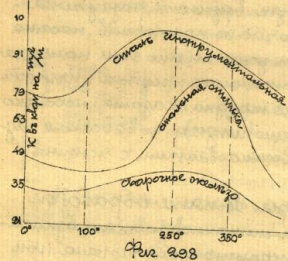
Железо и легкая сталь в общем дают приблизительно одинаковую картину в соотношениях между температурой t бруска и временным сопротивлением k_2 . На основании опытов Lethellier можно сказать, что сопротивление k_2 весьма мало изменяется с повышением температуры от 0 до 250° C. Этого мнения придерживаются, при дальнейшем возрастании t , сильное увеличение напряжения k_2 , которое достигает максимума между 250-300°.



Если на осях координат (фиг. 207) откладывать значения k_2 и t , то получится кривая $k_2 = f(t)$. При повышении t на 300° достигаются значительные значения k_2 . При $t = 800^\circ \text{C}$.

стипа K_2 составляет около 20%, а при $t=1000^\circ$ около 4-7% от сопротивлений при нормальной (150) температуре.

Конечно, все приведенные цифры дают лишь приблизительные средние значения. На фиг. 298 показана кривая двух родов сталей и оварочного



Фиг. 298

железа из опытов в Cornell University, необходимо отметить, что вольность с увеличением K_2 довольно наблюдаемая со-
ответственно коэфициенту и в случае для удлинений. Действительно, объясняемая на оси ординат вольность K_2 , покрываемая деформации Δ , покрывает

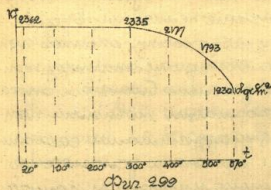
кривую (Δ, t) абсцисс. Как видно наименьшие значения для Δ примерно совпадают с максимумом значения для K_2 . При возрастании температуры за 300° деформации растут очень быстро. Как увидим ниже, обыкновенно, все металлы мало пластичны вначале нагрева при температуре 200°-300° нагрева нагрева прочным материалом, несмотря на значительное повышение временного сопротивления, которое достигает до 30-40% от первоначальной величины.

Проведенные исследования опыты над цилиндрическими образцами из чугуна двух сортов, впрочем и особенно сильно различившая друг от друга по своему химическому составу. При этом оказалось, что с увеличением температуры временное сопротивление чугуна растительно падает. Как видно из диаграммы (фиг. 299) до 300° падение K_2 весьма незначительно, но при 300° оно составляет уже 52% от K

1) См. фиг. 297.

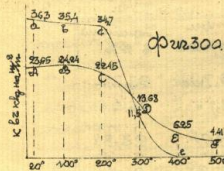
железа из опытов в Cornell University, необходимо отметить, что вольность с увеличением K_2 довольно наблюдаемая со-
ответственно коэфициенту и в случае для удлинений. Действительно, объясняемая на оси ординат вольность K_2 , покрываемая деформации Δ , покрывает

при нормальной (20°C) температуре. В 1900г. в аш проводил исследование температуры на оковываемости бронзовых образцов; химический состав образцов был фракцией № 1, 35%, свинец 5,45%, цинк 2,87%, олова 0,23%, железа 0,025, фосфора, мышьяка, сурьмы и сфери-



Фиг. 299

сильной.



Фиг. 300

Результаты наблюдений выданы диаграммой (фиг. 300) здесь кривая в K_2 представляет зависимость K_2 от t , а кривая абсцисс — $i = f(t)$. Падение временного сопротивления бронзы при растлении вольности с увеличением температуры гораздо сильнее,

чем при этом замечается для чугуна и даже для оковываемости (в пределах до 300°). Это касается до деформации, но в противуположность по отношению бронза дает постоянное удлинение Δ с увеличением температуры. При 400° деформация падает до нуля и материал, следовательно, становится совершенно хрупким.

Следует ожидать, что при падении температуры ниже нуля должно также замечаться некоторое увеличение механических свойств металлов. При этом благодаря увеличению объема и следовательно плотности, необходимо полагать, что сопротивление разрывному увеличению возрастает с увеличением температуры. Опытные данные подтверждают это предположение. Франц. Дидельф при исследовании в 1898г. над некоторыми сортами XVII. Сопротив. и т. проф. И. Б. Баранов.

таши псевдита и стали намер в пределах +20° до -80° при значительном повышении величины временного сопротивления. Ввиду трудности опытов при пониженной температуре экспериментатору пришлось производить разрыв довольно быстро и останавливаться от измерений деформации только при разрыве. Он ограничился диаграммами самописного аппарата. Но и при этих условиях не имея точных абсолютных цифр, мы получили работу охватывающую относительный диапазон. Получены следующие данные.

Материал	Температура	Напряжение при разрыве	Удлинение в %
Мягкое закалочное железо	+18°	28,7 кг/см ²	30,7%
	-20°	20,2 "	41,7 "
	-80°	30,4 "	42,7 "
Сварочное прокатное железо	+18°	30,2 "	40,2 "
	-20°	31,6 "	41,6 "
	-80°	31,0 "	40,2 "
Стружечная сталь	+18°	38,7 "	72,2 "
	-20°	40,2 "	84,2 "
	-80°	44,4 "	84,4 "
Пильная сталь	+18°	44,6 "	70,3 "
	-20°	46,7 "	81,6 "
	-80°	48,7 "	84,1 "

Как видно из этой таблицы понижение температуры сопровождается увеличением сопротивления металла и вместе с тем понижением пластичности. Любопытно отметить, что при этом увеличивается и предел текучести, при этом особенно великим является понижение температуры до -20°, ниже до -80° (исключение составляет сталь).

Таблицы даны с опытом на расхождении Ruedloff процесс опыт на концы над цилиндриками, в зависимости от этих материалов. На концы цилиндриков (размеры были для разных сортов не одинаковые, поэтому в таблице приведены лишь объемы. Все цифры - средние из трех опытов) было сделано по 10 ударов, из которых было уменьшилось.

Материал	Температура в °	Объем в см ³	Изменение высоты по числу ударов в %			Средняя высота в %
			1 ^е	5 ^е	10 ^е	
Мягкое закалочное железо	+20	6,21	2,2%	24,4%	37,8%	4,70
	-20	6,76	6,6	22,5	31,7	4,68
	-80	6,57	4,9	12,0	27,9	4,32
Сварочное прокатное железо	+20	6,48	8,9	27,6	39,8	4,81
	-20	—	6,0	24,3	33,9	4,81
	-80	—	7,3	24,0	35,4	4,80
Стружечная сталь	+20	6,65	14,0	42,7	54,2	18,93
	-20	6,60	18,1	46,8	52,7	19,05
	-80	6,57	11,7	38,7	50,6	19,15
Пильная сталь	+20	6,16	15,8	47,3	(60,7)	20,42
	-20	6,28	15,8	45,0	(57,5)	20,03
	-80	6,22	12,2	41,6	(53,5)	20,22

Эти цифры показывают, что при одной и той же затраченной единичной работе материал при разных температурах соответственно деформируется сильнее. Увеличение жесткости железа и стали при понижении температуры не одинаково для материалов с различным составом, но в общем картина получается одинаковая. В настоящее время, поэтому придают существенное значение опытам, напр, желез на холоду и при этом при динамическом приложении силы: также всего по опыту бабы на концы.

Сопротивляемость металлов (пластических) зав...

сит в значительной степени от обработки, которой он подвергается до прокатки, из него пробные образцы. В этом отношении имеют громадное значение холодная и горячая прокатка, закалка и отпуск. Прокатка оксезода в горячем состоянии имеет свою цель: уплотнить материал (для сварочного оксезода удалим шквас) и придать определенную форму поперечного сечения. Как показывает опыт, выработка уплотнения увеличивается в значительной мере при прокатке. Но такое уплотнение достигается только до известного определенного (для данного сорта) числа прокаток. При дальнейших повторных операциях достигается падение величины K . Так Джонсон приводит следующую таблицу прокатки одной полосы из оксезода.

До прокатки номер 1 ^я прокатки	Сопротивление в кг/см ² на 1 кв. см. при разрыве
1	48.000
2	52.560
3	53.580
4	59.580
5	57.340
6	61.820
7	59.580
8	57.340
9	57.340
10	54.100
11	51.970
12	48.000

Джонсон с этими данными установил, что падение между сопротивлением разрыву поперек прокатки K_1 и вдоль K_2 в виде $K_1:K_2 = 0,74$. В другом месте он указывает, что в горячем состоянии (вещи этого металла) анизотропия прокатки, хотя и так вели-

Как видно из этих данных K_{22} прокатка уже вылетает за собой падение величины сопротивления. С точки зрения прокатки на механически свойства оксезода оказывает большое влияние и направление его. Так при попытке на разрыв котельных листов, величина K и K_2 уменьшается в зависимости от того, вырезаны ли образцы вдоль или поперек прокатки.

В одной серии опытов Джонсон установил, что падение между сопротивлением разрыву поперек прокатки K_1 и вдоль K_2 в виде $K_1:K_2 = 0,74$. В другом месте он указывает, что в горячем состоянии (вещи этого металла) анизотропия прокатки, хотя и так вели-

стольно, здесь, конечно, имеет значение сила удара. Джонсон в опытах над прочностью листа сварки получил: для оксезодных брусков с диаметром $d = 26$ мм.

Материал	Размеры	K при разрыве	K при разрыве	Удлинение	Площадь сечения	Примеч.
До сварки	-----	17,4 кг	38,5 кг	23,1%	41%	
После сварки	тип шквас	17,4	34,2	2,0	12,5	Сварка на осевом разрыве между
После сварки	необ. шквас	18,0	35,4	12,7	35,0	в тип сварки.

Здесь между прочим замечается среднее удлинение сварки в смысле уменьшения пластичности материала. В этом направлении Кривату намет в своем опыте над оксезодными полосами шириной от 2 1/2 до 6 и толщиной от 0,25 до 1, что среднее сопротивление сварочного листа равно 0,71 от прочности листового металла.

Холодная обработка металлов обыкновенно имеет своим следствием повышение прочности, уменьшение удлинения, т.е. односторонним образом больше жесткий; наблюдается также, когда при прокатке валов в холодном состоянии, прочность увеличивается до временного сопротивления, а деформации падают почти до нуля. Сильное повышение сопротивления оксезода, и этим помощью обработки резко замечается по сравнению с обычными металлами над мезодом оксезодом.

Диаметр прокатки	Временное сопротивление	Удлинение	Замечания
0,72 мм	64 кг/см ²	12%	Большое падение на основании опытов Джонсона, о которых говорилось выше, т.е. вообще обработка холодная и горячая
0,50 "	83 "	"	аномалия повторному направлению с замечательной прочностью
0,30 "	96 "	"	прочность увеличивается. Так же указывается на возможность до определенной степени уменьшения
0,25 "	94 "	"	
0,15 "	98 "	"	
0,10 "	123 "	"	

столько искусственно повышенный предел упругости по сравнению с обычной нагрузкой, при которой материал сохраняет свой знак. Этот пункт, где существует еще другой способ такого, так сказать, возмещения, представляет механические свойства в металлах. Этот способ заключается в отжигании металла после его обработки, т.е. нагревания в отжигательных печах и последующей металлам возможности больше или меньше длительного остывания.

Этот пример приведен и некоторые данные взятые у Шинк'а.

Материал	Время со- отж. в часах на 1 кв. дм.	Удлинение в %
1/4" стел. тверд. стали не отожжен.	51,0	16,65
" " " " отожжен.	41,2	24,12
1/4" стел. мягк. стали не отожжен.	41,3	24,32
" " " " отожжен.	37,3	24,97
1/8" стел. мягкой стали не отожжен.	44,3	25,05
" " " " отожжен.	41,8	26,00
1/8" стел. др. пар. кожна не отожжен.	43,8	21,95
" " " " отожжен.	39,9	23,75

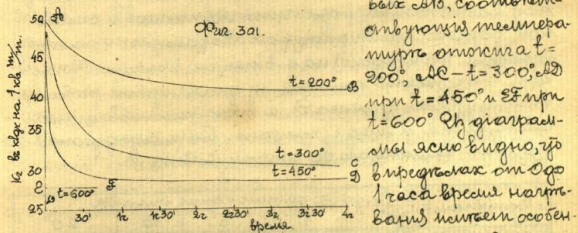
Может заметить в проволоку даю еще более паразитные результаты при отжигании. Шинк приводит данные Ш. Шелл в следующей таблице.

Материал	Диаметр проволоки в дюм.	Время отж. в часах на кв. дюм.	Время со-отж. в часах на кв. дюм.	Удлинение в %
Брусок до волочения	—	17,0	28,1	28,1
Проволока	1	0,31	22,4	21,3
" " отожжен.	2	0,31	21,4	22,8
" " " " отожжен.	2	0,27	20,0	21,1
" " " " отожжен.	3	0,26	20,4	19,8
" " " " отожжен.	3	0,25	27,5	1,8
" " " " отожжен.	3	0,25	—	27,1
" " " " отожжен.	4	0,23	30,1	44,1
" " " " отожжен.	4	0,23	19,0	27,7
" " " " отожжен.	5	0,21	25,4	31,7
" " " " отожжен.	5	0,20	20,0	29,5
" " " " отожжен.	8	0,16	47,3	52,4
" " " " отожжен.	8	0,16	18,8	26,6

Отжиг оказывает наиболее влияние на другие металлы. Канф (по Шинк'у)

Материал	d	Время со-отж. в часах на кв. дюм.	Удлинение в %
Алюминий	4,56	48,8	3%
" " отожжен.	4,56	28,2	35%
Деката-металл ¹⁾	2,92	90,2	2,1%
" " отожжен.	2,92	60,0	27,0%

Весьма любопытно, что время отжига имеет фактически существенное значение для металлов при различных температурах отжига и разности производительности. На фиг. 301 показаны результаты в виде кривых отжига, соответствующих температурам отжига $t = 200^\circ$, $t = 300^\circ$, $t = 450^\circ$ и $t = 600^\circ$. Из диаграммы ясно видно, что в первом случае отжиг занимает особен-



но большое влияние имеет, вообще, с увеличением времени отжига, уменьшение металла на протяжении при разрыве. Как видно из диаграммы, отжиг оказывает влияние на свойства металла. После 5-минутного напрежения до предела прочности металла.

Материал	Время со-отж. в часах на кв. дюм.	Удлинение в %
Серебряный сплав с 1% свинца	18,8	45%
" " " " с 1% свинца	22,7	40%
" " " " с 1% олова	12,0	3%

Последний образец имел сплав 99% свинца и 1% олова еще раз.

¹⁾ Деката-металл - представляет собой, найденный Фоксом, брассовый сплав. Cu = 55%, Zn = 44% и Fe = 1%. Углеродный вес = 84, тогда пластичный около 1000°С.

продолжително нагрети до 300°C. Новое испытание дало: $k = 22.8 \text{ кг/м}^2$ и $i = 40\%$.

Влияние продолжительности опыта на сопротивление металлов.

Важная проба. Вкратце в статье о растяжении указывалось на то обстоятельстве, что большая или меньшая продолжительность действия силы имеет значительное влияние на получаемые при этом результаты. Так, растягивая металл в бруске весьма медленно, получаем, например, величину разрывающихся напряжений гораздо меньшую, нежели при испытании при быстром ударе, но в более короткий промежуток времени.

В 1901-2 году вешателью опытовом свои опыты над растяжением различных металлов и сплавов при разных температурах. Бараченью он проводил наблюдения над влиянием времени. Результаты некоторых данных из упомянутой работы французского ученого. Для трех металлов: железа, стали и меди, нагружены были следующие величины времени со сопротивлением:

Материал	Продолжительность опыта				
	30"	1'	5'	15'	60'
Железо	23.0	24.0	21.0	18.5	11.5 кг/м ²
Сталь	14.9	14.6	14.0	14.2	13.4 "
Медь	27.8	27.1	26.3	25.8	25.1 "

Для мягкой, хорошо обожженной проволоки было найдено

Время	5"	10"	20"	40"	60"	Средн. удл. за 20с.
Средн. удл. за 20с.	32.6	31.0	29.3	28.0	27.4	22.4 кг/м ²
Временное сопротивление	35.6	35.2	34.8	37.6	34.4	33.0 "

Мы видим, что для получения действительного значения временного сопротивления, следует пользоваться результатами испытаний в форме проволоки.

результатами кратковременных нагрузок. Путем ряда экспериментов можно было найдена величина k , которая и должна быть принята как характеристическое механическое свойство металла. Следовательно, напр. имеет место такой سری наблюдений следующие значения действительных временных сопротивлений:

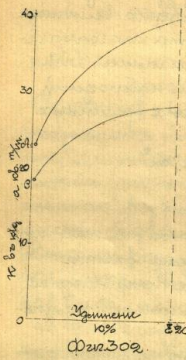
Железо	22 кг/м ²
Сталь	14 " "
Медь	23,5 " "

Растяжение металла при более высокой температуре не имеет 15°C показывает, что время опыта имеет совершенно такое же влияние. Напр., стальная проволока с $k = 50 \text{ кг/м}^2$ при нормальной температуре дала при $t = 250^\circ\text{C}$:

Время опыта	20"	10	30'
Временное сопротивление	34	24,7	18 кг/м ²

Из сказанного ясно, что т.к. с увеличением скорости растяжения временное сопротивление куска увеличивается более значительно, то при ударном действии силы, величина k должна оказываться еще больше. Напр., в одном из опытов Свейдлера было найдено для стальной проволоки с диаметром в 0,75 мм, т.е. при деформации в 10% временное сопротивление под действием динамической нагрузки было 39,6 кг/м², тогда как такое же удлинение при статической нагрузке в 2,76 кг/м². На фиг. 302 показаны кривые σ , соответствующие уд. опыту на этой проволоке при динамической приложении груза, а σ_0 такое же при статической. Напр. $\sigma = 39.6$ и $\sigma_0 = 27.6$ кг/м² были получены при $\sigma = 10\%$.

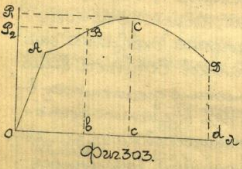
В настоящее время испытания металлов динамическим применением силы начинают все больше и больше входить в употребление. При этом можно определить работу выходящей силы не только на разрыв бруска, но и на получение той или другой деформации. Ввиду того, что с увели-



ной пористостью можно принять работу внутренних сил равной затраченной на деформацию работе падающего груза, и является возможность определить, так сказать, работоспособность бруска.

Пусть брусок при испытании сталлмгеским путем дан диаграмму (Фиг. 303) $O A B C D O$, выражающую, как уже нам известно, работу внутренних сил.

Временное сопротивление его k , определяется касательной P_1 со, если Q_1 — площадь поперечного сечения бруска, работа внутренних сил, разделенная в брусок до момента разрушения этой нагрузкой, очевидно равна площади $\Omega_1 = O A B C D O$.

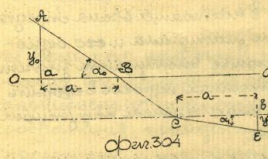


Если по какой либо причине, например, вследствие присутствия большого порока, разрушение произошло бы раньше, например при грузе $P_2 < P_1$, то временное сопротивление $k_2 = P_2 : Q_2$. Работа же внутренних сил выразится площадью $\Omega_2 = O A B C O$. Не трудно видеть, что отношение $k_2 : k_1$ гораздо меньше отношения $P_2 : P_1$. Так об. образом работ внутренних сил даст гораздо более надежные результаты, нежели определение лишь напряжений k_1 и k_2 . При ударной пробе непосредственно определяется значение работ внутренних сил и при том способом более легким и приборам менее сложным, нежели это может быть при сталлмгеских испытываниях.

Обычно машина для ударной пробы представляет собою копер. Падающий с некоторой высоты H , груз обладает в момент удара опреде-

ленной скоростью (иoretически $v = \sqrt{2gH}$). Определить величину и направление скорости после удара из формулы закона сохранения энергии или формулы затраченной на разрушение или вообще на деформацию искомого бруска энергии.

Примем здесь вкратце описание копра для свеча груза (баба) движется в направлении и несет на себе карандаш. Простая или вращающаяся баба, карандаш оставляет на бумаге, которой покрыт барабан шина, по которой можно судить о скорости бабы в момент первого соприкосновения с бруском и в момент оставления его.



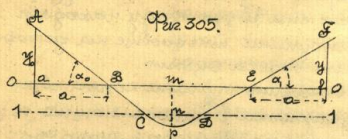
Положив карандаш на бабу до удара, когда груз лежит спокойно на искомого бруска, тогда баба до определенной высоты и при ударе барабан во вращении нанесет груз падающему. Карандаш оставит шину $O A B C D$. Откуда B соотнесем точку момента соприкосновения бабы с бруском. Находим точку C , где кривая участка переходит в прямую по линии момента C , когда баба, разрушив брусок падает дальше вниз. Очевидно $L A_2 > L A_1$. Отложим от B вверх и от C вправо отрезок (выражающий Ω_2), находим ординату $y = L a$ и $y = \delta b$. Очевидно, если скорость вращения барабана W , скорость бабы в точке a или b будут v_a и v_b , то

$$v_a = y \frac{W}{a} \quad \text{и} \quad v_b = y \frac{W}{b}$$

Затраченная работа выразится, если еще бабы Q :

$$G = \frac{m(v_a^2 - v_b^2)}{2g} = \frac{Q W^2}{2g a^2} (y_a^2 - y_b^2)$$

Если бы брусок остался не разрушенным, то баба, затратив часть кинетической энергии на деформацию, подпрыгнет вверх со скоростью $v_1 < v_b$. Кривая получит вид, указанный на Фиг. 305. Здесь по прямой $L a_2 > L a_1$.

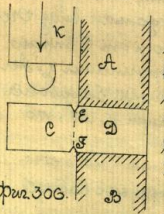


Подобны ведутся по предыдущему. Легко видеть, что эти даны остаточную деформацию. ¹⁾ Восьмью распространением полагается концы

Откры. представляющий собою большой маятник. В последний раз показала машина Гийера, в которой удар производится выступом (зубом) маятника колеса, приводимого вращением с значительным числом оборотов.

Положение ударной пробы в настоящее время определяется степенью пластичности материала и его однородности. При этом рассматривается выступающий элемент, а именно, присутствие внутренних порков в вершине трещины, которых даже при тысячекратной нагрузке остаются почти неизменными.

Степень однородности обычно определяется ударной пробой над брусками примерно 25x25 мм поперечного сечения и до 60 см длины. Такой брусок нагружается на вершине грани (рис. 306) (иногда и на нижней). Часть D затеняется криво в тисках, на выступающую часть E надают груз K (чаще) или груз K (чаще). Углом производится по линии EF. Нагрузка идет по линии EF. Нагрузка идет по линии EF.

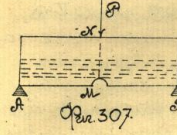


многим слоем криво светящиеся. Для трехугольной жесткости, которая обычно определяется // однородности, желательно, чтобы разрушение происходило по возможности с малыми деформациями. Как указывалось выше при разрыве бруска наметить косую линию (метрошкой) имеет значение ²⁾ открытой пробы при ударе и удлинении при разрыве.

Фиг. 306

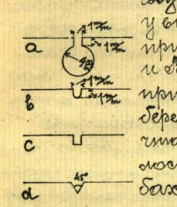
¹⁾ Вообще один надрез должен быть на стороне, на которой ожидается разрыв.

значительное сокращение деформаций. Аналогичное явление будет иметь место при ударной пробе на тупом бруске (Фиг. 307), лежащем на опорах A и B под действием падающего груза P. Если представить себе нижнюю часть бруска, состоящей из слоев a, b, c, ..., то в наиболее невыгодном положении, с точки зрения удлинения, находится слой a. Он должен разорваться при наименьшем слое b. Но как только в слое a, получается разрыв, то этот последний будет играть в последнем слое b такую же роль как надрез // относительно к слою a. Поэтому все разрушение сечения MN происходит при сравнительно небольших деформациях. Трещину, образовавшуюся при ударе груза на Фиг. 307, справедливо и для сгиба бруска, затененного одним концом.



Что касается формы надреза, то различные исследования между собою не сходятся. Так откры считают наиболее правильной форму цилиндрическую с радиусом указанным на Фиг. 308 а. Dr. Fremont дает нам плоский пропил с глубиной и шириной в 1/4 дюйма (b); края у обоих закругляет. Dr. Le Chatelier применяет плоский пропил (c). Ast и Ward - треугольный (d) с углом при вершине в 45°. Van der Heide угол берет в 90°. По существу важно лишь, чтобы при испытании соблюдалось однообразие в размерах и способах изготовления принятой формы надреза. Случайно его определяют по следующим условиям: площадь a, толщина должна быть не столько меньше площади с сечения бруска, чтобы в мо-

ментальном положении, с точки зрения удлинения, находится слой a. Он должен разорваться при наименьшем слое b. Но как только в слое a, получается разрыв, то этот последний будет играть в последнем слое b такую же роль как надрез // относительно к слою a. Поэтому все разрушение сечения MN происходит при сравнительно небольших деформациях. Трещину, образовавшуюся при ударе груза на Фиг. 307, справедливо и для сгиба бруска, затененного одним концом.



Фиг. 308

ментальном положении, с точки зрения удлинения, находится слой a. Он должен разорваться при наименьшем слое b. Но как только в слое a, получается разрыв, то этот последний будет играть в последнем слое b такую же роль как надрез // относительно к слою a. Поэтому все разрушение сечения MN происходит при сравнительно небольших деформациях. Трещину, образовавшуюся при ударе груза на Фиг. 307, справедливо и для сгиба бруска, затененного одним концом.

мент разрушений, напряжение в стальной части бруска не превосходит предела упругости. Обычно в мезостих металлах $\omega_1: \omega_2 = 1:2$, в твердых $\omega_1: \omega_2 = 1:3$.

Как показали наблюдения при ударах ионизирующим излучением не только теплая сила удара, но и число их. Затраченная работа может быть вообще выработана произведением QH , где Q — высота бабы, а H — разрушающая высота наделения, т.е. на каждый три наделения с которой, баба разрушает брусок, затрачивая на это всю свою кинетическую энергию.

Если разрушение произойдет при затратах $m \cdot Ah$ кдж, где m — число ударов и h — соответствующая высота, то $QH \geq m \cdot Ah$, т.е. $H \geq mh$. В виду этого необходимо придерживаться всегда одного и того же метода, т.е. все опыты вести при условии, что разрушение наступит при одном ударе. Этого можно достигнуть путем выбора, величины предположительного разрушения меньше или больше по известным ударам. При этом необходимо оговорить число ударов и высоту наделения. Это бабы также всегда должны указываться, ибо на результаты может влиять не только произведение $QH = E$, но при постоянном E отдельные значения Q и H . Само собою понятно, что однородным материалом будет такой, в котором для разрушения, взятых у разных листов требуется одна и та же величина $QH = E$.

Что касается вопроса о жесткости (или хрупкости) то необходимо прежде всего оговорить следующее: самое понятие о жесткости материала не может считаться установленным, вообще его правильно назвать понятием упругости. В виду этого не имеет значения, которая из этих понятий внешне употреблены данных фактов быстрой жесткости.

Следующий дает такую формулу:

$$\gamma = \frac{k_2 - k_1}{k_2} \cdot \frac{\omega - \omega_2}{\omega_2} = \left(1 - \frac{k_1}{k_2}\right) \left(\frac{\omega}{\omega_2} - 1\right)$$

Здесь k_1 — предел упругости, k_2 — временное сопротивление, отнесенное к разрывному состоянию, ω — фактическое состояние бруска до деформации, ω_2 — нормальное состояние в момент разрыва.

Величина γ может служить характеристикой жесткости до некоторой степени, чтобы меньшие различия $k_2 - k_1$ и $\omega - \omega_2$ тем, конечно, тем же меньше пластично, а стало быть больше пластично. Но необходимо указать, что получить значение $k_2 = \frac{F}{S}$, где F — величина разрыва, а S — площадь поперечного.

В настоящее время можно считать установленным какой метод определения коэффициента упругости на основании данных работы копра. Расчет копр. предлагается считать достаточным для такой стали, которая дает временное сопротивление при статической нагрузке не больше 50 кг/см² на 1 см² при удареми дной стальной бабы весом 10 кг, с высотой наделения = 4 см и для брусков размером 10 x 2 x 30 мм, высота работы на изгибе не менее 18 кг/м. Нагрузка 81 мм.

Методом на основании своих опытов предлагает зависимость между временным сопротивлением к разрыву (статическим) и деформацией при ударе имеет вид:

$$k + ma = A,$$

где m и A — численные коэффициенты, зависящие от размеров брусков, a — величина угла изгиба.

$$\left. \begin{array}{l} \text{Для малых углов} \quad k + 2,5a = 90 \\ \text{" больших "} \quad k + 2a = 80 \end{array} \right\} \dots (a)$$

Влияние на малые и большие брусочки получено в результате длительного исследования влияния на результаты величины брусков. Необходимо указать, что в формулу (a) должны быть вставлены средние значения углов изгиба, который колеблется в громадных пределах. Это время когда си-

ничайшее значение α приближается к нулю, выше превосходит 100° . Ввиду сказанного, предположений при этом нельзя признавать вполне достоверными.

Несомненно в действительном с накоплением большого количества отпущено материала удастся быть может установить каких либо аналитических зависимости между временными сопротивлением, формой и работой на изгиб. Тогда придется считать вопрос о кривых бы то ни было формах для определения жесткости — открытым. Несомненно одно, что больше жесткий материал для своего разрушения, при всех одинаковых прочих условиях, требует меньшей затраты работы, нежели вязкий.

Эт вопрос о выборе допустимых (безопасных) напряжений.

Обычно в различных источниках указываются темпования, на которых основывается при назначении допустимого (безопасного) напряжения к. Ввиду большого значения величины к при расчете той или другой части сооружения, эти значения не являются в действительности совершенно достоверными, поэтому мы бы хотели указать на возможность, когда бы то ни было, в том или другом случае при решении этого вопроса. Само собой разумеется, что даже общие правила, пригодные для всех частей сооружений совершенно не применимы; здесь мы бы хотели указать на то, что в зависимости от материала, способа применения внешних сил; в некоторых частях — типа жесткости обрешетки, температуры, заданных материалов мы наблюдаем различия в кривых и в формах разрушения, в том или другом случае, в зависимости от способа обработки, отпущения и т. д. Поэтому совершенно естественно, что приступая к расчету в каждой отдельной ситуации приходится считаться с ответственностью и тем, что обычно в наших предметах не являются

как таково, свойствами материала. Остаются в распоряжении такие факторы будем считать материал свойствами механическими свойствами заданными.

Первым условием прочности данного сооружения является условие, чтобы при всяком возмущении, для подержания равновесия сооружения, действие внешних сил направлений материала не превосходило его предела упругости к. Как уже указывалось в своем источнике, направлений, излучающих свой знак на противоположный, т. е. переходящий через нулевое значение, нечитаемой искусственно, подвешенной обработкой, пределу упругости до, так называемого, состояния го. Этот предел и является в виду этого. Конечно, в этих случаях, когда может быть впасть саванти-волекая невозможность перехода направлений разности в сжатии, там можно считаться и с применением предварительной обработкой предметом упругости. Напр., в таких случаях работают вогнутые каналы, в которых части стержневых стержней и т. п. Наоборот, случаи потяжки в машинах двойного действия, машины, валки и т. д. находились в высшей степени противопоказаны и сигнала знака у напряжений здесь обязательна.

Важнее, почти во всех без исключения случаях практической является на лицо динамический способ применения внешних сил. Это необходимо иметь в виду, ибо, как доказывалось в курсе, направлений могут достигать удвоенного значения. Но кроме этого надо учитывать, что могут быть моменты еще ударное действие, ибо, при наличии момента, величина напряжений повышается.

Как показали опыты Воллеса и др. повторный направлений достаточно быстро сменяющийся друг другом, будучи при статическом действии безопасными, могут даже повести к разрушению, если много повторений их будет значительным.

Отсюда вытекают следующие замечания: 1) не следует считать, что статический предел прочности материала является пределом прочности при динамическом действии. 2) Следует учитывать, что в некоторых случаях, при динамическом действии, предел прочности материала может быть значительно ниже, чем при статическом действии.

ду направления: k' - верхний предел, k'' - нижний предел.

$$k' = a + b \left(\frac{k''}{k_0}\right) + c \left(\frac{k''}{k_0}\right)^2 \quad (m)$$

Коэффициенты a , b и c должны быть определены для каждого материала и сорта стальной трубы. В ур-н (m) k' представляет наибольшую нагрузку, которую труба может выдержать без разрушения. Полагаем далее, что отношение к этой величине, в среднем = 3,5. Тогда же получим выражение для допустимого напряжения равным

$$k = a + b \left(\frac{k''}{k_0}\right) + c \left(\frac{k''}{k_0}\right)^2$$

где $a = a : 3,5$, $b = b : 3,5$ и $c = c : 3,5$. Ставя в ур-н k_{max} и k_{min} наибольшие и наименьшие значения напряжений, возникающие в разогретой части сооружения и полагая, что $k_{min} = k - k_0$, найдем

$$k = a + b \left(\frac{k_{min}}{k_{max}}\right) + c \left(\frac{k_{min}}{k_{max}}\right)^2 \quad (n)$$

Пренебрегая вторым членом второй части, как значительно меньшим членам второй части, получим

$$k = a + b \left(\frac{k_{min}}{k_{max}}\right) \quad (p)$$

Это выражение называют иногда формулой Байнхардт - Вейсгайт²⁾ Обычно ему дают вид:

$$k = A \left(1 + \frac{k_{min}}{k_{max}}\right) \quad (q)$$

Не трудно видеть, что A представляет напряжение материала (безопасное) для случая когда знак напряжения не меняется и наименьшее напряжение равно нулю, т.е. напряжение материала колеблется в пределах от нуля до k_{max} . Действительно при $k_{min} = 0$, имеем $k = A = k_0$. Если температура величина k_0 , то для

1) Напр. для сварочного шва Феттауер дает:

$$k = 2,16 + 1,23 \left(\frac{k''}{k_0}\right) + 0,25 \left(\frac{k''}{k_0}\right)^2$$

2) Байнхардт и Вейсгайт на основании опытов Воллер и аналогичных, предположили зависимость: первый для случая когда знак напряжения не меняется, второй для случая перепада напряжений через нуль. Выражение (p) состоит из обеих частей.

основных случаев нагрузки находим $k = 1,5 k_0$, если действует груз, не изменяющий своей величины, ибо при этом $k_{min} = k_{max}$. Наоборот, при нагрузке, которая проходит нуль, получим $k_{min} = -k_{max}$, т.е. $k = k_0 \left(1 - \frac{1}{2}\right)$ или $k < k_0$. Если $k_{min} = -k_{max}$, это обыкновенно и имеет место в практических случаях, то будем иметь $k = 0,5 k_0$, т.е. в данном случае безопасное напряжение должно быть взято в 2 раза меньше. Следует при этом соединить между допустимыми напряжениями k_{min} и k_{max} (60 кг/см² на кв. м/м).

Отношение k_{min} к k_{max}	Сварочный шов	Сварочный шов в брусках	Сварочный шов в трубах	Стальной стержень	Стальной стержень в брусках	Стальной стержень в трубах	Стальной стержень в брусках
1.0	1.04	1.00	1.00	-0.1	5.9	6.5	7.7
0.9	9.9	11.4	16.1	-0.2	5.5	6.1	7.7
0.8	9.5	10.3	16.0	-0.3	5.2	5.8	6.6
0.7	9.0	10.3	14.0	-0.4	4.9	5.4	6.1
0.6	8.6	9.7	13.0	-0.6	4.4	4.8	5.4
0.5	8.1	9.2	12.1	-0.7	4.1	4.5	5.0
0.4	7.7	8.7	11.3	-0.8	3.9	4.3	4.8
0.3	7.3	8.2	10.5	-0.9	3.6	4.0	4.6
0.2	6.9	7.7	9.7	-1.0	3.4	3.8	4.4
0.1	6.6	7.3	9.0	-	-	-	-
0.0	6.2	6.9	8.3	-	-	-	-

В этой таблице дана сталь марки А, при обычных статических испытаниях. Временное сопротивление около $k = 60$ кг/см² на кв. м/м. Для каждого случая, если нагрузка принимает безопасное направление для шва, то $k_{min} = k_{max}$, $k_{min} = 0$ и $k_{min} = -k_{max}$, из формулы (q) отношение безопасных напряжений для шва получится как 3:2:1.

До сих пор основались для разогретых стальных (безопасных) напряжений; это имеет место при простых явлениях, напр. равномерном сдвиге. Это касается также, но Бок выводит еще великие эффекты (сильные колебания) и формы попеременного отгиба.

га и т.д. Переходя к случаю сферическим, необходимо оговориться, что здесь могут быть несколько особенностей: 1) чтобы наибольшие нормальные напряжения не превосходили известных пределов, 2) чтобы наибольшая деформация (растяжение, сжатие) не превосходила известных пределов, 3) чтобы наибольшие касательные напряжения не превосходили известных пределов. Во второй части курса будет дано будет рассмотрены более подробно. Здесь необходимо указать, что по отношению к основанию 1-3, найдем различные версунтамы.

Вспомогательная форма. Ст. Декарта, которая является основой на 2^й положении и посылке из наибольших распространения в настоящее время. Скажем фронтально какую форму по отношению к осадкам окажут предположиме кривая и кривые при различных отклонениях частей сферических и на изгибания и деформации, следовательно, чтобы поворачиваемости и т.д. и другие не выходящие за известные пределы безопасности напряжения понимаются как возможности и при динамическом применении эти данные. Само собой понятно, что при ударах напряжения должны быть еще понижены в зависимости от величины этих ударов и в зависимости от напряжений, которые быть не могут. К этому еще, действительные на подвижные части сооружения необходимо прибавить силы инерции. Эти могут достигать больших значений и при значительной скорости, скажем, опасными. Как пример возьмем случай подвижного крапа. В начале движения какое-либо грузе скорости, посылается равно нулю. В начале, прежде, чем вращает она движется на низ V и следовательно период продолжается весь грузе P и его инерция. Следовательно крапа и инерция посылается действию равнодействующей сил $Q = P \cdot V$, где W — скорость движения. Этих короче промежуток времени, в ко-

торой достигается максимальное движение, тем больше величина оказывает сила инерции. В случае, в другом примере можно привести случай сферической с шаром вращающимся с некоторой скоростью и обмоткой в 1 мм, длиной, увеликая с собою вращающей вращающей вращающей вращающей, предположить инерция вращающей с вращающей вращающей вращающей. Если, обратившись к 1^й случаю, нормальная скорость движения будет V , а перемещение, в период пока не достигнуто величина V , находим через V , то сила инерции вообще будет $q = \frac{dP}{dt} \cdot V$, пусть $V = f(t)$, тогда $q = \frac{dP}{dt} \cdot f(t)$. Можно принять, что $V = at$, тогда $W = at$. Вопрос в каждом случае следует рассмотреть более подробно по специальному заданию.

Это же так же, если представим себе груз, движущийся по балке со скоростью V . В каждый данный момент в момент, над которым находится груз, будет действовать не только сила веса груза, но и его центробежная сила. Величина последней будет зависеть не только от V , но и от радиуса r кривизны упругой кривой, т.е. $q = \frac{V^2}{r}$.

Как показывают опыты, эти же безопасности бруска, подверженного действию какой-либо силы P , зависит от значительной инерции от того, находится ли материал под действием инерции или нет. Опыт Вольфа указывает, что величина последней нагрузки имеет значение на стенах сопротивляемости материала нечем перпендикулярной.

Из этой таблицы приведены значения, при которых происходит излом брусков только

Вариант	Сила на 1 кв. см	Сила на 1 кв. см	Время
Экспертное	+24,5	0	24,5
модель	+32,8	+17,85	1405
Стенной прибор	+32,0	0	
не в состоянии	+52,0	+17,85	

после отнятия большего значения напряжений. Как видно из этих случаев, когда $W = 0$, т.е. когда инерция отсутствует, происходит излом.

разъ бруска не однородной, предположим напряже-
ние много, нежели в остальных, когда $k_{min} = 17,35 \text{ кг/см}^2$
когда на брусок действовать постоянное груз, де-
йствию постоянное напряжение $k_{max} = 0$
Если постоянное напряжение $k_{min} = 0$ то k_{max}
будет постоянным, то становится скорее $k_{max} = 0$ и $k_{min} = 0$
тогда $k_{min} = 0$. Коэффициент:

Материал	k_{max}	k_{min}	Разность	Удлинение	Скорость
Материал Фосфор	+32,6	0	32,6	109,910	
" "	+32,6	+14,2	17,8	237340	
" "	+32,6	+17,85	14,85	400000	
основ сталь	59,3	0	59,3	13741	состояние
Кюпп	59,3	+29,2	29,7	1000000	мат

Движение здесь может быть объяснено тем, что с
уменьшением разности колебаний, сопротивляясь сейс-
мостям. Подобное явление замечается и только при
статической или при динамической нагрузке.

Действительно пусть на брусок (рис. 309) на-
даётся под действием груза P , на-
даёт груз A . Первоначальная длина
бруска $AB = l$. Груз P вызывает ста-
тическую деформацию $l_1 = \Delta l$. При со-
единении действием, после удара, гру-
зы P и A концы B опускается до по-
стояния l_2 . Полное удлинение $l_2 = \Delta l$.
Скорость (общая) в момент удара бу-
дет:

$$v_0 = \frac{a}{P+A} \sqrt{2gh}$$

Поэтому ур-е колебания мы напишем
в виде $\frac{a}{2g(P+A)} \left\{ \frac{a}{P+A} \right\}^2 2gh = (P+A) \Delta l - \frac{2E}{E} (k_2 - k)$

Здесь $\Delta l = \Delta l_2 - \Delta l_1$ путь совместного движения грузов
 P и A , k_2 — напряжение в момент достижения наиболь-
шего удлинения Δl_2 , и k — статическое напряжение,
вызванное грузом P . Производь сокращений, най-
дем:

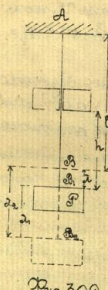


Рис 309

$$k_2 - k = \frac{2(P+A)Ed}{2E} + \frac{2a^2 E}{2E(P+A)} = \frac{2E(P+A)(\Delta l_2 - \Delta l_1)}{2E} + \frac{2a^2 h E}{2E(P+A)}$$

Принимая во внимание, что $\frac{1}{2} E \Delta l_2 = k_2$, $\frac{1}{2} E \Delta l_1 = k$ и
назовем $\alpha = \cos \alpha$, — напряжение которое вызвала бы
груз A , действующая статически, погрузкой.

$$k_2 = k + \alpha \left\{ 1 + \sqrt{1 + \frac{2Eh}{k^2 l} \frac{1}{P+A}} \right\} \quad (a)$$

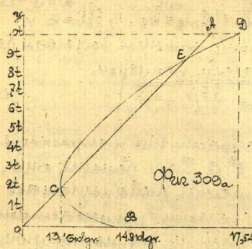
Из формулы (a) усматриваем, что напряжение
 k_2 зависит от отношения P/A . Чем больше оно,
т.е. тем больше вес статически действующего
груза по сравнению с грузом падающим (приведенным
ударом) тем медленнее растет деформирующее
напряжение k_2 .

Если $h = 0$, т.е. если не считать высоты паде-
ния, а A принимается к брусу динамически, то:
 $k_2 = k + 2k$ (б)

Удвоенное напряжение объясняется поглотом влияни-
ем точек и сокращений от поглотом затухания при про-
ходе листов более медленнее.

Возьмем для примера стальной брусок с попереч-
ным сечением $\omega = 2000 \text{ см}^2$, длиной $l = 5000 \text{ см}$.
Падающий с высоты $h = 10 \text{ м}$ груз $A = 2000 \text{ кг}$. Вы-
числим по формуле (a) напряжение k_2 для раз-
личных значений P от 0 до 10 т, погрузку таблицу:

P	k_2 в кг	Отноше- ние k_2	Изменение напряжения про- центом k_2 . На деле. Зона кристал- лизации даст увеличение напряже- ния k_2 величину с возрастанием числа P от 0 до 10 т. Кра- йняя зона даст увеличение отно- шения P/A . На деле, это от 0 до 2 происходит уменьше- ние k_2 . Затем возрастание P и A величины идет быстрее воз- растания отношения P/A от точки E , а затем k_2 падает
0	14,5	1,52	
0,5	13,08	0,32	
1	13,52	0,36	
2	13,16	0,20	
3	13,24	0,08	
4	13,58	0,42	
5	14,06	0,90	
6	14,64	1,48	
7	15,30	2,14	
8	16,00	2,84	
9	16,74	3,58	
10	17,54	4,38	



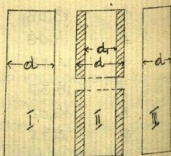
медленнее.
Если построить ур-е (6) на координатных осях k_2 и k_1 (Фиг. 310), то линия изогнется вправо при увелич. если $k_1 = \text{const.}$ и k_2 , если $k_2 = \text{const.}$ Бо́льшее крутиль подерм. прямой σ ($63^\circ 30'$) указывает, что возрастание напряжений k_2 величилось с увеличением

отношений A . Идет гораздо быстрее, что видно из ур-я (а). Этот результат подтверждается и опытами Волкова. Из всего сказанного следует, что в случае приложения к брусу вращающей силы A , общее напряжение может быть выше, в том случае если был уже напряжен. Само собою понятно, что это обстоятельство



имеет свой предел пропорциона, а именно общее результирующее напряжение не должно превосходить предела упругости. Следует обратить внимание на форму поперечного сечения бруса. Во-первых может существовать различие наличия бруса переходов поперечных сечений. В этом отношении весьма любопытны опыты произведенные еще Киркальди.

Из одного и того же куска стали были изготовлены три бруса с поперечным круглым сечением, изображенные на Фиг. 311. Брус (I) имеет виточку, диаметр которой был d_1 , равный диаметру бруса (III). Диаметр бруса (II) равняется диаметру бруса (I). Наблюдая над указан-



нами брусками явные разрывания, Киркальди называет разрываниями, приведенные в таблице.

Брус	Диаметр d при разрыве	Диаметр d_1 при разрыве	Удлинение при разрыве
I	$d_1 = 25,4$	50,25	51%
II	$d_1 = 19,5$	62,15	3,2%
III	$d_1 = 18,5$	50,20	42%

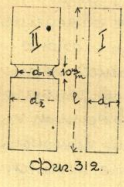
Из таблицы видно, что брус (I) на 19 ддг. прочнее I и II, но зато он сильнее изогнут ($i_2 = 3,2\%$). III сортировочное образование стволу явно можно было считать: более

указывалось, что при достижении разрывного усилия некоторой величины в одной из стоек бруса образуется трещина, которая с возрастанием силы увеличивается, т.е. материал в этой точке как бы течет; это течение гасится возможно только при условии, что все одинаковые напряжения равномерно распределяются в I и II брусках. В бруске II напряжение материала не может быть поперечным для всех стоек по длине. В остальных виточках напряжения $k_1 = \frac{A \cdot d_1}{\pi d^2}$ в остальных же $k_2 = \frac{A \cdot d_2}{\pi d^2}$, следовательно, материал должен переходить в виточки; но свободному переходу гасится виточки, очевидно, будут представлять гасители материала, принадлежащая упругим гасителям бруса (на герметично заштрихованной), как и подверженные еще напряжению, соответствующему явлению течения. Первое же остаточное образование (после образования трещины) будет затруднено, а это влечет за собою повышение сопротивляемости.

Деформация i_2 в свою очередь, должна быть меньше, а следовательно, материал течет как бы меньше. Не трудно предположить, что из двух брусков I и II последний должен сыграть сообразную динамическому действию силы.

Для наглядности приведем пример из опытов, произведенных в механической лаборатории Харьковского Александровского Института.

Были взяты два бруска, осьмино которых характеризовалось данными: k_2 (сопротивление при разрыве) = 30 клгр. на мм^2 , k_1 (средняя упругость) = 21 клгр.; $E = 10300$ клгр. на мм^2 . Брусочки (Фиг. 312) имеют размеры: $l = 210 \text{ мм}$, $d_1 = 15 \text{ мм}$, $d_2 = 21,2 \text{ мм}$, высота выточки = 10 мм .



Как мы видим раньше, работа внутренние оси до предела упругости может быть представлена выражением: $T = W \frac{1}{2} E$, где $W = \omega l$, т.е. объем бруска. Отсюда 1 куб. мм материала может произвести работу равную $\frac{1}{2} E$.

В настоящем случае надо разделить два периода: до и за пределом упругости.

1. До предела упругости. При указанных размерах для 1^{го} бруска:

$$T_1 = \frac{\frac{\pi}{4} d_1^2 \frac{1}{4} 15^2 \cdot 210}{2 \cdot 10300} = 411,81 \text{ клгр. мм.}$$

для 2^{го} бруска:

$$T_2 = \left\{ \frac{\pi \cdot 21,2^2}{4} \cdot 200 \left(\frac{21}{2} \right)^2 \frac{1}{2} + \frac{\pi \cdot 15^2}{4} \cdot 10 \cdot 21 \frac{1}{2} \cdot 10300 \right\}$$

$$= \frac{21^2}{2 \cdot 10300} \left\{ \frac{\pi \cdot 21,2^2}{4} \cdot 200 + \frac{\pi \cdot 15^2}{4} \right\} = 214,53 \text{ клгр. мм.}$$

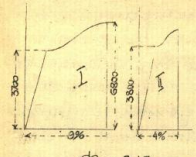
Но напряжение в стержне d_2 вдвое меньше, нежели в стержне выточки. Итак, до предела упругости брусок I может выдержать почти вдвое больше удар.

2) За пределом упругости пришлось производить диаграммы. При этом, т.е. с началом трения, в пределе полимера, собственно говоря, разрушение, то площадь диаграммы изотермическая до сдвигания соответствующей наибольшей кривой.

Несоответственное измерение дано для брусков площади S_1 и S_2 , переводя которые по принятым масштабам в клгр. мм, было получено:

3а. постоянный толчок.

для бруска $T_{20} = 30700$ клгр. мм.
 для бруска $T_{30} = 2130$ клгр. мм.



Фиг. 313.

Итак обр. опыта сопротивление бруска до разрушения 30700 клгр. мм. более не чем для II^{го}, не смотря на то, что ось имеет насаждение в отношении $21:41 \approx 0,51$.

Описание явления имеет все большее значение с той точки зрения, что когда при разрывах доводилось лишь напряжением. В настоящее время, примененные выточки делают материал как бы более крепким, но при этом имеет пластичным, т.е. дающим с собой большую деформацию. Это влечет за собой некоторые стержни также имеют извращенное влияние на сопротивление материала. Напр. для растяжения наиболее рациональные формы стержней (равномерные распределение масс по отношению к центру тяжести стержня) как круг, квадрат и т.п. в удлиненных стержнях, напр. треугольных, круглых, имеющих равномерное распределение напряжений. Этого также для брусков, подверженных кручению в формах некруглого стержня напряжений по периферии изотермическая ось резко от 0 в форму (квадрат, прямоугольник) до максимума в точках наибольшего радиуса стержня к оси. В углах входных напряжений достигает громадных величин, поэтому такие формы переходя линии не должны допускаться. В этих случаях необходимо делать плавные переходы, как это, напр. имеет место на фиг. 314 во входных углах матровой стержня (прутков).



Фиг. 314.

Этот переход, вызываемый постепенной температурой. На основании фи-

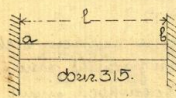
электрические свойства при изменении своей длины при переходе от данной температуры к высшей или низшей, следовательно при разности всегда принимается во внимание возможный коэффициент температур. Стержень ab (фиг. 315) находится между двумя неподвижными a и b , при данной температуре t_0 он имеет длину l_0 между ними, при каком-либо другом t (сжатии или растяжении) не испытывает. Стержень при всех прочих постоянных условиях температура повышается до t_1 . Очевидно, свободный стержень должен получить удлинение длины равное $l = l_1 - l_0 = l_0 [1 + \alpha(t_1 - t_0)] = l_0 + \alpha(t_1 - t_0)l_0$, если α — линейный коэффициент расширения при нагревании на 1° . К. разности l между a и b не может быть меньше, то и стержень ab получит сжатие $\delta l = \frac{1}{2} \alpha(t_1 - t_0)l_0$, если соответствующее возникновение напряжения σ равно $k = \alpha E(t_1 - t_0)$

Наблюдения показывают, что коэфф. α — величина переменная в зависимости от t . Напр., в промежутке от 0° до $500^\circ C$ она имеет следующие значения:

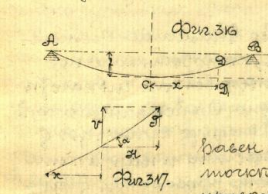
Материалы:

Сварочное железо	$\alpha = 0,000011691 + 0,0000000047 t$
Чистое	$\alpha = 0,000011475 + 0,0000000053 t$
Чистая сталь	$\alpha = 0,00001181 + 0,00000000586 t$
Железо для маш. станков	$\alpha = 0,000009794 + 0,0000000086 t$
Медь	$\alpha = 0,00001607 + 0,0000000040 t$
Бронза	$\alpha = 0,00001744 + 0,0000000040 t$
Латунь	$\alpha = 0,000017487 + 0,00000000879 t$
Серебряный	$\alpha = 0,000023836 + 0,0000000079 t$

Пусть $t_0 = 0$ и $t_1 = 50^\circ C$; для чистого железа напр., найдем: $k = (0,000011475 + 0,0000000053 \cdot 50) \cdot 2000 \cdot 50 = 4,74 \text{ кг/см}^2$ т.е. напряжение весьма солидное.



Отсюда видно, что величина температуры очень значительна и во избежание таких больших напряжений надо давать возможность свободного расширения или принимать меры к недопущению значительных деформаций. Само собою понятно, что при понижении температуры ниже нормального t_0 дополнительные напряжения будут возникать в тех частях которые представляют сопротивления. В этом случае возможны напряжения сжатия. Коэффициент температуры могут лишь достигать 80° и больше, напр. $-40^\circ C$ до $+40^\circ C$ т.е. температурный промежуток и вообще, провода для передачи подвешиваются при понижении температуры значительным дополнительным напряжением.



Пусть (фиг. 316) между пунктами a и b , при $ab = l_0$, натянем под углом α проволоку с поперечным сечением ω , вес погонной единицы равен q дкг. В произвольной точке D исчисляем натяжение проволоки T , возникающее напряжение σ материала $k = T/\omega$. Расстояние σ на вертикальную составляющую V и горизонтальную H , найдем (фиг. 317)

$H = T \cos \alpha$ и $V = T \sin \alpha$

Если предположим, что при натяжении проволоки дуга CD мало отклоняется по дуге от хорды CD , т.е., примем $CD = CD$, то очевидно из условия равновесия, что $V = T \sin \alpha = \omega a$. Следовательно $T \sin \alpha = \omega a$. Но с другой стороны $\tan \alpha = \frac{dy}{dx}$, а потому α найдем:

$$y = \frac{1}{2H} a x^2,$$

т.е. кривая CD есть парабола с параметром $\frac{1}{2H} a$. Очевидно, полагая a равным ω отсюда, это вытекает из условия равновесия CD .

что в огнени С гибкостью растягивающееся тело...
и, направленное горизонтально. Угол...
кривой будет:

$$x^2 = 2 \frac{E}{g} y$$
$$\text{Стрела провеса равна } f = \frac{y l^2}{8 E}$$

При заданных условиях определяются напря-
жение материала

$$k = \frac{E}{\omega} = \frac{E}{S_0 \rho}$$

Для получения теоретической, уменьшающейся
длины дуги $s_{теор}$, потому проводка подвешен-
ная и следовательно уменьшающаяся стрела провеса
 f и уменьшающаяся k . Для получения этой вели-
чины надо найти соотношение между длиной
троса $s_{теор}$ и соотношением провеса f .

Для объяснения принять во внимание зависимо-
сти напряжений от тупа, который, конечно,
может быть при провесе всякого троса f ,
сделать это не трудно. Действительно,
любой элемент ds (см. 316) будет кривизны $\frac{1}{R}$
и $k_s = \pm \frac{1}{20} E f$. Здесь d - диаметр проволоки. Нап-
ряжение k_s будет больше у вершины,
где s достигнет своего минимума.

Дерево, камень

До сих пор мы были в виду, главным обра-
зом металлы. Считаю и теперь охватить
несколько слов о других строительных мате-
риалах, и особенно о древесине и камен-
ном распространении, а именно о дереве и камне.

Дерево по своему строению принадлежит к
числу материалов весьма неоднородных. Спро-
тивительность древесины зависит от
способа приложения силы и направления ее. Так,
представляя довольно значительную прочность
растяжению в случае если таковое производится

вдоль волокон, дерево имеет ничтожное сопро-
тивление растягивающим усилиям, действую-
щим поперек. Обратное может быть для
сплошного материала. Но и, помимо того, зависи-
мость свойств дерева зависит от степени его
влажности, от расположения образца в стволе
дерева, как в смысле положения этого образца
в поперечном сечении, так и от направления от-
носительно уровня земли. Предоставить мате-
риал удобный для многих сооружений, дерево, те-
перь которые порады его, напр осина, пихта, липа
подвергались специально в лабораториях Ев-
ропы и Америки. Так как рассуждения на качест-
ва дерева зависят величине состава влаги и под-
пора, высота положения над уровнем моря,
степень чистоты леса и др. условий, то, конечно,
испытания одной и той же по-
роды, напр осины, взятых из разных мест зем-
ного шара не могли дать вполне одинаковые
результаты. Во всяком случае, тем не менее, во-
можно установить некоторые общие положения,
которые наблюдаются при испытании дерева.

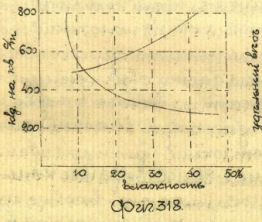
В сооружениях древесный материал обыкновенно
подвергается изгибу и сжатию. Более редко
встречается сжатие, когда, когда вышние си-
лы вызывают только растяжение (формы стуль-
ча и т.п.). Упомянутые показатели, это вообще де-
рево сопротивляется упругим растягивающим
вдоль волокон усилиям, нежели силами сжимаю-
щими. (Напр. Таблица камня (средние цифры))

Материал	Растяжение		Сжатие	
	Модуль	Предел прочности	Модуль	Предел прочности
Мрамор	1201	6,02	11000	2,76
Известняк	11330	5,53	10020	2,53
Известняк	12000	7,10	11400	3,21

В виду такой разности, обыкновенно при конст-
роировании дерева особое значение придается сопро-

тисленно его сокращено, последние обстоятельства между прочим весьма удобно, т.к. измерения брусьев дерева на разности не легко. Дерево трудно устанавливать в развешах без знания правильного способа на повседневность; если же бока бес поправки будет невелико, то образцы выносятся из развешивов.

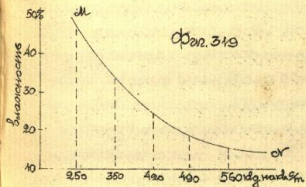
Вот же упоминалось, что на механических свойствах дерева виден распределение образцы в отношении дерева, как в смысле развешивов от концов, так и его направление от оси к периферии. Весомая существенным фактором является степень влажности. Даже в сухом состоянии дерева она не постоянна в развешивов от центра к периферии, а в развешивов от труба к концу. В поперечном направлении влажность убывает от периферии к центру, но при этом на южной стороне она больше, нежели на северной. На фиг. 318 показаны некоторые данные над шведской сосной (проф. Вагнингер). На оси абсцисс отложена влажность в процентах. Кривая CD показывает изменение удельного веса древесины с увеличением влажности. На той же фигуре кривая DE указывает временное сопротивление разрыву этого дерева. Как видно оно увеличивается с убыванием влажности.



Фиг. 318

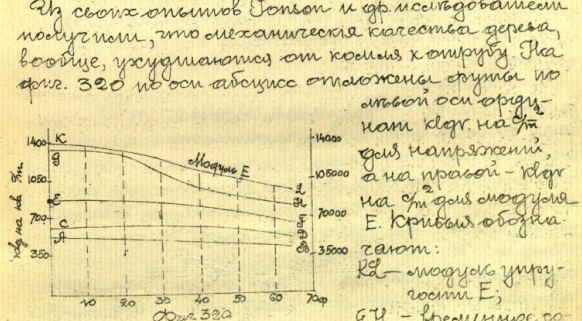
Аналогичные результаты получены Бонсом для американской сосны. Кривая ABC на фиг. 319 точно также дает соотношение между степенью влажности и временным сопротивлением разрыву. Как видно из обеих фигур, кривые дерева сильно падают высотой с увеличением

влажности. При 10-15% влажности сопротивлений получаются весьма значительная, если влажность, конечно, не имеет дерево абсолютно сухое. Это т.к. в сооружении для абсолютно сухое дерево не ветроулетает, но приходясь к этому в виду малую степень влажности, которая может считаться обложной. Работоденн показавают, что дерево, постепенно сохнувшее на воздухе, в конце концов, приобретает степень влажности довольно постоянную, а именно, около 15%. Само собою понятно, что если дерево попадет на долгое время в очень влажную атмосферу, то и собственная его влажность увеличится.



Фиг. 319

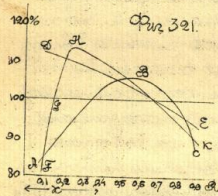
Из своих опытов Бонсон и др. исследователи подучают, что механические качества дерева, вообще, ухудшаются от концов к трубу. На фиг. 320 по оси абсцисс отложена длина по той же оси ординат кг/см² на 7м для наибольшей, а на правой - кг/см² на 7м для средней E. Кривая обозначена: K - модуль упругости E, GJ - временное сопротивление разрыву;



Фиг. 320

Кривые разрыву; EF - временн. сопротив. по поперечн. сечению; CD - предельн. упругости при изгибе; AB - временное сопротивление при растяжении. Как видно из фигур, все кривые падают с длиной. Сопр. мод. ср. 1 проф. И. Бобасинев.

линейном высоте поворота образца от концы к вершине. При этом особенно следовало учитывать падение дна кривой ΦH , тогда как соответствующие скачки напряжения гораздо меньше. На фиг. 321 по оси абсцисс отложено расстояние от центра поперечного сечения (в десятках долей) по



оси ординат относительный величина напряжений 6%. Кривые показывают зависимость напряжений от радиуса от центра, а моменты:

$\Delta B C$ - кривая врем. сопр. растущей
 ΔE " " " " " " " " " " " "
 $\Delta H K$ - модуль упругости E .

Самое важное понятие, это ординаты, дающие абсолютные, а относительные значения и кривые относятся к средней линии 100%, чтобы иметь представление об изменении коэффициентов с величиной x в области надобности, то наиболее прочный элемент материала приходится между $\sim 0,2 - 0,5 R$.

Из анализа на указанных особенности дерева, то при не менее представляем собою во многих случаях весьма ценный строительный материал. Действительно, обладая значительной упругостью, оно в то же время оказывается достаточно прочным. Однако при использовании такого материала наем следует учитывать из особенностей:

Свойства	Сосна	Ель	Относится к выносливости в 15%
Эластичный вкл (15% влаги)	0,397	0,399	Относится к выносливости в 15%
Средняя упругость	2,000	2,62	
Временное сопр.	3,17	4,98	

Если принять во внимание только указанные свойства, то по отношению к форме фактору дерево по прочности мало отличается от металла. Другим же, в том же направлении, оно имеет около 45% от металла. Длиннейшее, в том же направлении, оно имеет около 45% от металла. Длиннейшее, в том же направлении, оно имеет около 45% от металла. Длиннейшее, в том же направлении, оно имеет около 45% от металла.

Модуль упругости E 9010 | 8010 ?
 Характерная работа 900208 $\frac{1}{10}$ 601 $\frac{1}{10}$.
 Характерная работа (единица) относится к средней упругости. Главная работа при изгибе относится к объему бруса $10 \times 100 \times 1500$ при предельной упругости. Дерево легко поддается скачкообразной упругости, если нагрузка направлена вдоль волокон и - соответственно - поперек волокон, потому необходимо учитывать такого распределения напряжений.

Угол, вырезанный над ординатой вдоль волокон дает:

Сосна	0,290	0,290	х/дг. на 1"
Ель	0,137	0,256	" "
Дуб	0,525	0,675	" "

Сопротивление дерева ординат поперек волокон гораздо больше, но в виду двойственности касательных сил, приходится разграничивать на напряжение вдоль волокон. И, напр., при определенных углах на краях, касательных напряжений распределенность в поперек волокон, но в действительности двойственности этих напряжений приходится принимать напряжения, образующиеся в направлении параллельное оси.

Естественные и искусственные камни.
 Естественные камни, применяются в строительном деле в основном образом. Граниты, известняки и мраморы. Не смотря на то, что гранитные перемены употреблений пород, невозможно установить каких либо определенных цифр. Характерной породой в том же направлении в воде, напр. известняк, граниты еще очень мало выискивает данный материал; ибо сами по себе граниты, известняки и т.д. весьма разнообразны в зависимости от происхождения, возраста, структуры, степени однородности и т.п.
 В сооружениях камни в части обычно подверга-

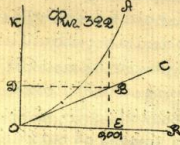
от действителности они экспоненциальны, следовательно и разложение каменных пород сопротивляемость значительно слабее, нежели ожидают. Поэтому деформации изгиба являются для камней неудобными. Напр. в одной из опытов над некоторыми породами граница Вальштиндера казалась:

Время сопр. разрыву	0,325 до 0,445 кг/см ²
" "	сжатия 0,03 " 1,25 " "
" "	раздроблен. 10,2 " 10,3 " "

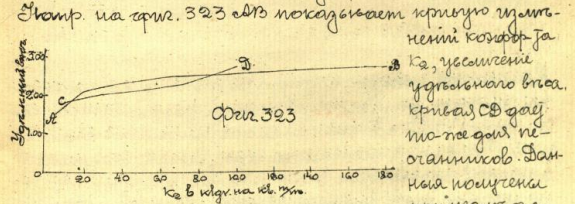
Совершенно понятно, что при определении механических свойств камней, в большинстве случаев ограничиваются испытанием на сжатие (до раздробления) в виду неоднородности строения камня, можно и тогда сказать, что при оценке зависимости между деформациями и на протяжении отклоняется от закона Гука, а выразить более сложно, предельную упругость имеет значительно выше предела пропорциональности и совпадает с временными сопротивлением. Определение модуля упругости становится условным. Из которых считают возможным находить его след. путем. Пусть ось предельная кривую (рис. 322), при тем по оси ординат откладывалась нагрузка Δ , а по оси абсцисс — сокращение длины δ . Проводим через начало координат касательную ось к кривой от точки E , ось которой имеет $OE = 0,001 h$ (h — первоначальная высота образца) проводим ординату до пересечения с касательной в точке B . Тогда:

$$1000 \cdot OE = 1000 \cdot \delta \cdot E = E$$

Вальштингер определяет модуль E из опытов на изгиб и получил значения, практически совпадающие с полученными тем же путем. На основании наблюдений



можно сказать, что границы обладают наибольшей и известной наименьшей сопротивляемостью, если существуют и среди известняков весьма крепкая порода. С другой стороны, наблюдается, что мелкозернистые камни обладают большей сопротивляемостью по сравнению с крупнозернистыми; но и здесь также наблюдаются значительные отступления. До известной степени для известняков и песчаников справедливо правило, что сопротивляемость раздроблению увеличивается с увеличением удельного веса, при чем для известняков также существуют наблюдения таже



Этотр. на рис. 323 ось показывает кривую упругости коэф. μ μ_2 , усиление удельного веса кривой OB даёт по ней для известняков. Данная формула при изогн. до

вант некоторых французских пород. Внизу приведенной таблицы даны результаты некоторых русских пород, испытанных в механической лаборатории Института путей сообщения, Высшего военного округа путей сообщения и в механической лаборатории Московского технического Института

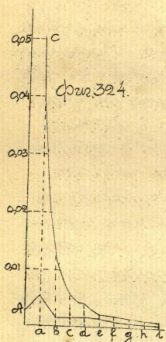
Название пород	Удельный вес	Касательный %	Объемный коэффициент	Модуль упругости
Гранит финск. кр. зерн. Кофв	2,62	0	22,10	10000
" " " " " " "	2,63	—	16,0	—
" " " " " " "	2,60	—	6,27	—
" " " " " " "	2,50	—	20,89	25,9
" " " " " " "	2,62	0,166	19,43	—
" " " " " " "	2,62	0,053	16,81	—
Земли: ил. и глин. мелкозерн. брус	2,05	0,276	27,30	—

Спиритометр с манометром	шт.	2,97	0,035	30,65
Бюджетная кварцевая ам.-зерн. ступ.		2,57	0,135	26,85
" " " " " "	ср.-зерн. кварц	2,53	0,158	18,687
" " " " " "	побитый кв.-зерн.	2,50	1,196	7,27
Известняк		2,35	2,35	12,042
Бюджетная кремнистая талькогидрат		2,97	0,136	9,266
Диатом (сибирский)		2,97	0,5	11,80
Бюджетная изредков. из ступ.-кварц		2,024	9,30	1,80
		2,03	9,60	5,17
Кварцит		2,6	0,433	17,48
		2,6	0,340	17,238
Изредков. неоганик		2,31	3,73	5,47
		2,42	2,03	3,87
Французский прибор по Дюваль		2,57	0,0	10,05

Каменная порода, подвергаясь действию атмосферной влаги, может до известной степени разрыхляться, если какая либо составная часть излагается своей состав. Напр., под действием воды, могут выщелачиваться растворимые в ней окислы и т.п. образ. Если можно так выразиться, состав самой породы измещается, отчасти однородности поглощаются друг друга. Напр., в гранитах разлагается полевой шпат, слюда, каолин, как говорят выветриваются и, как результат такого выветривания, естественно образуется больше слюды; следовательно может быть весьма значительна. Это же определение степени разрыхления может быть определено лишь эмпирическим путем. В лаборатории еще при испытании обыкновенно подвергают камень искусственно выветриванию, которое заключается в повторном замораживании. Каждому камню дают весьма незначительный (границы 2 куб. дм.) образец до известной степени пористости. Высушив образец камня при $t = 100^{\circ}\text{C}$ и взвешив его в абсолютно сухой состоянии, камень погружают в дистиллированную воду (15°C) и держат до полного насыщения. Разности в весе насыщенного и сухого (абсолютно) кам-

ня дает возможность определить пористость. Само собой понятно, что вода, попадая в камень при замерзании, действует на него разрушительным образом. На этом основаны следующие опыты. Основано искусственное выветривание. Насыщенный камень погружают в холодную воду ($t = 15^{\circ}\text{C}$) и через 48 часов вынимают и кладут в дистиллированную воду ($t = 15^{\circ}\text{C}$), где в течение 24 часов камень оттаивает. Такую операцию повторяют до 25 раз. В некоторых случаях действие искусственного выветривания достигается весьма скоро на пористых образцах гнейсов и кварцитов. Основательная часть выветривания и определения относительную влажность. Диаметр показывает, что степень гашения поглощается весьма незначительное и малым образом образуют выветривание на фракции скрепления и количества ирригации, что много раз дается по отношению искусственного спекания. Закон описанной метод искусственно выветривания и рекомендует другой метод, а именно сухой образцы камня (обычно в форме куба) кладут (предварительно подогретый) в кипящий раствор гашеной соды. После 30 мин. кипячения камень погружают на 24 часа на воздух. Сода выкристаллизовывается на поверхности, ее удаляют. Образцы выветриваются иногда не только и больше. Затвердевший камень погружают в проточную воду и определяют потерю веса. На стр. 324 приведены сравнительные изыскания испытание разных пород камней параллельно двумя способами. То же относится к относительной потере в весе. Кривая α состоит из двух замораживаний α - выветривенный урсе неоганик β - неоганик,

- c - неоганит
- d - мн.-зерн. песчаник,
- e - прес. киртис,
- f - доломит
- g - мн.-зерн. гнейс
- h - гранит



Понимая при камнях более слабых при втором методе гораздо больше, оттого подвергается воздействию с большей мощностью.

После замораживания камень оттого подвергается раздроблению и окрашивается в результате сдвигов, происходящих при ионизации невакцирированных образцов, наблюдается ослабление.

Для составлений более полного представления следует учитывать

важно на раздробление и камины насыщенные водой. Опыт показывает, что обычно наблюдается незначительное сопротивление; конечно, это относится к породам обладающим более или менее развитой пористостью.

Нужно необходимо указать, что если в образцах камня наблюдается деформация, то следует подвергать камины раздроблению, подвергнув их действию силы как поперек слоя, так и вдоль. Обычно замечается большая прочность при нагрузке второго рода, следовательно, это видно из соответствующей таблицы.

Камень	Величина	Эквив. E	Объемное сопротивление			Коэффициент сопротивления		Срезание	
			⊥		по диаг.	по диаг.	⊥		
Гранит	2,05	2000	13,46	13,20	15,0	0,43	0,365	0,285	
Неоганит	2,48	4400	5,7	5,82	4,75	0,408	1,03	0,585	
Мрамор	2,23	-	3,77	5,18	8,5	0,324	0,515	0,378	
Бел. неог.	2,2	612	6,32	5,45	5,54	0,14	0,358	0,210	
Желтый	2,2	687	5,34	5,88	4,2	0,238	0,449	0,198	
Известняк	2,23	234	4,58	4,67	4,10	0,149	0,407	0,328	

При срезании наблюдается, конечно, обратное. Данные для таблицы взяты из опытов Вальштинского. Из искусственных камней наибольшее значение имеет киртис. Его механические свойства различны, конечно, от качества употребленной для приготовления глины, примененному и способу обработки, т.е. формовки, прессования, отжига.

Для киртиса, как вообще для камней, наиболее важным качеством является его сопротивление раздроблению. У киртиса эта колеблется в весьма широких пределах. Хорошо обожженные киртисы, машинной выделки дают в сухом виде в среднем сопротивление тогда выше 5,00 кг/см².

Как называемый "недопал" (недопал), да еще при ручной выделке имеет сопротивление тогда ниже 0,50 кг/см². Как среднее значение принимаем $k=1$ кг/см². Сопротивление киртиса разрыву не велико, также как и срезанию, почти последние все таки выше и доходит до 0,3 кг/см². Действие замораживания на хорошо обожженный киртис весьма незначительно; конечно, при этом предполагается хорошо приготовленная масса.

Конец.

Данные трикоординатной киртис с нагрузками при раздроблении 6,5 кг/см². При изгибании каменных образцов в вертикальной плоскости при срезании киртиса коэффициент сдвига составил 1,374 кг/см² при $b=2,15$, коэффициент 6,54%

Краткий указатель сочинений по курсу сопротивлений материалов.

1. Курмурев В. Сопротивление материалов
2. Кудряков П. " "
3. Демидович М. Курс сопротивления " "
4. Брунновский П. Сопротивление " "
5. Machaud A. Resistance des materiaux
6. Vierehdelle A. Cours Stabilité des Construction I
7. Bach C. Elasticität und Festigkeit.
8. Föppl d. Festigkeitslehre.
9. Feininger L. Elasticität und Festigkeitslehre.
10. Ewing The strength of materials
11. Bowley R. Theory of structures and strength of materials.
12. Conson J. The materials of construction

Оглавление.

Введение	Стр. 1
Расстствие	7
Поперечное сжатие	11.
Отступление от закона Гука	13
Изгиб за предельной упругости	14
Работа внутренних сил при растяжении	18.
Методы определения модуля упругости	19.
Устройства прибора для производства опытов на растяжение	25.
Формы непругового бруса	31.
Динамическое действие растягивающих сил	34
Изгиб сдвигательного бруса	37.
Брусья вального сопротивления	38.
Сжатие	41.
Извержение воды	46.
Сдвиг.	54.
Работа внутренних сил при сдвиге	61.
	66.

Зависимость между растяжением и сжатием	67.
Кручение	70
Работа внутренних сил при кручении	75
Моменты инерции	77
Изгиб	86
Уравнение кривой изгиба	
Касательные напряжения	
Кривая изгиб	
Исследования сопротивления изгибу.	
Реакции опор и защемлений	
Базис статических и неопределяемых	
Криволинейные башни	
Работа внутренних сил при изгибе	
Динамическое действие внутренних сил	
Изгиб за предельной упругости	
Расчетные ур-я при изгибе.	
Составные башни.	
Сложное сопротивление	
Извержение воды в брусках состоящих из слоев	
Косой изгиб	
Сдвиг и кручение	
Растяжение и сдвиг	
Изгиб и сдвиг	
Продольный изгиб	
Архив бруса с криволинейной осью	228
Изгиб бруса растяжением	235
Система сгибания минимал	247.
Поперечные нагрузки	252.
Влияние температуры и обработки	256
Изгиб продольности опыта на сопротивление материала.	264.
К вопросу о выборе допустимых безопасных напряжений	272.
Краткий указатель сочинений по курсу сопротивления материалов.	298.

БИБЛИОТЕКА ВОРОН. ИЖЕВСКО-ОБОЛОНСКОГО ИСТИТУТА

